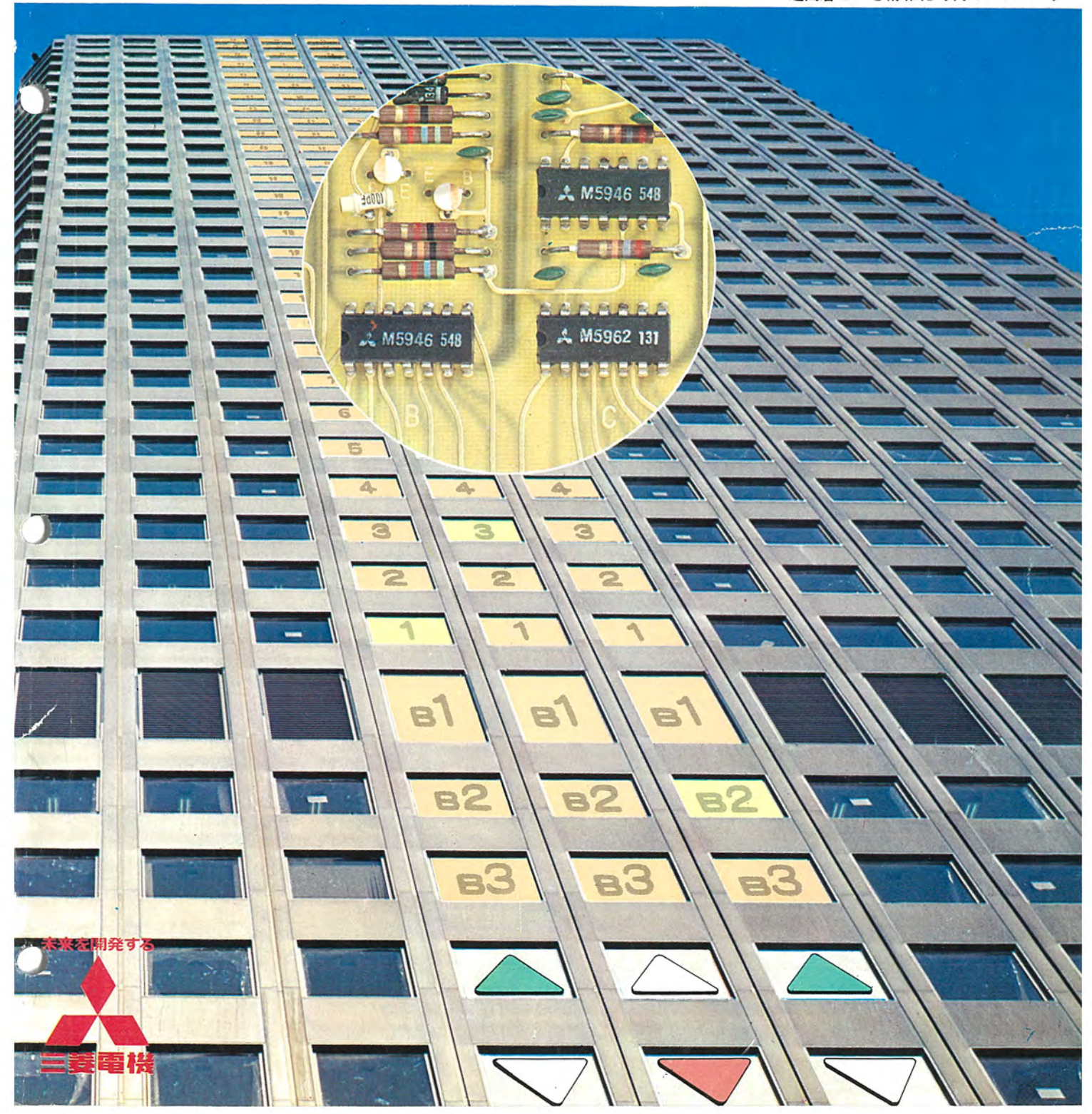
## MITSUBISHI DENKI GIHO 三菱電機技報

Vol.44 August 1970 エレベータ特集

8

超高層ビルと情報化時代のエレベータ



# 三菱電機技能



#### エレベータ特集

#### 目 次

《特集論文》————————————————————————————————————
平常時におけるエレベータ交通のシミュレーションとその応用
新保松夫・藤田 明・寺山佳佑・小池将貫・大西祥子… 985
超高速化の進む三菱シンクログライドエレベータ高 村 - 明・安 西 伸 夫・渡 辺 英 紀…1005
アプローチディテクタ 吉 山 裕 二・野田 昌 弘・丸 橋 一 敞…1015
高速エレベータの縦振動の解析・・・松倉 欣孝・竹下光夫・瀬原田三郎・大富 貞行・・1020
三菱 ASP-A MARK II 全自動群管理エレベータ
新形エレベット 山田 春夫…1038
屋外用エレベータ・・・・・・・・・・・・・・・・・・・・・・・・・・・・・・・・・・・・
《普通論文》————————————————————————————————————
22kVミニクラッド(固体絶縁開閉装置)
7300kW 4極かご形回転子三相誘導電動機·······
回転曲面に分布する電流による磁界の計算法 野村 達 衛…1067
ビデオテープレコーダ VT-900···································
高温化学反応の実験的研究―メタンからアセチレンの生成――――――――――――――――――――――――――――――――――――
日本万国博覧会における三菱未来館の照明
シルエトロソー日本万国博覧会三菱未来館設置電光映像装置高田 真 蔵・倉橋浩一郎・池 端 重 樹…1093
日本万国博覧会におけるリコー館のバルーン照明小川 俊 也・福 島 善 夫・狩 野 雅 夫・橋 本 武 雄・森 本 俊 —…1098
《新製品紹介》————————————————————————————————————
380mm 携帯用電気丸のと・航空機用足温器・電動式ゴルフカート発売
《ニュースフラッシュ》 1107
世界記録品 400kVA 10kHz 立形高周波発電機完成・"日本最大の大出力ガラスレーザ開発" 名大プラズマ研究所に設置・三菱電機 水車発電機に水冷スラスト採用(北海道企業局岩尾内発電所納め 14,500kVA 水車発電機)
《特許と新案》 1049
時計装置・ワイヤボンドレス半導体素子・ヒューズ筒装着装置・電圧変動表示装置
《ハイライト》"三菱住宅設備コア"を開発《工事の省力化機器のシステム化を図る総合住宅設備ユニット》

#### 表紙 1 超高層ビルと情報化時代のエレベータ

超高層ビルにおけるエレベータの重要性は飛躍的に増大した。エレベータをいかに計画するかによって、そのビルの経済性・便利性に影響するところがきわめて大きい。エレベータの計画にあたってコンピュータによるシミユレーションといった情報技術が有力な方法として登場し、従来の定性的・経験的な方法に比べ、はるかに合理的な計画ができるようになった。 また一つのグループになったエレベータ群を最も能率良く機能を発揮させる群管理装置にも、最新の情報技術が応用されるようになった。

さらに今後進展が予想されるものとして、マンーマシンシステムとして、エレベータと人間の対話のための装置は、情報技術の駆使なくしてあり得ない。 表紙は超高層ビル建設が活発化し、情報処理技術が活用される明日の時代のエレベータをシンボライズした。

表紙 2 三菱エレペット R 形・住宅用エレベータ

表紙 3 日本万国博覧会の照明施設 (その1)

表紙 4 日本万国博覧会の照明施設(その2)



## MITSUBISHI DENKI GIHO



#### SPECIAL EDITION FOR ELEVATORS

#### CONTENTS

SPECIALLY COLLECTED PAPERS
Elevator Traffic Simulation in Off Peak Hour and Its Application
Mitsubishi Synchro Glide Elevators Making Progress in Super-high Speed Operation
A. Takamura · N. Anzai · E. Watanabe · · 1005
Approach Detectors
Longitudinal Vibration of High Speed Elevators
Mitsubishi ASP-A MARK-II Group Supervisory System of Elevators
New Elepet
Outdoor Elevators
TECHNICAL PAPERS
2.2 kV Miniclad (Solid Insulation Switchgear)
7,300 kW 4 Pole Squirrel Cage 3 phase Induction Motor
Method of Calculation of Magnetic Field Due to Current Distribution on Revolving SurfacesT. Nomura1067
Video Tape Recorders VT-900······A. Dôke · S. Kunii···1074
Experimental Study of Chemical Reactions in High Temperature
Lighting in Mitsubishi Pavilion Expo '70
SILHOUTRON-Display device for Expo '70 Mitsubishi PavilionS. Takada • K. Kurahashi • S. Ikebata1093
Attractive Lighting for A Balloon of the Ricoh Pavilion in Expo '70
NEW PRODUCTS————————————————————————————————————
NEWS FLASH————————————————————————————————————
PATENT AND UTILITY MODEL 1049
HIGH LIGHT
TIGHT LIGHT

#### COVER:

#### 1. The Age of Skyscrapers and Elevators with Data Processing Technique

A vital role played by elevators in skyscrapers has been acknowledged increasingly. How to determine the elevator system affects a great deal the economy and efficiency of buildings. Traffic simulation technique through computers in the planning of the elevator system is now new notion come into being. This has made it possible to have a rational system design compared with the old qualitative and experimental practice. Also supervisory system of grouped elevators with higher efficiency and better function is the outcome of the latest data processing technique put into application.

As further progress, man to machine system is anticipated, where man talks to the machine. This can never be realized but the application of this new technique.

The illustration on the cover symbolizes future elevators in which the data processing technique is taken up in full to cope with the active construction of skyscrapers.

- 2. Type R Elevator "Mitsubishi Elepet"
- 3. Attractive Lighting in EXPO '70
- 4. Attractive Lighting in EXPO '70

# HIGH-LIGHT

## "三菱住宅設備コア"を開発

## 《工事の省力化,機器のシステム化を図る,総合住宅設備ユニット》

当社では、かねてから三菱地所(株)の計画に基づいた一戸建用住宅総合設備ユニットの研究開発を進めてきたが、このほど試作品第一号を完成した。これは、従来見られなかった独創的なアイデアと新構想からうまれたもので、長年にわたってつちかってきた当社の総合設備メーカーとしての実績、技術的成果などを余すところなく盛り込んだものである。試作品の発表に引きつづいて、今秋10月から生産・販売を開始する準備計画を推進してる。

#### ●三菱住宅設備コア開発の意図

ここ数年来,住宅に対する国民的関心はいよいよ高まり,産業経済界に占める住宅産業の比重は逐次大きさを増し,その急速な成長には目をみはらせるものがある。こうした情勢に即応して,設備の総合メーカーである当社は,「将来の住宅のレベルや価値を決定づけるものは設備である」という見解を持ち,住宅関連設備に対してより積極的に取り組むと同時に,広い視点に立った独自のプランを練ってきた。この意図のもとに,三菱地所の計画に基づき当社の高度な技術を結集して完成したのが,"三菱住宅設備 コア" 試作品第1号である。

#### 一業界最初の総合的設備ユニットー

住宅建築の プレハブ 化、工場量産化にともない、最近では設備の ユニット 化が目立っているが、それらはいずれも単一機能の設備 ユニットで、"住宅設備 コァ"のような総合的 ユニットは発表されていない。

#### 一設備機器のシステム化一

いっさいの設備部分を最も合理的に組み合わせ、それぞれの設備機器が有機的に関連性を持つ完べきな システム を開発し、これをそのまま住宅の心臓部にするという ユニーク な発想から "三菱住宅設備 コア"がうまれた。

#### ●三菱住宅設備コアのねらい

(1) 住宅需要の増大につれて、建設労務者不足の対策・工程管理の合理化・工場量産による コストダウン など、次々に新しい課題がうまれてきた。そのため住宅における ユニット 化の必要度が急速に高まってきた。

しかし厨房・浴室・トイル・洗面所などの、それぞれの単一機能を ユニット 化するのみでは、 やはり ユニット の取り付け、給・排水系や空調・給湯系の配管配線といった現場作業が相当必要となり、根本的な課題に答えるものとはいえない。

- (2) "三菱住宅設備 コア"は、これらの要請を満たすために
- (a) 生活水準の向上に見合う設備の重装備化
- (b) 工場量産による現場作業の徹底的な省力化と迅速化
- (c) 機器の適切な選択と システム化

などによって、従来のユニットとは異なる独自の新しい構想を実現している。

(3)  $4 \sim 6$  人家族の一戸建住宅用に考えたこの 3r は、最も合理的かつ快適な住生活を営むため、各種設備器の選択に加えて、その機能的配置を設定した住宅 3276 の供給を目的にしている。

住宅の心臓部ともいえるこのコアを中心に、好みに応じてどのようにでも居住部分を接続構成することができる。

(4) 住宅 システム の供給を目的にしたもう一つの意義は、設備機器全般にわたる品質管理の画一化、アフターサービス の一元的管理を期していることである。

#### ●おもな特長

- (1) 住生活に必要な設備 (厨房・空調・洗たく・浴室・洗面・化粧・トイレ) のすべてを, コンパクト に一体化した。
- (2) 現在はもちろん、将来必要とされる諸設備機器も装備してある。
- (3) 設備機器のみならず、収納スペースも多くとり入れた。
- (4) セントラル 給湯・セントラル 冷暖房(ダクト 方式)を可能にする コンパクト な機器を備え、勝手口も設けた。
- (5) 各設備間の動線は、コア内で連続性を持たせ、家事作業の能率化を配慮している。
- (6) 大きさは幅  $2.4\,\mathrm{m}$ ,長さ  $7.2\,\mathrm{m}$ ,高さ  $2.65\,\mathrm{m}$ で,これは現在の道交法による通常の運搬可能範囲に入り,しかも生活機能設備として必要な  $2^{\mathrm{c}}$  スペース は十分に確保してある。
  - (7) "住宅設備 コア"全体をトラック (10 t 積) に積載して輸送することができ、これに居住部分を接合して設置すれば、そ

の住宅のすべての設備が完成する。

#### ●協力関係

"三菱住宅設備 コア"は、計画三菱地所(株)、製作・三菱電機の協同開発であるが、設備機器の一部および内外装については、次の各社より協力を得ている。

日本建鉄……本体工事・アルミサッシ・ドア・防火戸

三菱樹脂……ユニットバス

三菱アルミニウム…外装 カラーアルミ 板

三菱 レイヨン・・・・・・繊維床材 パイザル

岡村 エンジニアリング …空調吹出口

東陶機器……衛生陶器・水せん(栓)・金具類

#### ●生産・販売

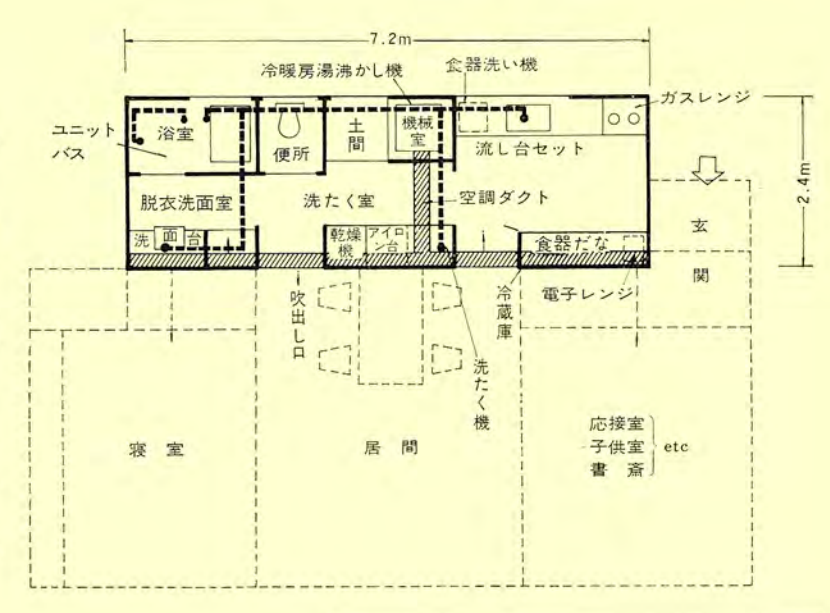
本年 10 月以降, 受注生産方式により販売を開始する。 ただし現在でもご照会に応じる。 また将来は コァ の一部分の別売にも応じる。概算正価 250 万円。

#### ●仕 様

#### 住宅設備コア平面

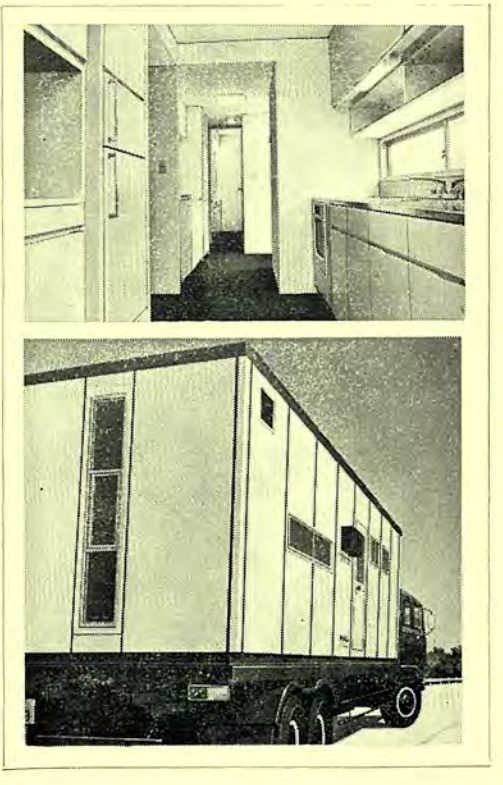
(点線は居住部分の間取りの一例を示す)

- (1) 面 積: 17.28 m² (5.2 坪) 付 設の居住部分は50~120 m² を 想定
- (2) 構 造:軽量鉄骨造 外壁 カラーアルミ 板、内装合板 ビニル 張り 屋根なし
- (3) 寸法重量:7.2 m×2.4 m×高 さ 26.5 m 総重量約4トン 10トン 積みトラックに積載可能
- (4) この コア は、4~6 人家族用を 標準としている。



#### ●三菱住宅設備コア内蔵機器一覧表

区分	機
	流し台:間口2m,前面メラミン化粧板
	ガスレンジ:トップ二口、オーブンとびら全面ガラス
	食器洗い機:流し台組込み,6人用,全自動二重噴射式
台	換気扇: 25 cm 連動式 [E-25 LK]
	冷蔵庫: 2 ドア式 総内容積 187 l [MRA-180 FC]
	電子レンジ: 家庭用標準形 [RR-603]
	ドアホン: 乾電池式 [ZDP-101]
所	天井けい光灯: 円形 40 W 用, カバー付きフレームレス [FCP-461]
	たな下けい光灯 (3台):15W 用, プラスチック製下面開放 [FZ-521]
	つり戸たな: 間口2m, 前面メラミン化粧板
	食器戸たな: 間口約2m, 前面メラミン化粧板
DAIL ST	洗たく機:全自動式,洗たく脱水能力2kg
it	電気衣類乾燥機:ロッカータイプ, 乾燥能力1.8 kg 自動適正乾燥 [DA-801
1c	天井けい光灯: 円形 30 W 川, 埋込形カバー付き [FCY-321]
100	天井常夜灯: 白熱灯用, 埋込形カバー付き [LD-401]
<	たな下けい光灯: 15 W 用, プラスチック製下面開放 [FZ-521]
室	つり戸たな:間口約1.7 m, 前面メラミン化粧板
	アイロン台兼キャビネット: 間口約 0.7 m, 前面メラミン化粧板
	冷房ユニット:セバレート形 8,000/9,000 kcal/h 三相 200 V
機	ガス温水機: 8号 沸き返し装置付
	ガスファーネス:11,000 kcal/h
被	自動室温調節器:冷房ユニット,ガスファーネス用
室	天井けい光灯:10 W 2 灯用, カバー付き [FV-W 1422] 分電盤:1 ゆ 2 W 10 A 6 回路
215	プ電監: 「中 2 W TO A 6 回路 空間吹出口: アルミ製
-	水洗便器:ロータンク洋式
便所	換気扇: ダクト用, 大井型込み [V-13 KZ]
151	天井けい光灯:10W 2灯用,電子スタート,カバー付き
脱衣	洗面台: 3 面鏡, 戸だな付き
洗面室	鏡 灯:40 W ラビッドスタート式, くもり止めファン付き, カバー付き
浴	ユニットバス:浴そう FRP 天井, 壁 ABS
室	換気扇: ダクト川, 天井埋め込み [V-13 K 2]
	天井けい光灯:10W2灯用,電子スタート,防湿形カバー付き



#### 

UDC 621.87

平常時におけるエレベータ交通のシミュレーションとその応用 新保松夫・藤田 明・寺山佳佑・小池行貴・大西祥子

三菱電機技報 Vol. 44.No.8·P985~1004

従来、建物に対するエレベータ設備を選定する場合、主として朝のピーク時のみを対象としており、1日のエレベータ交通の大半を占めるピーク時以外のいわゆる平常時におけるサービス状態を評価しうる適正な手段はなかった。今回、当社が開発した全自動群管理式エレベータ(ASP-A・MARK-II)のディジタル コンピュータ シミュレータ(ASCOM-II)を活用すれば、平常時のエレベータ交通における個々の利用客のシステム内での事象を集積した、統計的なデータによって、エレベータシステムのサービス状態を評価することが可能となり、建築設計者に 対してエレベータ設備をより正しく計画するための、助言を提供する

UDC 621.876

超高速化の進む三菱シンクログライドエレベータ

高村 明・安西伸夫・渡辺英紀

三菱電機技報 Vol. 44. No. 8·P1005~1014

近年超高層ビルが続々と建設されるにつれてエレベータもますます高速・高 掲程化を要求されるようになった。

三菱シンクログライド高速エレベータはこのような要求にこたえるために開発された高性能エレベータで、昭和38年以来、多くの納入実績を数え、高級高性能エレベータとしてご好評をいただいている。

本論文では、高速エレベータとして備えるべき条件と、この条件を満足する ために当社が行なってきた数々の改良事項、さらには世界最高速である540 m/min エレベータを実現するため の技術的問題点を述べ、併せて今回世界貿 易センタービルへ納入した 300 m/minエレベータの実績をも紹介する:

UDC 621,876[534,88-8]

アプローチ ディテクター

丸橋 敞・吉山裕二・野田昌弘

三菱電機技報 Vol. 44. No. 8·P | 0 | 5~ | 0 | 9

この装置はエレベータに乗り込もうとする乗客の動きを検出する画期的な検出器で、超音波のドップラ (Doppler) 効果を利用している。乗客の検知速度は 0.4m/s以上、検出面積はドア前、幅2 m、奥行2 mの領域でとびらに向って近づく人のみを検知し、遠ざかる人や、エレベータホールを通り抜ける人、静止物体は検出しない。この検出器を従来のとびら開閉管理装置と併用するとエレベータの待機むだ時間を極力短縮して運転効率を上げられる。また乗り遅れた乗客が、あとから急いで近づけば閉動作中のとびらを再開して収容するなど、運転手なしエレベータのサ

UDG 621.876(534.015)

高速エレベータの縦振動の解析

松倉欣孝・竹下光夫・瀬原田三郎・大富貞行

三菱電機技報 Vol. 44. No. 8·P1020~1024

超高層ビルに使用されるエレベータは、高速高揚程の傾向にあり、ローブが長いため縦振動への配慮が必要になってきている。これに対し種々の方向から検討を進め、エレベータの設計にこれらの成果を積極的におりこみ、振動の少ない乗心地よいエレベータを製作している。ここでは、上の研究の一環としてとりあげたかごの位置と縦振動の固有振動数との関係について詳述し、(1)ロープなどによって決まる固有振動数は、ロープが集中定数ばねとしてきくものと、分布定数ばねとしてきくものの2種に大別でき、後者はかごの位置に関して急激に変化すること、(2)シャックルばね等ローブに直列にそう入されたばねの効果、などについて明らかにした。

UDC 621.876

三菱ASP-A MARK II 全自動群管理エレベータ

板垣晃平・石嶋 進

三菱電機技報 Vol. 44. No. 8·P | 025~ | 037

三菱オート セレクト パタン オート (ASP-A) 方式は、わか国で最初の本格的全自動群管理エレベータとして昭和32年に市場に登場した。以来、その性能の優秀さは高く評価され、国内外を含めてすでに 500台以上の納入実績を誇っている。

この間、数多くのビルにおいてエレベータの実動状況を調査するとともに、シミュレーションにより種々の交通需要と、その変動に対するエレベータの応答のさせ方を徹底的に追求し、同時にまた顧客の要求をとり入れて、従来から好評であったASPーA方式 に大幅かつ基本的な改良を加え、全く新しい全自動群管理エレベータ ASP-A MARKII式を開発したのでその全管を紹介する。

UDG 621.876

新形エレペット

山田春夫

三菱電機技報 Vol. 44. No. 8 · P | 038~ | 04 |

昨今の一連の社会政策の中で、都市再開発・住宅建設計画が大きくクロースアップしたのに伴ない、新規需要の中小ビル高層化の傾向が著しくなった。この状勢に即応するため、当社エレベータ部門は、今回、従来の「標準形エレベット」の容量と速度の範囲をそれぞれ大幅に拡大すると同時に、意匠デザインの多様化に対応する新体系を確立した。すなわち住宅用と一般乗用の2本立に区分し、それぞれに特色を持たせ、新しい時代の要請に答える系列をととのえた。本文では、この新しい新形エレベット」の概略仕様と、その開発の主眼と技術的内容について概説し、

今後急激に増加するであろうこの種のビルた。

UDC 621.876

屋外用エレベータ

小林憲太郎・伊藤拓三

三菱電機技報 Vol. 44. No. 8·P I O42~ I O47

通常のエレベータは、一般屋内で周辺を閉ざした昇降路内に設置される環境 条件(いわゆる屋内普辺環境)を前提に発展してきたものであるが、近年屋外 の自然環境に接した条件で設置される屋外用エレベータの要求もふえてきた。 屋外用では従来の屋内環境用とは異なった特殊対策が必要であり本稿ではこれ らの概要を述べ若干の実施例について紹介する。

UDC 621.316.344:621.316.5

22kVミニクラッド(固体絶緑開閉装置)

劒持 宏・永田秀次・永井信夫・桜井武芳・信崎泰秀・畑田 稔 三菱電機技報 Vol.44.No.8·P1051~1061

都市過密化対策として、東京電力と三菱電機は共同により、革新技術を駆使して、超小形であるとともに、高信頼度をもち、建設・運転・保守を省略化した超小形変電所、新技術開発を行なうこととなった。その第一段階として大容量変電所の二次側となる22kV 用開閉装置(ミニクラッド)の試作試験を行ない、実用性能を十分検証できたうえで、東京電力目白変電所に納入、昨年3月から運転にはいった。本年1月完全な現地点検を行ない、十分な実用性を持っていることを証した。本論文はこれらの開発経過および目白変電所納入機器について述べる。

#### '二変电慨抆報」/ノストフン

UDC 621.313.333.2.025.3

7300kW 4極 かご形回転子 三相誘導電動機

冨田晴彦・伊瀬知 孝・森永恭光

三菱電機技報 Vol. 44. No. 8·P1062~1066

かご形誘導電動機は、始動 k V A が大きいため大容量機では、従来巻線形電動機が採用されてきた。しかし、使用場所の電源容量は近年とみに増強され、大容量かご形電動機の需要は著しく増えてきつつあるが、大容量高速機においては、負荷のGD が大きい場合には、始動時の発熱、および遠心力による回転子バー並びにエンドリングの強度が問題となる。当社では、昭和44年10月神戸製鋼経由新日本製鉄(戸畑製鉄所)に、7,300kW、4 極、かご形三相誘導電動機を製作納入した。これは国内の記録品であり、大容量かご形誘導電動機製作の緒となるものである。

UDC 628-974:628-9-06

日本万国博覧会における三菱未来館の照明

穴沢喜美男・森本俊一

三菱電機技報 Vol. 44. No. 8 · P | 086~ | 092

"人類の進歩と調和"をテーマにした日本万国博で、三菱グループは"日の自然と日本人の夢"に取組み、四季折々に変化する日本の自然と50年後の本の空・海・陸を描き出している。

ここでは、50年後の日本の空・海・陸演出に大きな役割を果たしている照について、展示物との関係を含めながら、その方法と効果、照明器具の種類、および調光装置を各へやごとに分けて述べることにする。



UDC 534.54:538.63:512.8

回転曲面に分布する電流による磁界の計算法 野村達衛

三菱電機技報 Vol. 44, No. 8·P | 067~ | 073

発電機端部やテレビション用偏向コイルあるいは円筒くら形マグネットなどの磁界問題は、鉄心境界が軸対称で電流も軸対称の回転曲面に分布し、電流は円周方向成分のみならず、軸方向成分と半径方向成分も存在する三次元の磁界問題で、その解析はむずかしい。

このような三次元磁界問題に対し、複雑な鉄心境界も考慮できる磁界計算方法として差分法による数値計算が期待される。本文は磁気スカラーボテンシャルを用いた特殊な差分法計算法を示し、テレビション用偏向コイルに適用した例を示す。この計算法によって、従来正確に計算できなかった複雑な境界を有する磁界問題も答

UDC 621.397.3;621.326

シルエトロン―― 日本万国博覧会 三菱館設置電光映像装置 高田真蔵・倉橋浩一郎・池端重樹

三菱電機技報 Vol.44 No.8·P1093~1097

万博三菱館第5室に10m×8mの大画面映像装置「シルエトロン」を設置た、これは一辺が200mmの正三角形パネルに15Wの自然電球をとりつけたもにを一絵素として、約3,000絵素をマトリクス状に配置した映像パネルを備え、これをラスタ走査方式により制御して、ITVカメラ等で撮影した像を実時間表示することができるものである。

万博ではステージ上の人物の動きをシルエットとして表示するという演出に をとっている。



UDC 621.397.6:621.318

ビデオ テープレコーダ VT-900

道家昭彦・国井郷志

三菱電機技報 Vol. 44. No. 8·P | 074~ | 080

ビデオ テープレコーダは、記録媒体に磁気テープを使用しているので即時性があり、また何度でも(数局囲)記録・再生できるという経済的利点を持っている。今度、X線透視画像を記録するのに十分な性能を持つ高解像度VTR、VT-900を開発したので、その概要を述べる。また本機の付属装置として、記録位置を自動的に検索することのできるオートサーチ ユニットVS-9、およびXTVと組合せて用い、フィルム撮影像と同像を即時に再生し、フイルム撮影状態を判定できるスポット装置も同時に開発したのでここに合わせて報告する。

UDC 678.974:628.9.06

日本万国博覧会におけるリコー館のバルーン照明

小川俊也・福島善夫・狩野雅夫・橋本武雄・森本俊一

三菱電機技報 Vol. 44. No. 8.P | 098~ | 103

"人類の進歩と調和"をテーマにした日本万国博覧会のリコー館屋上には、大きなバルーンが空高く上がり、大きな目で会場を見おろしている。そして1になると色とりどりの色に変化し、水玉模様のバターンを描き出している。このバルーンの照明には、光源として、色けい光ランプ、カラードけい光ランおよび自然灯を使用し、けい光ランプの調光、自然灯の点滅をおこなっているこれらの操作はすべて電子計算機が受持っており、作光者のイメージをそのま 措写できるようになっている。ここでは、この照明方法について述べる。

#### UDG 541.11.001.33

高温化学反応の実験的研究 —メタンからアセチレンの生成 — 小村宏次・伊藤利朗

三菱電機技報 Vol. 44. No. 8 P 108 | ~ 1085

好ましい運転条件で、アーク電圧が 250V、アーク電流が50Aという電気的加熱器が設計、開発された。この装置に作動ガスとして供給されたメタンの熱分解反応について研究がなされた。高温反応気体中の生成物が水冷プローブによって冷却、採収された。質量流量30 //min、電気入力10~15kWの条件で、アセチレンと水素が主生成物であった。冷却された生成物中のアセチレン濃度は良い条件で23~35モル%に達している。 実験の結果は、メタンの高温熱分解に関して一連の連鎖反応を仮定することによって反応速度論的に計算された結論と矛盾しない。反応速度 論的計算の結果は高温アーク中におけるメタンの平均温度が2000°~ 2500°Kにあることを示している。

## 平常時におけるエレベータ交通のシミュレーションとその応用

新保松夫\*·藤田 明\*·寺山佳佑\* 小池将貴\*·大西祥子\*

# Elevator Traffic Simulation in Off-Peak Hours and Its Application

Head Office Matsuo SHINBO • Akira FUJITA • Keisuke TERAYAMA

Masayoshi KOIKE • Sachiko OHNISHI

In the selection of elevators for building, the service for peak hours has taken into account as the main factor of determination, but there has been no proper means to evaluate the service conditions in off peak hours which are accounted for the major portion of daily traffic. Under the circumstances an ASP-A simulator on computer (ASCOM-II) has been developed. With this, the operation of the ASP-A-Mark II has been simulated through digital computation to evaluate the service condition of elevator systems in connection with the waiting time of the passengers. Thus, imformation needed for the effective design of elevator systems can be made available through this method.

#### 1. まえがき

超高層 ビルがあいついで建設されている昨今, ビルの機能化・効率化を計るうえで, エレベータ 設備のあり方に対して, 今まで以上により多くの配慮が必要であるという認識は, 今や ビル 計画・設計の関係者の間に定着しつつある。 ビルの超高層化は垂直輸送距離を増大させ,必然的に エレベータ 設備を大規模化する。このことは, 直接ビルの レンタブル 比を圧迫し, 建物の効率を低下させる要因となるが, 一方, ビル機能を低下させないためには,必要にして十分な エレベータ 設備の確保が要請される。ここに, エレベータ 設備計画の重要性が存在する。

従来, IVベータ 設備規模を選定する方法としては,その  $E_{IV}$  に発生すると推定される IVベータ 交通需要の  $E_{IV}$  時を対象として, IV ベータの輸送力確保という観点から,種々の検討を加えるのが一般的であった。 最近では,とうした  $E_{IV}$  時のみを重視する設備計画のあり方に対して, $E_{IV}$  時のみを重視する設備計画のあり方に対して, $E_{IV}$  時間若における利用者の「待ち時間」を含めた,総合的な解析による設備水準の重要性が提唱されはじめている。しかしながら,平常時における IV  $E_{IV}$   $E_$ 

当社では、このたび、こうした平常時のエレベータ交通における、全自動群管理方式のエレベータである、ASP-A・MARK-II(Auto Select Pattern-Auto)の運転動作をディジタルコンピュータによって模擬し、乗客の「待ち」に関するデータに基づいて、エレベータシステムのサービス状態を評価することができるシミュレータ ASCOM-II(ASP-A Simulator on COMputer)を開発したので、その概要を紹介するとともに、従来のエレベータ設備計画手法に対する一つの見直しを試みた。

#### 2. エレベータ設備計画と日中におけるエレベータ交通

エレベータ に限らず、設備計画の目的とするところは、 適切な需要

または負荷を予測して、これに見合った過不足のない能力を持ち、 しかも最も経済的な設備を選択することにある。

建物内における垂直交通需要は、建物の性格・規模・立地条件などによって大きく左右される。しかも、建物の計画時点では不確定な要素が多いのが普通で、エレベータの交通需要の予測には困難をともなう場合が多いが、需要予測が適当であるか否かは、エレベータ設備計画の成否に直接関係する重要な事項であるから、慎重に高い精度で設定する必要がある。次に、需要予測に基づいてビル内の交通をどのように処理したら最も能率のよい設備となるかを検討して、エレベータの基本的骨組みとなるサービス計画案をたて、その計画案について交通計算を行なって結果を建築計画にフィードバックする。これらの手順を繰返してエレベータの適正台数・仕様を決定するのが設備計画の初期段階として、正統な手法である。さらに、エレベータの利用には必ず待ち合わせの問題がともなうので、前述のように、量的には過不足のない輸送能力を確保することのほかに、質的にも利用者の待ち時間をある許容値以下になるよう、両面からの検討が必要である。

従来から事務所ビルの計画では、一般に交通需要として最も集中度の高い朝の出勤時を対象とし、そのピーク5分間の出勤者数と、前もって仮定したエレベータの5分間の輸送人員との比較を繰返して、エレベータの最適仕様を求めることを行なってきた。 この方法では、すべての情報量を平均値として扱っているため計算は簡単で、エレベータのサービス計画、仕様を変えた場合のマクロ的な比較検討には有利な方法であるが、問題を定常的な人の流れに置き換えているため、動的状態がつかみ得ず、したがって得られる結果には限界があった。また待ち時間に対しては、エレベータの平均1周時間を単にバンク内台数で割った値を一つの目安として評価せざるを得ない欠点があった。

しかしながら、建物が高くなって エレベータ 台数が増加し、建物の 平面計画が エレベータ で左右されるようになると、 エレベータホール における過渡的な待ち行列や、 エレベータ 利用者の待ち時間などの精度の 高い データ が必要になってきた。

これらの要求にこたえるため、当社では数年前より出勤時における  $I_{\nu}$  交通の  $\partial_{z_1\nu} - \partial_{z_2}$  ASCOM-I を実用化した $\partial_{z_1} \partial_{z_2}$  に $\partial_{z_1} \partial_{z_2} \partial_{z_3}$ 

設備計画に際しては、従来の計算手法によりほぼ煮つまった  $IU^{-}$  タ計画案に対して 100

従来の交通計算の方法と シミュレーション の併用により、 事務所 ビルの エレベータ 設備計画手法はより合理的になったが、これだけの検討で十分であろうか。 出勤時の ピーク を過不足なく処理できる能力があれば、日中の交通に対しては十分に対処できるという前提条件が成立する限りにおいては正しく、大部分の事務所 ビルの エレベータ 計画には出勤時の検討のみで十分であろう。しかしながら、実際のエレベータの利用状況をみると、 設備規模の算定の対象となる出勤時の昇りピークは、15~30分程度の短時間であり、1日の大部分の時間は昼食時の昇り降り混雑も含めて、二方向交通のある日中の ビジネスアワーである。これら日中における エレベータ交通の待ちの問題を定量的には(把)握して、エレベータシステムの性能をより多角的に 評価することが重要である。

一般に日中の  $_{\text{IU}}$ では、上り方向のみの朝の  $_{\text{IU}}$ の時に比べ、昇り降りの二方向交通によって  $_{\text{IU}}$ の1 周時間が長くなること、また、運行の乱れによって長時間待たされることなど、サービス の質的な面がより重要な問題となる。

数台のエレベータが一つのグループとなってサービスする システムでは、エレベータ相互の関連動作が交通状態によって変化するような運転管理方式、すなわち群管理運転のエレベータの採用を計画するのが一般的であるが、エレベータの運行状況と乗容の関係を待ち合わせ理論などによる解析的な手法でとらえることは、重要であるにもかかわらず、非常に問題がむずかしいので、今まで試みられたことがなく、ほとんど不可能に近いと考えられていた。日中の交通には、出発階と一般階間との交通のほかに各階相互間の交通が混在し、それらの交通をきわめて単純に仮定しても、後述のごとく複雑な計算をしなければならず、実用にならない。したがって日中のエレベータ交通の検討には、できるだけ交通状態を忠実にモデル化して、ディジタルコンピュータシミュレーションを行ならのが最適な方法と考えてよいであろう。

#### 3. ビジネスアワーにおける交通計算

事務所 ビル における ビジネスアワーでの エレベータ の交通は、次のよう

にみることができる。まず、エレベータには昇り方向・降り方向ともに利用者が存在する。この交通は、玄関階と各階を結ぶ二元交通を主として、これに各階相互間の交通が重畳している。玄関と各階間の交通量は、ビジネスアワーでは昇り方向・降り方向ともにほぼ等しく、5分間に在籍者数の3~5%(片道)である。各階相互間の交通は、一社専有ビルでは著しく多く、外部との交通量の1~2倍に達する。特にテレタイプ、複写室などの社内共通部門のある階、役員室階とその他の階との間で多く、他の営業部門間・管理部門間では比較的少なくなる。数社が入居する貸事務所ビルでは、各階相互の交通量は少なく、外部との交通量の10~40%の範囲内である。この交通量は、入居企業相互の関連の強さによって変化する。

とのような状況に対して交通計算を行なうことは、朝の出勤時の 単純な モデル と異なり非常に困難であるが、 条件を整理することに より、精度は若干犠牲になるが可能である。

ビジネスアワー における各階相互の交通による影響は、エレベータの停止数の増加となって現われる。この場合の予想停止数の計算は、任意の階からエレベータに乗る利用者の行先が、乗車階より先方の各階に対し均等の確率を持つものとすれば、式(3.1)より求められる(付録参照)。

$$f_L = \sum_{i=2}^{n} \left[ 1 - \left\{ e^{-r_i} \left( \frac{n-2}{n-1} \right)^{r_i} \left( \frac{n-3}{n-2} \right)^{r_2} \cdots \left( \frac{n-i}{n-i+1} \right)^{r_{i-1}} \right\} \right] \cdots (3.1)$$

てこに  $f_{L}$ : 片道の予想停止数

n: 玄関階を含む エレベータ の サービス 階数

 $r_i:i$ 階から エレベータ に乗車する人数

すなわち  $r_1$ : 玄関階から各階へ行く エレベータ の利用者  $\sum_{n=1}^{n-1} r_n$ : 各階相互の エレベータ の利用者

 $r_i$  の決め方については, 単位時間(たとえば 15 分間とする)内の玄関階と各階の交通量  $N_L$  および各階相互間の交通量  $N_L$  から,次の条件を満すよう決定するのが妥当であろう。

$$r_1 = \sum_{i=2}^{n-1} r_i = N_L : N_I$$
 ......(3.2)  
 $r_1 = \frac{N_L \times R. \ T. \ T.}{900 \times C}$  .....(3.3)

ことに R. T. T. : ェレベータ の平均 1 周時間 C: ェレベータ の台数

平均 1 周時間 R. T. T. は、 $I_{U^{N-2}}$  の乗客数  $r_i$  によって変わるので、式 (3.3) は、交通需要と  $I_{U^{N-2}}$  の輸送力がちようど等しくなる乗

表 3.1 1 周時間, 平均運転間隔の計算式 Calculation of round trip time and average car dispatching interval.

	記 号	領片	第		式
エレベータ台数	C	エレベータ仕様による		同	左
定格速度m/s	V	エレベータ仕様による	-	罰	左 n
片道の乗客数 人	r	界均方向 $\sum_{i=1}^{n} r_i$		降り方向	$\sum_{i=1}^{n} r_{i}'$
サービス階数(出発階を含む)	n	建物階数、エレベータサービス形式による		同	左
予 想 停 止 数	fL	$\sum_{i=2}^{n} \left[ 1 - \left\{ e^{-r_i} \left( \frac{n-2}{n-1} \right)^{r_1} \left( \frac{n-3}{n-2} \right)^{r_2} \cdot \dots \cdot \left( \frac{n-i}{n-i+1} \right)^{r_{i-1}} \right\} \right]$	$\sum_{i=2}^{n} \left[ 1 - \left\{ e^{-r_i} \right\} \right]$	$\left(\frac{n-2}{n-1}\right)^{r_1}\left(\frac{n-3}{n-2}\right)^{r_2}$	$)^{r_2'} \cdots \cdot \left(\frac{n-1}{n-i+1}\right)^{r'_{t-1}} \} $
走 行 距 離 m	Se	建物階数、階高による		同	. 左
平均走行距離m	j	$\mathcal{Se} / fL$		Self L	
平均走行時間s	tr	j より計算する		j' より計算	トナる
走行時間s	T <sub>r</sub>	$t_{ au}{ imes}fL$		$t_{r}' \times f$	
戸開閉時間 s	T <sub>d</sub>	$t_d{ imes}f_L$		$t_d \times f$	
乘客出入時間 s	$T_p$	$\iota_{p}{ imes}r$		$t_p \times r'$	
損失時間s	Te	$0.1 \times (T_d + T_p)$		0.1×(T <sub>d</sub> '-	+T <sub>p</sub> ')
1 周 時 間 s	R. T. T.	$(T_r+T_{r'})+(T_a+T_{a'})$	$+(T_p+T_{p'})+(T_e$	+Te')	
平均運転間隔	AI	R. 7	Γ. Τ./C		

注) ta:1回あたりの戸の開閉時間

 $t_{D}$ : 1 人あたりの乗客出入時間

記号にダッシュ (′) のついたものは降り方向を示す

車人数で計算する必要があることを示している。上記の条件の下に、 ビジネスアワー における エレベータ の 1 周時間 R. T. T. および平均運転間 隔は、表 3. 1 に従って計算することが可能である。

ビジネスアワー において、エレベータの交通計算を行なうおもな目的は、エレベータの平均運転間隔から、乗客の待ち時間を推定し、エレベータ設備の評価を行なうことにある。エレベータの交通状況が定常的であり、かつ建物の各階の使われ方が均質とみなすことができるならば、上記の計算から平均運転間隔を求め、この目的をほぼ達することができる。

しかし、実際の建物でこの条件を期待することは不可能に近く、

また次の事項によって大きく支配される待ち時間を, 不完全な計算で得た平均運転間隔から推定することも, 問題が多い。

- (1) エレベータの全自動群管理機能の能力の程度
- (2) 交通量の特定階への集中
- (3) 地下階 サービス の有無
- (4) サービス階に不ぞろいのある場合の影響,その他

すなわち、エレベータの サービス の質を問題にしなければならない ビジネスアワー での サービス 状態を検討する手段として、 上記の方法は、簡単ではあるが、使用できる範囲はきわめて限定されていると言わざるを得ない。

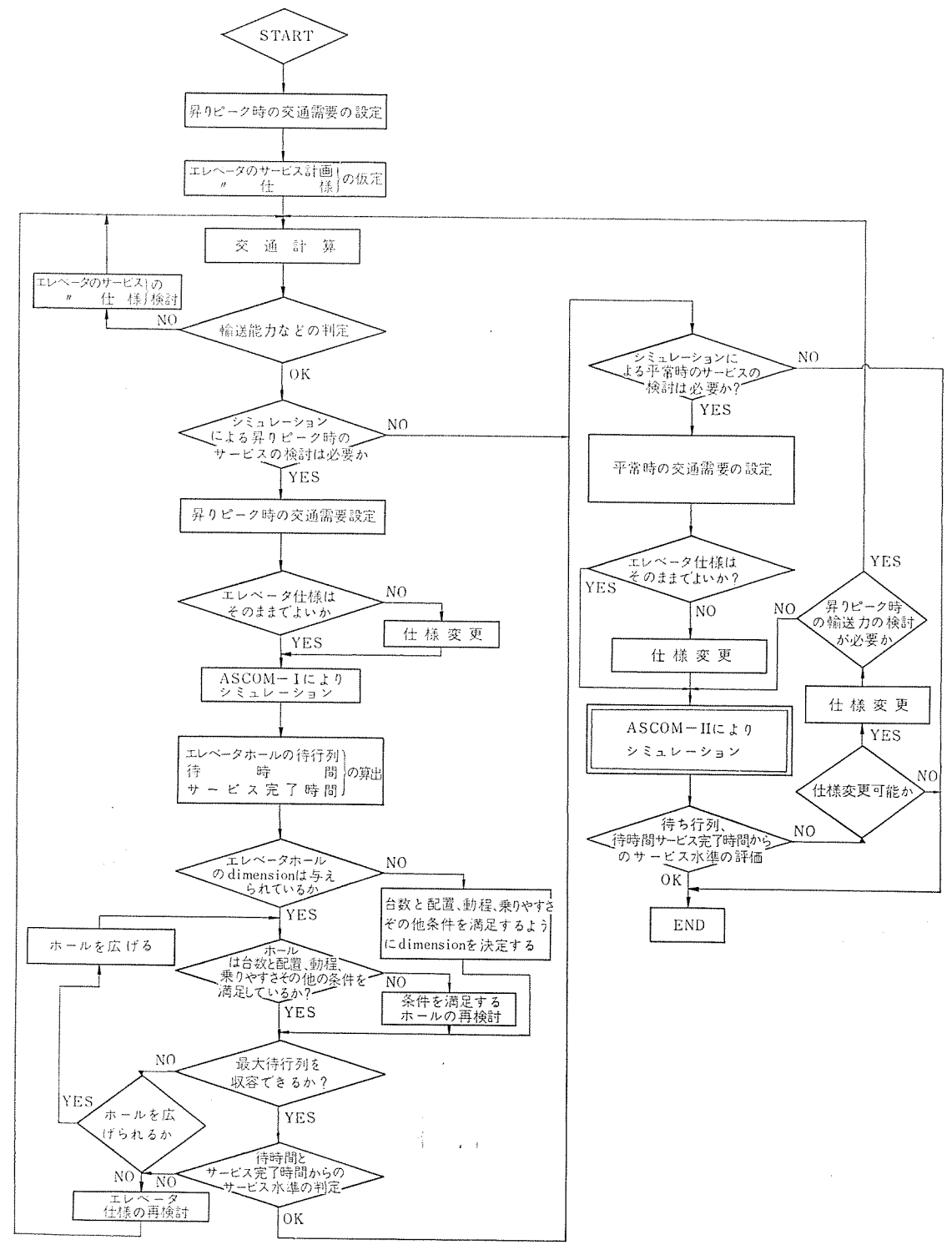


図 4.1 エレベータ 設備計画における シミュレーション 活用方法

Application of simulation in elevator planning.

#### 4. シミュレーションへの展開

このような問題――エレベータを取りまく周辺条件と、エレベータ自体の性能によって結果が異なる――を解く手法として、エレベータの交通現象を忠実にモデル化したディジタルコンピュータによるシミュレーションが有効であることは、先に出勤時の交通解析(1)で示したとおりである。

シミュレーションでは、エレベータの周辺条件である サービス階の設定(地下階や号機ごとのサービス階の不ぞろいも含む)や、各階からの利用者数および利用者の行先の指定など、計画する ビルにおける特殊条件もそのまま考慮に入れることができる。すなわち、前述の計算方法のように、エレベータの周辺条件を単純化する必要がなく、実情に即した検討を行なうことが可能である。また、エレベータの台数や容量・速度などの表面的なエレベータの仕様の差異だけでなく、自動群管理機能を含むエレベータ自体のシステム上の機能の差異をも検討することができる。そしてこのシミュレーションのアウトプットとしては、エレベータの設備に最終的な評価を与える乗客の待ち時間、サービス完了時間分布の形で直接得ることができる。すなわち、周辺条件とエレベータの各種の仕様案についての比較を、エレベータ設備を評価する最終的なデータを直接アウトプットすることができる点に、シミュレーションの大きなメリットがある。特に今回のビジネスアワーのように、単純化することが非常に困難な問題に対しては、効果が大きい。

との シミュレーション は、 エレベータ 計画に対して有力な手段を提供するものであるが、実施にあたってはかなりの人手と費用を要する。 したがって シミュレーション を実行する以前に、ピーク時の交通を 処理 できる輸送力を有する エレベータの台数・容量・速度や サービス 階の分担などの基本事項を設定しておくことが、人手ならびに シミュレーション 費用節約上望ましい。

われわれは先に開発した出勤時の交通解析用 シミュレータ 「ASCOM -I」と今回開発した ビジネスアワー の交通解析用 シミュレータ 「ASCOM -II」の使用にあたっては、図 4. 1 の手順にしたがって活用するのが最も効果的であると考える。

#### 5. シミュレータ ASCOM-II の概要

#### 5.1 シミュレーションモデル

エレベータ 交通の シミュレーション モデル は,大別して, エレベータ を利用する客の発生,すなわち交通需要モデル,乗客が エレベータ を利用する際に起こす動作 モデル, および乗客に サービス を与える エレベータ 装置 モデル,の三つの部分から構成される。次に ASCOM-II におけるこれら モデル の取扱いの概要について説明する。

#### 5.1.1 エレベータ交通需要モデル

エレベータシステムのサービス対象は乗客であり、乗客がいつ、何階のエレベータホールに何人到着し、どの階へ行くかが、いわゆる交通需要である。この交通需要に対応してエレベータの運転動作が変化する。したがって、交通需要は、エレベータ 装置系の動作に決定的な影響を与える。特に、エレベータ 利用客の到着 パターン は、交通需要の最も重要な要素であり、その正しい は握は、シミュレーションによってエレベータサービスの解析を行なおうとする場合、不可欠である。

われわれは、確率論的接近により、事務所 ビルの オフィスアワー や高層 アパート などで発生するような、いわゆる平常時における エレベータ 利用客の エレベータホール への到着 パターン に内在する本質的な構造をどう (洞)察して、一つの到着 モデルを構成し、観測 データ に基づく統計

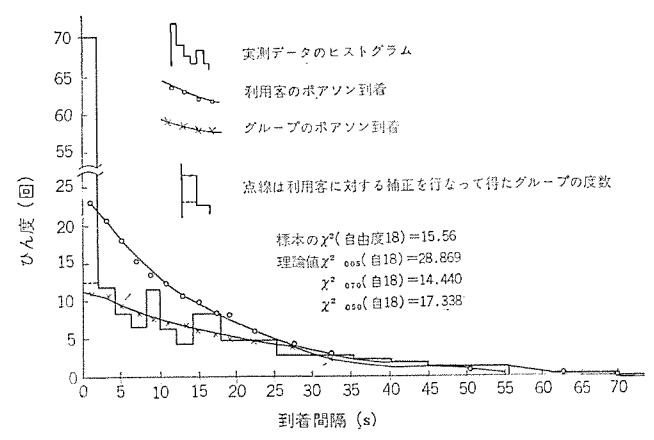


図 5.1 エレベータ 利用客の ホール 到着時間間隔 (昭和 43 年 7 月 11 日三菱電機 ビル) Timing of passenger arrivals at hall.

的検証によってモデルの妥当性を確かめた。

#### (1) 乗客の到着モデルの考え方

システムの能力を シミュレーション によって検定しようとする場合,一般に定常状態に対して シミュレーション を実行する。 エレベータ 交通の シミュレーション の場合,システム から サービス を受ける利用客の到着 パターン は,利用客の到着時間間隔の確率分布で表わされる。待ち合わせ理論により, この到着を ポァソン 分布と仮定することもできるが,エレベータホールでの実測の結果では,図 5.1 の ヒストグラム のように,1~2 秒以内の間隔で到着するひん(頻)度がきわめて高く,これを ポァソン 分布と見なすことは妥当でない。

- (a) 利用客の観察に基づく仮説の設定
- (i) 「グループ」の概念導入

ビルの各階のエレベータホールに到着するエレベータ利用客を観察すると、何人かが親しげにひとかたまりで到着することがある。これらの友人同志,または仕事仲間などの集りを「グループ」と呼ぶ。 ただし,たとえひとかたまりで到着しても, 他人同士はそれぞれ別個の グループ を構成し,また,たった1人で到着した場合は, その1人で独立の グループ を構成する。 そして,一つの グループ 内に含まれる利用客の数をその グループ の大きさと定義する。

このように、個々の乗客の到着ではなく、グループとしての到着に注目して観察したところ、ポアソン 到着の三つの条件を満足していると思われたので、まず次の二つの仮説を設定した。

(r) 第1仮説: グループの到着は、ポアソン 到着である。すなわち、 グループの到着時間間隔は、指数分布に従う。

- (イ) 第2仮説: グループの大きさから1を減じた値がとる確率は、 ポアソン 分布に従う。
  - (ii) 仮説に基づく到着 モデル の構成

(ア) 単位時間当たりの到着 グループ 数

$$\lambda = \frac{M}{T}$$
 .....(5.1)

(イ) グループの大きさから1を滅じたものの平均値

$$\mu = \frac{N}{M} - 1 \cdot \dots \cdot (5.2)$$

今, 式 (5.2) の μ を グループ 係数と呼ぶ。

上式から,グループの平均到着時間間隔  $1/\Lambda$  の指数分布に従う確率変数を X とし, 平均値  $\mu$  のポアソン 分布に従う確率変数を Y とする。また,変数 X の実現値を x ,変数 Y の実現値を y とすると,その確立分布関数は,次のとおりである。

$$F(x) = 1 - e^{\lambda x}$$
 .....(5.3)

$$F(y) = \frac{\mu^y}{y!} \cdot e^{-\mu} \quad (5.4)$$

以上により.

- (ウ) 変数 X の実現値 x を  $J_{\nu}$  J と  $J_{\nu}$  J との到着時間間隔とする(第 1 仮説より)
- (エ) 変数 Y の実現値 y に 1 を加えて  $J_{\nu-J}$  の大きさとする。 (第 2 仮説より)

以下, これまでの仮説の展開を便宜上, λ-μ 理論と呼ぶことにする。

#### (iii) λ-μ 理論による実例

シミュレーション 時点  $t_1$  において,X の実現値が 1.75 であり,Y の 実現値が 3 であったとする。このような場合,時点  $t_2$  ( $t_2=t_1+1.75$ ) において大きさ 4 人の  $j_{\nu}$  一プ を到着させる。 次に時点  $t_2$  において 変数 X と Y の実現値を求め, 次の到着時刻  $t_3$  と  $j_{\nu}$  一プ の大きさ を,前の方法と同様にして定め,以下 シミュレーション 時間が打切られ るまでこの操作を繰り返す。

$$\begin{array}{ccccc}
 & 4 & \\
 & \times & \times & \times & \longrightarrow & & & & & & & & \\
\hline
 & t_1 & t_2 & t_3 & & & & & & & \\
 & t_2 & t_1 & 1.75 & & & & & & \\
\end{array}$$

#### (b) 観測 データ に基づく仮説の実証

われわれは、都内の三菱電機 ビル、三菱商事 ビル および住宅公団 金町市街住宅第1号棟を対象に、乗用 エレベータの ホール へ到着する エレベータ 利用客を グループ 単位に は握して測定を行なった。前者二つの ビル は一般的な事務所 ビル であり、後者は典型的な高層集合住宅 であって、測定実施の便宜と、調査対象としての一般的な条件の具 備という点から、これらの ビル を選んだ。

#### (i) 第1仮説の実証

表 5.1 は、金町市街住宅で測定された グループ の到着時間間隔の 度数およびこれに対応する理論値を示す。 このうち、表 5.1(a)の ケース を取り上げて、 グループ 間の到着時間間隔が指数分布に従っていることを実証したい。

まず、観測 データについて パラメーター:λを計算すると,

$$\therefore \quad \lambda = \frac{66 \, \text{グループ}}{3,600 \, \text{季少}} \stackrel{\cdot}{=} 0.0184$$

そとで、表 5.1(a)の観測  $\vec{r}$ -gが平均  $1/\lambda$  の指数分布に従っていると仮定すると、観測  $\vec{r}$ -gに対応した理論度数は表 5.1(a)の下段の値をとる。 第 1 仮説の成立は、表 5.1(a)の観測値と理論値の単純な比較によっても推定できるが、確認のため、 $\chi^2$  検定を行なってみると、

標本の 
$$\chi^2$$
 値= $\frac{(12-11.2)^2}{11.1}$ + $\frac{(12-9.2)^2}{9.2}$ + $\frac{(5-7.7)^2}{7.7}$ +……+ $\frac{(1-2.4)^2}{2.4}$ =5.292

表 5.1 グループ 到着時間間隔の観測値と理論値(昭和44年10月28日・29日 住宅公団 金町市街地住宅第1号棟) Observed and theoretical values for the arrival intervals of passenger groups at the elevator hall.

#### (a) 10月28日 16:30~17:30

-	グ. 時	グルーブの到着 時間間隔 (秒) 観 測 度 数 理 論 度 数			10	20	30	40	50	60	90	120	180	180 以上:	計
-	観	測	度	数	12	12	5	6	4	5	8	5	8	1	66
-	理	論	度	数	11.1	9.2	7.7	6.4	5.3	4.4	9.3	5.4	4.9	2.4	66.1

λ=0.0184 標本カイ χ<sup>2</sup> 値=5.292 (自由度 9 の χ<sup>2</sup> 分布の 5 %棄却値 =16.919)

#### (b) 10月28日 17:30~18:30

グ. 時	ルース	プの登 新 (4	l ) (砂)	10	20	30	40	50	60	90	120	180	180 以上	ar
観	811	度	数	42	17	11	13	10	3	9		9		114
理	PASS PASS PASS PASS PASS PASS PASS PASS	度	数	30.9	22.4	16.4	12.0	8.8	6.4	10.5	4,1	2,1	0.4	114

λ=0.0316 標本 χ² 値=10.216 (自由度7の5%棄却値=14.064)

#### (c) 10月29日 16:30~17:30

グ 時	ルーフ	プの猫 猫 (	] ] ] ]	10	20	30	40	50	60	60以上	計
観	训	度	数	67	39	20	10	12	9	7	164
理		度	数	60.3	38.0	24.1	15.5	9.7	6.1	10.1	164.4

λ=0.0456 標本 χ² 値=6.23 (自由度 6 の 5 % 薬却値=12.592)

#### (d) 10月29日 17:30~16:30

á	グル時間		プの至 領 (	/             	10	20	30	40	50	60	60以上	πŀ
钡	!	W	度	数	66	41	24	11	9	5	11	167
В	!	論	度	数	60.3	40.8	22.7	17.2	9.7	6.2	10.2	167.1

λ=0.0464 標本の χ² 値=3.202 (自由度 6 の 5 %棄却値=12.592)

#### (e) 10月29日 18:30~19:30

が時	ルーフ	プの到 引 (打	着 沙)	10	20	40	60	80	80以上	計
観 測 皮 数			数	10	12	9	8	5	5	49
111	論	度	数	11.6	8.9	11.5	6.9	4.6	5.9	49.4

 $\lambda=0.0271$  標本の  $\chi^2$  値=1.293 (自由度5の5%棄却値=11.070)

一方,自由度 9 の  $x^2$  分布の 5 %棄却値は 16.919 である。したがって, 表 5.1 (a) の観測値について,第 1 仮説は受容される。以下同様にして,表 5.1 (e) までの観測値の  $x^2$  検定を行なったところ,いずれも第 1 仮説が成立することがわかった。

#### (ii) 第2仮説の実証

第1 仮説の実証と同様, 観測  $\vec{r}$ -9 に基づいて仮説の実証を行なった。昭和43年7月5日午前9時35分に,三菱電機  $\vec{t}$ <sub> $\mu$ </sub>の5階のエレベ-9ホー $\mu$ で観測した  $\vec{r}$ -9は,次のとおりである。

グループの大きさ: <b>i</b>	1	2	3	251.	ĺ
W=i-1	0	1	2	ar .	ĺ
グループの到着度数	151	37	5	193	

グループの大きさをiとすると,W=i-1が%アソン分布に従うことを実証したい。

うえの観測値について、 W の平均: μ を計算すると,

$$\therefore \quad \mu = 0 \times \frac{151}{193} + 1 \times \frac{37}{193} + 2 \times \frac{5}{193} = 0.244$$

全部で 193 個の グループ が平均 μ の ポアソン 分布に従うと仮定する

表 5.2 到着 グループ の大きさの分布(1) (昭和 44 年 10 月住宅公団 金町市街地住宅第 1 号棟にて観測) Size distribution of passenger groups arriving at the elevator hall.

	distribution										
	グループの大	. é é ——	: i	1	2	3	4	ĮĹ	自由度	標本の	適合度判定
観測口時	観測 場所	i-	-1	0	1	2	3	,,,	вшх	χ <sup>2</sup> 值	3112,772
28日 15:30~17:30	5, 6 号機侧		me	8 8.2	5 4.95	2 1.5	0 0.0	0.60	1	0.061	0
29日 16:30~19:00	1, 4 号機剛	14	Par 1	10 9.1	4 5.1	1 1.4	1 0.0	0.561	1	0.144	0
28日	5, 6 号機剛	11	階	12 13.1	8 6.3	1 0.3	0.0	0.476	1	0.312	0
15:30~18:30	5, 6 号機砌			8 9.7	8 4.85	0	0.0	0.5	1	2.348	0
29日 18:30∼19:00	1, 4 号機側	8	浩	10 9.6	2 2.9	l 0.5	0.0	0.308	1	0.0637	0
28日 15:30~18:30	5, 6号機碉	5	階	10 10.2	2	0.0	0.0	0.167	1	0.0057	0
28日 16:30~17:30				56 52.7	6 11.9	3	1 0.0	0.225	1	1.03	0
28日 17:30~18:30	5, 6 号機側			103 103.0	11 10.3	0 0.57	0.0	0.0965	1	0.048	0
29日 16:30~17:30		1	階	119 119.0	38 38.0	6 6.2	1 0.8	0.323	2	0.0	0
29日 17:30~18:30	1, 4 号機側	4 号機側		138 137	24 27.4	5 2.8	0.0	0.204	1	0.042	0
29 El 18:30:19:00				43 40.0	2 8.2	4 0.85	0.0	0.204	1	1.21	0

表 5.3 到着 グループ の大きさの分布(2) (昭和43年6月,7月三菱電機 ビル および三菱商事 ビル にて観測) Size distribution of passenger groups arriving at the elevator hall.

111-	-プの大きさ:i	1	2	3	4	5		P <sup>A</sup> 1 - L- 1005	標本の	適合度判定
観測日時	(製)	0	1	2	3	4	μ	自由度	χ <sup>2</sup> 值	超盲及刊定
	三変電機ビル 9 階 (管理部門)	144 142.6	15 18.4	3 1.4	0 0.04	0 0.0	0.130	1	0.207	0
昭和43年7月11日 10:05~11:05	三菱電機ビル 7 階 (管理部門)	77 77.2	10 10.6	1 0.7	0.0	0.0	0.137	1	0,000	0
	三菱電機ビル	106 103.8	12 22.4	6 2.6	0	1 0.01	0.224	2	9.87	×
昭和43年7月11日 14:00~15:00	6 階(営業部門)	92 89.3	14 17.9	2 0.0	1 0.0	0.0	0.193	1	0.551	0
昭和 43 年 6 月 28 日 9:30~10:30		120 112.6	12 25.2	8 2.8	1 0.2	0.0	0,220	2	18.8	×
昭和43年6月28日 10:30~11:30	三変電機ビル	101 99.7	27 28.6	2 4.1	1 0.03	1 0.004	0.288	2	0.15	0
昭和43年7月5日 9:35~10:35	5 階 (営業部門)	151 150.3	37 37.6	5 4.6	0.0	0.0	0.244	2	0.032	0
昭和43年7月11日 10:05~11:05		121 120.7	25 24.6	3 2.39	0.0	0.0	0.208	1	0.037	0
昭和 43 年 7 月 10 日 13:55~14:55	三菱商事ビル 5 階 (営業部門)	151 148.9	41 44.6	9 6.7	0 0.67	0.0	0.29	2	0.94	0
昭和43年7月11日 14:00~15:00	三菱電機ビル	76 74.1	8	3 0.9	0 0.005	0.0	0,161	1	0.362	0
昭和43年7月11日	4 階 (準営業部門)	81 77.0	10 16.4	3 1.6	1 0.1	0.0	0.209	1	1.1	0
10:05~11:05	三菱電機ビル 1 階 (主玄関階)	333 315.8	54 54.9	5 4.6	2 0.2	0.0	0.178	2	1.73	0

と,理論値の度数の内訳けは,次のとおりで ある。

1	W=i-	1	0	1	2		
理	碗	値	150	38	5		

第2仮説の成立は、前記の観測値と理論値 との対比によって推定されるが、確認のため、 これも  $x^2$  検定を行なってみる。

#### 標本の χ² 値

$$=\frac{(151-150)^2}{150}+\frac{(37-38)^2}{38}+\frac{(5-5)^2}{5}=0.032$$

一方,自由度2の $x^2$ 分布の5%棄却値は5.911である。したがって,第2仮説は受容される。

前に述べた三つのビルにおける多くの観測 f-9について、同様の検定を行なった結果を表 5.2 および表 5.3 に示す。これらの表中、グループの大きさの欄の上段の値が観測値であり、下段が第 2 仮説に基づく理論値である。観測値の度数が 5 個以下の場合は、これをひとまとめにして  $x^2$  検定を行なった。また、標本の  $x^2$  値が各観測 y-2 の自由度における 5 %の棄却域に入らなければ、第 2 仮説への適合度判定を $\bigcirc$ 印にした。

以上の結果、合計  $23 \, f_{-2}$  の観測  $f_{-9}$  のうち  $22 \, f_{-2}$  (すなわち、 $95.5 \, \%$ ) が、 $\chi^2$  検定 に合格した。したがって、第 2 仮説は受容されると見なせるであろう。

なお、自由度1の $x^2$ 分布の5%棄却値は3.841であり、自由度2の場合、Cの値は5.991である。

以上の証明により、オフィスビルの出・退勤時や昼食時といった、エレベータ交通のピーク時を除いた、いわゆる平常時のエレベータ交通需要のモデルには、第1仮説と第2仮説が十分適合しうると判断される。

- (c) λ-μ 理論により 到着 モデル の長所と 問題点
  - (i) 長所としては,
  - (ア) 測定方法が簡単である。

われわれが展開した  $\lambda$ - $\mu$  理論によれば,エレベータ 交通需要の データ を採集するために 大げさな測定装置(たとえば, ペン 書き オシログラフ や撮影器など)は不要であり, 単に一定時間内に エレベータホール に到着した エレベータ 利用客の総数 (N) と,グループ の総数 (M) を測定するだけでよい(グループ 係数  $\mu$  が既知であればいっそう簡単で,Nだけを求めればよい)。

もし、通常の測定方法で短い時間間隔ごと に利用客の到着時間間隔の度数を採らねばな らないとすれば、観測者は、ほとんど連続的 に時間の経過に注意を払わねばならず、観測 者の負担が増すだけでなく、f=9 精度の低下を招きかねない。実測中の時間に関しては、 $\lambda-\mu$  理論では観測者は、測定終了の時刻が経過したか否かを確認するだけでよく、大半の注意を利用客の到着だけに集中できる。

#### (イ) エレベータ 利用客の到着構造の本質を抽出した。

任意の  $_{\text{I}}$  レベータホール における, 一見とらえどころのない  $_{\text{I}}$  レベータ 利用客の複雑な到着  $_{\text{N}}$  ターン を,( $_{\text{N}}$  ,  $_{\text{H}}$  ) という二つの  $_{\text{N}}$  ラメーター だけで表現することに成功した。

とこで、 $\lambda$  は  $\beta_{N-2}$  の到着時間間隔の分布の  $\beta_{5x-9}$  であり、 $\mu$  は  $\beta_{N-2}$  の大きさから 1 を滅じたものの分布の  $\beta_{5x-9}$  である。 この  $(\lambda,\mu)$  を数多く測定して、 $\xi_{N-2}$  の性格、各階の入居団体の性格 と、入居人口などの相関を は握しておけば、新たに計画される  $\xi_{N-2}$  を媒介にしてその  $\xi_{N-2}$  の到着  $\xi_{N-2}$  を推測する ことが可能である。

#### (ii) 問題点としては,

#### (ア) グループの定義がややあいまいである。

親しげな ェレベータ 利用客の集団を一つの グループ と判定するとき,彼等が「会話をかわしている」ことは十分条件ではあるが,必要条件ではない。したがって,グループであるか否かの判定は,利用客の似かよった服装とか持物,なんとなく親しげな態度や会話といった,グループ らしさを示す一般的な状況に基づき観測者の判断にゆだねられてしまう。グループの判定の誤りは,μの値に影響するので,注意を要する。

λ-μ 理論により普遍性をもたせるために、この σ̄ν-σ の判別を簡便かつ正確に行なう方法の開発が今後の課題である。

#### (2) 交通需要の作り方

#### (a) 乗客の到着総数 (N)

エレベータ 交通需要の発生量は、 前述のように ビル の条件によって かなり変動があるので、 計画 ビル に対して エレベータ 交通の シミュレーション を実行する場合は、それらの条件ができるだけ類似した ビルの 実測値を参考にすることを推奨する。

#### (b) グループ 係数 (μ)

グループの大きさの係数:  $\mu$ も、さきのNの場合と同様、ビルの諸条件や入居部門の性格によって若干異なり、事務所 ビルでの実測例では、一般にいわゆる営業的活動度が高く、外部との往来が多い部門ほど、この $\mu$ は高い。表 5.5 に三菱電機 ビルおよび三菱商事ビルでの実測値を部門別にまとめた値を参考に示す。さきの金町市街地住宅の場合は表 5.2 のごとく、 $\mu$ の値はばらつきがやや大きいが、平均値は0.33で、事務所より グループの大きさは大きい。 シミュレーシ

表 5.4 三菱電機 ビル エレベータ 乗客到着数 (昭和 43 年 7 月 3 階以上の実測による)

The number of passengers arriving at elevator halls in Mitsubishi Denki building.

階 床	入	居	部	[PP]		在籍者1人あたりのエレベー   タホール到着数 (人/時)
9 F	テレタイン	プ・タイフ	· ・ 複写・	管理部	3[ <sup>15</sup> ]	0.85
8 F	役員	室・管	理	部	FT]	0.755
7 F	管	理	部		["]	0.377
6 F	管理	部 門・	営業	部	PT.	0,487
5 F	営	菜	部		["]	0.402
4 F	管理	部 門・	営業	部	m	0.375
3 F	當	築	部		PT	0.244

平均 0.500 (約)

表 5.5 オフィスビル における グループ 係数 実測例 (昭和 43 年 7 月 三菱電機 ビル,三菱商事 ビル) Group index for office buildings.

入	居	部	[11]	グループ係数 : μ
管			理	0.13~0.14
雄	1	ã	理	0.15~0.20
営			業	0.20~0.30
141	E	Ť	薬	0.15~0.20
主	玄	関	階	0.17~0.20

表 5.6 行 先 階 分 布 の 取 扱 い Handling of distination floor distribution.

	交通	11 量の自	2 分	行 先	(注) 階 分 布
ビル用途	昇 り 主玄関階から	方 向 一般階から	降り方向	主玄関階から	一般階から
一社の専有の オフィスビル	全体の 30~60%	左記の残り を各階入居 人口に比例 配分する	各階の入居 人口に比例 配分する	各階の入居 人口に比例 配分する	30~60%を主玄 関階行とし、残 りを各階の入居 人口に比例配分 する
2 社以上入居 の オフィスビル	全体の 60~90%	左記の残り を各階人居 人口に比例 配分する	各階の入居 人口に比例 配分する	各階の入居 人口に比例 配分する	60~90%を主玄 関階行とし、残 りを各階の入居 人口に比例配分 する

注) 隣接する上,下階 1 階との往来にはほとんど階段を利用するので,一般にこれ らの階へのエレベータ交通はないものとしてよい

ョン 実行に際しては、 $\cos \mu$ も前記のNと同様、条件が類似したビルに基礎  $\vec{r}$ -9 を求めるべきであろう。

#### (c) 行先階分布

λ-μ 理論によって、各階別に発生せしめた個々の到着客に行先の階を割当てれば、求める交通需要を得るが、この分布は、前記のNやμと同様、ビルの諸条件、特に ェレベータ 交通からみた階相互の関連度によって大きく影響を受けるので、 これも類似 ビルの実測 データを参考に モデルを作ることが望ましい。

参考 データの採集が困難な場合は、何らかの仮定によらなければならない。事務所 ビルの場合、一般に ビルの入居団体数が多くなるほど階相互の交通は減り、主玄関階と各階を結ぶ二元交通が増加する。この二元交通はどの ビルでも一般に多く、階相互の交通比率が比較的高い一社専有の事務所 ビルでも、昇りと降りの両方向とも、全体の30~60%を占めている。一方、数社が入居する事務所 ビルでは、この二元交通の比率はさらに高く、60~90%の範囲が多い。また、高層集合住宅のエレベータ交通では、90%以上がこの二元交通である。

全体の交通量からこの二元交通を除いたものが階相互の交通で、その行先階分布は各階入居団体の間の関連度に依存するので、この関係を定量的には握することがきわめて困難なため、いくつかの実測値に基づき、モデルを作るのが妥当であろう。表 5.6 に行先階分

#### 布の取扱いの一例を示すので、参考願いたい。

この行先階分布と N および  $\mu$  を適当に選ぶことによって, 昇りまたは降り方向に交通が片寄る場合,両方向とも平衡している場合など, 混雑度を加味しながら任意の交通需要  $\mathbb{E}_{\mathbb{P}^{l}}$  を作ることができる。

#### (d) 交通需要作成の手順

(a)から(c)までの作業を図 5.2の手順に従って実行すれば、一つの交通需要を作ることができる。作成した交通需要は、磁気 テープ などの外部 メモリー に記憶させておき、 ライブラリ として保存しておけば、繰り返し使用が可能となる。したがって、一つの交通需要

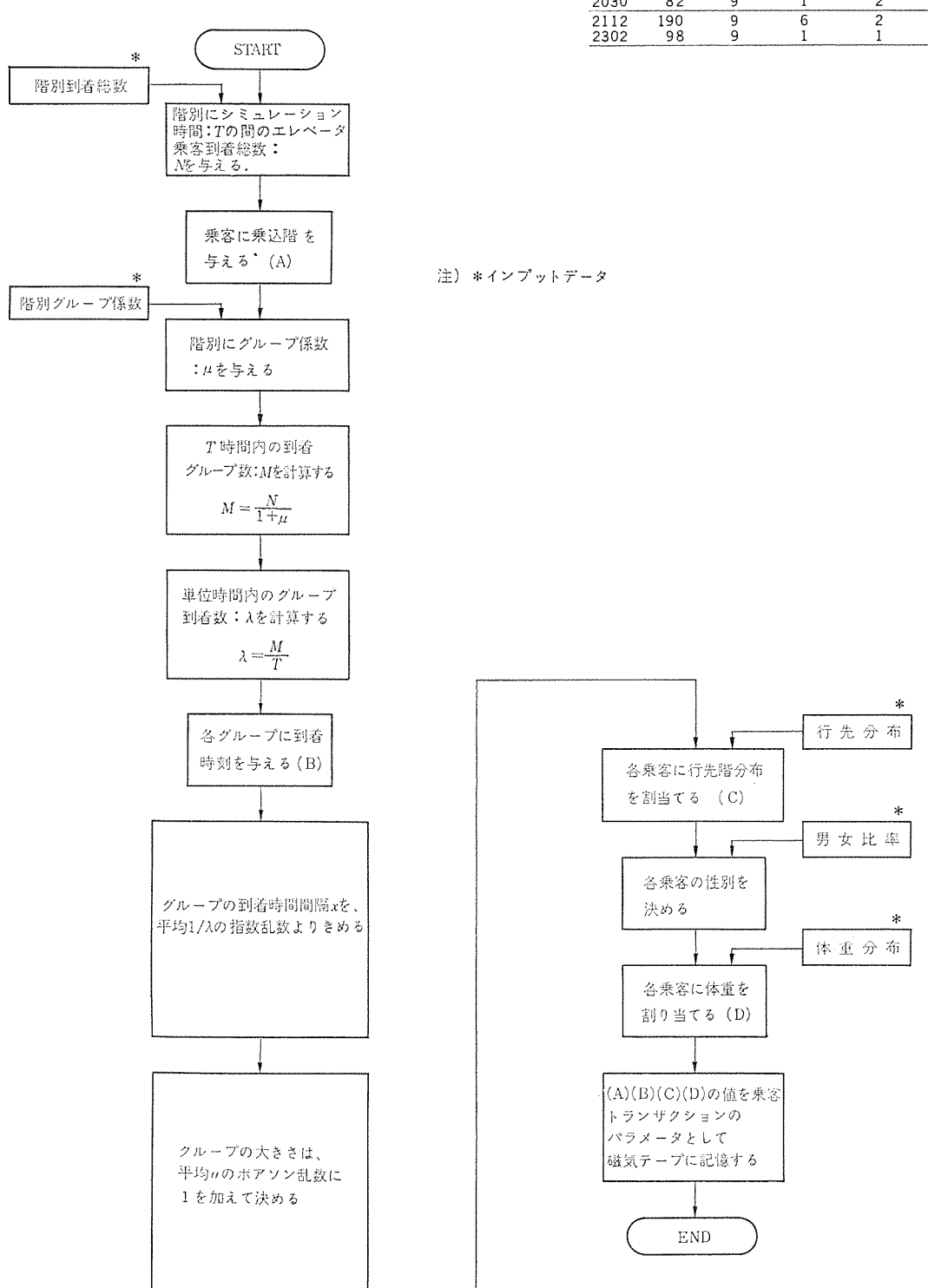


表 5.7 交通需要 (タイプァウトデータ) Elevator traffic demand (type out data). 到着時刻(1/100秒)



Traffic demand production routine.

図 5.2 交通需要作成 ルーチン

を基準として、いくつかの エレベータ 仕様について ASCOM-II により シミュレーション を実行すれば、サービス 水準の相対的比較評価が可能になる。表 5.7 に交通需要 テープを コンピュータ により、タイプァウト した例を示す。

なお,図 5. 2 中の乗客の体重は, $_{IU}$ で $_{IU}$ で内の乗客の重量負荷の情報を  $_{IU}$ で $_{IU}$ の乗客の運転を制御する  $_{IU}$ で $_{IU}$ で $_{IU}$  だがして割り当てられる。 ASCOM-II では乗客の体重についての  $_{IU}$  では、特に他の条件がなければ,厚生省の調査  $_{IU}$  を採用している。

#### 5.1.2 乗客の動作モデル

乗客が エレベータホール に到着してからかごに乗り、目的の階で降りるまでの一連の動作は、 図 5.3 のごとく表現することができる。 乗客の動作 モデルでは、 乗客の行動を起こすための判断基準と、行 動に費やす時間の処理がおもなテーマである。

シミュレータの外部の実時間は、乗客が行動を起こすための思考、または判断の間にも経過するが、ASCOM-II では、乗客のこうした思考時間はゼロとし、目的のかごの到着を待つ時間、目的のかごに乗るまでの歩行による乗込み遅れ時間、かごに乗って目的の階へエレベータで運ばれる時間およびかごへの乗降時間などについて、シミュレーション時間を進行させる(図 5.3 の2重にかこまれたブロックがこれに該当する)。

以下に乗客の動作およびその時間処理の概要について説明する。

#### (1) 乗込み遅れ時間

エレベータ利用客は、ホール の任意の位置に立ってかどの到着を待つから、到着した目的のかどの出入口に接近するため、若干の歩行時間を費やす。全自動群管理方式の ェレベータ では、出入口にかどの到

着をホールの待客に約4秒前から予報する装置(ホールランタンという)が設けられているので、待客は、かごが到着する前に目的のかごの出入口に近づくことができる。エレベータの1列配置の台数が増し、エレベータホールが広くなるに従って、ホールランタンで予報しても待っていた位置から、到着かごの出入口までの歩行距離が長くなり、かご内から乗客が降り終わって乗込み可能になった時点よりもあとに出入口に到着することがある。このように、乗込み可能の時点よりも遅れて乗客が到着する遅れ時間を「乗込み遅れ」の時間と定義する。

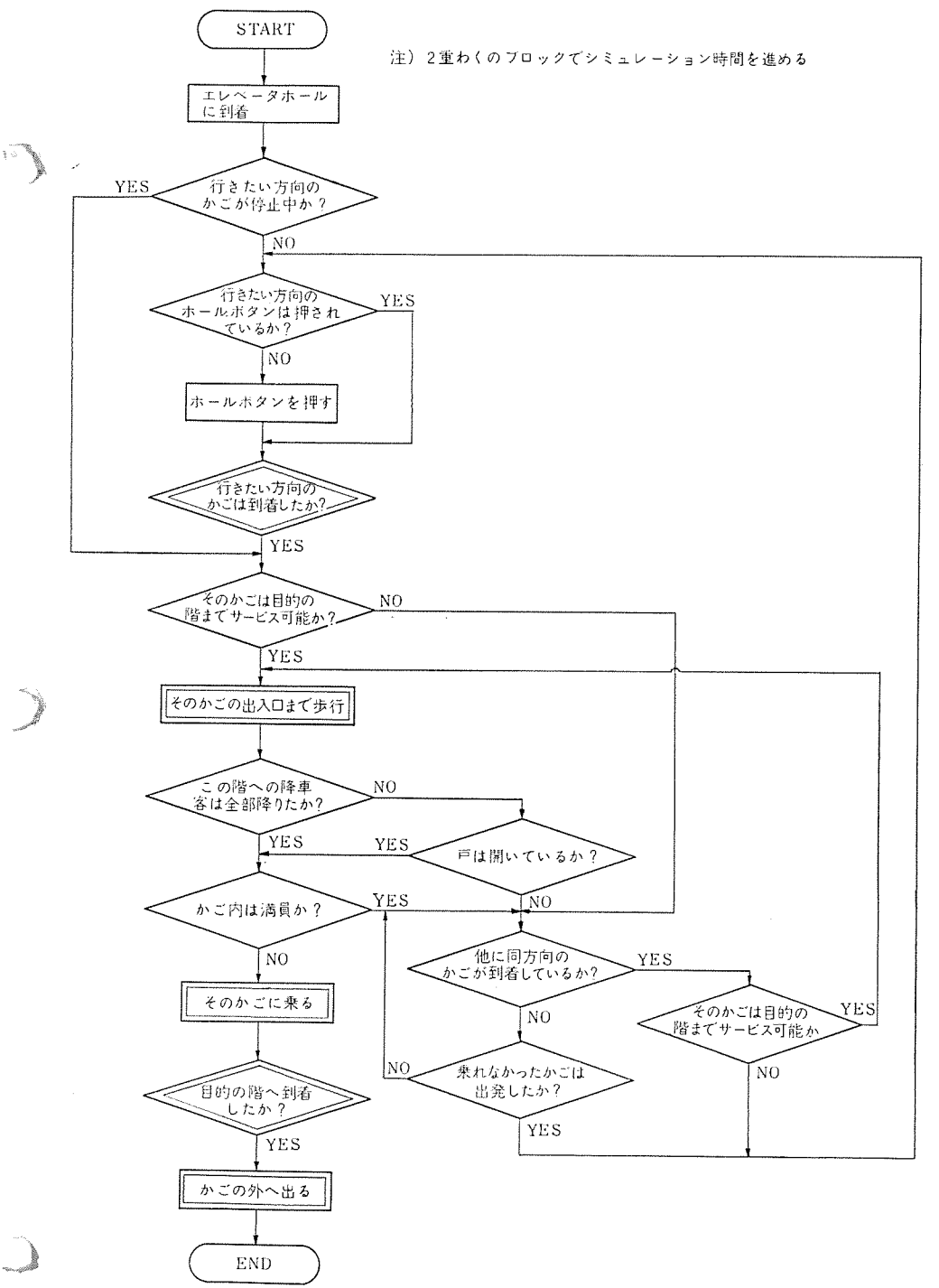


図 5.3 エレベータ 乗客動作 フロー Elevator passenger action sequence.

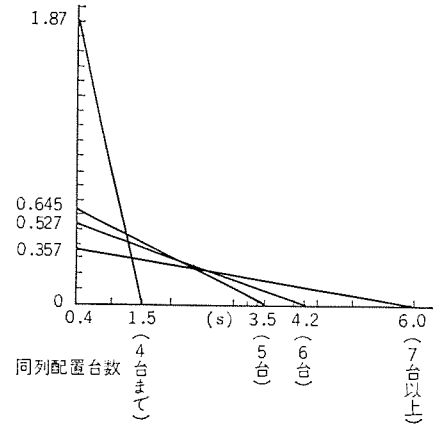


図 5.4 乗込み遅れ時間の確率分布 Probability distribution of delay in passenger loading.

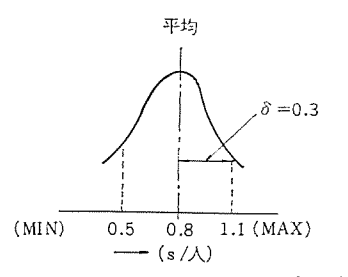


図 5.5 乗客の乗込み時間の確率分布 Probability distribution of loading times.

ASCOM-II では、国鉄本社新館その他の ビル の観測 データ に基づき、乗込み遅れ時間を エレベータ の 1 列配置の台数との関係から、図 5.4 のような確率分布 モデル を設定した。乗込み遅れ時間は、そのかどに乗る先頭の乗客にだけ割当て、2番目以降の客は、先頭の客に連続して乗込むものとして、この時間は付加しない。

#### (2) 乗込み時間

かどへの乗込み時間は、一般に出入口の有効幅や出入口前の混雑度などの条件によって変動するが、エレベータホールが満員またはこれに近い状態で、しかも、乗客が乗込みに際して周囲の乗客と相当な物理的に摩擦をするような混雑時を除けば、ホールの混雑度や出入口幅による乗込み時間の変動範囲は大きくない。多くの実測の結果、平常時のエレベータ交通では、このような混雑の発生ひん度はきわめて低いので、前述の条件を無視して図5.5のようにモデル化してもよいことがわかった。すなわち、1人あたりの乗込み時間は、平均0.8秒、分散0.3秒の正規分布に従う確率分布となる。そして、最大は1.1秒、最少は0.5秒とする。

#### (3) 降車時間

1人の乗客がかどの内から降りるために費やす時間は、かど内の混雑度と、かどの中から一度に何人降りるかによって相当の影響を受ける。1人あたりの降車時間は、かど内の乗客が一度に全部降りる場合が最も短く、満員状態のかど内から1人だけ降りる場合が最も長い。また、出入口の幅が広いほど降りやすいので、当然のことながら、同じ混雑度なら降車時間は短くなる。この現象を模型のかご室を用いて実験を繰り返したところ、かご内の乗客数と一度に降りる人数および出入口の幅との関係から、図5.6のように近似してよいことがわかった。

この曲線を用いて、乗客数がn人のかごの中から一度にk人が降りる場合の1人あたりの降車時間: $F_n(k)$ を、次式によって求める。

すなわち 
$$F_n(k) = f_k(k) + \{f_K(k) - f_k(k)\} \cdot \frac{(n-k)}{(K-k)}$$
 (秒/人)

ことで、 $F_k(k)$ : かご内の乗客が一度に全部降りる場合の降車時間 (秒/人)

K:かどに乗りらる最大人数(人)

 $f_K(k)$ : かご内の乗客数が K 人で、この中から k 人が降りる場合の降車時間(秒/人)

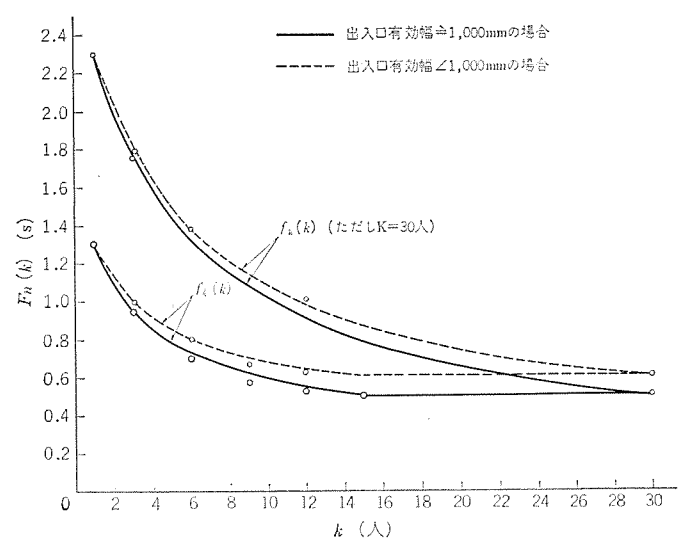


図 5.6 乗客 1 人あたりの降車時間 Required unloading time per passenger.

#### 5.1.3 エレベータ系モデル

ASCOM-II の エレベータ 系の シミュレーションモデル には、当社の 超高速 エレベータ 用の速度制御方式である 「シンクログライド 速度制御方式」と、当社の全自動群管理運転方式である 「ASP-A・MARK-II・CUSTOM 方式」を組み合わせた、 最高級 エレベータシステム の運転機能が忠実に模擬されている。 シンクログライド 方式および ASP-A 方式の内容については、 本号に掲載の「超高速化の進む三菱 シンクログライドエレベータ」および「三菱 ASP-A・MARK-II の全自動群管理 エレベータ」にその詳細が紹介されているので、ことでは エレベータ 系モデルの概要説明にとどめる。

エレベータ系 モデル は、大別して次のような三つの部分から構成されている。

- (1) 運転 パターン の選択と解消 モデル
- (2) 先発かどに対する出発指令 モデル
- (3) かごの運転動作 モデル

以下とれらの概要について説明する。

(1) 運転 パターン の選択・解消 モデル

との モデル は、 ASP-A 方式の運転 パターン の選択と解消の ロジックを プログラム 化したもので、パターン の選択解消に必要な交通需要およびかごの運転状態を表わす各 パラメーター に関する情報を、 中央の ス

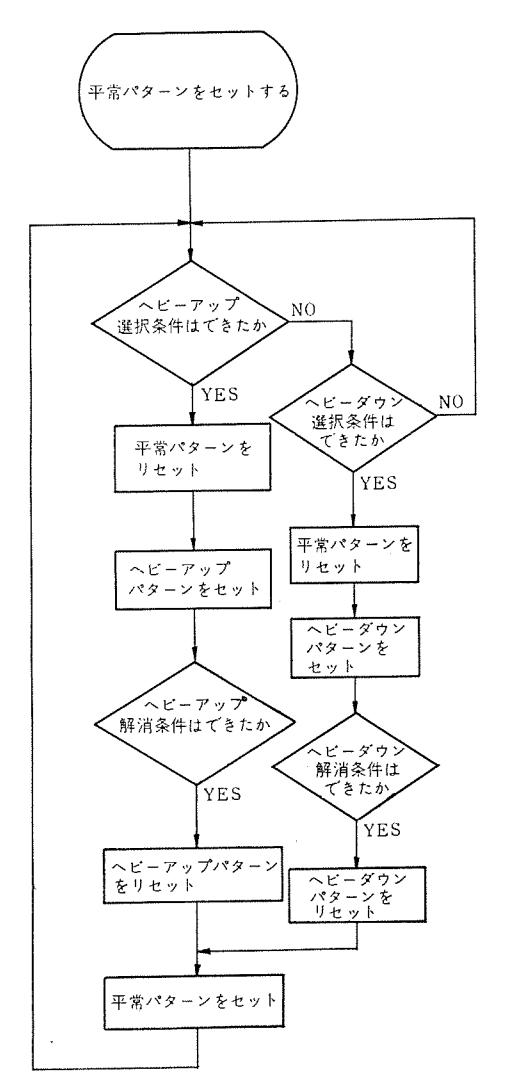


図 5.7 運転 パターン 選択, 解消 モデル の概要 Outlines of setting and resetting model for operating patterns.

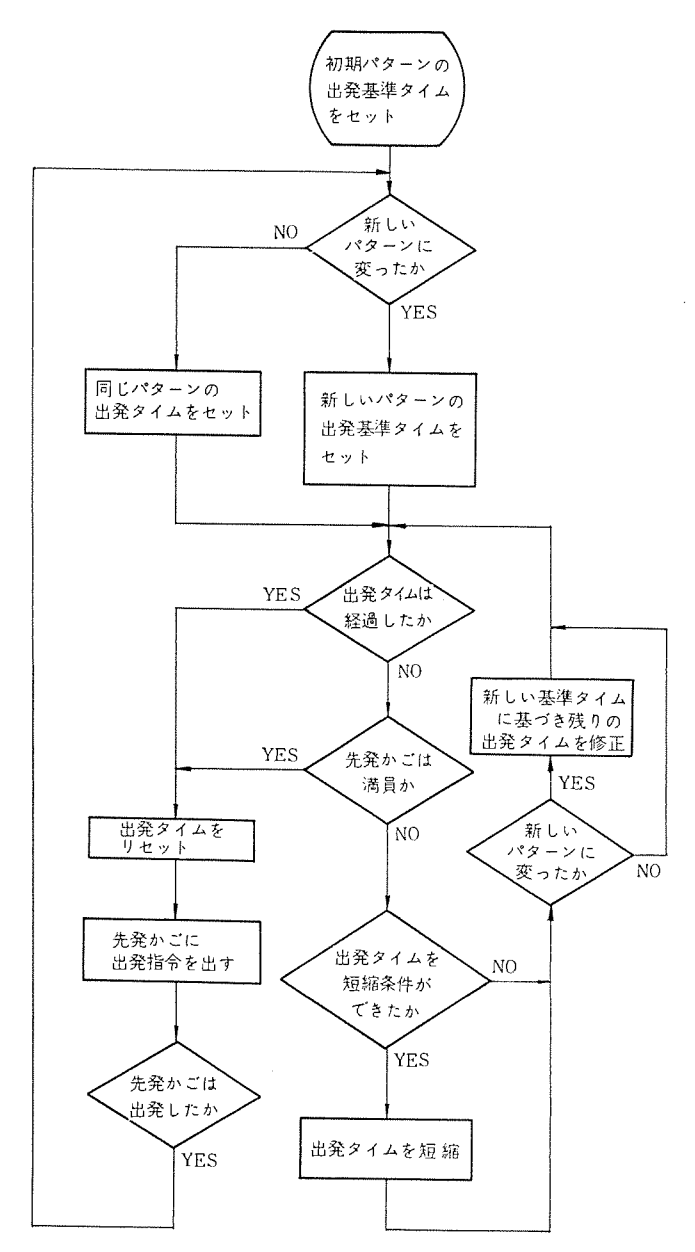


図 5.8 出発指令モデルの概要 Outlines of car-dispatching model.

 $- \mathring{N} - \mathring{N$ 

#### (2) 出発指令 モデル

各かどは、上方出発階または下方出発階域に到着すると、屋上階行きまたは地下階行きに指定されていなければ、停止した出発階でスーパーバイザーのコントロールに従って「先発のかど」になる。すべての階にサービスし終わってから出発階に戻り、先発に指定されなかったかごは、先発に指定されるまで持つ。

先発かごに対しては、各パターンごとに定められた出発基準タイムが経過すると、出発信号が与えられる。しかしながら、この出発タイムは、出発促進域内のかごの台数、昇り方向および降り方向の交通需要、先発かごの混雑度などの条件によって、エレベータグループが各階の交通需要の強さに応じて適切に分散運転するように、ゼロから基準タイムにわたって、連続的に短縮され、各かごの運転間隔が適正に保たれるように自動的に調整される。

図 5.8 に先発かごに対する出発指令の概略 ロジックを示す。

#### (3) かごの運転動作 モデル

各かどは上方出発階または下方出発階床域で先発の指定を受ける。

表 5.8 シミュレーション インプットデータ Simulation input data.

ビル関係	エレベータ関係	交通 需 要 関 係			
1. 各階の階高 (cm) 2. 主玄関の階	2. 定格速度 (cm/s)	<ol> <li>階別到治総数: N (人)</li> <li>グループの平均大きさ: μ</li> <li>男女の比率</li> </ol>			

先発かでは、スーパーバイザーから出発信号を受けると、先発指定をリセットし、戸を閉じて出発する。昇り方向または降り方向に運転中は、かで内の行先きボタンの呼びと、かどの進行方向と同方向の乗場ボタンの呼びに答えながら運転を続ける。 地下階行きまたは屋上階行きに指定されると、これらの階への最終呼びに答え終わってから、方向を反転して、出発階へ戻る。上方および下方の出発階の間を昇り方向に運転中は、スーパーバイザーからの運転方向反転の指令を受けると、最後の呼びに答え終わった階で運転方向を降りに変え、再び下方出発階まで運転する。

図5.9に、かどの運転動作モデルの概要を示す。

#### 5.2 ASCOM-II の入出力

#### 5.2.1 インプットデータ

ASCOM-II により シミュレーション を実行する場合は、表 5.8 にあげるような諸元が必要である。 シミュレータ のユーザー は、これらの データ および シミュレーション 実行に必要な コントロール 用の データ、各種 パラメーター の初期条件などを所定の フォーマット で コーディング する。

#### 5.2.2 アウトプットデータ

コンピュータ シミュレーション によって エレベータ 設備規模の最適解を直接 求めることは、シミュレーションプログラム の著しい膨大化を招き、実際の作業上、こうした方法は実用的でない。したがって、下記のような ダイナミックデータ を エレベータシステム の サービス 評価の基準として解析しな がら適正な エレベータ 設備案を立案していこうとするのが、われわれの コンピュータ シミュレーション の活用方法である。

ASCOM-II では、待ち時間その他に関する統計的 データを シミュレーション 時間中、どのような タイミング で、また、 どのような形の データ で取り出すかは、 シミュレータの ユーザー が任意に プログラム の中で指示することができる。また、下記以外の データも、プログラム の中に若干の用意をほどこすだけで、アウトプット が可能である。

なお、ASCOM-IIでは、各種の統計量を採取する時点でシミュレータシステムの各パラメーターの初期値が、十分定常状態に達しているようにするために、5分間の ダミーラン を行なうことにしている。この結果、エレベータの運転動作は適当にばらつき、満足すべき初期条件を得ている。

次にアウトプットデータについて説明する。

#### (1) 未応答時間分布

エレベータホールに最初に到着した乗客によって乗場ボタンが押され、この呼びが登録された時点から、その呼びと同方向に進行するかでがこの呼びに応答し、呼びの登録をリセットするまでの時間の統計量である。この統計量としては、指定した時間域の範囲内に発生した未応答時間のひん度と、全体のひん度に対する百分率およびその累積、平均値と標準偏差などを、階別、呼びの方向別、および全体についてアウトプットされる。

シミュレーション からみた エレベータシステムは、乗客の動作を含んだマン

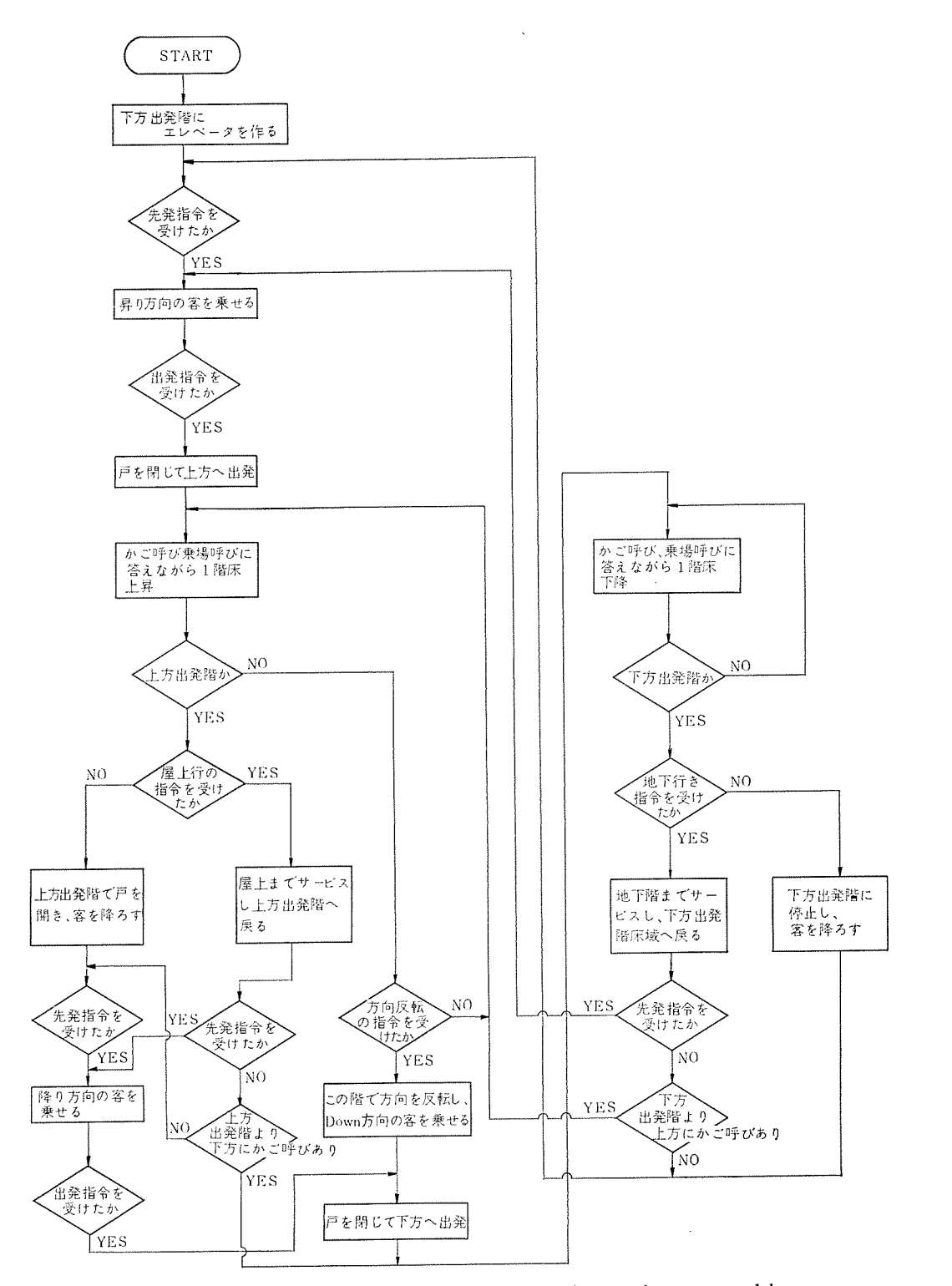


図 5.9 かご運転動作 モデル の概要

一マシンシステムであり、次の(2)、(3)項にあげる乗客に関する待ち時間の統計量だけでは、この値の中に乗客個人の動作時間(たとえば乗降時間)のばらつきがそのまま含まれるため、エレベータ装置系のサービス能力を客観的に評価しにくい。この未応答時間のデータのように、乗込み遅れ、乗降といった乗客動作の変動要素をできるだけ除いた統計値によって、エレベータシステムのサービス状態を解析することも有効である。

#### (2) 待ち行列

乗客が エレベータホール に到着した時点から、この乗客の行きたい方向および階へ サービス 可能なかごが停止し、この乗客が乗込み可能に

Outlines of car-performance model.

なった時点までを、「待ち」と定義し、階別・方向別に平均待ち行列・最大待ち行列、平均待ち時間および待ち時間なしで エレベータ に乗った乗客の割合などを アウトラット する。 これによって次の(3)項の データとともに、乗客1人1人の受ける エレベータサービス の水準を知ることができる。表 5.9 に待ち行列に関する データの プリントアウト 例を示す。

#### (3) 待ち時間分布

との  $\vec{r}_{-9}$  は、 上の(2)項の待ちに加わった客の待ち時間に関する統計量であり、 $\vec{r}_{-9}$  の種類としては末応答時間分布と同じである。 待ち行列およびこの待ち時間分布によって、各乗客が受ける  $\mathbf{I}$ レベー

表 5.9 Queue table の例 (階別, 方向別の待ち行列長と平均待ち時間) Typical queue table.

	最大待ち (人)	行列	平均待ち行列 (人)	待ちに加った 乗客数(人)	待ち時間なし の乗客数(人)	平均待ち時間 (1/10秒)
	ے ۔	_				(1/10/)/
	MAXIMU CONTEN		AVERAGE CONTENTS	TOTAL ENTRIES	ZERO ENTRIES	AVERAGE TIME/TRANS
	( 1(B2階)	2	.036	4		166.500
	2(B1階)	3	.287	11		469.908
	3(1階)	8	.733	75		176.013
	4(2階)	2	.108	15		130.399
昇	5(3階)	2	.287	29		178.172
-ŋ.	6(4階)	2	.108	15		130.199
	7(5階)	2	.204	15		245.666
方	8(6階)	2	.158	14		203,928
[0]	9(7階)	2	.141	10		255.599
	10(8階)	1	.070	5		252.599
	11(9階)	1	.039	3		238,000
	12(10階)	1	.038	4		172.500
	13(11階)	1	.015	1		276.000
	(25(3階)	1	.031	1		565.000
	26(4階)	2	.139	9		279.888
	27(5階)	3	.177	12		266.916
	28(6階)	2	.257	18		257.944
_ 74	29(7階)	4	.211	21		181.380
r)	30(8階)	2	.250	20 -		225.849
	31(9階)	5	.320	21		274.476
万	32(10階)	4	.239	22		195.590
[0]	33(11階)	_7	.384	39		177,358
	34(12階)	4	.347	28		223.357
	35(13階)	2	.115	6		346.666
	<u></u>					

タサービスの良否を正確に は握することができる。このような個々の 乗客のち行列, 待ち時間を集積した実際の「待ち」を従来の計算手 法で求めることはきわめて困難で, こうした データ によって エレベー タサービス を評価できることは シミュレーション の大きな成果であり, ま

階床

た、われわれが シミュレーション を実行しょうとする目的でもある。

#### (4) サービス 完了時間

この データ は、 乗客が エレベータホール に到着した時点から、乗ったかごが目的の階に到着して戸を開き、降車可能になるまでの時間に関するもので、乗った階と降りた階の組み合わせごとに、 各乗客のサービス 完了時間を集積したものの平均値が アウトプット される。

通常、サービス機関におけるサービスの良否は、窓口での待ち時間を中心にして評価されているが、客にとっての実質的なサービスの良否は、待ち時間のほかに、サービスを受けている時間も含めた、いわゆるサービス系に滞在する時間が長いか、短いかということで判断することも必要であろう。

この意味から、ASCOM-II では、単にホールでの待ち時間だけでなく、 乗客がホールに到着してから目的の階へいかに早く着くことができるかという、エレベータサービス系に滞留する時間によっても、エレベータサービスのより多角的な解析を行なえるようにした。

#### 5.3 シミュレータの構成

シミュレータ ASCOM-II は、待ち合わせ形 シミュレーション 用の ソフトウェア である GPSS/360 (General Purpose Systemes Simulator/360)を中心にして、FORTRAN・アセンブラ・オペレーティング システム など、各種の ソフトウェア を活用して 開発された ディジタル コンピュータ シミュレーション プログラム である。 プログラム 規模は、 FORTRAN プログラム に換算して、約1万 ステップ強、使用 メモリー 数約 300 キロバイト に及ぶ大規模なものである。

ASCOM-II は、ASP-A・MARK-II エレベータの システム 評価を、 先きの待ち時間その他の ダイナミック な データによって行なうことを目

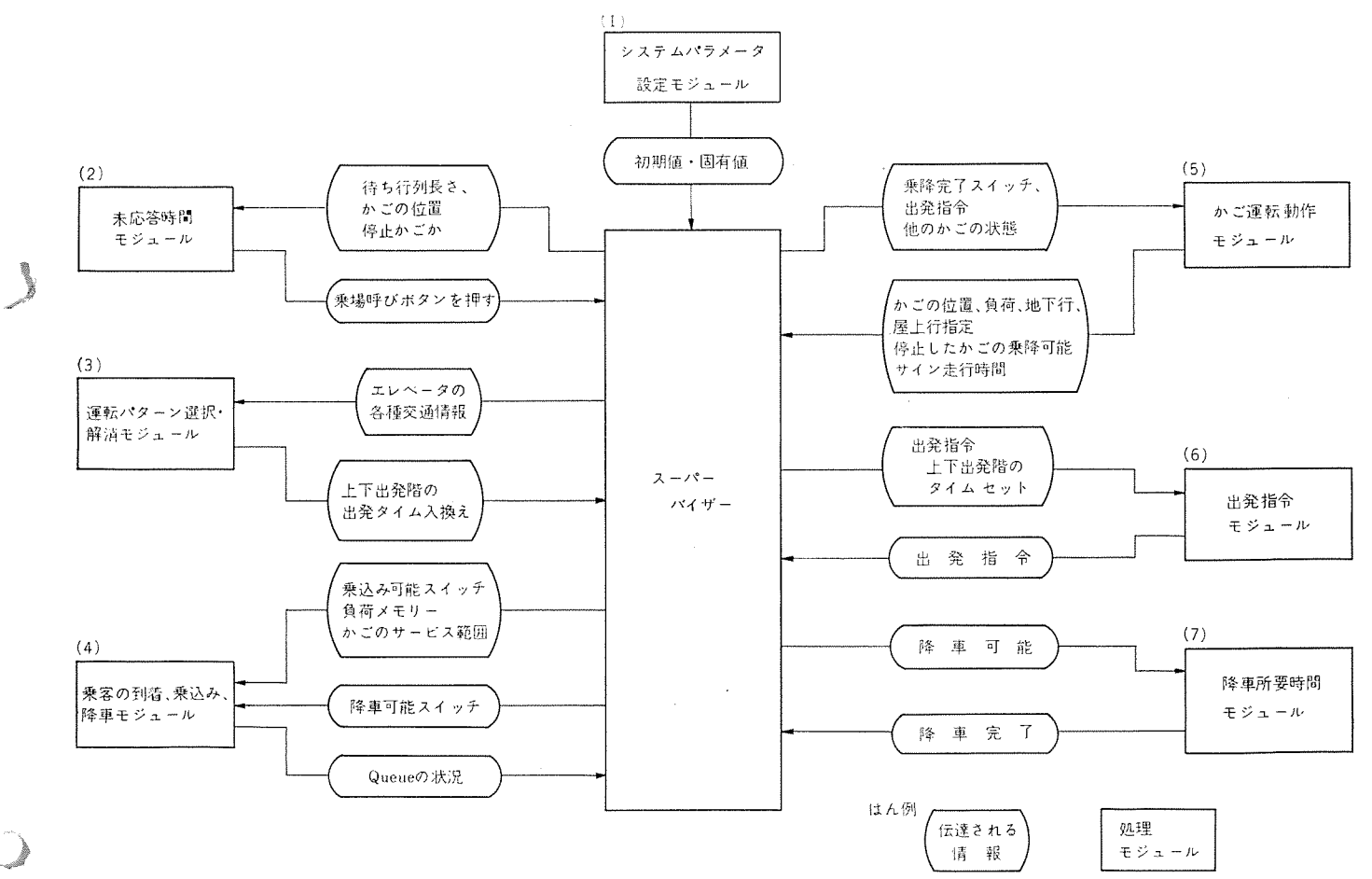


図 5.10 ASCOM-II の構成 Construction of ASCOM-II.

的としているので、エレベータの実際の運行を可能なかぎり ミクロ に模 擬する モデル を設計しなければならない。

コンピュータシミュレーションの技術的な分類では、ASP-A・MARK-II 方式のモデルは、待ち行列シミュレーションであり、 状態変数の変化が離散的なものであるが、ASCOM-II では、エレベータのかどの運転動作、出入口とびらの開閉動作など、速い速度特性をもつエレベータ系には、シミュレーションプログラムにおけるスキャニング 周期を十分小さくすることによって、状態変数の変化に連続的な特性をもたせている。

プログラム は、図 5.10 のような モジュール 構造になっており、各機能単位に独立したいくつかの モジュール と、 モジュール 間の情報伝達および モジュール の演算を時間的に制御する スーパーバイザー から構成されている。次に各 モジュール の機能概要を説明する。

#### (1) システムパラメーター 設定 モジュール

インプットデータ は シミュレータ の必要個所に ストレージ される。時間に関する データ は、シミュレーション 単位時間係数を乗じて、時間単位の変換を行なう。また、 シミュレーション 中にひん発する同一計算項目は、 との モジュール であらかじめ計算しておく。

#### (2) 未応答時間 モジュール

エレベータホール に到着した乗客は、自分が行きたい方向の乗場 ボタンが押されていなければ、これを押し、呼びを登録する。この呼びと同方向を進行中のかごが、この階の一定距離内に接近すると、呼びを検出し、その登録を リセット して階床に停止する。

との モジュール では, $h-\mu$  に到着する客の状態 パラメーター およびか どの状態 パラメーター の内容を,シミュレーション 単位時間 どとに スキャン して,呼び登録の検出と リセットを行ない呼びの未応答時間を計量する。

#### (3) 運転 パターンモジュール

ASP-A・MARK-II は、各種の エレベータ 交通情報に基づいて適切 な運転 パターン を選択する。 この モジュール では、実際の運転 パターン 選択・解消の ロジック に従って、各種の状態 パラメーター の内容を スキャンし、一つの運転 パターン を選択すると同時に、パターン ごとに定められた上下出発階の出発指令の条件を新しい パターンのものと入れ換える。

#### (4) 乗客の到着・乗込み・降車 モジュール

エレベータホール に到着する乗客の パラメーター は、先きの  $\lambda \cdot \mu$  によって与えられる。各階に発生した乗客は、方向別の待ち行列 (Queue) に入る。この乗客は希望する方向で、かつ、目的の階まで サービス できるかどが到着して戸を開き、自分の乗込み順がくるまで Queue で待つ。乗車可能になり、かどに乗込むと、目的の階まで エレベータ で運ばれ、その階にかどが停止して戸を開き、降車可能になると、かどの外へ出て、この モジュール から消える。

との extstyle extstyle

#### (5) かど運転 モジュール

この モジュール で、各かごの トランザクション が作られる。各かごは スーパーバイザーからの出発指令を受けて出発階を スタート し、各階の呼び登録の スキャニング、呼び登録の リセット とその階への停止・走行時間の演算などを行ないながら運転をつづける。 スーパーバイザー には時々刻々、走行中の位置その他、かごの状態に関する情報を送る。

#### (6) 出発指令 モジュール

上下出発階で先発指令を受けたかごに対して、出発を指令する モ ジュール である。出発指令は、非先発のかごが先発指令を受けた時点 から、各 パターン ごとに設定された出発基準 タイム が経過すると、 この モジュール から スーパーバイザー を介して発せられる。ただし、昇り方

向と降り方向の交通量や各かごの状態を スキャン して、出発基準 タイム を短縮したほうがよい条件が成立すると、 基準 タイム が満了する 前に出発を指令する。

#### (7) 降車所要時間 モジュール

かどが階に停止して戸を開き終わると、スーパーバイザーを経てかど 運転動作 モジュール から、 この モジュール に降車可能の サイン が与えられる。この モジュール では、降車可能になると、かご内の乗客数およびその階で降りる客の数との関係から、 図 5.6 で定義された関数を用いて、各降車客の降車時間を計算し、 その分だけ シミュレーション時間を進める。 全降車時間が経過すると降車完了の サイン をかごの 運転動作 モジュール に出す。

#### 5.4 ASCOM-II の特長

ASCOM-Ⅱは、次のような特長をもっている。

#### (1) システム の柔軟性が高い

ASCOM-II は、速度制御方式が直流可変電圧歯車なし式で、かつ、群管理運転方式が ASP-A・MARK-II・CUSTOM 方式の エレベータモデル に対しては、実用上、ほとんどの ケース について適用可能である。特に交通需要は、階ごとに前に説明した λ・μ の二つの パラメーター と行先階分布、乗客の性別比率を与えるだけで、 特殊な交通, はん(汎)用性の高い交通など、 多様な交通 モデルを簡単に作ることができる。

また、ある目的のため、 先きにあげた各種の ァウトプット のほかに、特別な データ を得たい場合に、特殊な モジュール を追加したり、 制御 装置の機能を追加することも可能なように、プログラム は、Open-ended の構造になっている。

#### (2) エレベータ 仕様の相対的性能比較が客観的に行なえる。

特定の交通需要を共通の入力にして、仕様やサービス階が異なる場合の エレベータシステム の性能を、乗客の「待ち」に関する統計的 データ や サービス 完了時間といった、 個々の乗客に対するを サービス を基礎 とした資料によって解析評価することが可能であり、各仕様間の性能の優劣がきわめて客観的に は握できる。たとえば、従来とかく問題になりながら定量的な解答を得ることが困難であった、いわゆる「サービス階の不ぞろい」による サービス低下などについても、ASCO M-II の活用によって、明快な回答が得られるようになった。

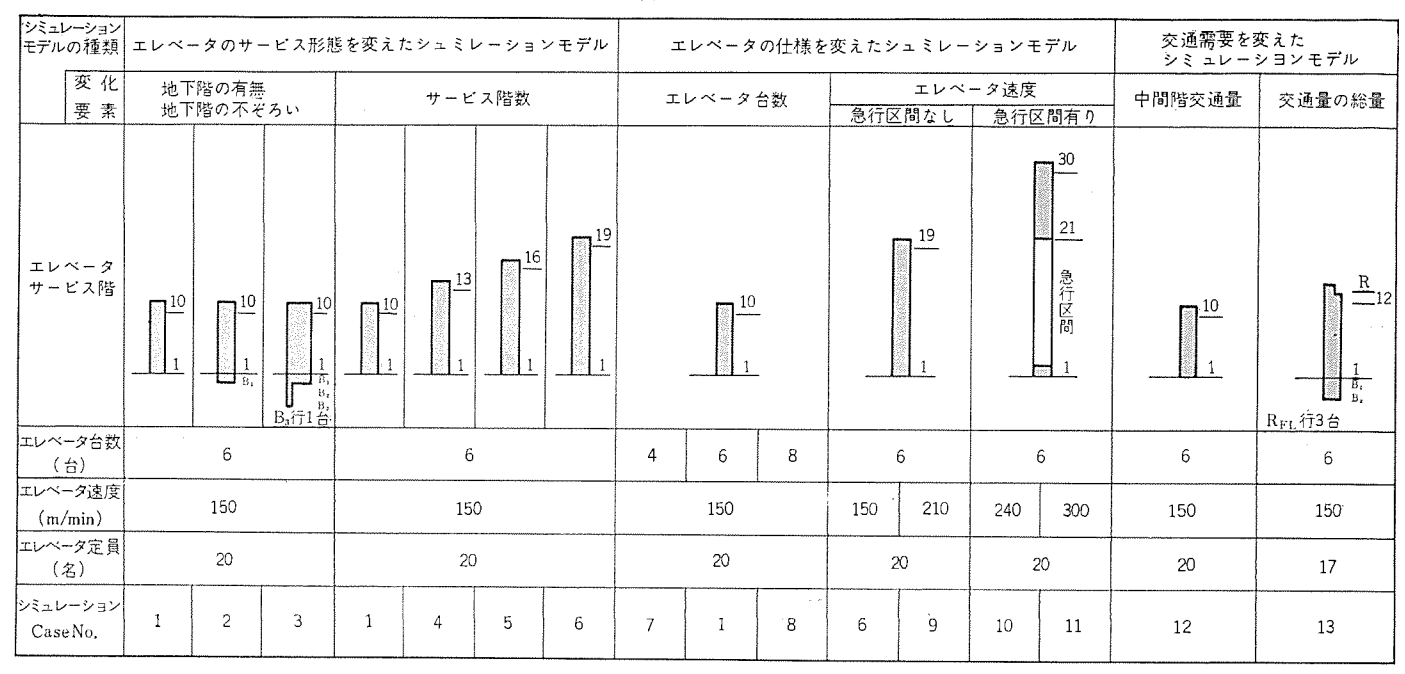
との反対に、 エレベータ 仕様を固定しておき、交通需要が異なった場合の システム 評価も、同様にして可能である。

#### 6. シミュレーションの実用例

複数台の  $_{\text{IU}}$  -  $_{\text{IU}}$  -  $_{\text{IU}}$  を  $_{\text{IU}}$  で  $_{\text{IU}}$ 

- (1) 地下階の有無,不ぞろいによる影響
- (2) サービス 階床数による サービス 程度の変化
- (3) エレベータ 台数による待ち時間の変化
- (4) 速度による サービス 程度の変化
- (5) ビルの用途・交通需要が変化した場合の比較

シミュレーション に用いた交通需要は、昇り降りの交通の バランス した 状態で図 6.1 による。細部の各階交通については、モデル の変化要



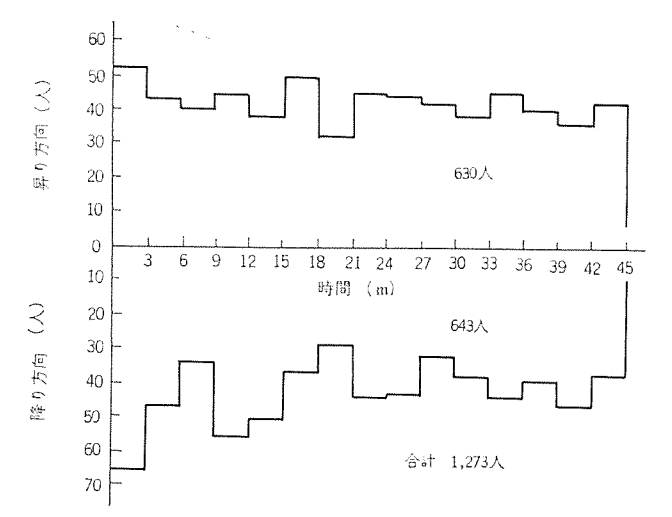


図 6.1 交通需要 (Case  $1\sim12$ ) Elevator traffic demand (Case  $1\sim12$ ).

#### 素に応じて適宜案分した。

#### (1) 地下階の有無,不ぞろいの エレベータサービス に及ぼす影響

グループ 運転の エレベータでは、むだ停止を防止するため、乗場呼びに対して早く到着した エレベータが応答していく。したがって、サービス 階に不ぞろいがある場合、たとえば 1 台だけ地下階 サービスがあるようなときには、地下階行きの乗客はその エレベータが到着するまで待つが、いったん乗換えなければ目的階へ行けず、エレベータのむだ停止がふえて運行能率が低下し、待ち時間が長く、そのばらつきも大きくなる傾向にあることは以前から定性的にはよく知られていた。

地上 10 階, ェレベ-96 台で地下階 t-ビス は, 1 台が  $B_3$  階で他は  $B_1$  階で不ぞろいのある場合(CASE-1), 全台数  $B_1$  階のある 場合(CASE-2)および地下 t-ビス のない場合(CASE-3)について  $\upsilon$ ミュレー $\upsilon$ ョン を行ない, 各階の待ち時間および 1 階との 交通の t-ビス 完了時間の比較を 図 6.2,6.3 に示す。

地下サービスのある場合は、明らかに待ち時間・サービス完了時間ともに長く、サービスが低下している。 CASE-2 と CASE-3 とでは グラフ 上あまり差は認められなかったが、CASE-3 の地下不ぞろいの

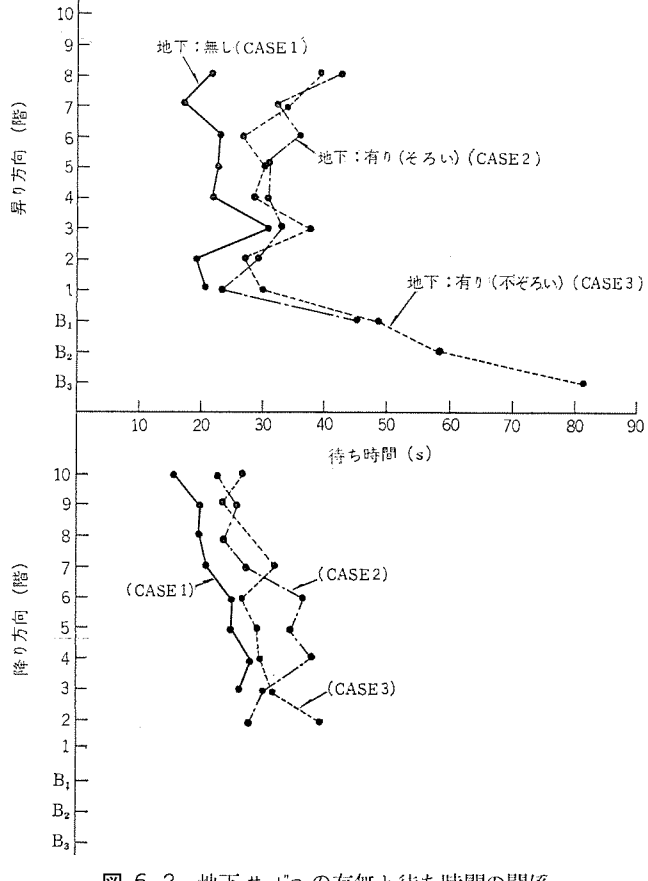
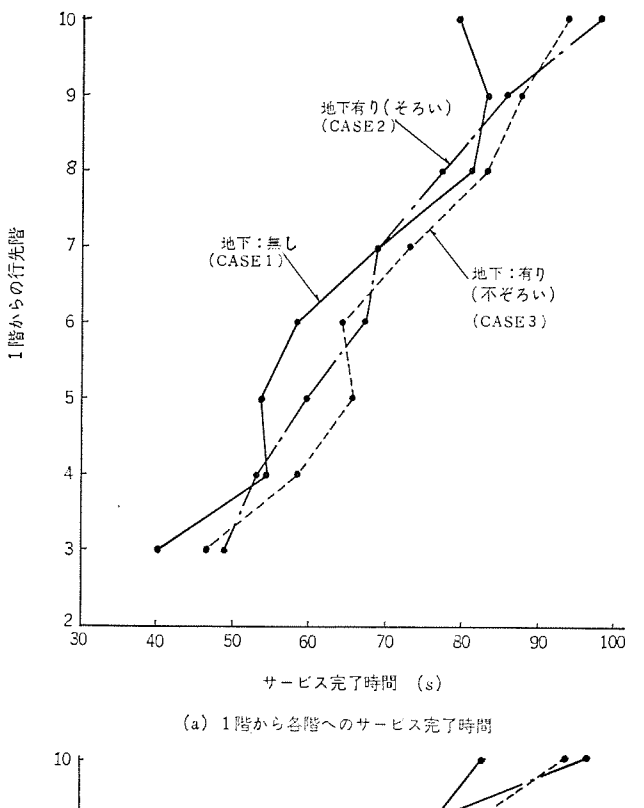


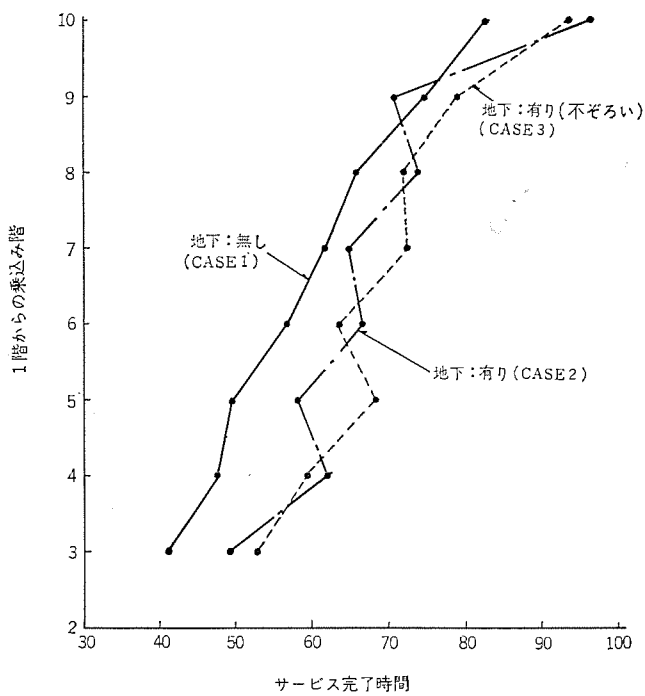
図 6.2 地下 サービス の有無と待ち時間の関係 Relationship of provision of basement floor service to waiting time.

場合におけるむだ停止によって、到着したかごに乗らなかった乗客数は、33人(30分間あたり)発生している。

#### (2) エレベータ 台数が変わった場合の サービス の変化

エレベータサービスの良否が、 バンク 内の エレベータ 台数と密接な関連を持っていることは、常識的に容易に予想されるところである。今回交通需要を一定として、 エレベータの台数を 4 、6 、8 台と変化させた場合に、エレベータ 利用者の待ち時間ならびに サービス 完了時間が、





(b) 各階から1階へのサービス完了時間

図 6.3 地下 サービス の有無と サービス 完了時間 Relationship of provision of basement floor service to total service time.

どのように変わるかを シミュレート した結果,図 6.4,6.5 のとおりであった。

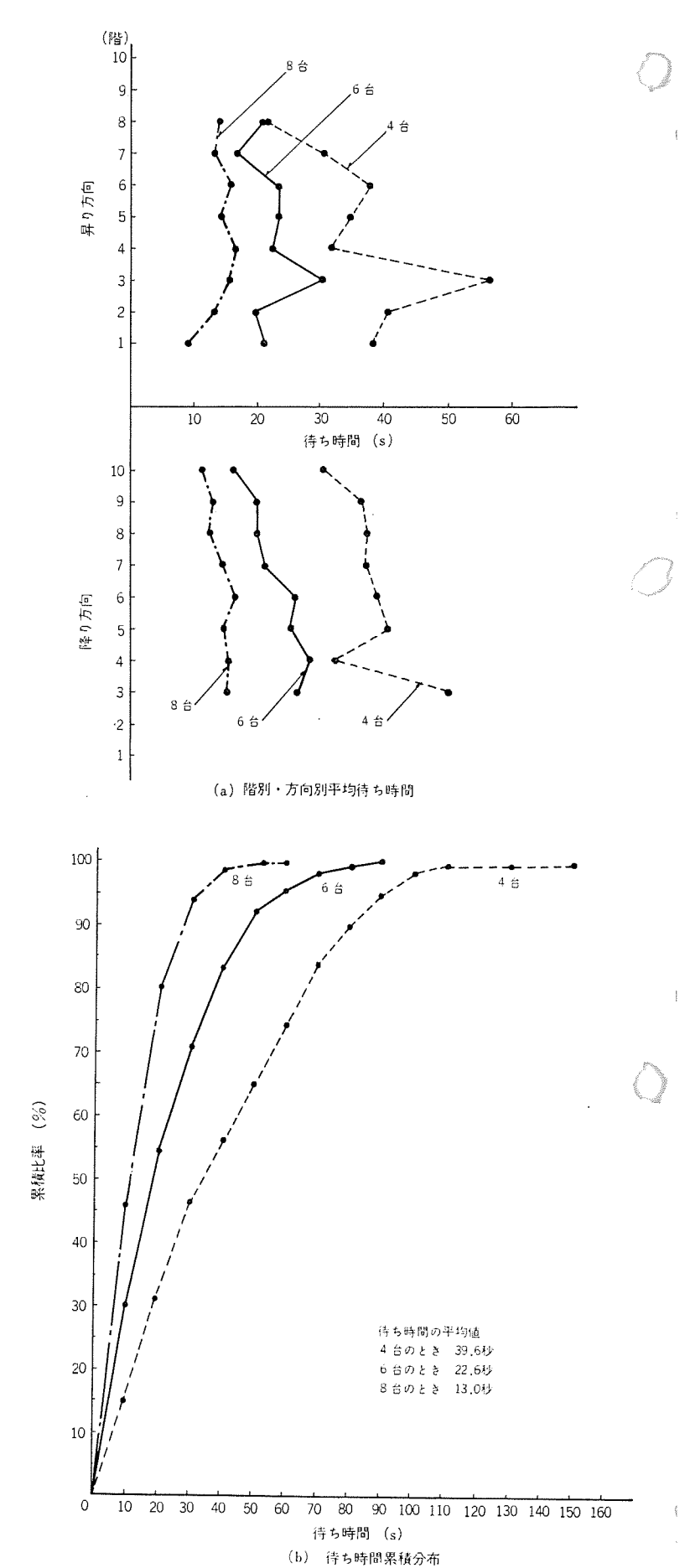
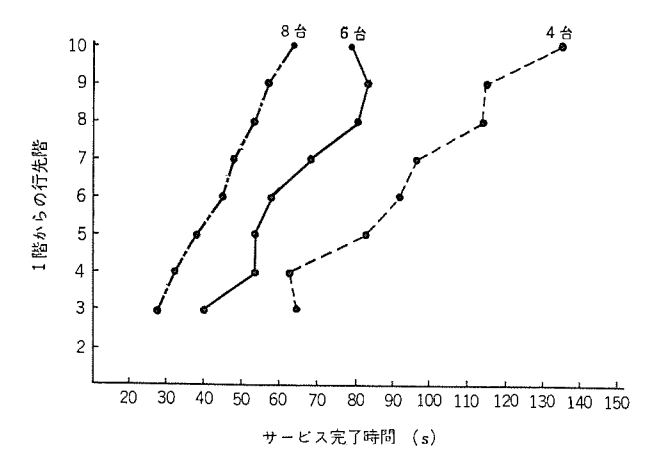
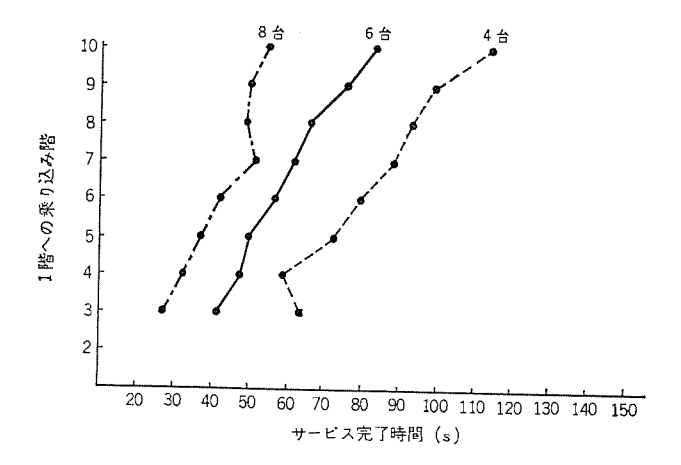


図 6.4 エレベータ 台数と待ち時間の関係 Relationship of the number of elevators par bank to waiting time.



(a) 1階から各階へのサービス完了時間



(b) 各階から1階へのサービス完了時間 図 6.5 エレベータ 台数と平均 サービス 完了時間

図 6.5 エレベータ 台数と平均 サービス 完了時間 Relationship of the number of elevators per bank to average total service time.

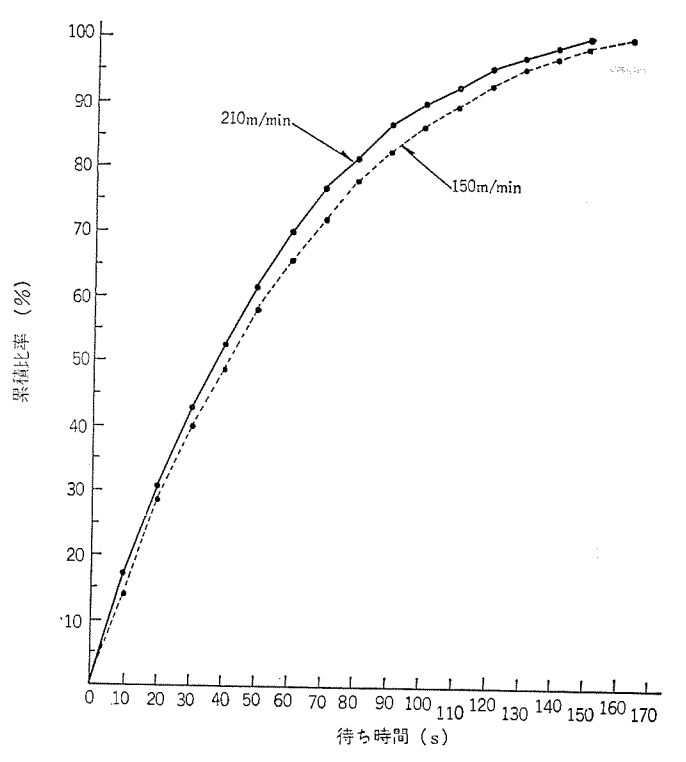
上記のように エレベータ の待ち時間は、台数の変化の割合以上に影響を受けるものであることを、 シミュレーション で如実に示し得た。すなわち、エレベータ の サービス を良好な状態に保持するには、 適正な エレベータ 台数を確保することが必要である。特に自動群管理運転の バンクから 1 台を切放して、 貴賓用などの特定用途に振り向けることは、全体の エレベータ サービス を非常に悪化させるので避けるべきである。もしこのような使い方が避けられないのであれば、最初から エレベータ の台数を増しておくなどの対策が必要となる。

#### (3) 速度による エレベータ サービス の変化

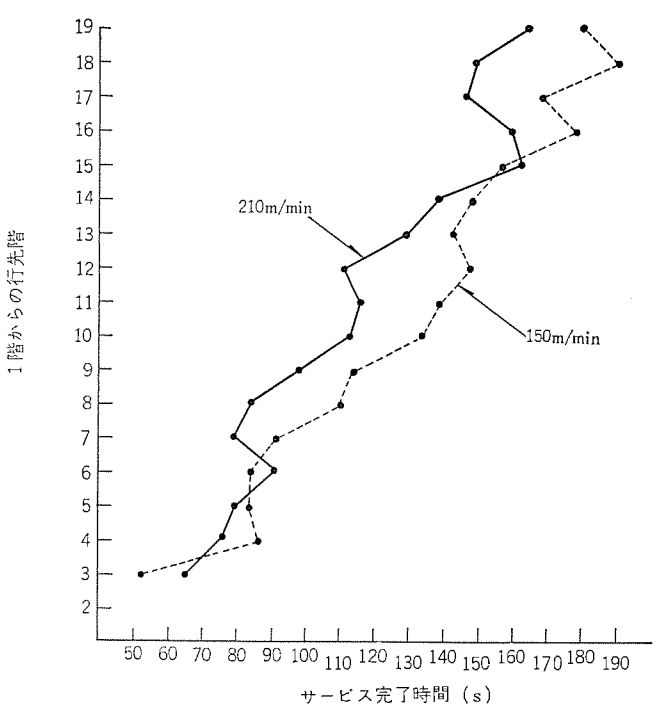
エレベータの速度を上げれば、エレベータサービスが良くなるのは当然のことであるが、この改善の程度は急行区間の有無や、分担するサービス階数にも関連することは、従来の交通計算からも推定されるところである。今回、19 階建てのビルに対して速度 150 m/min と 210 m/min の比較(急行区間なし)、および 30 階建てのビルで速度 240 m/min と 300 m/min(急行区間あり)を比較した結果を、図 6.6 に示した。

19 階建ての場合図 6.6(a)には、サービス 階数が多く、サービス 程度ももともと悪い状態であり、速度を上げても待ち時間はたいして短くなっていない。一方 30 階建て(図 6.7)では急行区間があり、かつ サービス 階数も少ないことなどより、速度の増加が サービス の改善に大きく寄与していることがわかる。また、サービス 完了時間に対しては、いずれの場合でも速度の増加が有効に働いている。

これらの結果から、(2)項の シミュレーション 結果とも関連させて、



(a) 19階のビルに対する150 m/min,210 m/minの比較



(b) 1階から各階へのサービス完了時間

図 6.6 エレベータ の速度と待ち時間平均 サービス 完了時間の比較 Inter-relationship of rated elevator speed, passenger waiting time and average total service time.

エレベータの ゾーニング を適切に行なえば、高速化は サービス の改善に非常に有効であると言える。特に超高層 ビル の場合、高さに応じた適切な エレベータ 速度と、適切な ゾーニング 方式の選択が、 良い エレベータ サービス を得るうえに是非とも必要となる。

#### (4) サービス 階床数の変化と サービス 水準

ェレベータの仕様をまったく同一として、サービス 階床数を地上10 階・13 階・16 階および 19 階と、 順次増加させ、このときの ェレベータの サービス 水準の変化を ASCOM-II を用いて調べてみる。なお、用いる実行 ケースは、表 6.1 の CASE-1・4・5 および 6 で、 交通需

要は、階数の増加に従って行先階分布のみを変えた。

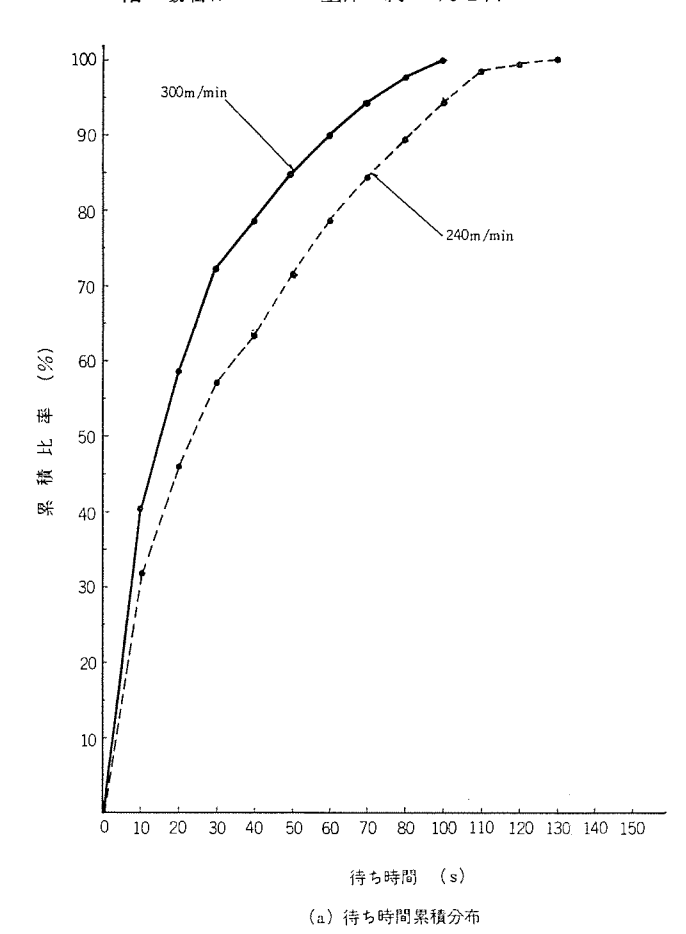
シミュレーションの結果をみると、まず、図 6.8 で明らかなように、サービス階が増せば サービスが低下することは当然であるが。16 階を越すと サービス 水準は加速度的に低下する。 試みに、30 秒以下の待ち時間の累積比率を一つの サービス 評価の基準におくと、

10階の場合は

全体の約71%を占める

13階の場合は

全体の約62%を占める



16 階の場合は

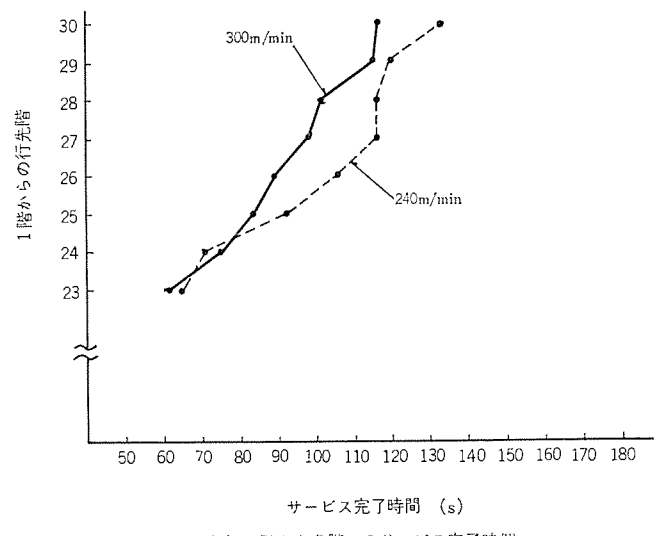
全体の約59%を占める

19 階の場合は

全体の約48%を占める

また、単に平均待ち時間が長くなるだけでなく、待ち時間のばらつきを表わす標準偏差も、階数の増加に比例して二次曲線的に大きくなり、サービスの内容の悪さが歴然と現われてくる。この傾向は、サービス完了時間にも当然現われており、各 CASE とも共通にサービスする10階までの1階との二元交通をみると、やはり16階を越えるとサービス完了時間の延長の割合が著しく大きくなる。

さらに、20階程度になれば、必要な台数はいっそう増加する。との場合、台数の増加によってホールでの待ち時間は短縮するが、サービス階が多すぎるため、待ち時間に比べてサービス完了時間の短縮程度は低い。したがって、とのような場合は、エレベータグループを二つに分けて、サービス階を低層・高層に2分割する方式が妥当であろう。一つのグループでサービスする階床数は、従来から経験的に知られて



(b) 1階から各階へのサービス完了時間

図 6.7 30階のビルに対する急行区間を有する 240 m/min, 300 m/min の比較 Comparison of 240 m/min and 300 m/min elevator in a 30 floor building with express zone.

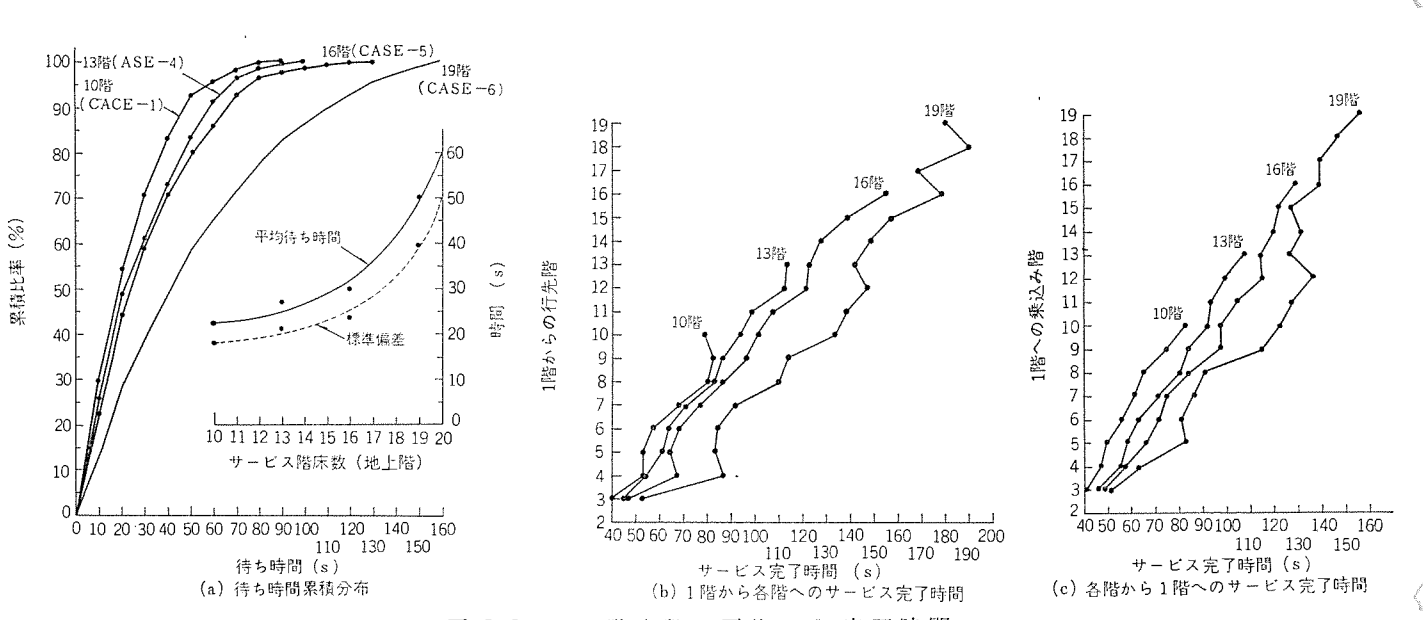


図 6.8 サービス階 床数と平均サービス完了時間 The number of floors served and average total service time.

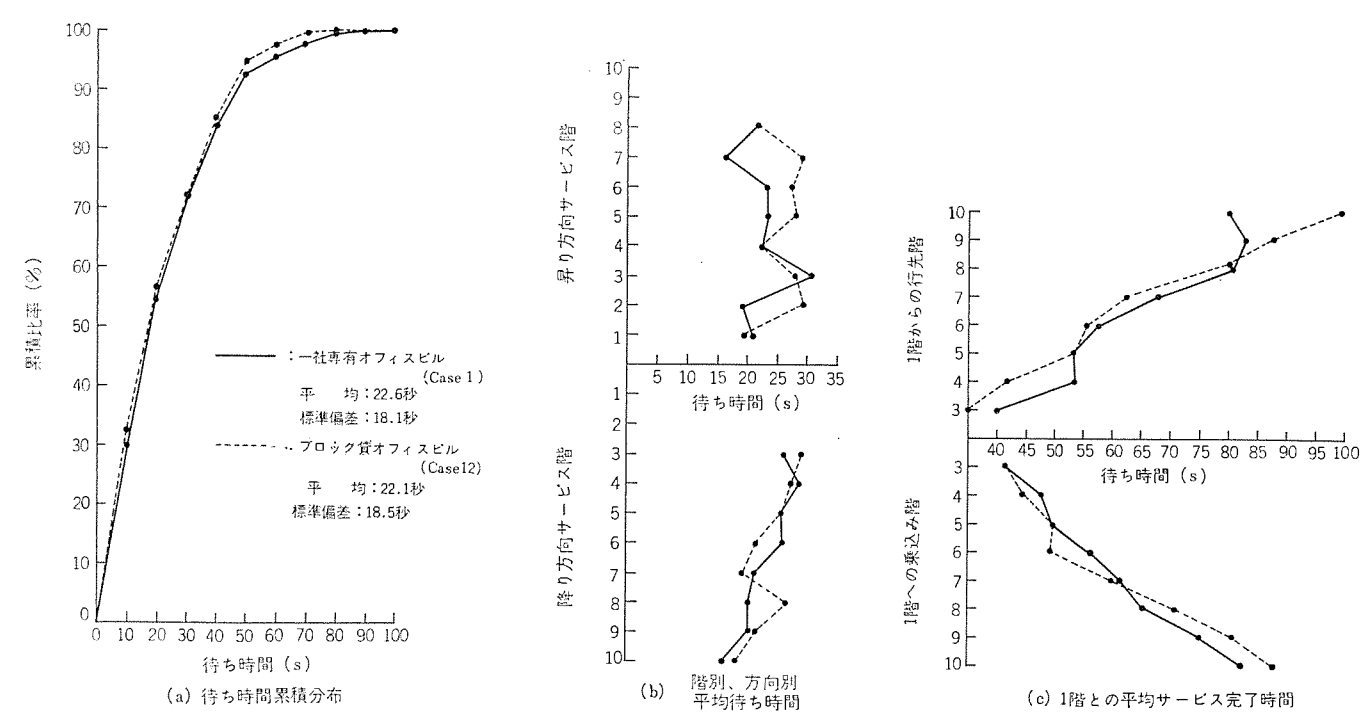


図 6.9 ビル用途による行先階分布とエレベータサービス Relationship of destination floor distribution to elevator service according to types of building use.

いるとおり15階程度が限度であることが証明できる。

#### (5) ビル 用途と交通需要の変化と サービス 水準

#### (a) ビル 用途が異なる場合

同じ事務所 ビルで、一社専有の場合と ブロック貸しの場合について 比較する。比較条件は、表 6. 1 の CASE-1 (1社専有) と CASE-12 (ブロック貸し) に従い、 ェレベータ の仕様および交通量を同一にし て、ビル 用途によって行先階分布のみを次のように変えた。

ビル用途	1 階と各階を結ぶ二元交通	階	相	П.	Ø	交	N
一社專有	60 %	40 %					
プロック貸し	90 %	10%					

シミュレーション の結果は、図 6.9 のとおりであるが、サービス 水準を示すこれらの rウトプット をみると、 いずれも両者の間にみるべき差はない。片道運転あたりの交通量が同一であれば、理論上の運転時間は、階相互の交通が多いほど長くなり、それだけ t-ビス は低下するが、ここで比較した程度の階相互交通の差は、 t-II 方式では、t-ビス 水準にほとんど影響を及ぼしていない。

#### (b) 交通需要が変わった場合

この比較は,表 6.1 の CASE-13 を用いた。ビルの用途と規模, エレベータ 仕様, 昇り降りを合計した交通量および行先階分布を同一 に保ち,交通需要だけが昇り方向に片寄る「偏昇」と,降り方向に 片寄る「偏降」の二つの場合について エレベータサービス がどのよう に なるかを検討した。交通需要は次のとおりである。

#### (i) 行先階分布

偏昇・偏降とも

1階と各階を結ぶ2元交通 60%

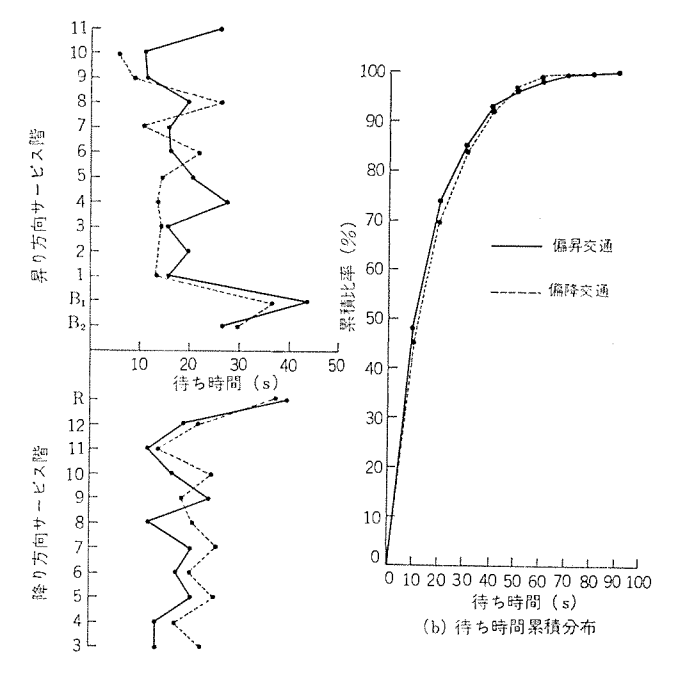
各階相互間の交通

40 %

(ii) 交通量

上り,下りの合計で約100人/台・30分

			昇		ŋ	方	向		降	þ	方	向	
-	倜	昇	63 %				47 %				_		
	倜	降	47 %				63 %						



(a) 階別·方向別平均待ち時間

図 6.10 交通需要と待ち時間 Relationship of traffic dimand to waiting time.

#### (iii) 交通比率

以上の条件に基づき、 シミュレーション を行なったところ、図 6.10 のとおり、下りと上りの交通比率が片寄る場合も、両者の サービス 水 準には、ほとんど差は見られない。平均待ち時間を方向別にとると次のとおりであるが、交通量の片寄りに比べてその偏差はわずかで

方向別平均待ち時間

		界 D 方 向	降り方向	全 平 均
個	昇	19.40 秒	18.97 秒	19.35 秒
偏	降	15.42 秒	21.71 秒	19.35 秒

ある。

この モデルケース から,ASP-A・MARK-II 方式では,交通需要の変化に対応して,ェレベータサービス が常に均一になるように,ェレベータ グループ の運転間隔の自動調整が適切に行なわれていることがうかがわれる。

#### 7. む す び

以上,紹介したとおり, ASCOM-II の活用によって, われわれは, エレベータ設備計画手法において,従来手法では得られない エレベータシステム に対する新しい評価手段を得ることができたわけ で あるが, 1日の エレベータ 交通を通した総合的な検討による設備計画という点では,まだ完全とはいえない。

なぜなら、たとえば、社員食堂設備をもつ事務所 ビル では、昼食時の エレベータ 交通需要のほうが、 むしろ出勤時 ピーク よりも高く、要求される待ち時間の水準も、ビジネスアワー に近いので、昼食時こそは エレベータ 設備に対する負荷として、質量ともに最もきびしいともいえる。 ただ、他の時間帯が「ビジネス」に起因した交通需要がほと

んどであるのに対して、との時間帯が「食事」に起因する交通需要であるため、一般的な社会通念として、まだ昼食時に対する エレベータサービス を最も重要な要因として、エレベータ設備を計画する段階に至っていない。

しかし、時代の進展とともに、われわれの生活様式やこうした社会習慣が変化し、昼食時のエレベータ交通がエレベータ設備計画のうえで現在よりもさらに重要なファクターになるであろうことは、想像にかたくない。

したがって、エレベータ 設備計画の手法を研究する場合、昼食時の問題に対する アプローチ が次の課題であろう。

#### 参考文献

- (1) 藤田,寺山,吉江,欅田,並川: シミュレーション 手法による エレベータ 設備計画,三菱電機技報,41,No.7 (昭42)
- (2) 小池, 大西, 藤田, 寺山: エレベータ 交通の平常時における乗客到着モデル の提起, 日本 オペレーションズリサーチ 学会 1969 年度春期研究発表会 アブストラクスト

付

辒

中間階間交通がある場合の予想停止数の算出

エレベータが1階から出発して昇り方向に運転する場合の予想停止数を求める。

#### 条 件

- (1) エレベータの サービス 階は出発階を含め n とする。
- (2) 任意のi階から Iレベータ に乗込む人数を $r_i$  とする。
- (3) i階から乗車した乗客  $r_i$  の行先は  $i+1\sim n$  階に対し均等の 確率を持つものとする。

IUベータがi階から乗込んだ $r_i$ 人によって(i+1)階以上の各階で停止する確率 $p_i$ は、次式で与えられる。

$$p_i = 1 - \left(1 - \frac{1}{n-1}\right)^{r_i} = 1 - \left(\frac{n-i-1}{n-i}\right)^{r_i} - \cdots$$
 (for 1)

停止しない確率 qi は

$$q_i = \left(\frac{n-i-1}{n-i}\right)^{r_i} \dots ( \uparrow \downarrow 2 )$$

i階で (i-1) 階より以下の階で乗込んだ乗客のかご呼びにより,  $\mathbb{E}_{\mathbf{L}}$  が停止する確率  $p_i$  は,停止しない確率を  $Q_i$  として次式で与えられる。

$$p_{i} = 1 - Q_{i} = 1 - \left\{ \left( \frac{n-2}{n-1} \right)^{r_{1}} \left( \frac{n-3}{n-2} \right)^{r_{2}} \cdot \dots \cdot \left( \frac{n-i}{n-i+1} \right)^{r_{i-1}} \right\} \cdot \dots \cdot \dots \cdot (f \mid 3)$$

 $: \quad Q_i \! = \! q_1 \boldsymbol{\cdot} q_2 \! \cdots \! \cdot \! q_{i-1} \quad \cdots \cdots \quad ( \! \not \cdot \! \downarrow \! 4 \, )$ 

一方,i階において  $\mathfrak{z}$ レベータ の乗客が到着する確率, すなわち乗場呼びができる確率  $p_i'$  は,

::  $I \cup \vec{n} - g$  の平均運転間隔 T 秒内に  $I \cup \vec{n} - g$  ルール に到着する人数を、平均人数  $r_i$  の ポアソン 分布と仮定すると、T 秒間に 1 人も  $I \cup \vec{n} - g$  ホール に到着しない確率、すなわち乗場呼びのできない確率  $q_i'$  は次式で与えられる。

$$q_i' = e^{-\tau_i \frac{r_i^0}{0!}} = e^{-\tau_i} \cdots (5.6)$$

したがってi階でかご呼びまたは乗場呼び,もしくはその両方が 重畳した呼びで $_{\text{IU}}$  、ボ停止する確率 $_{\text{P}i}$  は,式(付4)、(付6) より,

$$p_{i} = 1 - q_{i}'Q_{i} = 1 - \left\{ e^{-\tau_{i}} \left( \frac{n-2}{n-1} \right)^{\tau_{1}} \left( \frac{n-3}{n-2} \right)^{\tau_{2}} \cdot \dots \cdot \left( \frac{n-r}{n-i+1} \right)^{\tau_{i-1}} \right\}$$
.....(6t 7)

よって昇り方向での予想停止数  $f_L$  は次式で求められる。

$$f_{L} = \sum_{i=2}^{n} p_{i} = \sum_{i=2}^{n} \left[ 1 - \left\{ e^{-\tau_{i}} \left( \frac{n-2}{n-1} \right)^{\tau_{1}} \left( \frac{n-3}{n-2} \right)^{\tau_{2}} \cdots \left( \frac{n-\tau_{i}}{n-i+1} \right)^{\tau_{i-1}} \right] \cdots \cdots \left( (f + 8) \right) \right]$$

降り方向についても上記と同様である。

## 超高速化の進む 三菱シンクログライドエレベータ

高村 明\*·安西伸夫\*·渡辺英紀\*

### Mitsubishi Synchro Glide Elevators making Progress in Super-High Speed Operation

Inazawa Works

Akira TAKAMURA • Nobuo ANZAI • Eiki WATANABE

With the trend of skyscrapers coming up one after another of late, the elevators are also demanded to be of increasingly higher speeds and higher rises. Mitsubishi Synchro-Glide high speed elevators are high performance machines developed to meet the requirements. Since they were sent to the market in 1963, a good number of the products have been delivered and favorably commented on with their excellent features.

This article describes the condition to be a high speed elevator, a number of improvements made by the Company to satisfy the condition, and also technical problems to realize the world highest speed of 540 m/min. In addition, introduction is made on 300 m/min elevators supplied to the World Trade Center Building recently.

#### 1. まえがき

わが国においても、諸外国でいわゆる摩天楼といわれるような、 超高層 ビル が、続々と建設され始めた。

このような超高層 ビルでは、建物の中で エレベータ の占める面積がますます大きくなるので、輸送力を大きくするため、従来のものよりいっそう速度の速い エレベータ が必要となってくる。

当社はこの超高層 ビル にふさわしい高速・高性能 エレベータ として シンクログライド 方式 エレベータ を開発したことを当技報でも紹介してき たが、150 m/min をこえるような高速 エレベータ の生産台数も 200 台 に近づき、その性能の良さと高い信頼性は非常な好評を 博 して いる。

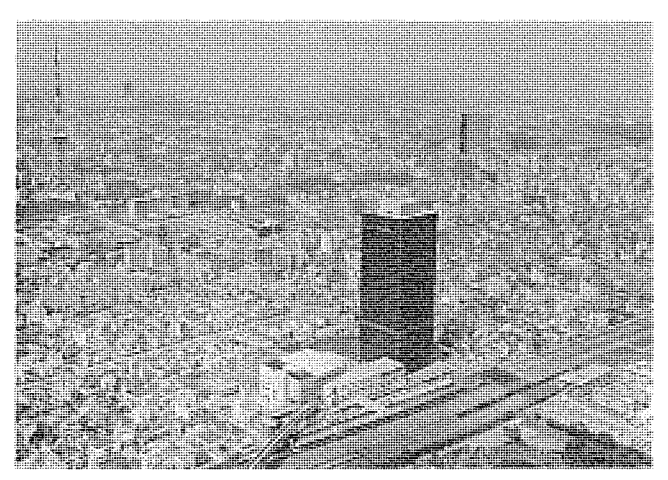


図 1.1 世界貿易センタービル(東京) (霞ヶ関ビル,東京タワー,さらには建設中の京王 プラザホテル も見える) World Trade Center Building in Tokyo.

なる)等多数にのぼり、最近の代表的建築のほとんどすべてに採用 されている。

一方商談中のものとして ホテルニューオータニ 向け等多数の引 合が あり, われわれはますます高速・高性能が要求される エレベータ をいっそう完全なものにするため, 当社の試験塔において日夜試験を続行している。

以下に高速 エレベータとして備えるべき条件と、この条件を満足するために当社の実施した数々の改良事項、 さらには 540 m/min の 超高速 エレベータ を実現するための技術的問題点を述べ、併せて、今回世界貿易 センタービル へ納入した 300 m/min エレベータ の実績を も紹介する。

#### 2. 高速・高性能エレベータの具備すべき基本的条件 と世界貿易センターの実績紹介

#### 2.1 高速・高性能エレベータの具備すべき基本的条件

一般に高速 ェレベータ は記録的高層 ビル に設置されるため、建物の利用効率を下げないこと、膨大な交通需要を確実に処理できること、 建築の豪華さに マッチ した意匠であること、 等が特に重要になって くる。

言いかえれば、一般 エレベータ に比べ、やや設備費が高くても輸送力・据付寸法・信頼性・意匠の美しさ・静粛さ等のあらゆる機能が高性能・高品質でなければならないことで、再三当技報でも説明してきているが、今回はその諸機能のうち、特に進歩の著しい三菱 シンクログライドエレベータ の特長とする諸点について説明する。

#### 2.1.1 乗りごこちよく最短時間で走行すること

高性能 エレベータは、輸送力を増すため最短時間で床から床へ走行停止することが要求される。だからといって乗りごこちが悪くなってはいけない。一般には乗りごこちと所要時間は背反関係にあり、乗りごこちをよくしようとすると時間が長くなるのが普通である。われわれは乗りごこち良く、しかも最短時間で走行するための理想

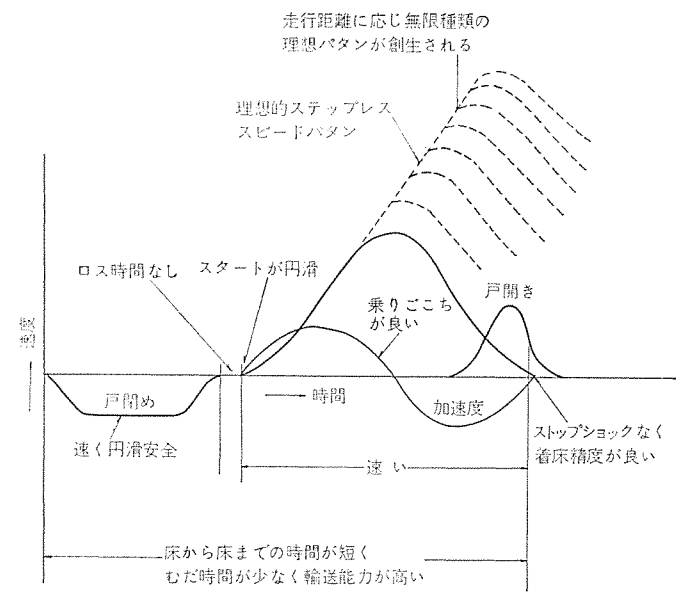


図 2. 1 三菱 シンクログライドエレベータ の特長 Merits of Mitsubishi synchro glide elevator.

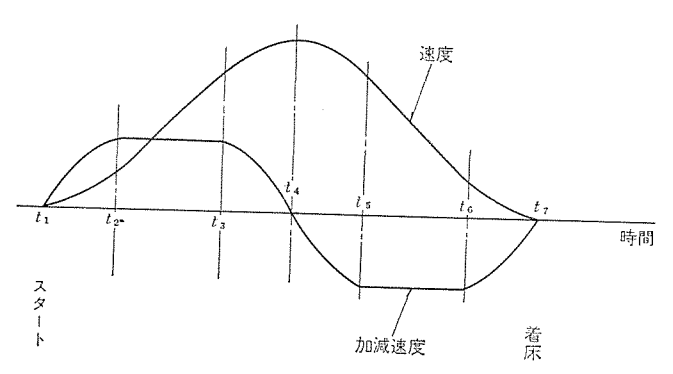


図 2.2 理想運転曲線 Ideal performance curve.

運転曲線として、図 2.2 の加減速度特性を採用すべきことを 提唱 してきた。

すなわち  $t_1 \rightarrow t_2$  は加速度が正弦波的に立ち上がり,  $t_2 \rightarrow t_3$  は加速度一定期間,  $t_3 \rightarrow t_4 \rightarrow t_5$  は加速から減速に移り変わる部分で,との部分も正弦波的に変化し,  $t_5 \rightarrow t_6$  は減速度一定期間,  $t_6 \rightarrow t_7$  は減速度が正弦波的なおさまりを示している。 この波形は,  $\tau_1 \leftarrow \tau_2 \rightarrow \tau_3$  でこちが加速度のみならず,加々速度(加速度の微分値)によっても支配されるという考え方にもかなっており,今までの幾多の実験によっても,その妥当性が確認されている。

さて最短時間で走行するためには、定格速度まで出ないような運転範囲では、いかに走行距離が変わっても常に 図 2.2 の 理想運転となるように、たとえば 図 2.1 に 示すような無限の種類の理想運転曲線群の中から、最適なものを自動的に選択して走行するようにしておく必要がある。

これは高速 エレベータといえども、 定格速度が出るような急行 ゾーン は別として、サービスゾーン 内では定格速度で走行することはまれで、その運転のほとんどが部分速運転で占められているからである。 しかも高速になればなるほど、当然部分速運転の種類は加速度的に増えるからでもある。

ところで高速 エレベータ といっても、部分速運転の種類を限定し、たとえば 3 種類程度しかもたない方法が考えられる。 すなわち サービスゾーン 内では 90, 120, 150 m/min の部分速しか出さず、急行 ゾー

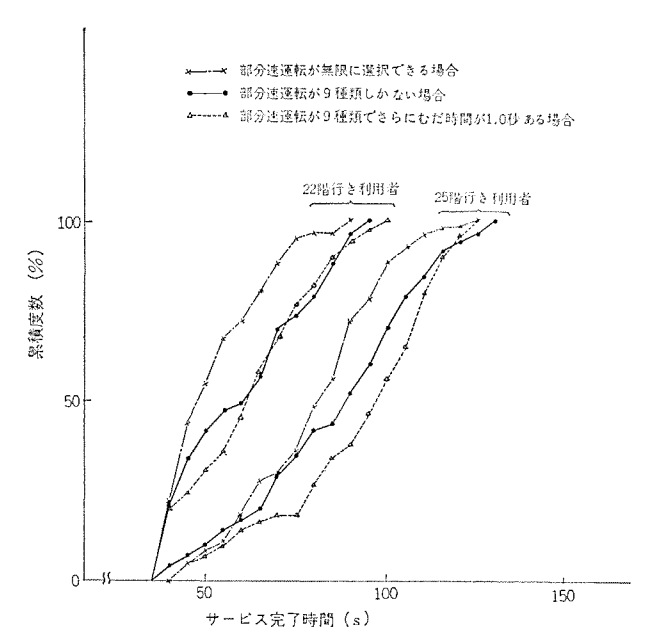


図 2.3 サービス 完了時間累積度数分布 (Up peak 時) Comparison of service completion time.

内においてはじめて定格速度を出す方式である。

さらにこの方形を改良すると、走行階床数を単位にして徐々に部 分速運転の最高速をあげるような形式で、 9種類程度 (300 m/min の場合) まで部分速を増したものになる。

このような方式では、標準階床間隔で構成された9種類の基準運転からはずれる階床間隔の運転に対しては、一度定常速を出して基準運転曲線よりも加速度が高くならないようにせねばならない。

したがって部分速運転を数種類に限定してしまうことは、標準外の階床運転は最高速度と走行距離の調和がくずれるために、 サービス ヴーン 内の運転能率がかなり悪くなる。

300 m/min ェレベータ で部分速運転が無限にある場合と, 9 種類しかない場合の運転能率を比較してみよう。

図 2.3 には、当社が開発した Iレベータ 用 vミュレーションプログラム を使用して、vービス 完了時間について計算した結果を示す。vービス 完了時間とは、v が v か v が v か v が v か v か v が v が v が v が v が v が v か v が v か v が v v が v v が v が v が v が v が v が v が v が v が v が v v が v v が v が v が v が v が v が v が v が v が

計算条件は,

台 数:7台のオートセレクトパターンオート方式

容 量:1,150 kg, 17 人乗

速 度:300 m/min サービュ階:1→21~30 階

図 2.3 から明らかなように、部分速運転を数種類に限定して しまうと サービス の質がかなり落ちることが明らかである。

また運転時間の損失が交通需要の処理能力にどんな影響を与えるかを、別の形で シミュレーション したものを 図 2.4 に示す。 すなわち最も高い輸送能力を要求される朝の ラッシュ 時に対応する時間帯で、Up peak になるのが、無限 パターン の場合は約 10 分間であるが、有限 パターンでは、その前後にふくらんで約 15 分になっており、このことから次の諸点が推察される。

- (1) 能率の低い  $_{\text{LU}}$   $_{\text{LU}}$
- (2) その結果昇り客の処理に重点がおかれ、地下サービスや降り客の待時間が長くなりサービスの質がおちる。

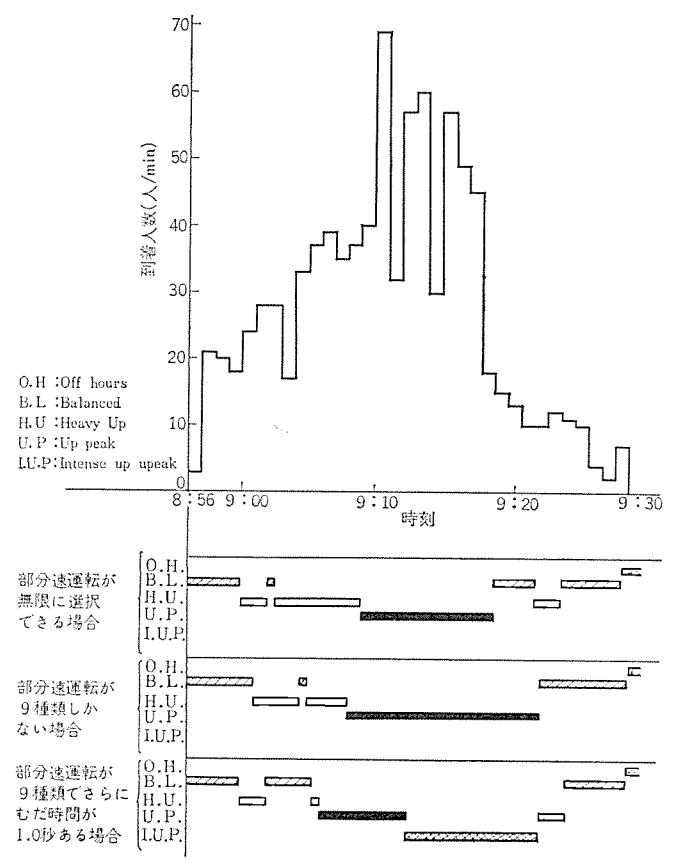
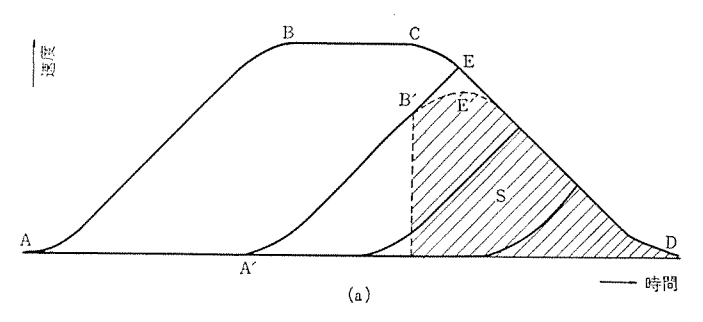


図 2.4 交通パターンの移り変わり Comparison of traffic pattern transition.



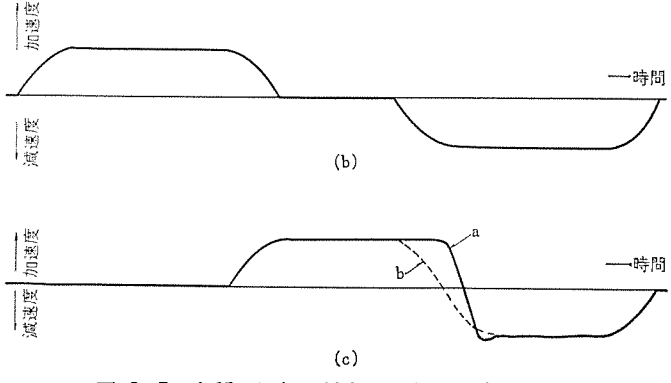


図 2.5 各種の運転に対する速度および加減速度 Speed and acceleration and deceleration curves corresponding to miscelaneous tracks.

以上のように部分速運転の種類が限られている場合は運転能率が低く、換言すれば高価な エレベータ 用主機および建築側の諸施設、たとえば電源さらに エレベータ 設備用建築 スペース を十分に使いきっていないと言える。

次に無限の部分速運転を選択するための基本的考え方を説明する。 図 2.5(a)は各種の部分速運転に対する速度 パターンを示す。図 2. 5(a)で  $\overrightarrow{ABCD}$  は全速運転の経過であり,このとき 加減速波形は,図 2. 5(b)のごとく理想波形となるものとする。 もっと短階床で全速が出ない場合を考えてみよう。 図 2. 5(a)で  $\overrightarrow{A'B'ED}$  がこれに相当する。このときの加減速度は,図 2. 5(c) a 曲線のごとく加速から減速に移る点の加々速度が非常に大きく乗りごこちが悪くなる。これを改善するためには,加速の後半で実質的には加速中であるにもかかわらず,減速に備えて図 2. 5(a) B'点で加速度を制御しはじめ,なめらかに減速曲線につながなければならない。 ( $\overrightarrow{A'B'E'D}$  がこれに相当する。またこのときの加減速度は図 2. 5(c) b の曲線になる)。すなわちェレベータがちょうど図 2. 5(a) の斜線の部分の面積 S に相当する距離だけ,呼びのある階の手前にきたときに加速から正弦波的に減速に移す。この量 S は B' 点のかごの速度 v を知れば次の式から計算できる。

$$S = k_1 v^2 + k_2 v + k_3$$

このように無限の部分速運転をすべて理想的に運転しようとすると、常にかごの現在速度から停止可能な距離を計算して呼びのある階と照合するとともに、加速度 コントロール をも行なわなければならず、非常に高度の技術が要求される。

以上のように部分速運転を無限に選択することは非常にむずかし いので、前述のように部分速運転を数種類に限定する方式が採用さ れている場合が多い。このような方式では、簡単のために速度指令 値を従来からよく知られている ノッチ 方式で創成し、 かつ加速度コ ントロールをも行なっていないのが普通である。 ノッチ 方式では ノッチ による加速度の変動が乗客に不快感を与えるので、これを緩和する ために大きな遅れ要素をパターン回路にそう入するのが常であり、こ のため位置制御の精度が甘くなって着床性能がどうしても悪くなる。 あるいは位置点と位置点の間を適当に補間する方法もあるようであ るが、上述のノッチ方式の欠点を根本的には解決することはむずか しい。なお高速エレベータは一般に高揚程になるが、この場合は後で 述べるようにかご・ロープ系の自由振動数が低下し、減衰も悪くなる ため、ノッチ方式のもつ細かい励振でもかごの中で感知できるゆらぎ となって表われる場合が多い。 このように ノッチ 方式は中速 エレベー タとしてはともかく、高速·高性能 エレベータ としてはふさわしくな いであろう。

三菱 シンクログライド 高速 エレベータ では、完全に ステップレス な速度指令値を発生し、かつ加速度を自由に増減できる DMA アクセレータ を使用して加速部分の速度制御を行なっている。われわれはさらにかごの現在位置と現在速度と停止予定階までの距離を演算処理する装置を セレクタ に付加 (特許出額中) し、前述の図 2.5(a) B' 点を正確に検出するとともに、この装置の出力で積極的に加速度 コントロールを行なうことに成功した。その結果加速から減速に移りかわるところの乗りごこちが理想的に コントロールでき、 在来の時間遅れを利用したものと比較して乗りごこちは格段にすぐれているうえに、無限の種類の部分速運転が選択できる。さらに減速にも同じく、昇降路位置に対して完全に ステップレス な速度指令値を発生する DMS セレクタリアクタ を使用しているので、前述の ノッチ 方式の欠点はまったくない。この DMS セレクタリアクタ は、 昇降路寸法を約 1/100 に箱尺した セレクタ に取りつけられ、位置基準で等減速度となるように構成してある。

したがって 
$$\alpha = \frac{d^2S}{dt^2} = V \frac{dV}{dS} = \text{CONST} \cdots (2.1)$$

$$\therefore S = \frac{V^2}{2\alpha} \cdots (2.2)$$

#### てこに $\alpha$ : 滅速度 S: 距離 V: 速度

であるから位置対速度基準で表わした場合、二次曲線の出力を出さ なければならない。しかも式(2.1)に示すようにリアクタの出力曲線 の傾斜を V に逆比例するようにしなければならぬため, ごくわず かの曲線上の局部的ゆらぎも、実際には非常に大きな減速度の変化 となって現われる。このためリアクタの設計製作試験には非常な苦心 を要する。当社ではこの リアクタ のための シミュレータ を開発し、種々 研究の結果、現在ではいかなる速度のリアクタでも理想減速波形が出 せる設計手法を確立した。さらに試験塔において組合わせ試験を行 ない、その性能を確認している。また一般に広範囲な速度制御を要 求される ワードレオナード 方式では、経済的な理由から電圧制御の他に 電動機の界磁制御をも行ならのが普通である。すなわち加速中は応 答性を良くするために強め界磁とし、電動機速度がある速度以上に なると、電動機界磁を強め界磁から弱め界磁に切りかえている。し かし連続パターン制御であるために、この界磁制御は一種の外乱とし て システム に与えられ、加速度・減速度が変動し乗りごとちに悪影響 を与える。当社では、界磁制御を行なったために発生する加速度・ 減速度の変動を キャンセル する回路を開発したので、乗りごこちは実 に滑らかである。

以上のように当社の シンクログライド DMR 方式高速 エレベータ は

- (1) あらゆる距離の部分速運転に最適の最高速度を選べる。
- (2) 目的階に停止することを決定すると、直ちに機械的に減速 にうつるのではなくて、まず加速度の減少から減速度の立ち上がり に至る、最も長時間にわたる ジャーク (加加速度) 期間を積極的にて いねいに コントロール する。
- (3) 引き続き完全に連続的にかご位置に対応した速度パターンに沿って、減速する過程になめらかに受けつがれるなど、世界に例のない最も進歩した理想運転制御装置で構成されている。しかも高速化が進んでも本質的になんらパターン装置の構成に変化するものがないため、システムも簡単であり原価の増加も少ない。

#### 2.1.2 起動時のむだ時間のないこと

エレベータの動きは、かご到着→戸開き→乗客乗降→戸じめ→スタートのサイクルの繰り返しであるが、戸がしまったのに起動シーケンスを進め終わるまで時間を要し、かごがなかなかスタートしなかったり、いったんローリングバックしてから所望の方向へスタートするというように、どこかでリズム感が欠けたりむだな動きが入る。 そのためちょうど初心者の運転する車のように、ぎくしゃくした感じを与えるとともに運転能率をはなはだしくそこなう。

ローリングバックとは、かごが重負荷で上昇しようとするときや、軽負荷で下降しようとするときに、ブレーキを開くとかごが一度逆方向に動いてから目的方向に動き出すことを言うが、このための時間損失は 0.5~1.0 秒にも達する。

図 2. 3, 2. 4 に、前項と同じくこれらのむだ時間が 1 秒ある Iレベータ (部分速は 9 種類しかない) と、むだ時間のない Iレベータ (部分速は無限に選択できる) の Iービス 完了時間と、Iートセレクトパターンオート 方式の交通 パターン の移り変わりを、 同じく Iレベータ 用 シミュレーションプログラム を使用して計算した結果を示す。図 2. 4 に示すように、むだ時間があるとますます ピークパターン で処理せねばならぬ 時間 が長くなり、Intense up peak パターン まで表われてくる。 したがって

(1) 損失時間が多くなると、結局パターン数の多い高級な群管理

装置が必要になり経済的でなくなる。

(2) 地下 サーピス はまったく行なわず, 下り客の サーピス もますますおろそかになる。

などの欠点が表われる。

このような見地から、三菱 シンクログライド 高速 エレベータ ではこれら のむだ時間を取除くために、次のようなごくていねいな対策が施してある。

- (1) 当社特許のはかり(秤)起動方式は改良に改良を重ね、後述の補償装置を追加したので  $\Box$ -リングバック による時間損失は皆無である。
- (2) 完全なはかり作用によってかごが保持されるので、とびらが全閉される前に時間のかかる ブレーキ 開放その他の起動 シーケンス・準備動作を錠 スイッチ 開錠を残すだけまでによせられるので、起動時の時間損失もまったくない(特許出願中)。しかも万一はかり作用が不具合だったときの保護動作と、当社特許の引込式 セフティシューの効果の両者により、まったく安全性はそこなわれていない。

#### 2.1.3 停止ショックがなく、 着床精度のよいこと

無負荷から重負荷までのあらゆる運転に対して、かごが各階の床に対して正確に停止することは特に重要である。 すなわち エレベータ でかごの床と停止階の位置がずれて停止して戸を開いた場合、乗客はつまづいたり、ころんだりすることもあり、満員の場合には非常に危険なことにもなる。またかごの床と停止階の位置がずれていると、乗客が乗り降りをためらうために混雑がひどくなることも考えられる。このため着床精度は一般に数 mm 以内を要求される。

当社の シンクログライド DMR 方式高速 エレベータでは、 着床装置として直接昇降路に DMI 形着床装置を使用している。 ノッチパターン 方式では、 着床誤差範囲内では速度指令が 0 になってしまうが、 この着床装置は許容着床誤差範囲内でも出力は 0 にならず、 着床誤差 0 の点をはさんで常に原点へ戻す方向へ出力を連続して発生している(図 2.6)ので、 無負荷から 150 % 負荷までのあらゆる負荷に対して着床誤差は ±5 mm 以内であり、 しかも電気的に完全に停止させた後に、 機械式 ブレーキをかけるから停止 ショック はまったくない。しかもいったん着床した後も高揚程 エレベータでは、乗客の乗降したときの綱の伸び縮みによる着床誤差が大きく、はなはだしい場合は±100 mm にも達する。したがって リレベル によって再度床合わせす

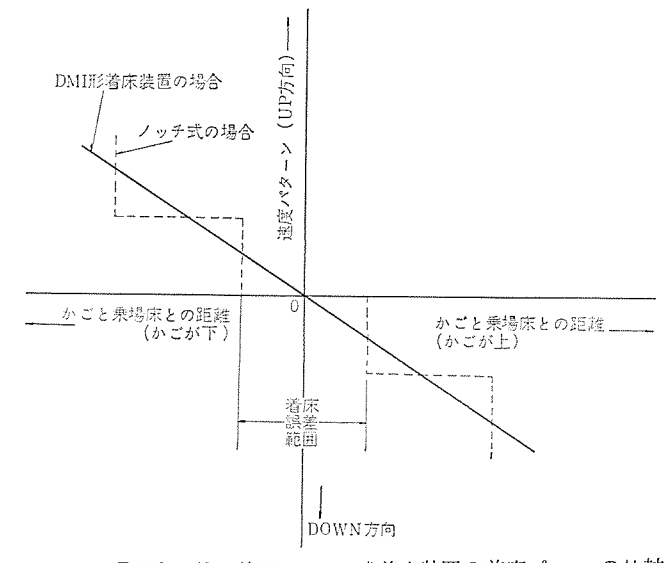


図 2.6 DMI 形着床装置と ノッチ 式着床装置の着床 パターン の比較 Comparison of landing patterns between type DMI and ordinary notch type landing device.

る必要が5~6回にもなるわけであるが、このリレベル動作は人が乗降している最中であるだけに、乗客にまったく気づかれぬようなめらかに精度高く行なわれねばならない。当社では前述のはかり装置がこのときも大きな効果を発揮し、まったくローリングパックなしに起動し、DMI 形着床装置の速度基準値に沿ってなめらかに再着床・停止することができる。また乗客の乗降中は引続いて、DMI 形着床装置と DMR レギュレータの協同作用で一種のサーボメカニズムを構成し、わずかの位置ずれをも直ちに検出してかごを床に位置ぎめするようにしているから、このようなときに起こりがちな着床ずれは全くなく、乗客は安心してスムーズに乗降できる。これは、かご位置に対して連続的な速度指令を発生できる DMI 形着床装置のもつ重要な特長の一つである。

#### 2.1.4 信頼度と安全度の高いこと

一般に信頼性と安全性の高いてとは重要であるが、 高速 エレベータ ではもし不具合のあったときの影響がきわめて大きいだけに、さら に細心の注意を払って設計することが要求される。

信頼度を向上するためには、部品・システムの信頼性管理を行なうことはもちろんであるが、なかなか机上プランのみでは バランスの取れた信頼性をうえつけることができない。使用環境の差、思いがけないしかし実際には十分にありうる乗客の操作方法・使用条件のまれな組合わせ等は、事前に見出すことはなかなか困難で、貴重な実使用時の失敗、経験の積重ねから改良を積重ねてはじめて使用者と暖かい血の通い合った man-machineのシステムが生まれる。三菱シンクログライドエレベータは長い歴史と豊富な製作経験から、このような意味での高い信頼性を確保しており、世界貿易センタービルでも営業運転開始以来不具合はまったくなく好評を得ている。

#### 2.1.5 静粛で振動なく、意匠的にもすぐれていること

2. 1. 1 項において上下方向の運行特性について述べたが、 高級 エレベータ の必要な条件として、 静粛でかつ振動のないことがあげられる。特に エレベータ が高速・高揚程になるにつれてかどの横ゆれが 問題となってくる。

この横ゆれを決定する要素としては、レール、ガイド、かご室の防振の3点がある。エレベータが高速になればなるほど同じレールを走行しても横ゆれが大きくなるので、レールの据付は一段と高精度が要求される。また $\alpha$ --ガイドやかご室防振方法も改良が必要となってくる。

当社では試験塔において数多くの実験を行なった結果,水平加速度は4galを限界とする必要があることがわかったので,この問題を解決するため,緩衝効果を大幅に向上したローラガイド(実用新案出願中)を開発するとともに,レールパッキング・レール継目・スライディングレールクリップ・レールサイズ等のレール関係の設計・製作・据付面について総合的に検討を加え,目標どおりの成果を得ることができた。

また昇降路器具の動作音に対しても、 たとえば リタイアリングカム を 静粛に動作させる制御回路(実用新案)を採用することによって、 錠 スイッチを解錠するときの音を大幅に減少させる等細かい ところ にまで神経を配っている。

さらに エレベータ のかご室等の意匠も一つの重要な機能要素であり, 建物の性格、環境、 ふんい気等に マッチ した インテリア デザイン でなければならない。性能の良さと意匠の良さが相まってこそ, はじめて 顧客に満足していただける エレベータ となる。

さらに高速 エレベータ では風音をかご室に伝えないために,かご室の各部とも二重構造とし,換気孔,かごの戸の建付け部のすき間等は空気の流路を屈曲させる構造とした。また,当社では取換壁取付

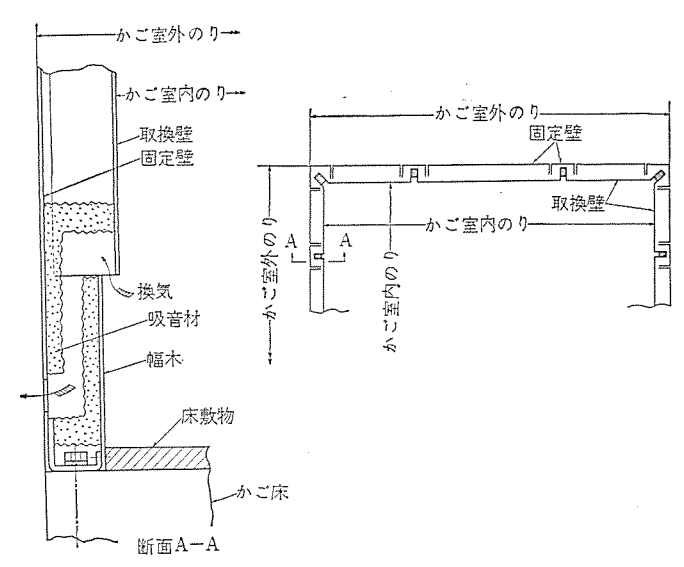


図 2.7 高速ェレベータ用かご室構造 Structure of car for high speed elevator.

用の ァダブタ も兼ねた形で、かご室の壁構造を 図 2.7 のように改良し、壁厚の縮少と騒音の減少に成功した(実用新案出願中)。

#### 2.1.6 据付上の制約の少ないこと

2.1.1~2.1.5項にわたって主として エレベータ の性能上の観点 からながめてきたが、 ビル を計画する場合に、 エレベータ 側からの制 約条件のできるだけ少ないこともまた重要である。 すなわち、マシン・盤面類が機械室を占有する面積ができるだけ少な く、 ETS 装置 (これについては 3章で詳述する) 等の使用によって ピットの深さも あまり深くならぬようにするのが望ましい。

本題から若干はずれることであるが、ビル 建設中に雨ざらしになったり、じんあいの非常に多い時点で高速 エレベータ を据付け、これを利用してビル 工事の荷揚げに使用するのは、かご室意匠の損傷、器機類のいたみ方の早いこと等の点から推奨できない。工事用にはあくまで仮設 エレベータ を使用し、最後に高性能 エレベータ を据付け、十分な調整を行なわないとその性能は フル に発揮されない。事実諸外国では、工事用には必ず仮設 エレベータ を使用しているようであるからぜひご考慮いただきたい。

#### 2. 2 世界貿易センタービル納入 300 m/min エレベータ

2.1節において高速・高性能 エレベータ の具備すべき条件について種々述べてきたが、ことに今回当社が世界貿易 センタービル に納入した 300 m/min (現在国内最高速) について述べる。

#### 2.2.1 乗りごこちと運転時間

図2.8は、世界貿易 センタービル に納入した 300 m/min エレベータ の実測の加速度特性である。先に述べた理想特性を完全に満足していることがわかる。特に加速から減速に移り変わる部分が、全部の運転履歴にわたって完全に理想形を示しているところに着目されたい。もちろんこの中間のいかなる階床間隔の運転もすべて同じ理想特性である。300 m/min のものは、常時は展望用にのみ使用されているためふだんは直通運転のみとなるが、早朝・夜間は ビル 入居者が一般的に使用できるよう全階 サービス 可能のあつかいをしている。

#### 2.2.2 特殊運転

世界貿易 センタービル 納入の 300 m/min エレベータ には、普通の エレベータ 動作をするほかに超高層 ビル にふさわしく種々の特殊運転ができるようにくふうされている。

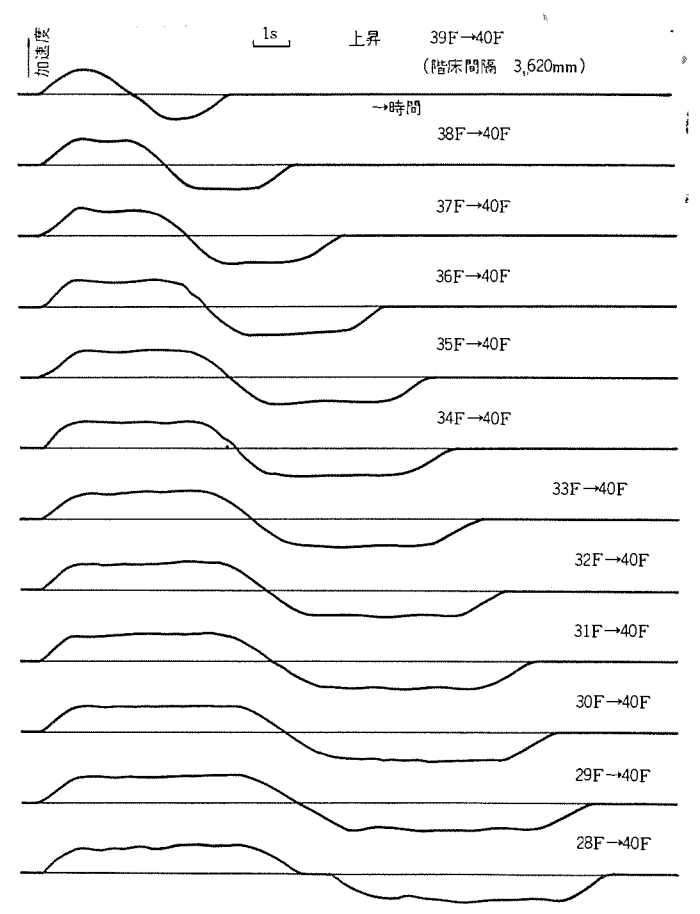


図 2.8 世界貿易センター納め 300 m/min エレベータ 実測加速度曲線 Actual acceleration curve of 300 m/min elevator at the World Trade Center Bdg.

#### (a) 展望用運転

人はだれでも高い所に登って周囲を展望したいという本能を持っている。したがって超高層 ビルの最上階は展望用として最適であり、ことに展望台・レストラン・喫茶室等が設けられるのが普通である。世界貿易 センタービル の展望台は地上 152 m の高さにあり、先輩格の 霞ヶ関 ビルを抜いて現在都内では最も高く、晴れた日には遠く富士・赤城連山・伊豆・房総半島までが眺望できる。

展望階利用の客は大部分がビルの外来客で占められるから、ロビーと展望階を直通運転して 1日 12 時間ピストン輸送で乗客をさばいており、エレベータとしては非常に過酷な使用条件となっているが、この過酷な条件をも十分満足するよう特に設計に留意してある。なお展望階までの直通運転の時間はわずか 36 秒である。

展望運転に切りかえるにはかど内展望 スイッチ を ON にすればよく、これによって乗場に"展望"の表示が出るとともに、乗場呼は登録されなくなり、後述の オートアナウンス が動作するようになる。またかごには大形の スピードメータ が付いているので、展望階へ到着するまで高速感を リアル に楽しめ、乗客を退屈させない。

#### (b) 災害時管制運転

超高層  $\ddot{\ell}_{ll}$  の  $_{\text{LU}}\ddot{\ell}_{-9}$  は災害が発生したときに備えて,災害時の管制運転もきわめてきめ細かく配慮されている。 世界貿易  $_{\text{LU}}\ddot{\ell}_{-9}$  2台も常時は展望用運転であるが,災害時には次の管制運転に切りかえられるようになっている。

- (i) 消防専用運転
- (ii) 消防非常運転
- (iii) 地震時管制運転

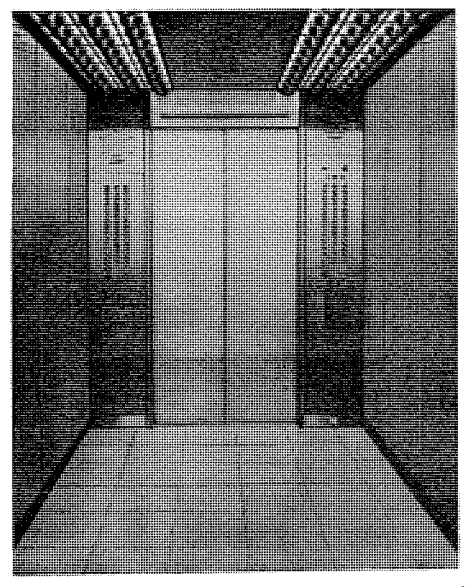


図 2.9 世界貿易 センター 納め 300 m/min エレベータ か ご室意匠 Design of 300 m/min elevator car at the World Trade Center Bdg.

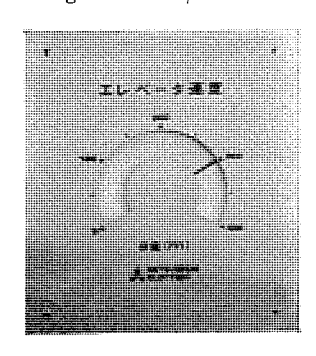


図 2.10 スピードメータ Speedmeter.

#### (iv) 停電時管制運転

これ等の特殊運転形式により エレベータサービス を各種非常事態に 合わせてできるだけ持続し、 ビル 居住者の保安・救出に万全をつくすように計画してある。

#### 2.2.3 かごの横揺れ

前述のようにかどの上下方向の特性とともに、かどの横揺れも乗りでとちに大きな影響を与える。

世界貿易 センタービル では、ガイドレール の加工精度を十分高くするとともに据付にも細心の注意を払っていった。 また ローラガイド にも前述の緩衝効果を大幅に向上した ローラガイド を採用してあるので、 横揺れに関してもほぼ所期の性能を満足することができた。

#### 2.2.4 意匠その他

図 2.9 は、世界貿易 センタービル に納入した 300 m/min エレベータのかご室の意匠である。 天井は、アクリルの グロープ に クローム めっきを施したざん (斬) 新な デザイン であり、大形の スピードメータ(図 2.10) とも相まって、落着いた中にも機能的なふんい気を出し好評である。またこの エレベータ には、案内用の オートアナウンス が設置されている。オートアナウンス は、 カートリッジタイプ の エンドレステープ に吹き込まれた メッセージ を エレベータ 走行中自動的に再生するものであり、 カートリッジタイプ であるため メッセージ の交換が非常に容易である。 また ノイズ に対しては細心の注意を払ってあるので、雑音環境は非常に悪いにもかかわらず、その クリアーサウンド はまさに Hi-Fi と呼ぶにふさわしい。さらに信頼性と寿命を考えて、磁気 テープ は データレコーダ用の Heavy duty 仕様のものを使用している。

#### 3. 世界最高速エレベータ実現上の諸問題

現在わが国で最高速の  $_{\text{IU}}$  ータ は, 目下据付中の 京王 プラザホテル 360 m/min であるが,  $_{\text{IU}}$  ータ は今後ますます高速・高揚程のもの が要求されるであろう。

技術的にはいくら高速になっても可能であるが、一方乗客が不快感を訴えない限界という点から、高速 エレベータと して は 一 応 540 m/min くらいが限界と考えられる。(実際に 540 m/min で実動しているのは シカゴの ジョンハンコックセンター のみである。鉱山の エレベータには、もっと速いものも散見されるが、これは乗る人が特定の職業の人に限られている)。

2項において高速・高性能 Iレベータ として具備していなければならぬ基本的条件について述べた。

この条件を満足するためには、高速になればなるほど電気・機械 システムを含めてますます高度の技術が要求される。

当社でも、この超高速 エレベータ 時代に対処するために 540 m/min までの エレベータシステム を鋭意整備中であるが、 以下 エレベータ が高速・高揚程になるにつれて派生してくる幾多の技術的問題点と、その解決法について述べる。

#### 3.1 高速・高行程エレベータが人体に及ぼす影響

乗用 エレベータ の速度・揚程の限界はどこにあるであろうか。

エレベータの速度の限界については一応 540 m/min と言われており、 事実 540 m/min をこえる エレベータは世界のどこにも実現されていない。

しかし エレベータの速度と昇降行程の高さが、果して乗客にどのような影響を与えるかについて詳細に調査した先例は見当らないようであり、 昇降行程が 400 m、 速度が 550 m/min クラスの エレベータ が 要求されたときに、乗客に与える影響を知っておく必要がある。

そとでわれわれは日本 テレビ 放送網株式会社 (NTV) と協同して, 立川航空自衛隊航空医学実験隊の瞬間減圧装置を利用させていただ き, この問題について種々模擬実験を行なった。

エレベータ が高速で高行程を一気に走行するとき、 気圧の変化が人体に及ぼす影響として次のようなものが考えられる。

- (a) 目づまり (閉塞感, 圧迫感)
- (b) 耳痛
- (c) 副鼻腔痛
- (b) 頭痛
- (e) 歯痛
- (f) 腹痛

シミュレーション は, 瞬間減圧装置の中に女子をも含めて数十人の被験者が入り,ちょうど エレベータ の上昇または下降による気圧変化と同じ割合で減圧装置内の気圧を変化させ,そのときの各人の体感 データ を分析した。

このときの エレベータ の速度曲線としては図 3.1 を採用した。加速期・減速期の加速度または減速度は  $0.9~\mathrm{m/s^2}$  とした。高度 (走行距離) は  $S_a+S_v+S_d$  となる。

このような方法で、高度・定格速度を種々変えて実験した結果を 表 3.1 に示す。

以上の結果,速度が550 m,昇降行程が400 mのエレベータでも,若干の耳づまりはあっても人体に障害を及ぼすほどの影響はないことがわかった。

この結果は、エレベータの将来を予想する非常に貴重な データとなる

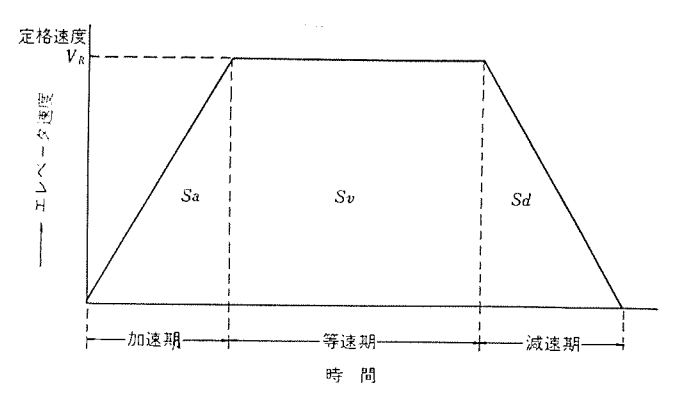


図 3.1 模擬実験に使用した エレベータ の速度曲線 Elevator speed curve used in case of the simulation test.

表 3.1 <sub>エレベータ</sub> の速度, 昇降行程が人体に及ぼす影響の 実験

Physical effect on elevator passengers tested through high speed and high rise simulation.

昇降行程 m	定格速度 m/min	耳づまり	耳 痛	その他				
	150	大多数の人が昇降中 に閉塞または圧迫さ れた感じがするが,	耳が正常な人は耳痛 を感じない。耳痛を 感じる場合もあるが、	まったく感じな				
400 UP DOWN	300	つばをのみこむこと で解消する。下降時 のほうが不快の度合	300, 550 m/min の 差はあまりない。					
	550	がやや大きい。300, 550 m/min の遊は あまりない。						
400 UP DOWN	550 30 分間連続	連続運転をしていると,慣れでほとんど平常の気分をとり 戻す。 気分が悪くなったりすることはない。						
1,500	150	全員が耳づまりを訴 えるが、つばをのみ こんだり、アメをな めると解消する。下 降のほうが不快の度 合が大きい。	約半数が下降時に耳 痛を訴えた。	耳痛に伴って頭 痛を訴える人も ある。				
DOWN	750	下降時のほうが、は るかに不快の度合が 大きく全員が、耳づ まりを訴え、つばを のみこんだりアメを なめても解消しない 場合が多い。	全員が下降時に耳痛 を訴えている。					

ものと思われる。

#### 3.2 DMSH セレクタシステム

一般に速度制御用の  $パ_{9-2}$  装置を含んだ tし09 は,必要な  $パ_{9-2}$  な精度を確保するために, $1/100 \sim 1/200$  程度にかごの動きを縮尺した移動台の動きを利用している。

このことは、昇降行程が増加するに従って セレクタ の高さも増大することを意味する。

また機械室の高さにはおのずと限度があり、機械室へ セレクタ を収納するために縮尺比を増すと位置精度が劣化するため、乗りごこち、 着床精度が悪くなるのでこれにも限界があり、高揚程 エレベータ では、 セレクタ の高さが重要な問題となる場合が出てくる。

当社ではこの点にかんがみ、従来の セレクタシステム のよさを踏襲しながら、高さを縮少するとともに幾多の メリット をもつ新しい セレクタ システム を開発し、現在試験塔で順調に組合わせ試験を実施している。

開発した新 セレクタ を DMSH 形 セレクタ と呼称するが、図 3.2 に

図 3.2 DMSH 形セレクタ動作原理図 Explanation of DMSH selector.

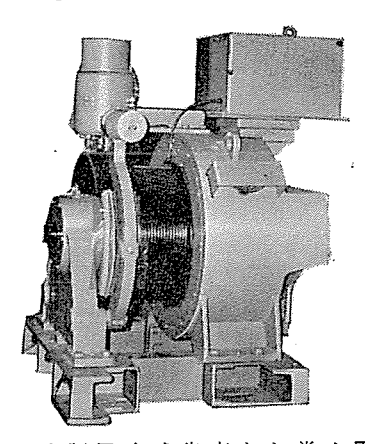


図 3.3 強制風冷式歯車なし巻上電動機 Forced cooling type gearless traction motor.

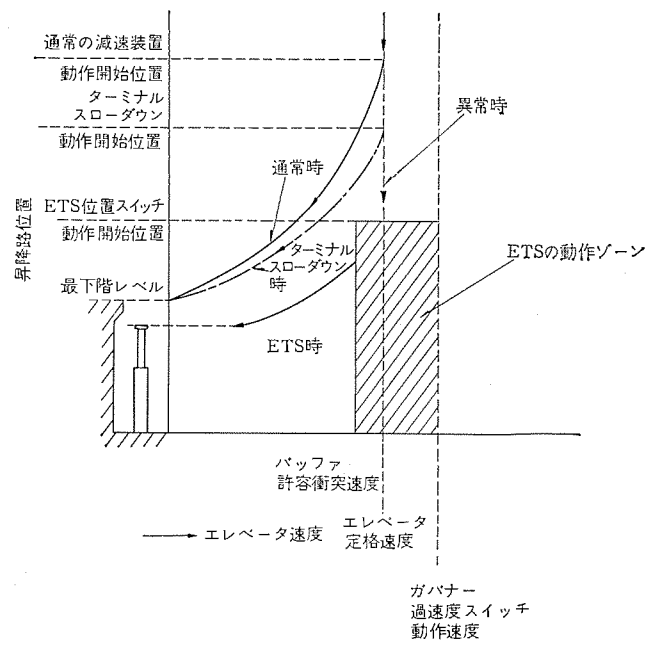


図 3.4 ETS 動作説明図 Explanation of ETS.

その原理図を示した。

簡単に説明すると、かごに同期して移動する同期移動台と、同期 移動台よりも前進しかつ呼びにこたえて停止する前進移動台は、それぞれ独立した別の レール に案内されている。

二つの移動台の相対変位は,差動歯車装置で演算され,第3の移動台すなわち差動移動台に現われる。

との結果, 次のような メリット が従来の セレクタシステム に追加された。

- (1) tupg の高さのほとんどすべてを昇降行程用として利用できる。(例:昇降行程 250 m の場合 tupg の高さは 2,750 mm)
- (2) 定格速度は セレクタ の高さを決める要因にならない。

DMSH 形 セレクタ では前進および同期移動台の長さに、 減速距離 の要素が含まれていない。

(3)  $_{\text{IU}}$  の定格速度の上昇に伴って、  $_{\text{H}}$  もこ しうる最小階 床間隔は一般に大きくなるが、前進移動台の停止決定回路に改良を 加えて、540  $_{\text{m}}$  加えて、540  $_{\text{m}}$  の超高速  $_{\text{IU}}$  でも 2,200  $_{\text{m}}$  の最小階床間 隔に就役し得る。

#### (4) 信頼度の向上

パターン 発生用の電気装置は、セレクタキャビネット に固定されているから、可動 ケーブル を使わず固定配線である。

なお、特許および実用新案は、 別の  $\nu-\nu$  に案内された移動台を 有する  $2\nu$ 09 ほか 8 件を出願中である。

#### 3.3 巻上電動機

巻上電動機の所要出力は,速度に比例して大きくなるため,超高速 エレベータ では,巻上電動機出力は 100 kW をこえるものもある。

しかし巻上電動機の回転数は、種々の機械的制約条件から速度に 比例して大きくすることはできないので、高速になればなるほど電 動機の外形が大きくなり、レイアウトが困難になってくる。

当社では、業界にさきがけてこの種の歯車なし巻上電動機を強制 通風することにより、従来に比べて大幅な寸法縮少に成功した(図 3.3)。

さらにこのことにより、界磁制御をやめることができ、前述の不 具合を完全に消去できる見通しである。

目下この新系列の回転機の標準化を 540 m/min まで展開中 である。

#### 3. 4 ETS (終端非常減速) 装置

高速  $_{\text{IU}}$ 、の安全装置は、従来と同等以上の性能のものが要求される。

本節では、一般に 300 m/min 以上のエレベータ に対して設置される ETS (終端非常減速) 装置について述べよう。

300 m/min 以上の高速 エレベータ で,その速度に見合う バッファー を使用したとすると,バッファーストローク は,速度の 2 乗に比例して長くしなければならぬから,長大なものとなり実際的でない。

ETS 装置は、安全性を少しもそこなわずに、エレベータ 速度に見合 うものより短い ストロークの バッファー を使用できるようにしたものである。(ETS 装置に関しては ASE コード に規程があり、当社ももちろんこれに準拠している)。

#### 図 3. 4 は ETS 装置の原理を示したものである。

上下両終端階には、通常の運転で使用される減速装置およびこれを バックアップ して通常の運転で使用される減速装置が、 故障してもかごを終端階に自動着床させることができる ターミナルスローダウン 装置を設けている。

万一これら二つの減速装置が, 両方故障した場合, かごは全然減 速しないで終端階に向って走行するわけだが、 バッファー が定格速度 に見合うものより短い ストローク のものを使用されていると、このま までは危険である。

ETS 装置は、通常の減速装置および ターミナルスローダウン 装置とは 全く独立に動作し、かごが終端階手前のある位置にきたときの速度 をチェックし、もしこれが予定速度以上であると直ちに非常制動をか け,かごが バッファー に衝突する前に,設置 バッファーの ストロークで決 まる最大衝突速度以下にかご速度を下げるようにしてあるので、短 いストロークのバッファーでも、安全度は少しも低下しない。

かごの速度を チェック するために、ガバナーに別に速度 スイッチ を設 け、さらに終端階手前の位置を検出するために昇降路に カム を配置 してある。

この位置 スイッチ と ガバナー の速度 スイッチ の組み合わせで決まる ET Sの動作 ゾーンは、図3.4 からもわかるように、通常の滅速または ターミナルスローダウンとは干渉しないよう設計されている。

先にも述べたごとく ETS 装置が動作したときは、 かごに非常制 動をかけて急停止させねばならないが、ETS 装置が動作するよう な非常事態は、速度制御装置の故障によって発生する場合も考えら れるので、当社では非常制動時には電動機回路を速度制御回路から いっさい切り放し、電動機に発電制動をかける一方、機械式 ブレーキ をも併用して、最も単純で確実に制動・停止させる堅固な構成とし ているから安全性が非常に高い。

この ETS 装置の採用によって, たとえば 300 m/min, 360 m/min エレベータのピット深さは、240 m/min エレベータ と同じにすることがで きる。

#### 3.5 高行程になることに伴う問題点

エレベータ が高行程になってくると、 従来とは異なった問題点が浮 び上がってくる。

#### 3.5.1 コンペンずれの増大

エレベータは、 かごが昇降行程のどこにいても巻上機にかかる不平 衡 トルク が変わらないように、コンペンセイテングロープ (バランスロープ) で補 償しているが、昇降行程が長くなると、ロープ、ケーブルの重量の誤 差(ずれ)が無視できなくなる。この誤差をコンペンずれと略称して いる。

#### 図3.5 において

今,かご側の巻上ロープの張力

 $T_1$  kg

おもり側の巻上ロープの張力

 $T_2$  kg

巻上げロープの単位長さの総重量  $w_1 \text{ kg/m}$ 

コンペンロープ の単位長さの総重量

 $w_2 \text{ kg/m}$ 

制御 ケーブル の単位長さの総重量

 $w_3$  kg/m

として、かごが h(m) 上昇したときの  $T_1$  の変化  $\Delta T_1$  kg

かごが h(m) 上昇したときの  $T_2$  の変化  $\Delta T_2$  kg

を求めると

$$\Delta T_1 = -hw_1 + hw_2 + \frac{1}{2}hw_3 + \dots$$
 (3.1)

$$\Delta T_2 = h w_1 - h w_2 - \dots$$
 (3.2)

式(3.2)-(3.1)

$$\Delta T_2 - \Delta T_1 = h \left( 2w_1 - 2w_2 - \frac{1}{2}w_3 \right) \cdots (3.3)$$

式(3.3)から左辺=0とおいてつり合い条件が決定されるわけで あるが

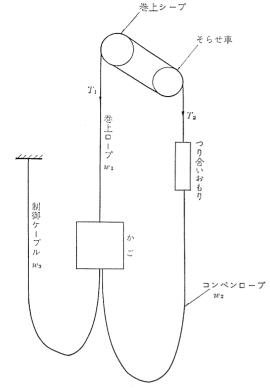


図 3.5 コッペッセーション説明図 Explanation of compensation.

$$2w_1 - 2w_2 - \frac{1}{2}w_3 = 0$$
 から  $w_2 = w_1 - \frac{1}{4}w_3$  ......(3.4)

がコンペンセーションの条件になる。

この条件が満足されると、 かご位置によって不平衡 トルク は変わ らない。

しかしながら一般には、ケーブル、コンペンロープともその種類は限ら れており、階段的に補償条件に近い組合わせを選択せねばならぬた め,安全に式 (3.4) の条件が満されることは少ないが,昇降行程が 100 m 以下の場合は,かご容量の2~3%以内に不平衡を押えるこ とができた。

しかし高行程になると、コンペンずれによる不平衡 トルクがいっそ う大きくなり、巻上電動機の容量増加や、コンペンずれによる起動 シ ョックが発生するという問題が出てきた。

したがって コンペンロープの補償作用を、さらに微調整できるように 組合わせを細かくするとともに、コンペンロープの調整のみでは救い切 れない不平衡トルクは、はかり装置を階床によって修正することで スタート 時の起動 ショック を皆無にする必要がある。

#### 3.5.2 ロープ系の固有振動数の低下

高行程になると、ロープ系の固有振動数が低下してくるとともに, 減衰も悪くなり、起動時のわずかな ショック または走行中の縦方向の ショック があると、これらが蓄積され非常に減衰の悪い自由振動とな り乗客に不快感を与える。

また電動機制御系の周波数範囲と、ロープ系の周波数範囲が近接し てくるので、速度および位置制御が非常にむずかしくなる。

これらの問題について, 当社では中央研究所において基礎的研究 を加え、この結果に基づいて、当社の シンクログライド DMR 方式 エレベ - タは、電気・機械両面にわたって十分対策を行なって、 これらを

解決しているが、高行程になるほどこの問題は深刻になり対策も重要となる。

### 3.5.3 非常時救出に対する配慮

超高速 エレベータ は、 その能力を最大限に発揮するために急行 ゾーン をもつものが多い。

すなわち ピル を幾つかの ゾーン に分け、 超高速 エレベータ には上層 ゾーン のみを サービス させる 方式がとられている。

そこで万一、エレベータがこの急行ゾーン内で故障により停止した場合、乗場が長い区間にわたってないだけに、乗客の救出方法が問題となる。

多数台が バック 運転される場合には、故障のかどに隣接する エレベータ が故障のかどが停止している点まで迎えに行き、 かご室に設けられた サイドイグジット (側部救出口)を開け、乗客を救い出す方法が採用される。

サイドイグジットの部分には、昇降路 カム、ケーブル 等は配置できないから、昇降路器具のレイアウトが非常にやっ介になる。

特に 3 台 バックの エレベータ 等では、 両側の エレベータ はかご室の片側にのみ サイドイグジット を設ければよいが、 真中の エレベータ はかご室の両側に サイドイグジット を設けなければならず、 レイアウト にくふうを要する。

#### 3.6 高速・高行程エレベータ用ケーブル

高速・高行程 エレベータ になると、かご速度が速くしかも懸垂長が長いため、制御 ケーブル の挙動が問題になる。

当社では剛性の高い ケーブル を開発し、高速・高行程 エレベータ に使用しているが、同時にかどに ケーブル を取付ける点を選んで、コンペンロープ との重量の モーメントバランス をとるとともに、 昇降路に ケーブルガード を設置し、ケーブル を保護している。

さらに ケーブル の周囲には、制御機器を近接して置かない等のてい ねいな配慮も必要である。

## 4. む す び

以上超高層  $\ddot{E}_{ll}$  用高速・高行程 IUC-9 として,具備すべき基本的条件とそれらに対してわれわれが行なってきた技術開発の成果,ならびに世界貿易  $tug-\ddot{E}_{ll}$  に納入したものの実績について述べてきた。

目下われわれは、540 m/min エレベータ を開発整備するための試験 塔試験を続けており、さらに器具をも含めた広範囲な試験を行なうために稲沢製作所に試験研究棟を建設中であり、高度の基礎研究、実験の充実強化のための新らしい諸計画を着々と進めている。

この一文によって、三菱 ェレベータ に対する認識をいっそう深めていただくことができれば幸いである。

最後に高行程 エレベータ の環境模擬実験にあたり、種々ご教示ご協力いただいた航空自衛隊、 航空医学実験隊および日本 テレビ 放送網株式会社の各位に深く謝意を表します。

## 参考文献

- (1) 高村ほか: 三菱 エレベータ の最近の技術的進歩, 三菱電機技報,39, No. 12 (昭 40)
- (2) 高村ほか: 三菱新 ASP-A 方式 シンクログライド 高速度 エレベータ, 三菱電機技報, 41, No. 7 (昭 42)
- (3) 大塚ほか: 高速 ギャレスエレベータ の速度制御, 日立評論, 47, No. 2(昭 40)
- (4) エレベータ エスカレータ, 三菱電機技報, 42, No. 1 (昭 43)
- (5) Von Adolf Weber: Drehzahlregler für Gleichstrom-Aufzugantriebe, Siemens-Zeitschrift, 41, Heft 7 (1967)
- (6) 藤田ほか: シミュレーション 手法による エレベータ 設備の計画, 三菱電機技報, 41, No. 7 (昭 42)

## アプローチ ディテクタ

吉山裕二\*·野田昌弘\*·丸橋 敞\*\*

## Approach Detectors

Central Research Laboratory

Yuji YOSHIYAMA • Masahiro NODA Inazawa Works Akira MARUBASHI

Described herein is an epochal apparatus to detect the movement of passengers about to take a ride in an elevator. It operates in the principle of the Doppler effect of ultrasonic waves. The detecting speed for the passengers is above 0.4 m/s.

The detection is made within an area of 2 m wide and 2 m deep in front of the elevator, functioning only with an object approaching to the elevator door. People going away from or just passing the front of the door are not picked up by the device. Any still objects do not concern it either. If this detector is used in combination with the conventional door operation control unit, the wasteful waiting time of the elevator is cut down to the minimum so as to improve the operation efficiency. When any person missed the riding approaches in haste, the closing door will open again to accommodate it. Thus the service of an unmanned elevator is greatly improved.

## 1. まえがき

従来の全自動 エレベータのとびら管制装置としては、光ビームによるもの、静電容量変化によるものがあったが、これらは エレベータの 出入口付近の乗客の振舞を調べて、とびらの開閉を制御するに止まっていた。したがって最も高度なとびら管制装置を備えた群管理全自動 エレベータでも、乗場から出入口に向って近寄って来る乗客には何も サービスの手は差しのべられず、人間疎外の感を与える場合があり、乗客と エレベータ という マンマシン システム としてはさらに改善が望まれていた。

これに対して、運転手は乗場の広い範囲にわたって エレベータ に乗り込もうとする乗客の意志を素早く察知して、とびら閉めを中止したり、とびらを開いたまま待機することができる。この機能を全自動 エレベータ に付与すれば、乗客と エレベータ との対話が緊密になり、人の心の機徹に触れる親切さをもつ エレベータ に一歩近づけることが 期待できる。

今回、とびらから離れたところにいる乗客の意志を判断する手段として、乗客の行動、すなわち接近しつつあるという状態を超音波を用いて捕える アプローチ ディテクタ を開発し、さらに、 丁寧にとびらの動きを管理することに成功したので、ここにその動作・構造・特長について紹介する。

## 2. 設定した要求仕様および問題点

この検知器を作成するにあたり配慮した要求仕様として、 ェレベータ 乗客の乗降の状況を考慮して次のように選定した。

- (1) 方向弁別: 『アに近づく人のみをは握し, 遠ざかる人, エレベータホール を通り抜ける人は検出しない。すなわち乗ろうとする人のみを対象とする。
- (2) 接近速度: 接近する人の速度範囲は 0.4 m/s~10 m/s とする。静止している人はは握しない。この速度範囲ではきわめてゆっくり近づく人も,走り込んでくる人もは握できる。
- (3) 検出範囲: 通常の エレベータホール の レイアウト (隣接 エレベータ, 対向 エレベータ の間隔等) から考え, その エレベータ への乗客として受付けるのに適当な範囲でなければならない。調査の結果, 乗場

の床で幅2m, 奥行2mの範囲とした。

(4) 乗客身長: 乗客身長は通常の大人から,歩行可能な幼児 に至るまで カバーする。

以上が主要性能であるが、さらに実用上の問題点として

- (5) 障害物の影響: 各階床の ェレベータホール にある 植木鉢等の 障害物の影響および対向 ェレベータ のある場合の相互の影響
- (6) 疑似動作物体の影響: たとえば降りる乗客の手の運動の 影響

さらに基本的でない付加的仕様として

- (7) 高度の信頼性: 長期間安定に動作し、誤動作のないこと
- (8) 周囲温度の影響: 周囲温度変化の影響を受けぬこと

また, 意匠構造上の問題として

(9) 意匠構造: アプローチディテクタが装着してあることを乗客に 知られない意匠構造とすること

等の諸点を配慮した。

## 3. 超音波応用の原理と伝ば(播)諸特性

#### 3.1 原理

前節に掲げた諸要求を満たすために、われわれは各種原理の中で 超音波の ドップラ 効果を採用した。

静止している超音波送信子から周波数  $f_s$  の連続超音波が,速度 v で移動する物体に対し  $\theta$  の傾斜角で放射するとき,物体に当たって反射する反射波を静止している受信子が受ける受信周波数  $f_R$  と,送信周波数  $f_s$  との差の周波数  $f_d$  は  $\mathring{\Gamma}_v$ プラ効果により次式で与えられる。

 $f_d = f_R \sim f_S = 2v f_S \sin \theta / C = 2v \sin \theta / \lambda_S \cdots (3.1)$ ここで C は音速、 $\lambda_S$  は送信波の波長である。

すなわち ドップラ 周波数  $f_a$  は速度 v に比例し、波長に反比例し、かつ放射傾斜角度の正弦に比例する。したがって ドップラ 周波数を検出することによって移動速度を知ることができ、傾斜角度が急になるほど ドップラ 周波数は低下する。

超音波送信周波数は空間伝ば時の減衰,指向性特性から選ばれる。 すなわち気体中の超音波の減衰率が周波数の2乗に比例するので, 伝ば距離を長くするためには減衰を少なくするように,できるだけ

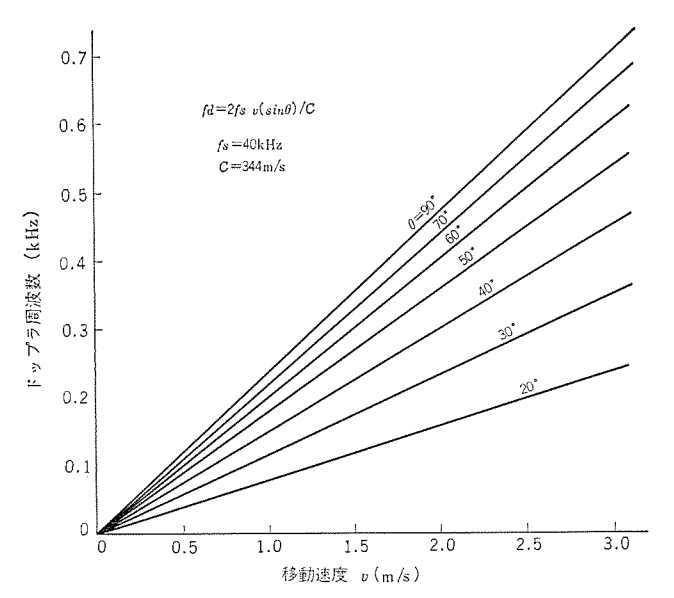


図 3.1 移動速度対 ドップラ 周波数 (パラメータ 放射角) Travelling speed vs. doppler frequency characteristics (incident angle parameter).

低い周波数を用いることが望ましい。

さらに、エレベータとびら前の検出範囲を広くするために指向性は できるだけ広いほうが望ましいが、指向性の鋭さは周波数に反比例 して広がるので、指向性の点からも周波数が低いほうが望ましい。

しかし超音波周波数が 20 kHz 以下の可聴周波数の領域に下れば、 乗客に騒音として感じられること、周囲から発生する音響雑音が原 因で誤動作を起こすことにもなる。また製造面からみると、超音波 素子の製造可能な共振周波数の下限が 35 kHz くらいである。

これらの理由から、rプローチディテクタ の送信周波 数 に は、 $40 \, \mathrm{kHz}$  を用いた。非常に接近した場所で高い感度を要求するような場合は、より高い周波数の選定が必要となろうが、 $2 \, \hat{\mathbf{x}}(2)$ 、(3)に示した 受信範囲と速度においては  $40 \, \mathrm{kHz}$  の周波数が適当と考えられる。

送信周波数  $f_s$  を 40 kHz にした場合の式 (3.1) の接近速度対  $\mathring{r}$  の 周波数の関係を,放射角度を  $\mathring{r}$  パラメータ にして図 3.1 に示す。

人が接近するか遠ざかるかは送信周波数  $f_s$  と反射波 の 周 波 数  $f_R$  との関係が,接近時には  $f_S < f_R$ ,遠ざかるときは  $f_S > f_R$ ,静止の場合は  $f_S = f_R$  となるので,この両周波数  $f_S$ , $f_R$ のいずれが高いかを判別することによって知ることができる。

## 3.2 送受信子の構造と指向性・受信面積・伝ば特性

超音波送信用振動子としては、チタン酸 バリウム 系の中でも比較的 温度特性のよい経年変化特性の安定化を図った円筒形構造のものを 用いた。円筒形振動子は軸方向面に指向性を有し、半径方向面は無 指向性であるが、アプローチディテクタとしては、一方向に指向性を持った広がりの音場を必要とするので、円すい形反射板により、軸方向 に音波を反射させる。図3.2 に送信子の構造を示す。

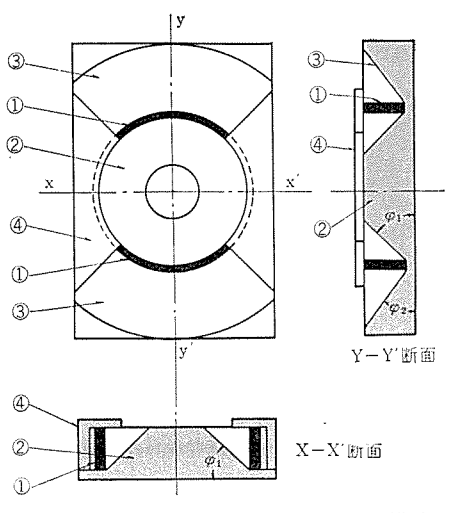
円筒形振動子から放射される音場は、振動子く(矩)形断面を円形 断面の環で近似すれば、次式で与えられる<sup>(2)</sup>。

$$P(r, \theta, t) = i\pi \rho C U_1(kd/S_0)^2 [e^{-i(\omega t - kr)}/kr]$$

$$\left[ \left( \sigma + \frac{1}{2} \right) R_0(\theta) - \frac{1}{3} (kd)^2 R_2(\theta) \right] \cdots (3.2)$$

ただし

$$R_0( heta) = J_0(kd\sin heta)$$
  $R_2( heta) = J_0(kd\sin heta) - (3\sin heta/kd)J_1(kd\sin heta)$   $\cdots (3.3)$  ここで座標系は トロイダル 座標系で, $d$  は環の半径, $S_0$  は環の半径



①円筒形振動子 ②内側反射板 ③外側反射板 ④振動子保持金具

図 3.2 送信子構造 Transmitter construction.

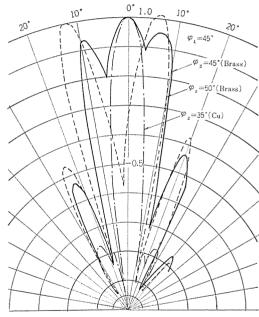


図 3.3 送信子指向性パターン例 Directivity pattern of a transmitter.

対環断面円半径との比,kd は周波数, $\sigma$  は材料のポアソン比, $\theta$  は音場上の点と原点間直線と座標軸とのなす角,r は原点と音場上の点との距離, $J_0$  は  $\zeta_0$  セル 関数である。

式 (3.2) から音場  $パ_{9-\upsilon}$  は振動子の径,断面,ポアンン比,周波数で異なり,また サイドローブの  $パ_{9-\upsilon}$  も異なるが,中心軸のまわりに放射状に音場  $パ_{9-\upsilon}$  が広がるので,図 3.2 の構造のように中心軸上の円すい形反射板で一方向に反射させる。反射板による軸方向指向性  $パ_{9-\upsilon}$  はまた鏡面に仕上げた反射板の内側傾斜角  $\rho_1$ ,外側傾斜角  $\rho_2$  で異なり反射板の材料でも異なる。図 3.3 に外側傾斜角を変えた場合の指向性  $パ_{9-\upsilon}$  の例を示す。受信面積を広くするためには,指向性ができるだけ広がりを持つほうが望ましいが,1 個の送信子では限界がある。

受信面積は、送信子の床面に対する放射角度によっても変化する。 図 3.4 に、送信子1個の場合の床面検出面積に及ぼす傾斜角度の 影響の例を示す。

このままでは、Iレベータ用 rプローチ ディテクタ が要求される床面検出面積 (2章(3)の範囲) に対して、送信子 1 個では不足であるので

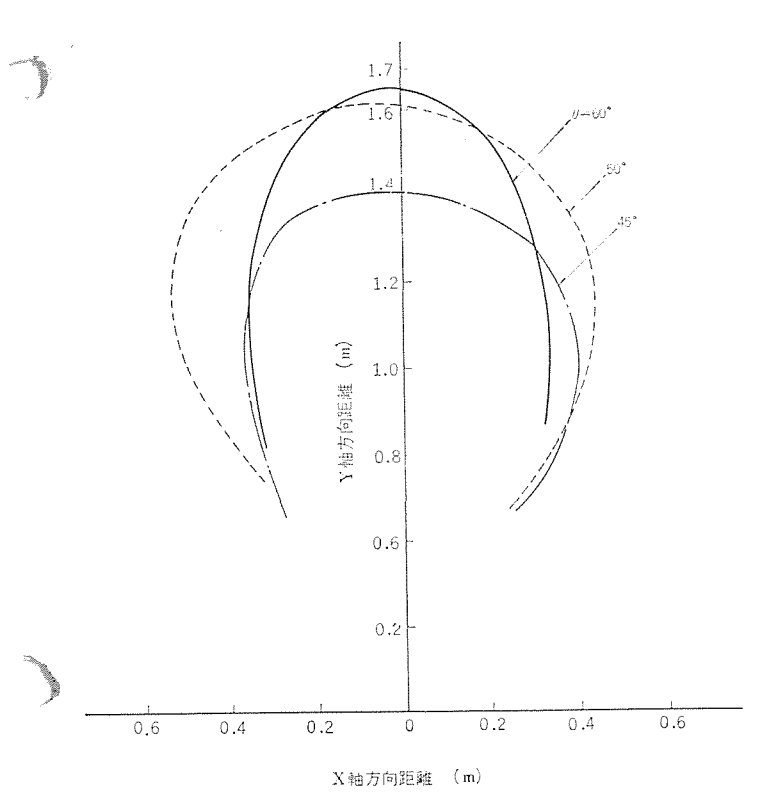


図 3.4 送信子1個の場合の受信面積におよぼす 傾斜角度の影響

Detecting area on the floor with a single transmitter. (incident angle parameter).

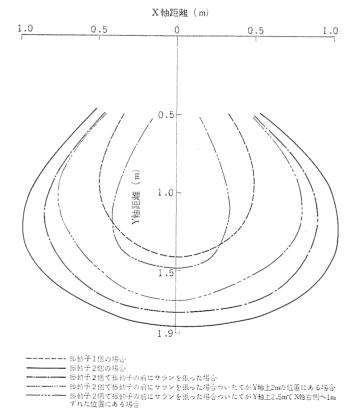


図 3.5 検出面積におよぼす種々の条件の影響 Detecting area on various condition.

2個使用し、その中間に受信子を設ける構造とした。 受信子は チタ ン酸 バリウム 磁器電わい (歪) 素子の超音波 マイクロフォン を使用した。 図 3.5 に、 送信子 2 個の場合と 1 個の場合の受信面積の比較を実線と点線で示す。

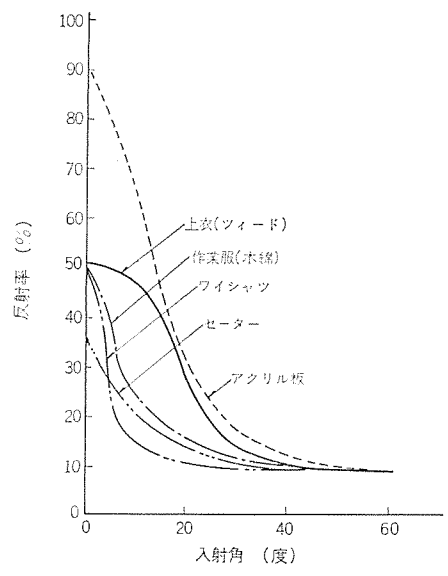


図 3.6 衣服材料の超音波反射効率 Acoustic reflectivity of various clothing materials (acoustic frequency at 40 kHz).

またアプローチ ディテクタ が、 設置されていることを乗客に知られないようにするための意匠設計上の要求と、振動子にじんあいが入ることを防止するために、振動子の前方に サラン を張った。 この影響が受信面積に及ぼす状況を図 3.5 に一点鎖線で示した。 床面 2 軸上で各5%程度の減少となる。

さらに乗客の待機する床面積の周辺に大きな植木ばち等の装飾品や,壁などの固定反射体がある場合を考え,高さ 1.5 m・幅 1 m のついたてを障害物 モデル として,種々の位置に置いて,床面検出,面積に及ぼす影響を調査した。その データ 例を図 3.5 に 2 点鎖線,3 点鎖線で示す。 この モデルでは、エレベータ とびら前方 3 m になれば、床面検出面積に影響を及ぼさない。

乗客の衣服の超音波反射効率は受信入力レベルに影響するので、各種衣服材料の反射効率を検討した。  $\vec{r}$ -9 例を図 3.6 に示す。 $\vec{r}$  プローチ  $\vec{r}$ - $\vec{$ 

以上の各種検討から、アプローチディテクタとしての機能は超音波の応用により十分実用化できることがわかった。 他の マイクロ 波や レーザ 等の方式では原理的に困難であったり、何よりも価格的に格段に高くなり、エレベータへの適用は現時点ではむずかしい。

超音波を利用する際の問題点の一つとして、周囲から発生する超音波ノイズの混入による誤動作の有無であるが、一般に乗用 エレベータ は比較的静粛なふんい気にあり、超音波発生や機械的な振動が少なく、そのうえ エレベータ が停止中に使用されるので、この点も問題ないといえる。

## 4. 回路構成

3章で述べた超音波空間伝ば諸特性を基礎に、2章にあげた アプローチ ディテクタ としての諸要求を満足する回路を検討した結果、長期間の連続運転中の誤動作を皆無とし、周囲温度変化の影響を受けず、電源投入と同時に使用できる動作状態となる回路方式を得た。

図 4.1 は本装置の回路方式の原理を説明する  $j_0$ の 図である。 送信部は送信用振動子の帰還電極と結合した自励発振器で, 2 個の送信用振動子を並列駆動し,それぞれから同相の周波数  $f_S$  の超

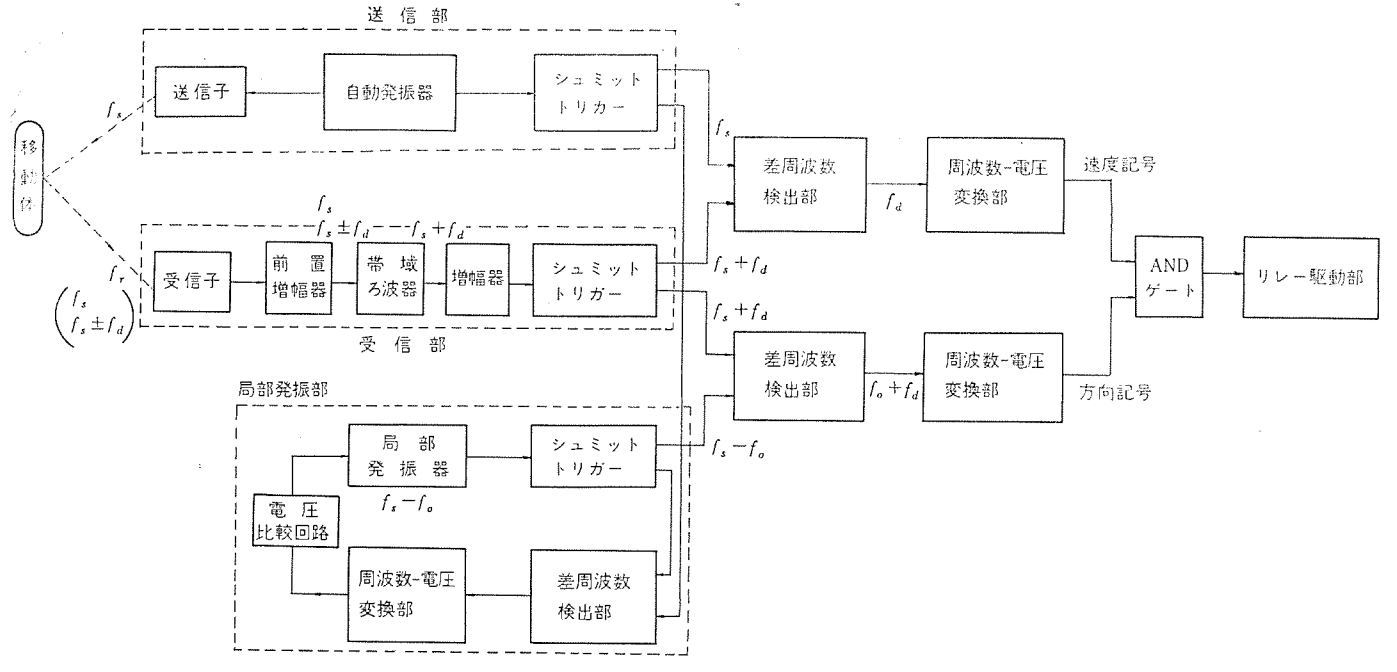


図 4.1 実際の回路方式 Practical circuit diagram of the approach detector.

音波を放射する。一方、自励発振器の出力信号は波形成形回路によりく形波となり、基準送信周波数信号として用いられる。

受信部は受信子・前置増幅器・帯域ろ波器・増幅器,その出力を成形する波形成形回路で構成されている。受信子の指向性は半減角がほぼ  $60^\circ$  であり, 1 個で要求床面検出面積をおおうことができる。床面検出面積内にいる人からの反射波は, 2 個の送信用振動子の間に配された受信子で受信,増幅される。反射波の中には床面などの固定部分から反射された送信周波数 fs の成分と,移動する人からの下っプラ 遷移を受けた周波数  $fa(=fs\pm fa)$  成分とがあるが,この中 fs 成分と,遠ざかる人によって作られる fs-fa 成分を帯域ろ波器で一部除去し,なるべく S/N 比を改善した後増幅・成形する。この帯域ろ波器の使用により ノイズ成分による増幅器の飽和が 解 放されるため送信 レベル があげられ, その結果床面検出面積はろ波器のない場合に比べ 40 %拡大できた。

速度検出を行なうには、基準送信周波数と受信周波数とで直接 ビートをとり、周波数・電圧変換部を通し、 $f_d(=|f_S-f_R|)$  に応じた速度信号出力電圧から、検出すべき接近速度に応じてしきい(閾)値電圧をこえた出力信号が得られるが、これは、接近する人による場合も遠ざかる人による場合も同一極性で現われ、方向弁別をすることはできない。

厳密に方向を弁別する、すなわち、 $fs+f_a$ と  $fs-f_a$ を弁別するために、 $^{1}$  へテロダイン 形式を用いて送信周波数の初期「リフトによる弁別精度の低下を防いだ。局部発振器としては送信周波数に近い発振周波数をもつ電圧制御形非安定マルチバイブレータ を用い、 基準送信周波数よりも 300~Hz 低い周波数で発振するように AFC をかける。受信部出力と同様、この発振器出力も波形成形される。この出力と受信部出力との f との発振器出力も波形成形される。この出力と受信部出力との f と作り、周波数・電圧変換部で f とが一致しているときには、局部発振器の f と受信周波数 f とが一致しているときには、局部発振器の f と受信周波数 f とがっる直流定電圧が得られる。人が近づけばこの直流電圧が上昇し、遠ざかれば逆に減少するので、あるしきい値で方向信号出力とするこ

とができる。

上に述べた速度信号出力とこの方向信号出力との AND 条件で出力 リレー を駆動し、 検出すべき速度以上で接近する移動体に対してのみ応動することができる。

#### 5. エレベータへの実装

図 5. 1 に アプローチ ディテクタ の送・受信部, 増幅器などを含む電源 部の外観を示す。

図のように、本検出器は送・受信部と増幅部とに分離でき、それぞれ小形にまとめられている。特に、送受信部は エレベータ のかごかまち部分に埋め込まれ、特殊な用途として乗場側三方わくに組み込むこともできる。

送受信部には超音波を空中に放射し、低しベルとなった反射波を減衰少なく受信するための開放部が必要だが、これは意匠面からの要求すなわちメカニックな感じに仕上げる、あるいは開放部を目立たないものにするなどとは相反するところが多い。しかし開放部をサランネットでおおい、かまち部分の仕上げをくふうした結果、スマートにまとめることができた。

また、かまち部分には、アプローチディテクタが乗客を検知して、乗客に対して エレベータ が待機状態に入ったことを表示する パイロット ランプが装着され、乗客をかごへ誘導する。

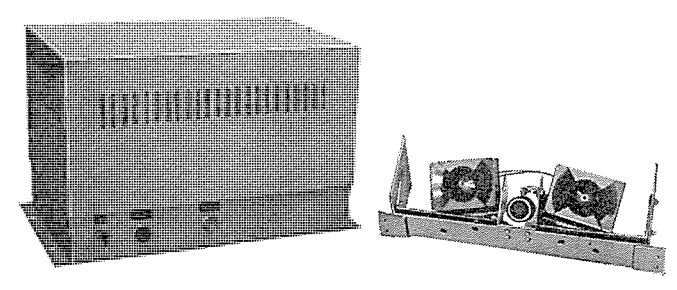


図 5.1 送・受信部と電源部 Transmitter-receiver unit and processor.

対向して配置された エレベータのかどの双方に アプローチ ディテクタ が装着され、たまたま双方のかどが同一階床に到着した場合、一方のかどから発せられた送信波が床面で反射し、他方のかどの受信子に達することがある。 このような場合は双方のかどの送信周波数に オフセットを設ける。

さらに、従来からとびら近傍の安全性、運転効率向上のために用意されている光電装置による エレクトロニック ドアマン、 静電容量変化を検出する エレクトロニック ドアセィフティ の双方、または一方を併用すれば、アプローチ ディテクタ の特長に相乗効果をもたらすことができる。

## 6. む す び

本装置は開発後試作品の室内連続動作試験を長期間にわたって実施し、さらに引続き実働 エレベータ に実装して機能を確認しており、引合工事への適用準備を完了した。

なお回路方式その他についての特許数件を, すでに国内および国 外へ申請している。 高層 ビルがますます多くなり、高速 エレベータ の要求が増大している昨今、この セッサ は待機時間を最小として運転効率を上げ、さらに乗客へのサービスを向上させるうえできわめて有効であると思われる。また、エレベータ に限らず、エスカレータ、トラベータ などの自動起動・自動停止などへの広範囲な利用が期待される。

今後あらゆる分野で自動化が進むに従って、「人間に近く、 さらに人間を乗越えて」を目指して、高度の判断機能を持つとの種の セッサの開発実用化が活発に進められるであろう。

#### 参考文献

- (1) 実吉ほか:超音波技術便覧,日刊工業新聞社
- (2) C. H. Sherman, N. G. Parke: A Constic Radiation from a Thin Torus, with Application to the Free-Flooding Ring Transducer, J. Aconst. Soc. Am., June (1965)
- (3) D. S. Dean: Towards an Air Sonar, Ultrasonics, Jan. (1968)

## 高速エレベータの縦振動の解析

松 倉 欣 孝\*・竹 下 光 夫\* 瀬原田 三郎\*\*・大 富 貞 行\*\*

## Longitudinal Vibration of High Speed Elevators

Central Research Laboratory Yoshitaka MATSUKURA • Mitsuo TAKESHITA
Inazawa Works Saburo SEHARADA • Sadayuki OTOMI

Recently elevators for skyscrapers tend to operate at high speed and on long travel. The hoisting ropes and the compensating ropes are so long that the effect of their vibration must be taken into consideration in designing the elevators. The problems are investigated in all its aspects to apply the results to building of vibration free units

In this paper are described, for one of the researches, natural frequencies of the longitudinal vibration in relation to the position of the cage. The effect of springs attached to the rope ends is also detailed, showing that the natural frequencies are sorted into two groupes: one derived from the rope action only as a spring—a concentrated parameter, while the other from the rope acting as a distributed parameter. In the latter case, the natural frequencies vary extremely with the position of the cage.

## 1. まえがき

近年、超高層 ビルが大都市に建設され、エレベータも高速化、高揚程化してきた。これらのエレベータでは、従来にくらベロープが長いため縦振動系の剛性が下り、固有振動数が低下する。その結果電気制御系周波数域と縦振動周波数域がオーバラップするようになり、電気制御系の設計にあたっては、エレベータ機械系の縦振動における固有振動数について十分な考慮を払う必要がある。また、これらのエレベータでは、固有振動数域が拡大するため、外乱加振力に対して感じやすくなり、かごが特定の位置を通過するとき不快な縦振動を発生することがある。

以上のような情勢から、エレベータ系の縦振動について、従来以上 に綿密な解析を行なう必要がある。ここでは、縦振動固有振動数の 一般的な性質を述べるとともに、各部の重量比、ばね剛性が全振動 系の固有振動数におよぼす影響について触れ、縦振動防止の方法に ついても述べる。

## 2. 基本的な考え方と解析計算

エレベータの縦振動問題を検討するときは、図2.1 に示すように質量とばねを連結した振動系としてとりあつかうのが便利である。振動系の質量としては、巻上機、そらせ車、かごわく、かご室、コンペンシーブ、つり合いおもりの各要素をあげることができる。 また、振動系のばねとしては、巻上機をささえる防振 ゴム、 かご室とかごわく間の防振 ゴム、 各質量間を結ぶロープ、およびロープ に直列にそう入されたシャックルばね、コンペンヒッチ ばねの要素がある。これらの要素で決まる固有振動数は、ロープの弾性体としての性質があらわれるために理論上無限個存在する。また、通常の機械では、固有振動数は常に一定であるのに対し、エレベータでは、かごの位置が移動するため、固有振動数は時間とともに変化する。この点がエレベータの縦振動の著しい特長である。

ここで、巻上機をささえる防振 ゴム のばね定数は、他の要素のばね定数に比べて極端に大きいことから巻上機は動かないものとし、 さらに巻上機とそらせ車の慣性 モーメント の影響を無視すると エレベー

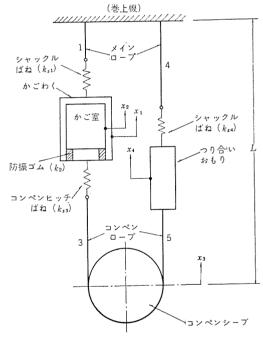


図 2.1 エレベータの 縦振動 系モデル Schema of elevator as a longitudinal vibratory system.

表 2.1 記号対照表 List of symbols.

C:ロープ内を伝搬する弾性波の速度

E: ロープのヤング率

k2:かご室下の防振ゴムばね定数

ks:シャックルばれ、コンペンヒッチばれのばね定数

L: エレベータの巻上機・コンペンシーブ間距離

l:各ロープの長さ

 $M_1,\ M_2,\ M_3,\ M_4$ :かごわく,かご室,コンペンシーブ,つり合いおもりの質量

 $Q_c,\ Q_m$  : コンペンローブ,メインロープの全断面積

 $x_1, x_2, x_3, x_4$ : かごわく, かご室, コンペンシーブ, つり合いおもりの変位量

μ: 無次元化したかご位置

Ω: 無次元化した固有振動数の角速度

ω: 固有振動数の角速度

タの縦振動系は、図2.1 に示すような4自由度振動系モデルであら わすことができる。

図2.1の振動系の運動方程式を表2.1に示す記号を用いて次に示す。

$$M_{1}\ddot{x}_{1} + k_{\alpha 1}^{*}x_{1} + k_{2}(x_{1} - x_{2}) + k_{\alpha 3}^{*}x_{1} - k_{\beta 3}^{*}x_{3} = F_{1}$$

$$M_{2}\ddot{x}_{2} + k_{2}(x_{2} - x_{1}) = F_{2}$$

$$M_{3}\ddot{x}_{3} - k_{\beta 3}^{*}x_{1} + k_{\gamma 3}^{*}x_{3} - k_{\beta 3}^{*}x_{4} + k_{\alpha 5}^{*}x_{4} + k_{\alpha 5}^{*}x_{3} = F_{3}$$

$$M_{4}\ddot{x}_{4} + k_{\alpha 4}^{*}x_{4} + k_{\alpha 5}^{*}x_{1} - k_{\beta 5}^{*}x_{3} = F_{4}$$

$$\cdots (2.1)$$

ここで多自由度弾性体である 0-ブ を、振動周波数の角速度  $\omega$  と 0-ブ の長さ l との関数である等価ばね  $K_{\alpha}$ 、 $K_{\beta}$  で評価し、さらに 0-ブ の端に 0-ブ になったばね (ばね定数 0-ズ 0-ブ になったばね (ばね定数 0-ブ 中の弾性波の 伝搬による影響を考慮したばね定数で、定常振動応答のみに着目する場合は、

$$k_{\alpha n}^{*} = \{K_{\alpha}k_{s}/(K_{\alpha} + k_{s})\}_{n}, k_{\beta n}^{*} = \{K_{\beta}k_{s}/(K_{\alpha} + k_{s})\}_{n}$$

$$k_{\gamma n}^{*} = \{(K_{\alpha}k_{s} + K_{\alpha}^{2} - K_{\beta}^{2})/(K_{\alpha} + k_{s})\}_{n}$$

$$K_{\alpha n} = Q_{n}E_{\omega} \cot(\omega l_{n}/C)/C,$$

$$K_{\beta n} = Q_{n}E_{\omega} \csc(\omega l_{n}/C)/C$$

$$(2. 2)$$

$$Q_1 = Q_4 = Q_m$$
 (メインロープ) 
$$Q_3 = Q_5 = Q_c$$
 (コンペンロープ) 
$$l_1 + l_4 = l_1 + l_3 = l_3 + l_5 = l_4 + l_5 = L$$
 .....(2. 3)

でなければならない。

式 (2.1) の  $F_1 \sim F_4$  はそれぞれかごわく,かご室,コンペンシーブ,つり合いおもりに働く強制外力である。 ここでは,図 2.1 の縦振動系の固有振動数のみについて述べるので,式 (2.1) の左辺が重要であり,この際は  $F_1 \sim E_4$  の値を問題にしない。

縦振動の固有振動数の角速度  $\omega$  は,式 (2.1) の左辺に微分演算子  $j\omega$  を持ちこみ,これを マトリックス 表示したのち,この行列式(特性 方程式)が零となる  $\omega$  を求めることによって知ることができる。

図 2.1 に示す系の縦振動固有振動数とかごの位置、およびかご わく等の質点系の重量との関連性を述べるにあたって、まずその基本的な性質がわかりやすいように、振動系をきわめて単純な系におき換えて検討する。つぎに、実際の エレベータ の振動系について固有振動数とかごの位置の関係を述べる。

## 2.1 単純な系の固有振動数

図 2. 1 の振動系で、シャックル ばね、コンペンヒッチ ばね、およびかど室とかごわく間の防振 ゴム を無視  $(k_{s1}=k_{s3}=k_{s4}=k_2=\infty)$  すると、振動系は 3 自由度振動系に簡単化される。この場合の特性方程式は式 (2.1) の左辺より次式であらわすことができる。

$$\left\{ -\Omega + \kappa_{1}(\rho \cot z_{1} + \cot z_{2}) \right\}$$

$$\left\{ -\Omega + \kappa_{2}(\cot z_{1} + \cot z_{2}) \right\}$$

$$\left\{ -\Omega + \kappa_{3}(\cot z_{1} + \rho \cot z_{2}) \right\}$$

$$-\kappa_{1}\kappa_{2} \operatorname{cosec}^{2}z_{2} \left\{ -\Omega + \kappa_{3}(\cot z_{1} + \cot z_{2}) \right\}$$

$$-\kappa_{2}\kappa_{3} \operatorname{cosec}^{2}z_{1} \left\{ -\Omega + \kappa_{1}(\rho \cot z_{1} + \cot z_{2}) \right\} = 0$$

$$\overrightarrow{\pi} \overrightarrow{\pi} \stackrel{\text{Te}}{\sim} \bigcup$$

$$\begin{split} & \omega L/C = \Omega \,, \; Q_2 E L/M_1 C^2 = \kappa_1 \\ & Q_2 E L/M_2 C^2 = \kappa_2 , \; Q_2 E L/M_3 C^2 = \kappa_3 \\ & Q_1/Q_2 = \rho , \; \omega l_1/C = z_1 , \; \omega l_2/C = z_2 \end{split}$$

式(2.4)が固有振動数を計算する式である。

さらに単純化するために式 (2.4) で、かご  $(M_1+M_2)$  とつり合いおもりの質量が等しく、メインロープと コンペンロープとの断面積が等しいものと仮定すると、この場合には、 図 2.1 の振動系はかご側とつり合いおもり側とで左右対称になる。これらの二つの仮定をもうけても、かごの位置と振動系の固有振動数との相対的な分布関係は基本的には変わらないものと考えられる。  $M_1+M_2=M_3$ 、 $Q_m=Q_c$ である、すなわち  $\kappa_1=\kappa_3=\kappa_0$ 、 $\rho=1$  で、これを式 (2.4) に代入し、さらに、

$$\left. \begin{array}{l} l_1/L = 1/2 + \mu, \\ \text{したがって} \\ l_2/L = 1/2 - \mu, \ z_1 = \Omega\left(1/2 + \mu\right) \\ z_2 = \Omega\left(1/2 - \mu\right) \end{array} \right\} \dots (2.5)$$

で定義される μ について整理して次式を得る。

$$\mu = \mu_1 = \cos^{-1} \{ \cos \Omega + 2\kappa_0 (\sin \Omega) / \Omega \} / 2\Omega$$

$$\mu = \mu_2 = \cos^{-1} \{ (1 - 4\kappa_0 \kappa_2 / \Omega^2) \cos \Omega$$

$$+ 2(\kappa_0 + \kappa_2) (\sin \Omega) / \Omega \} / 2\Omega$$

$$\cdots (2.6)$$

式 (2.5) で定義した  $\mu$  はかごの位置を示す パラメータ であり、かご が最上階、中間階、最下階にあるときは、 $\mu$  はこれに応じて -0.5, 0, 0.5 となる。式 (2.6) は、かごの位置と無次元化した固有振動数 との関係を示す式である。

一例として、 $\kappa_0$ =0.08、 $\kappa_2$ =0.3 のときの計算結果を図 2.2 に示す。縦軸は無次元化した固有振動数、横軸は  $\pi_1$ 0.7-9 のかごの位置である。以下の説明に便利なように、下側の 3 本の曲線群を  $\pi_1$ 1 形 モード群、上部右上りの曲線群を下から順に  $\pi_1$ 1 、 $\pi_2$ 1 、 $\pi_3$ 2 、  $\pi_4$ 3 、  $\pi_4$ 4 、  $\pi_5$ 4 、  $\pi_5$ 5 、  $\pi_6$ 6 、  $\pi_6$ 7 、  $\pi_6$ 8 、  $\pi_6$ 9 、  $\pi_6$ 

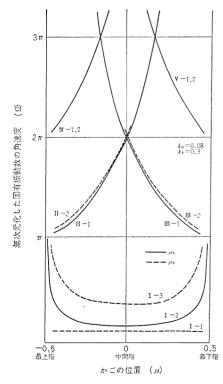


図 2.2 対称形 エレベータ の固有振動数とかで位置の関係 Natural frequencies vs. position of cage (Symmetric elevator).

数番)形  $\mathbf{E} = \mathbf{F}$  群と名づける。  $\mathbf{I}$  形  $\mathbf{E} = \mathbf{F}$  群は,  $\mathbf{I} = 1$  , 2 , 3 の 3 本 の曲線からなり,  $\mathbf{II}$  形以上の  $\mathbf{E} = \mathbf{F}$  群は  $\mathbf{II} = 1$  , 2 などのようにそれぞれ 2 本の曲線からなっている。

図 2.2 の計算例では, $\Omega$  が  $2\pi$  以上になると 2 本の曲線はほとんど一致する。実線の曲線は,式 (2.6) の第 1 式で,破線の曲線は第 2 式で計算した値である。

以上,左右対称の  $IV_{-9}$  振動系について論じたが,G-Jの断面積,かごとつり合いおもりの重量が,完全に等しくないとき,すなわち一般の  $IV_{-9}$  では,かごの位置と固有振動数との関係は式 (2.6) でなく式 (2.4) を直接解かなければならない。式 (2.4) の解は,図 2.2 に示すような左右対称の単純な形にならない。 このような非対称性は, $\rho$ 1、 $I_1$  =  $I_3$  で特長づけることができ,たとえば $\rho$  = 0.8  $\sim$  1.2,  $K_1/K_3$  = 0.8  $\sim$  1.2 の範囲の非対称性に対し,固有振動数は対称な場合(図 2.2)にくらべ,約 20 %程度変化するとの結果をえている(1)。

#### 2.2 実際のエレベータの固有振動数

図 2.3 は、かどの位置と固有振動数との分布状況を示す典形的な例で、当社試験塔ェレベータについての計算値である。無負荷(実

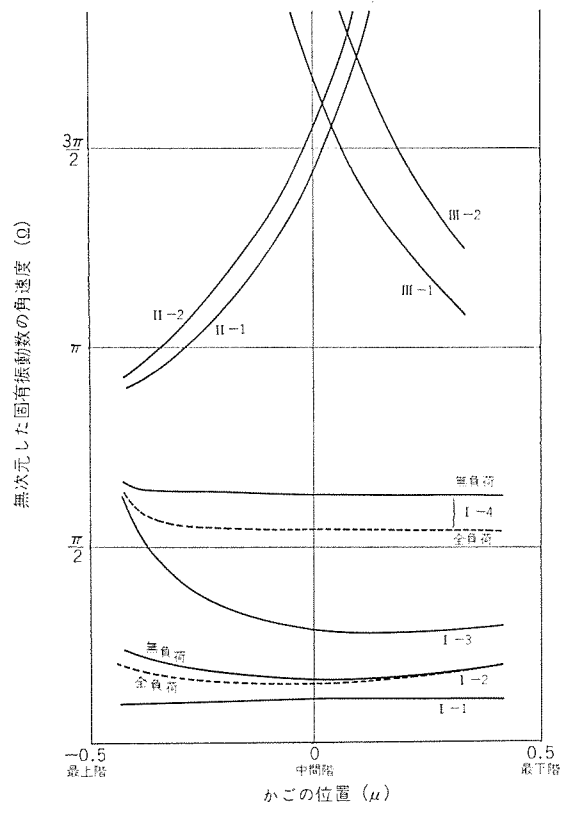


図 2.3 当社試験塔 エレベータ の固有振動数とかで位置の関係 Natural frequencies vs. position of cage (Testing tower for elevator at Inazawa works).

線)および全負荷(破線)時の固有振動数を比較すると, I-2,  $4 \mathcal{W}$  モード 以外の固有振動数は負荷に関係なくほとんど一致 した。 図 2.4 は昇降路長がきわめて長い場合(約  $170 \,\mathrm{m}$ )の例で,世界貿易  $t \cup 3 - t \cup l$  (以下 W. T. C. と略す)向け  $t \cup 1 - 2$  の全負荷時の計算値である。

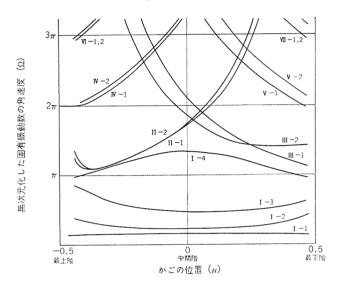


図 2.4 世界貿易 センタービル (W. T. C.) 向け エレベータ の 固有振動数とかご位置の関係(全負荷) Natural frequencies vs. position of cage (W. T. C. Building).

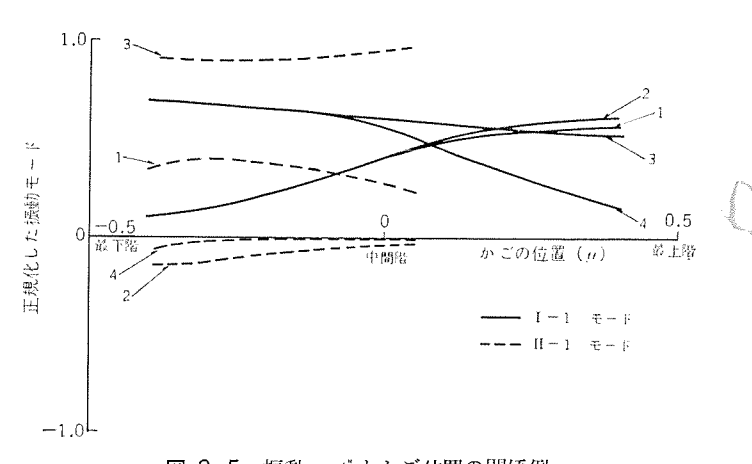


図 2.5 振動モードとかご位置の関係例 (当社試験塔 エレベータ, 無負荷) Examples of eigen vector vs. position of cage (Testing tower for elevator at Inazawa works).

#### 3. 考察

2章の解析計算に2,3検討を加えてれを以下に述べる。

## 3.1 単純な系の固有振動数

図 2.2 に  $_{\text{IU}}$  に  $_{\text{IU}}$  の振動系が, かご側とつり合いおもり側とで 対称な場合のかご位置に対する固有振動数の関係を示した。振動系 が対称であることから,図 2.1 の固有振動数を示す曲線は, かご の位置が中間階の軸  $(\mu=0)$  に対しまったく対称になっている。図

から明らかなように、固有振動数は二つの  $j_{N-1}$ に大別できる。一つは、 $\Omega$ がπよりも小さい範囲にある  $I-1\sim I-3$  形 t-1 で、 これは n-1 を簡単なばね (集中定数系) とみなしたときの固有振動数である。他方は、 $\Omega$ がπよりも大きい範囲にある II、III 形以上の t-1 で、これは n-1 を完全な弾性体 (分布定数系) とみなしたときの固有振動数である。

ロープを簡単なばねとしたときの固有振動数のうち,I-1 形モードの固有振動数は D-1 の全長( $l_1+l_3=l_1+l_5=L$ )によっておもに支配されるため,かごの位置によってほとんど変化しない。これに比べて,I-2,3 形 E-1 の固有振動数は,短かいほうの D-1 , すなわちかごが上階にあるときは D-1 と E-1 もの支配をうけるので両端で急に高くなっている。 E-1 群のうち,最も低い固有振動数は,式(E-1 (E-1) で E-1 の E-1 に E-1 に E-1 に E-1 の E-1 に E-1

$$\Omega = \sqrt{2QEL/C^2(M_1 + M_2)} \cdots (3.1)$$

であらわすことができる。図 2.2 で明らかなように、 $I \mathcal{H} = -F \mathcal{H}$  は最も固有振動数の低い  $J_{1}$  であるから、式 (3.1) でえた値は、 $I_{1}$  であるから、式 (3.1) でえた値は、 $I_{1}$  であるがについての最も低い固有振動数である。一方、 $I_{2}$  で完全な弾性体とみなしたときの固有振動数は、いわゆるばねのサージングの周波数に相当し、各  $I_{2}$  一間の間隔は $I_{2}$  で無限に存在する。この値は  $I_{2}$  の中を伝搬する弾性波の速度によって決まるため、 $I_{2}$  の長さに反比例し、 $I_{2}$  を任意の自然数として

$$\Omega = i\pi/(0.5 \pm \mu) \cdots (3.2)$$

であらわすことができる。  $\Pi$  ,  $\|V\|$  (偶数番) 形 t=1 群の固有振動数はおもに t=13 , t=14 によって, t=17 形の固有振動数は t=11 , t=17 の長さによって決まるものと推定できる。

以上で、きわめて単純化した系の縦振動固有振動数分布について 明らかにしたが、図 2.2 のパターンおよび上記の特長は、より複雑 な系に対しても十分にあてはまるものと考えられる。

#### 3.2 実際のエレベータの固有振動数

実際のエレベータは、2.1節で述べた簡単な対称形の振動系と構成上基本的には同様であるが、これと異なる点を考慮して、ここでは質量、ばね、ロープの非対称性が固有振動数におよぼす影響、および実機における各定数の固有振動数におよぼす効果について考察する。

## 3.2.1 非対称の影響

つぎに高次のⅡ, Ⅲ形 モードについて調べると, 2.1 節で述べた

またIII形 t-r においても、III形 t-r と同じことが言えるが、通常の t-r では、つり合いおもりの下に t-r ではねをそう入しないから t-r による固有振動数は高くなり、t-r の固有振動数は、おもに t-r の固有振動数は、おもに t-r の固有振動数は、おもに t-r の

### 3.2.2 負荷状態の影響

エレベータの無負荷と全負荷時の比較を、 図 2.3 の当社試験塔 エレベータ について述べる。 I-4 形 t-1 の固有振動数は、負荷すなわちかご室の質量の平方根に比例して低くなる。 I-2 形 t-1 の固有振動数は、 t-1 の位置  $\mu=-0.4$  の範囲で無負荷の場合の性 うが 10 %ほど高い。しかし他の形の t-1 の固有振動数においては、まったく負荷の影響は認められない。

## 3.2.3 ばね定数の影響

ここでは計算例を省略したが,各ばね定数を変化させた場合の各固有振動数への影響について,当社試験塔  $_{\text{L}}$  の無負荷の場合を基準にして述べる。まず防振  $_{\text{L}}$  公  $_{\text{L}}$  の影響を受けるのは,おもに  $_{\text{L}}$   $_{\text{L$ 

ロープに接続されている シャックル ばね, コンペンヒッチ ばねが 固有振動数におよぼす影響については, 2 本の シャックル ばねのばね定数を数倍にすると, おもに II-2, III-1 形 t=-1 の固有振動数に影響し両者とも同程度変化する。 I-2 形 t=-1 の固有振動数は,かごの位置  $\mu=\pm 0.4$  付近でばね定数の変化比の  $5\sim 10$  %変化する。ところが他の t=-1 はほとんど変化しない。

つぎに、コンペンヒッチ ばねを数倍にした場合におもに変化するのは、 $\Pi-1$  形  $\epsilon$ -ドの固有振動数で、かごの位置の全域にわたりほぼ同じ割合で変化する。 I-3 形  $\epsilon$ -ドは、かごの位置  $\mu$ =0.3~0.4 の範囲でばね定数の変化比の 8 ~12 %高くなる。 他の  $\epsilon$ -ドはほとんど変化しない。

以上まとめると防振 コム は、I-4 形 t-1, t-1 形 t-1 の固有振動数を変化させるのに有効であることがわかる。

### 3.3 各部の振幅比率

すべての固有振動数における各質点の振動  $\mathbf{t} = \mathbf{r}$  の計算を行 なったが、ここではその代表例として図  $\mathbf{2}$  .  $\mathbf{5}$  の  $\mathbf{I} = \mathbf{1}$  形と  $\mathbf{III} = \mathbf{1}$  形  $\mathbf{t} = \mathbf{r}$  についてのみ述べる。  $\mathbf{I} = \mathbf{1}$  形は最低次の  $\mathbf{t} = \mathbf{r}$  で、全体が同位相で振動することがわかる。また、かごの位置  $\mu$  によって、質点  $\mathbf{1}$  、  $\mathbf{2}$  と  $\mathbf{4}$  すなわちかごわく、 かご室とつり合いおもりの  $\mathbf{t} = \mathbf{r}$  が変化している。すなわち  $\mu = -0.5$  の最上階付近では、かご室とかごわくが固定端の近くにあるために振幅は小さく、かごの位置が最下階にい

くにしたがい自由端の境界に近ずくために振幅が増加して,最下階の $\mu$ =0.5の近くでは, $12\sqrt{2}2-7$ とほぼ同じ振幅で振動する。これに対してつり合いおもりの質点 4 は,かごわくと逆に最下階から最上階へ動くので,質点 1 ,2 と逆にかごの位置が最上階から最下階にいくにしたがって,その振幅は減少している。しかし  $12\sqrt{2}22-7$ の質点 3 は,常に最下階にあるために  $12\sqrt{2}-9$ の位置に関係なくほぼ一定の振幅になる。11-1の 11-10 においては  $12\sqrt{2}22-7$ 0 がおもに振動し,かごわく,かご室およびつり合いおもりの振幅は小さく,かご室の振動はほとんど問題にならないことがわかる。

## 3.4 縦振動の防止

3.3 節までに、エレベータの縦振動固有振動数とその性質を明らかにした。一般に通常の機械が種々の固有振動を持っていることは当然であり、固有振動数が存在すること自体問題でなく、外部からの衝撃力、または固有振動数に等しい周波数の外部強制加振力が働いたときのみ、縦振動の問題はクローズアップされる。

実際の エレベータ の設計, 製作にあたって, 種々の接触部, しゅう (摺)動部などに注意をはらい衝撃的な加振力が働かないようにして いる。また、巻上電動機のトルクリップルもきわめて小さくなるように 別途対策を行なっているので、定常的な縦振動加振力も少なく、し たがって前述の固有振動が問題となるほど大きくなることはない。 しかし例外的に,数個の縦振動の固有振動数とかごまわりの構成部 材の弾性体としての固有振動数が一致した場合など、振動特性のせ ん(尖)鋭度がとくに鋭くなって振動が大きく、乗りここちを悪くす る可能性がある。このような現象を避けるために、2章の計算によ って,たとえば図2.3のⅡ-1とⅢ-1形モードの固有振動数が交差 する点を知ったのち、かごまわりの構成部材の固有振動数が、これ に一致しないよう各部寸法諸元を検討している。さらに万一の場合 を考え、かご室の壁板に防振、防音材を塗布し、コンペンヒッチには適 当なばねを使用するなどして、振動が小さくなるよう種々のくふう をこらして、かごが特定の位置を通過するときに不快な振動を発生 するととのないよう設計している。

また、2章の計算で固有振動数があらかじめ明らかになると、電気制御系の回路定数の設定にあたって、縦振動系と電気制御系との相互干渉が生じないように回路定数を選定し、大きな振動が生じないよう留意している。

さらに、図2.5の振動モードの計算により、ある固有振動数で最もよく振動する個所が明らかになるので効率よくダンパ(振動吸振器)を配置することができる。エレベータの縦振動は、かごが走行しているときに発生するが、ある特定の加振力の周波数と縦振動の固有振動数とが一致している時間は非常に短かい。したがって、この共振の最大振幅は、かごを共振の位置にとめておく場合の静的な振動特性の最大振幅にくらべはるかに小さくなることが知られている(2)。この意味で、ダンパの必要減衰力を評価するときに、必要以上に大きなダンパを設置しないよう注意をはらわなければならない。

## 4. む す び

エレベータのかどの位置と縦振動の固有振動数との関係について, まず単純な振動系についてその基本的な性質を述べ,つぎに実際の エレベータの例について検討した。その結果

- (1) 固有振動数は、p-3が集中定数ばねとしてきく場合と、分布定数ばねとしてきく場合、p-3が集中定数ばねとしてきく場合、p-3を表ができる。
- (2) 任意の固有振動数を支配するばねと質量とが明らかになったので、ばね定数や各要素の重量を適当に選ぶことによって固有振動数をある範囲内で移動させることができる。
- (3) 固有振動数における各質点の振幅比率が計算できる。 ことなどが明らかになった。

ここでは、縦振動の固有振動数の分布状態のみについて詳述したが、乗りここちに関連する縦振動の問題は、他に振動伝達特性などの多くの現象を含み、これらについてもすでに有益な知見をえた。われわれは、以上述べた計算技法やその結果を用いて高速高揚程エレベータの各工事を縦振動に関して十分確認したうえで生産している。さらに世界でも最高速に属する 540 m/min の超高速、超高揚程エレベータについても研究を進め、この面の技術的解明を完了し、いつでも需要に応ずることができるようになった。

## 参考文献

- (1) 平野,松倉,竹下:機械学会関西支部第221回講演会 講演論文集,48,(昭43)
- (2) 平野, 松倉, 木曽:三菱電機技報, 42, 1,511 (昭 43)

## 三菱 ASP-A MARK II 全自動群管理エレベータ

板垣 晃平•石 嶋 進

## Mitsubishi ASP-A Mark II Group Supervisory System of Elevators

Inazawa Works Kôhei ITAGAKI • Susumu ISHIJIMA

The Mitsubishi Auto Select-o-Pattern Auto system (ASP-A) was introduced to the market in 1957 as the first full-automatic group controlled elevator in Japan. Since then its excellent performance is highly appreciated in the market and more than 500 units have been built and delivered incluing the demands both domestic and abroad. During these years' period, thorough studies have been made on the operating condition of the actual elevators installed in a good number of buildings, the response of elevators to various traffic demands and fluctuation by simulation and also the customers' requirements. Based on the results fundamental improvements have been worked out on the ASP-A system; an entirely new full automatic group supervisory system of elevators's, ASP-A Mark II, has been developed.

## 1. まえがき

従来の三菱全自動群管理エレベータ、オートセレクトパタンオート(ASP-A)は、わが国で最初の本格的全自動群管理方式として昭和 32 年に市場に登場した。以来、ASP-A 方式の持つ大きな輸送能力、高いサービス水準など、その性能の優秀さは、国内はもとより東南アジア・香港・南米その他広く海外においても高く評価され、すでに国内外をあわせて約500台以上が納入され、いずれも江湖の好評を得ている。

この間,多くのビルにおいて エレベータの実動状況を調査するとともに,種々の交通需要に対して, エレベータ 群をどのように運転させれば最も良質な サービスを提供できるか,すなわち, エレベータ 群の最良の コントロール 方法を, 電子計算機を利用した シミュレーション により探究するなど, エレベータ 群管理の問題に積極的に取り組んできた。

そして、前述の実態調査と シミュレーション の結果、ならびに エレベータ 管理者や利用者の要望を反映 させて、従来から好評 であった ASP-A 方式に大幅かつ基本的な改良・改善を加え、 新しい全自動 管理群 エレベータ として、 ASP-A MARK II 方式を開発したのでその全容を紹介する。

## 2. 群管理方式発達の経過

エレベータの群管理の目的は、複数のエレベータ群に最大の輸送力と最良のサービスを発揮させることにある。この目的そのものは、群管理方式が生まれた初期の時代から変わっていないが、これを達成するための手段は、著しく進歩してきている。特に最近では情報処理技術の発達に伴い、その技術を広範囲にとり入れた群管理手法の発達は、目ざましいものがある。変動する交通需要を自動的に分析して、交通需要に最も適したようにエレベータ群を運転管理する全自動群管理方式を、ビルの経済効率の上から、今や超高層ビルではもちろんのこと、比較的大規模な事務所ビルにおいても、採用することが当然視されるまでに常識化し普及してきている。

そこで、はじめに エレベータ の群管理方式が、どのような経過を経て発達してきたかを大ざっぱに振り返ってみよう。

エレベータ 発達の初期の時代においては、 技術的努力はもっぱら各個の エレベータ の駆動方式・制御方式を改良し速度を速くして能率を

高め、乗りごこちを良くし、また運転手が運転しやすいように運転操作方法を改善することにあった。当時は建物も小さく、かつ居住密度も低かったので、1台の エレベータ で足りない場合には単に台数を増すだけですませていた。

ところが、このようにして2台以上のエレベータが併設され、エレベータがいわゆるだんご運転をし、その結果乗客の待時間が長くなり輸送力が低下し、結局建物の経済効率を低下させることが現実に生じてくると、各個のエレベータがいかに優秀であってもそれだけでは不十分であり、複数のエレベータをグループとして管理する必要性が痛感され、エレベータ群の管理のし方が真剣に検討されるようになった。ここに、複数のエレベータを相互に横の関連をもたせながら、グループとして総合効率の高い合理的な運転を行なう群管理の思想が芽生えてくるのである。

最初に考えられたのが手動出発信号方式である。これは,運転手が勝手に エレベータ の運転を行なうのを避けるため出発階に出発管理者 (スタータ) をおき, スタータ が交通状況を判断して適切な出発の合図を運転手に与えるもので,運転手は スタータ の指令により エレベータを運転させた。

ついで、このような スタータ の負担をなくするために、一定の時間間隔で次々に出発信号を エレベータ に与える自動出発信号方式が開発された。

しかし、当時の自動出発信号方式は出発順序が1号機、2号機、3号機というように号機順に行なわれる循環式であったために、たとえば、2号機が1号機を追越して先に出発階に戻っても、後から到着する1号機を出発させてから2号機を出発させることになるので不具合であった。この循環式は間もなく改良されて、一定の出発順序ではなく出発階への到着順に出発指令を与える非循環式となった。自動出発信号方式の出現により、エレベータのだんご運転はある程度解消されるようになり、交通需要の変動が少ないビルにおける乗客の待時間のばらつきはやや減少した。

このように、 エレベータ の管理方式は次第に高度化されてきたが、この段階ではまだ不十分な点が多かった。その理由は、交通需要が 1日のうちでも大きく変動するにもかかわらず、 エレベータ は常に同じような運転のし方をとっていたので、 す な わち単一の運転 モードであったので、特に交通が混雑する ビル や交通変動の多い ビル での

サービス はさほど改善されなかったことにある。たとえば、日中でも交通変動の多い ビル では エレベータ の運行が乱れ効率良い運転はできなかったし、また、退勤時には エレベータ は ビル の上の方で満員になり ビル の下の方の階を通過するために、上のほうの待客を運び終るまで下のほうの待客は エレベータ に乗れないような問題は依然として解決されなかった。

1945年に米国の ウェスチィングハウス 社(以下 W 社という。)は、ビル内の交通は絶えず大きく変動してはいるが、これをいくつかの典型的な型に分類できることに着目して、おのおのの交通状況に応じて、その交通を処理するのに適した輸送形式(パタン)を備え、交通需要の変化に応じて最適なパタンに切り換えるという画期的な群管理方式、セレクトマチック方式を開発し、すべての階にむらの少ないサービスをすることはもちろん、ピーク時の輸送力を増大し待時間を短縮するなど大きな効果をあげた。

しかし、この方式では パタンの切り換えは人手に頼っていた。 すなわち、 ビルの管理者あるいは スタータ が出発階の交通状況から ビル全体の交通需要を判断して パタン を切り換えていたため、 特に交通需要の変化が激しい場合には、 適切な パタン を選ぶのは困難であり、実際 の交通需要と違った パタン を選択することがしばしば生じた。 一方、エレベータ 群の運転のさせ方は パタンにより 大幅に変化するので、誤った パタン が選択されると エレベータ の サービス はむしろ低下する場合が往々にしてある。そこで、 1953 年には同じく W 社において、交通需要の変化に応じて自動的に最適の パタン を選択する全自 動 群管理方式、オートマチックトラフィックパタン (ATP) 方式が開発された。 これは、 時々刻々の交通状況より常にその時の交通需要に最適の パタンを自動的に選択するものであり、パタンの選択が適切に行なわれるため パタン のもつ特長を十分に発揮でき、大幅な サービス 向上ができるようになった。

一方わが国では、当社が 1957 年(昭和 32 年)に初めて全自動群管理方式 ASP-A エレベータ を名古屋市内の名鉄ビルに納入した。これは、W社の ATP 方式を基礎にその欠点を改良して、さらにわが国のビルの実情にあうように独自のきめ細かい改良を施こ した もので、ビル 実動後の交通実態調査の結果、性能の良さが証明されると、ASP-A 方式の優秀さが高く評価されるようになった。

ことで、群管理の流れを再度要約してみよう。初期の群管理方式においては、ビルの交通需要は1日のうちでも幅広く変動するにもかかわらず、前述のように基本的なエレベータ群の管理のし方、エレベータの運転のさせ方は、 閑散時であろうが混雑時であろうが同じであり、常に単一モードの運転方式であった。 しかし、これでは交通変動があるビルでは満足すべきエレベータサービスが行なえないので、ビル内の交通をいくつかの型に分類して、その交通を最も能率よく処理するためのパタンを備えた方式へと発展してきた。

この方式の効果が広く認識されるようになると、ビル内の交通を さらに細かく分類し、パタンの数を増やし、その選択精度をあげるこ とが、群管理機能を向上させるために最も重要かつ必要な手段であ るという錯覚が一部に生まれた。 しかも、 現在なお一部には パタン 数の増加やその選択精度の改善に主力を注いでいる向きもある。

もちろん、パタンも必要であり、パタンの選択精度も重要ではあるが、実際に交通を処理するのはかどの動きであることを考えれば、変動する交通需要に対する幅広い、敏速な、融通性の高いかどの管理、かどの コントロール こそが群管理の機能を向上させる最大の キーポイントであることが理解できよう。

したがって当社では、交通需要を大局的に判断してパタンを選択し、そのパタン内での幅広い交通需要の変動に対してかごを能率的に処理する、一種の階層制御が現段階では最も適当と考えている。

## 3. MARK II 方式の特長と動作概要

今回,新しく開発した三菱 ASP-A MARK Ⅱ 方式は、次の三つの大きな特長をもっている。

- (1) ワイドセレクション システム の採用
- (2) 性能のいっそうの向上
- (3) パッセンジャーサービスの充実

以下、その特長を動作概要にも触れながら一つずつ説明する。

#### 3.1 ワイドセレクション システムの採用

最近では、ビルの多様化、多目的化がめざましく、その性質・用 途などに応じて交通需要そのものも多種多様となっている。

したがって、従来のようにビルを大ざっぱな型に分類し、ビルの型に応じて5パタン方式・7パタン方式・8パタン方式など内容がほぼ決まった方式を適用するシステムでは、最近のビルの実情にマッチせず、むだが生じやすい。たとえば、出勤時に極端なビークの生じるビルに対しては、朝の激しい昇りのラッシュを処理するために、退勤時のピークが生じないビルにおいても、8パタン方式など退勤時のピークを処理するパタンも含まれたものを適用しなければならなかった。また、超高層ビルの出現などにより、従来の方式では解決できないような交通需要が生じてきた。

MARK II 方式では、当社で最初に群管理方式を製作して以来の十数年間にわたる豊富な経験を生かし、すでに納入されたエレベータの運転状況、利用状況を調査し、最近のビルにおける交通需要の傾向をは握し、また、顧客の要望を反映させて、極端に混雑する交通を処理する動作、超高層ビルの交通を解決する動作、運転手なしエレベータにおける乗客のサービス向上をねらいとした動作など30種以上の付加動作を準備している。そして、その中から顧客の要求により、また、ビルの規模、交通量とその変動、使用用途などにより必要最少限の付加仕様を自由に選択し組み合わせて、ビルごとに独自のシステムを構成することができるワイドセレクションシステムとしている。

たとえば、前に述べた出勤時に極端なピークを生じるビルに対しては、分割昇りピークパタンのみ付加すれば出勤時のピークは解決され、昼食時の激しい交通需要に対してはダウンデマンドゾーニングが処理し、また、超高層ビルなどでサービス階が極端に多い場合には、飛び越しサービスなどが準備されている。

このように、MARK II 方式では必要最少限の仕様を付加することにより、 合理的で経済的な エレベータ を提供できる顧客本位の システム となっている。以下に MARK II 方式の構成を説明する。

### 3.1.1 MARK II 方式の構成

MARK II 方式は、  $E_{ll}$  の規模、交通量とその変動などに応じて各種  $E_{ll}$  に最適の  $I_{ll}$   $I_{ll}$   $I_{ll}$   $I_{ll}$  を最も合理的に提供できるように、基本的に BASIC 方式、 CUSTOM 方式の二方式に分類 される。 表 3.1 は MARK II 方式の分類を示したものである。

BASIC 方式は、交通が比較的混雑しない、また交通変動も少ない エレベータの台数が少ない中規模な事務所 ビル・ホテル・病院など を対象としたもので、 閑散・平常の二つの パタン を備え ビル の交通を効果的に処理することができる。

また、CUSTOM 方式は、交通需要とその変動が多くエレベータの 台数の多い大規模なビル に適用される。その基本形は閑散・平常・

表 3.1 ASP-A MARK II の分類 Classification of ASP-A MARK II.

方	式	適用される 台数・速度	内	容	
ASP-A MARK II BASIC		2~4台 90 m/min以上	閑散・平常パタンをもつ。   下方出発階にて出発管理を行なら。		
ASP-A MARK II CUSTOM		3~8台 120 m/min 以上	基本形として閑散・平常・昇りビーク ・降りビークバタンをもつ。 上・下両出発階にて出発管理を行なう		

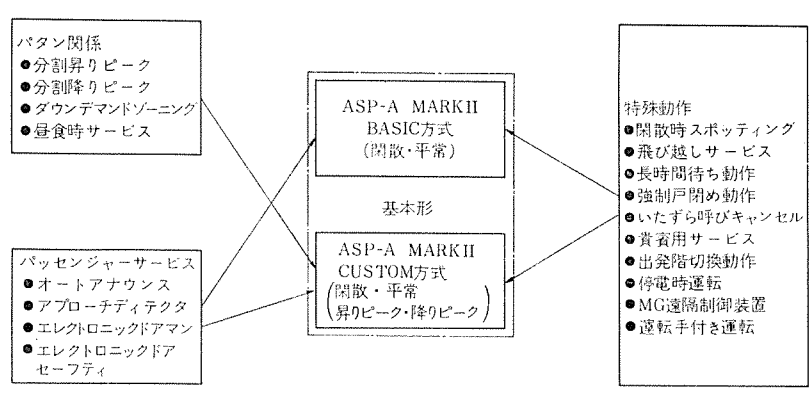


図 3.1 ASP-A MARK II の構成 ASP-A MARK II system.

昇り ピーク・降り ピーク の四つの パタン を備えている。MARK Ⅱ 方式では、一つの パタン が処理する交通需要とその変動に対する処理範囲が従来の ASP-A 方式に比較して一段と幅広く拡大され、しかもこれら交通変動に対する速応性・柔軟性・処理能力が一段と向上しているので、大部分の事務所 ビルの交通は基本 パタン のみで処理することが期待できる。 特に交通需要とその変動が極端に激しい ビルに対しては、付加動作によりさらに性能が向上するので、十分満足ゆく サービス を提供することができる。

図3.1 は BASIC 方式あるいは CUSTOM 方式の基本形に 対して、付加できる パタン 関係、特殊動作、パッセンジャーサービス などの仕様のおもなものを示している。この中から ビル の規模、性質、交通需要とその変動、顧客の要求などに応じ必要なものだけを自由に組み合わせて、ビル ごとに新しい システム を作りだすことができる。

## 3.2 性能のいっそうの向上

エレベータの群管理のねらいは、乗場での待時間を短くし、そのばらつきを少なくすることであり、同時に輸送能力を向上させることにある。2章で述べたように、待来の群管理方式では、上記のねらいを達成するために、パタンの数をふやしかつパタンの選択精度をあげることに多くの努力がむけられていた。

しかしながら当社では、エレベータ群が種々の交通需要を能率良く処理し、最も良質のサービスを提供するためには、どうしたらよいかを追求し続け、検討に検討を重ねた結果、パタンの数が多いとかパタンの選択精度がすぐれているだけでは不十分であり、かごの運転管理がどうなっているのか、すなわち変動する交通需要にかごをいかに対応させるのかが重要であることに着目した。

かごの動かし方の重要性を認識すると、シミュレーションによりかごの運転方法を徹底的に追求し、その結果、他の方式で行なわれているような、出発時間が一定であるとか、かごの過去の1周時間を測定し1周時間が長くなれば自動的に出発時間を長くするような、過去の交通情報、運転履歴でのみかごの運転を コントロール する方法では不十分で、種々の交通情報よりかごが不必要にかたまる傾向が生

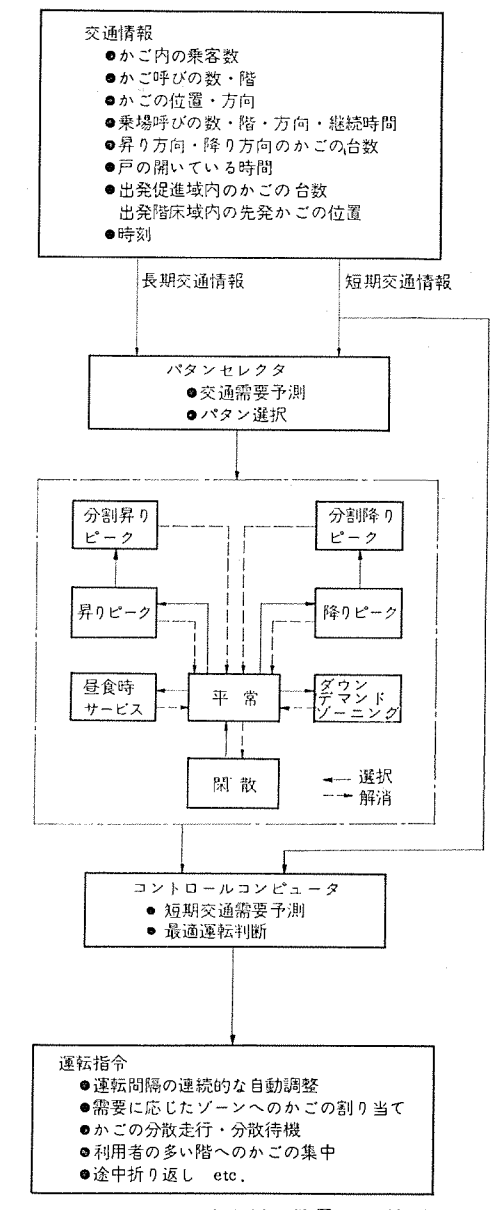


図 3.2 ASP-A MARK II の群管理 システム ASP-A MARK II group supervisory system.

じるのを予測すると, 直ちにかごの出発を促進させ, 事前にかごが 時間的に等間隔になるように修正するなど, 交通需要とその変動の 予測をとり入れた運転のさせ方が, きわめて有効であることがわかった

図 3. 2 は MARK II 方式の群管理  $\partial A$  を示したものである。  $\nabla A$  でが、 時々刻々変動する交通需要を能率良く処理するためには、

- (1) 短期あるいは長期の交通情報から交通需要を大局的には握 し、かどの運転方法の大要を決める パタン の選択。
- (2) 短期の交通情報に基づき、変動する交通需要を処理するためのかごの運転管理。

とが共にすぐれている必要がある。MARK II 方式では、乗場呼びの数・方向・継続時間、かごの運行方向・位置、かご内の乗客数その他 エレベータ の交通状態を示すあらゆる要素を、短期あるいは長期にわたって交通情報として パタンセレクター に集積し、分析し、交通需要を予測して パタン の選択を行ならので、交通需要に マッチ した適切な パタン を選ぶことができ、その パタン のもつ特長を十分に発揮させ

ると同時に、あるパタン内での交通情報をコントロールコンピュータにより 処理し、交通需要とその変動をは握しその予測を行ない、かごがか たまる傾向を生じると直ちにかごの出発を促進させ、かごの間隔を 修正する「運転間隔の連続的な自動調整」、特定 ゾーンの交通需要が 強くなることが予想されると、事前にかごを特定 ゾーン へ集中させ る「需要に応じた ゾーン へのかごの割り当て」など、柔軟性にとん だ運転指令を各かごに与えて、交通需要の変化を迅速に処理するこ とができる。

とのように、MARK Ⅱ 方式では、従来の方式に比較してさらに 適切にかごの運転が行なわれるので、その処理能力が一段と向上し、 待ち時間の短かい、輸送能力の高いすぐれた群管理 システム となって いる。

以下に MARK II 方式のおもな動作について説明しよう。

#### 3.2.1 パタン関係の動作概要

図 3.3~図 3.13 は各 パタン におけるかどの動きを示すものである。図中に用いられている記号の意味は、

△または▽:乗場昇り呼びまたは乗場降り呼びが登録されてい ることを示す。

▲ :乗場降り呼びが長時間登録されていることを示す。

○または○:かごが昇り方向または降り方向で待機していると とを示す。

■または▼:かごが昇り方向または降り方向に走行しているととを示す。

#### (1) 閑散(オファワー)

閑散 パタン は、 夜間とか休日のように エレベータ に対する需要が間 欠的できわめて少ない場合に選択される。

そのねらいは、かどのむだな運転をさけ電力を節減することにあるので、 閑散パタンにおいてはすべてのかどは下方出発階で待機し、運転する必要のないかどは、一定時間で電動発電機を自動的に休止する。したがって、長時間呼びのない状態が継続するとすべてのかどの電動発電機が休止する。呼びが生じると先発に指定されているかどの電動発電機を起動して出発し、呼びに答え終わると再び下方出発階に戻る。呼びが継続しており、1台のかどで処理すると長く待たせることが予想される場合には、かどは必要台数だけ次々に出発する。

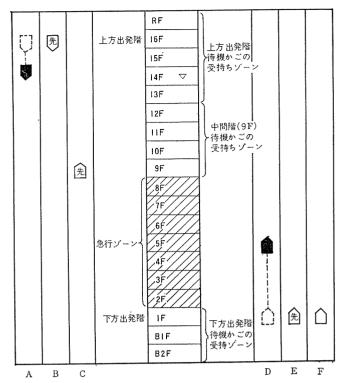
とのようにして、必要なときにのみ必要最少限の台数を経済的に 運転させる。

閑散時には、大多数の人々に対するサービスよりもむしろ個人に対するサービス向上を要望される場合も多く、この場合には、次の閑散時スポッティングを設けると効果的である。

## (2) 閑散時 スポッティング (特許出願中)

停止数のさほど多くない通常の ビル においては、閑散時にはすべてのかごを下方出発階に待機させても、いずれの階からの待客に対してでも、比較的迅速にサービスできるので問題はないが、超高層 ビル などで急行 ゾーン が設けられた場合、あるいは停止階数が極端に多い場合などには、用の済んだかごをすべて下方出発階に待機させておくのは必ずしも得策でない。退勤時後の残業者、その他によるビルの上のほうからの間欠的な交通需要に対して、かごをいちいち下方出発階から上方階まで走行させるのは、走行距離が長くなるので時間的にもむだを生じ、ビルの上部の利用者を長く待たせる結果となる。

閑散時 スポッティングは、閑散時という交通状態を考慮し個人個人の



A号機 :受持ちゾーン (13~RF) の乗場呼びができたので出発する。

B号機 : 上方出発階で先発かどに指定され出発を待つ。

C号機 : 受持ちゾーン (9∼12 F) の乗場呼びができたら出発できるよう 9 F

にて待機する。

D号機: かど呼びができたので出発する。

E号機 : 下方出発階で先発かどに指定され出発を待つ。

F号機: 下方出発階で待機する。

図 3.3 閑散 パタン(スポッティング 動作付)における運転 Operation of off hour pattern (with spotting feature).

サービスに重点をおき、かごを2個所あるいは3個所に分散して待機させ、それぞれの受持ち ヴーンを分担して、乗場呼びが登録されるとその呼びの受持ちのかごが応答するので、ビルのいずれの階の乗客に対しても常に迅速なサービスをすることができる。

超高層 ビルで エレベータ が高層 バンク, 低層 バンク に分れるときの高層 バンク のように, 急行 ゾーン が設けられる場合には エレベータ を 3 個所に待機させ, 低層 バンク のように急行 ゾーン が設けられていない場合には 2 個所待機とする。

図3.3 は急行ゾーンがある場合のかどの動きを示したものである。かどは下方出発階,上方出発階およびサービスゾーンの最下階(9階)に待機し,下方出発階以下の乗場呼びに対しては下方出発階に待機しているかどが応答し,サービスゾーンの上部(13階~R階)乗場呼びに対しては上方出発階待機かどが,下部(9階~12階)乗場呼びに対してはサービスゾーンの最下階に待機しているかどが応答する。もちろん,かど呼びに対してはいずれの階をもサービスする。

## (3) 平常(オフピーク)

交通量は朝夕の ピーク 時低ど多くはないが、 相当量の交通量があり、 しかも絶えず変動している 1日の大部分を占める時間帯に適用される。

したがって、平常パタンにおけるかごの動かし方は特に重要であり、かごは乗場での待時間を短くし、またそのばらつきを少なくして、各階の待客に平等にサービスすることをねらいとして運転管理される。

これを実現するために、かごを上下の出発階より適当な出発時間



で出発させ、両出発階の間を流し運転させる方式が一般に採用されている。平常時における交通需要は時々刻々変動しているので、このような交通需要を処理するためには、出発階でのかどの出発管理の方法を適切に行なう必要がある。たとえば、交通需要の変動があるにもかかわらず出発時間を固定にしておくなど、常に同じような出発管理を行なっては、交通需要が比較的減少するとかどが出発階付近にかたまる傾向を生じ、出発階でむだに待機することになるので、かごの運転間隔を適切に保ち能率的に運転することはできない。交通量の変動によりかごの1周時間も変動するので、交通需要にマッチして出発時間を自動的に調整するような方法が望ましい。

MARK II 方式では出発促進動作(特許)が有効となり、出発階を含んだ数階で出発促進域を形成し、そこへ入ってきたかごの台数よりかごのかたまる傾向と強さをは握し、あるいはかご内の負荷によりかごの運行時間を予測し、これらの情報と予測に基づいて、0~55 秒にわたって連続して自動調整される出発時間により、かごの出発を管理し、常時かごを時間的に等間隔にばらまくようにコントロールする。 すなわち、交通需要とその予測によりかごの出発を自動的に調整するので、そのときそのときの交通需要に最も適したようにかごの運転を行なうことができる。

また、地下がある場合には出発階床域動作(特許)が設けられ、地下を含んだ複雑な交通を処理する。わが国のビルは、一般に外国に比較して地下鉄、地下街その他の関係で地下の交通量が多い。したがって、かごが地下へ走行するひん度が高くなり、出発階のみで出発管理を行なっているのでは、かごの運行が乱れることになる。

たとえば、地下から2階以上へ行く乗客を乗せて昇り方向に走行してきたかごを、出発階だからという理由で1階で先発に選ばれ出発時間が経過するまで待たせると、かごの乗客に対し焦そう感や不安感を抱かせることになるので、乗降が終われば直ちに昇り方向に出発させる必要がある。このようなかごは、出発階で出発管理されずに出発するので、地下へ走行するかごが多くなればなるほど出発管理の効果が減り、場合によってはほとんどのかごが全然出発管理されずに勝手に出発することになり、かごの間隔が乱れ待時間のばらつきが大きくなり、サービスを低下させることになる。

また、これらの欠点を救うために出発階を地下に設定することが 行なわれる場合があるが、これは見かけ上かごが適切に分散される ように見えても、実際には地下へ行く必要のないかごまでむだに地 下まで運行させることになり、実際の待時間は長くなるので好まし いことではない。

MARK II 方式の出発階床域動作は、出発階と地下階で出発階床域を構成しての ジーン 内で先発かどの選択を行ない、 前述の出発促進動作、 1 周時間の予測、 さらに出発階床域内での先発かどの位置までも考慮にいれて、 自動調整された出発時間によりかごを出発させるので、 かごが地下へ走行するひん度が多くても待時間を短くすることができる。

出発階床域のない一般の方式と出発階床域を設けた MARK II 方式に対し、電子計算機による シミュレーション を行ない、おのおのについて乗場呼びの累積度数分布を求めると図 3.4 のごとくなる。出発階床域が設けられた場合には、平均待時間が出発階床域がない場合の 75% となり 25% も短縮されるので、その効果がいかに大きいか理解できよう。

このように、MARK II 方式では出発促進動作と出発階床域動作の効果により、1日の大部分を占める重要な時間帯の交通需要に対

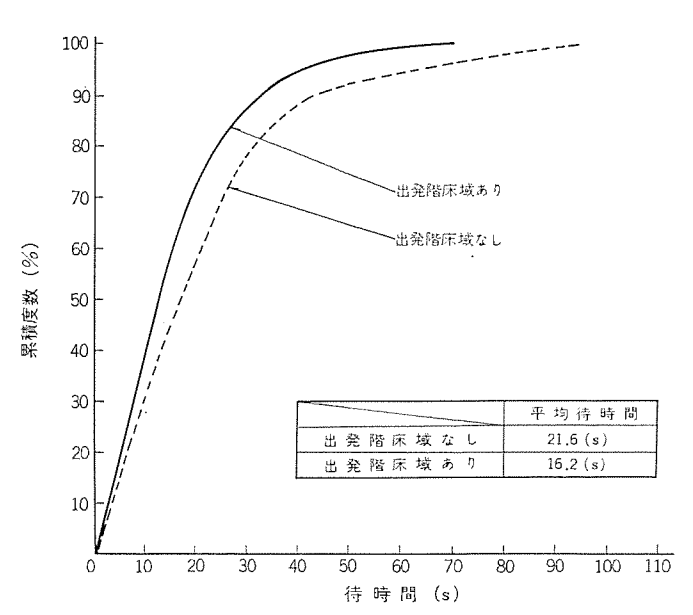
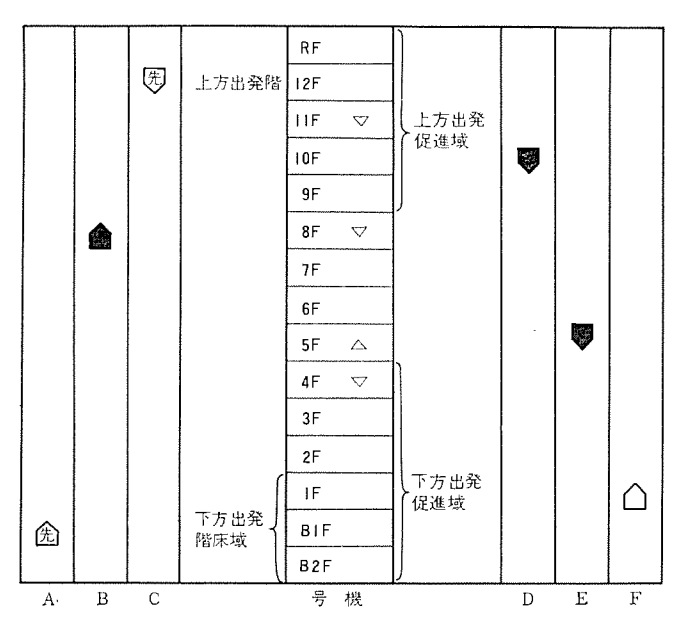


図 3.4 出発階床域の効果 Effect of starting floor zone feature.



A 号機: 下方出発階床域で先発かごに指定され出発を待つ。出発時間は先発 かごの位置,かご内の負荷,下方出発促進域内のかごの台数,その 他により自動的に調整される。

B号機:かご呼びと乗場昇り呼びに答えながら上方出発階まで走行する。 C号機:上方出発階で先発かごに指定され出発を待つ。出発時間はかご内負荷,上方出発促進域内のかごの台数,その他により自動的に調整される。

D・E号機: かご呼びと乗場降り呼びに答えながら下方出発階床域まで走行する。 F号機: A号機が先発に指定されているので先発に選ばれるのを待つ。

図 3.5 平常パタン における運転 Operation of off-peak pattern.

し適切な サービス を行なうことができる。 図 3.5 は平常 パタン におけるかどの動きを示したものである。

#### (4) 飛び越し サービス (ジャンピングサービス) (特許出願中)

超高層 ビルでは、一般に 4.1 節で述べるように サービス 階の分割を行なうことが望ましい。しかしながら、 ホテル などでは バンク割りの問題や宿泊客用諸施設のために、やむを得ず サービス 階が極端に多くなることは、最近しばしばみうけられるところである。 飛び越しサービス は、このような サービス 階が極端に多い ビル に対して適用されるものである。

従来のように、ビルが高くても、20階程度までの場合には、通常

の出発管理を中心とした運転管理により十分満足すべきサービスを提供することができるが、ビルが高くなりサービス階が20階を越えるようになると、かごとかごとの間に介在する階数が多くなるので、各かごが処理すべき交通需要の変動が大きくなり、したがって各かごの運行時間の差が大きくなり、かごがかたまったり開きすぎたりする傾向が生じるのをさけることはできない。しかも、いったんこのような傾向を生じると、1台のかごで十分処理できる需要の場合でも、かごはかたまったまま交互に呼びに答えながら終端階まで走行することになり、また、サービス階が多いのでかたまったまま走行する時間が長くなる。したがって、サービス階が20階を越えるようなビルにおいては出発階での運転管理のみでは不十分であり、特殊なかごの運転が必要となってくる。

飛び越しサービスは、ビルを数個の ゾーン に分け、一つの ゾーンの交通需要を 1 台のかどで処理できるときは、その ゾーン の処理を 1 台にまかせ、他のかごは次の ゾーン を分担させるようにして、全階に対して公平な サービスをねらったものである。すなわち、ビル全体を数個の ゾーン に分け、各 ゾーン ごとに昇り方向のかごを条件に応じて適宜最高呼び自動反転させ、また、降り方向のかごは他のかごの位置とその負荷、ゾーン内の需要の強さ、ゾーン指定の有無などに応じて適切に受持ち ゾーン を指定し、指定された ゾーン まで直行させる方法をとっている。このように、かごを積極的に分散させて サービスの低下を極力改善しようとするものである。

以上説明したように、 飛び越し サービス は サービス 階が極端に多いために、通常の方法では サービス の低下がさけられないのでやむを得ず設けるものであるから、その適用については十分注意することが 肝要である。 図 3.6 は飛び越し サービス におけるかごの動きを示したものである。

#### (5) 昇り ピーク (アップピーク)

出勤時にみられるように、降りの客がほとんどなく大部分が昇り の客であるような交通状態において選択され、昇り方向の交通を能 率よく処理する。

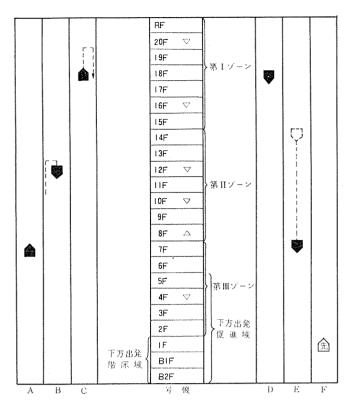
かどは下方出発階より先発順に、かど内の乗客数や下方出発階付近のかどの台数などにより連続的に自動調整される出発時間が満了すると、出発信号を受けて昇り方向に出発し、すべての昇り客を降ろし終わると直ちに方向反転して、できるだけ早く下方出発階に戻り、下方出発階からの昇り客の輸送に専念する。図3.7 は昇りピークパタンのかどの動きを示す。

## (6) 分割昇りピーク(インテンスアップピーク)

わが国の ビルでは居住人口密度が高く,また通勤者の大部分が公共の交通機関を利用するため出勤時の ピーク はきわめて激しい 場合 が多い。 このような激しい ピーク になる エレベータバンク には分割昇り ピークパタン が適用される。

分割昇り ピークが選択されると、バンク内の エレベータ は上層行、下層行の 2 グループ に分割される。また、サービス 階も負荷中心階を境として上層・下層に分かれる。 上層行 グループ が上層を、下層行 グループ が下層をそれぞれ サービス するので、 各か どの サービス 階が半分になり実際の停止数が減少し、また、上層行 グループ は急行区間を全速で走行することができ、下層 グループ は走行距離が減少するので 1 周時間が大幅に減少し、昇りピークに比較して輸送力を約 15% 以上向上できる。

分割昇りピークは輸送力を向上させるために不可欠なものであるが、その効果を十分発揮させるためには、交通量が極端に増加した



A 号機 : かど呼びと乗場呼びに答えながら上昇する。

B号機 : 第Ⅰゾーンを上昇中のかご (C号機) があるので第Ⅱゾーンで最高

呼び自動反転し降り方向の呼びに答えながら下降する。

C号機 : 第1ゾーンで最高呼び自動反転する。

D号機: かど呼びと乗場降り呼びに答えながら下降する。

E号機:第Ⅱゾーンの乗場降り呼びは第Ⅱゾーンを下降中のかど(B号機)

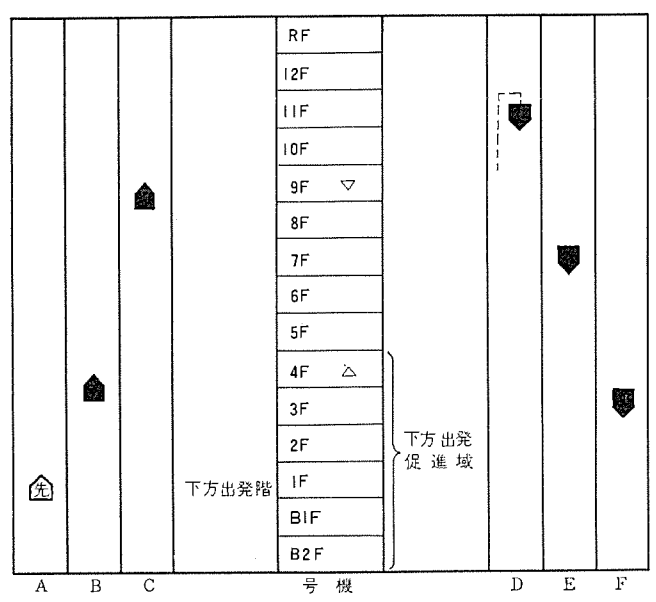
にまかせて第Ⅲゾーンまで直行する。

F号機: 下方出発階床域で先発かどに指定され出発をまつ。出発時間は先発

かどの位置,かど内の負荷,下方出発促進域内のかどの台数,その

他により自動的に調整される。

図 3.6 飛び越しサービス における運転 Operation of jumping service feature.



A 号機: 下方出発階で先発かどに指定され出発を待つ。出発時間はかど内の 負荷, 下方出発促進域内のかどの台数, その他により自動的に調整 される。

B・C号機: かご呼びと乗場昇り呼びに答えながら上昇する。 D号機: 呼びがなくなったので最高呼び自動反転する。

E・F号機 : かど呼びと乗場降り呼びに答えながら下方出発階へ戻る。

図 3.7 昇り ピークパタン における運転 Operation of up-peak hour pattern.

ことだけではなく、上層・下層の負荷 バランスがとれていることを確認して パタン の選択を行なら必要がある。 この条件が満足されないにもかかわらず不用意に分割運転を行なうと、一方の グループ はかなり 余裕があるのに他方の グループ が極端に混雑するなど、総合的には輸送力は逆に低下することもあるので、 分割昇り ピーク の選択は慎重に行なわなければならない。

MARK II 方式では、分割昇りピークの選択法として、 毎日ほぼ 一定の時刻に選択されるように時計式を採用しているが、時計のみではピルの交通に無関係に選択されることになるので、かご内乗客の上層行と下層行との分布を加味して、昇りの交通量と上層・下層の負荷 バランス を見きわめたうえで分割昇りピークを選択している。したがって、その効果を最大限に発揮させることができる。

この他,分割昇りピークが選択された場合には,サービス階分割時の乗場の混乱をさけるために行先階表示灯を点滅させ,分割運転になることを予告し行先別に並ぶように誘導し,すでにかごに乗り込んで乗客に対している乗客や行先階表示灯の点滅中にかごに乗り込んだ乗客に対しては,そのままで乗り換えずに目的の階に行けるように考慮が払われるなど,いたるところ細かい配慮がなされている。分割運転中の途中階からの昇り客に対しては,上層行グループのかごを応答させ,下層より上層に乗り換えなしで行けることも大きなメリットである。図3.8は分割昇りピークパタンにおけるかごの動きを示したものである。

## (7) 降りピーク (ダウンピーク)

退勤時にみられるように、昇りの客が少なく大部分が降りの客で あるような交通状態において選択され、降り方向の交通を能率よく 処理する。

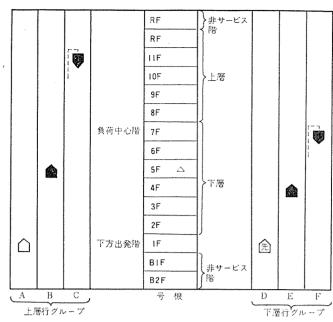
かごは上方出発階より先発順に出発信号を受けて降り方向に出発し、途中階からの降り客を下方出発階まで運び、下方出発階では乗客の乗降が終わると直ちに昇り方向に出発する。上昇中のかごは通常上方出発階まで走行するが、降り方向の交通需要が多くなれば適宜最高呼び自動反転し、降り方向の輸送力を増大する。図3.9は降りピークパタンにおけるかごの動きを示す。

### (8) 分割降り ピーク (インテンス ダウンピーク)

退勤時極端なピークを生じ、降りピークでは退勤時の交通を十分に 処理できず、かごはすべて上層からの乗客で満員になり下層を通過 するため、下層の乗客はいつまでたってもかごに乗り込むことがで きないで長く待たされるようなビルに適用される。

分割降りピークが選択されると、サービス階が分割昇りピークと同様に負荷中心階を境として上層・下層に二分割され、かごも上層行グループ、下層行グループに分かれ、主として上層の降り客を上層行グループのかごが、下層の降り客を下層行グループのかごがサービスするようになる。下層行グループのかごは下層の降り客を順次乗せながら下降し、下方出発階で降ろし終わると直ちに昇り方向に出発する。昇り方向の呼びにはいっさい応答せずに下層の降り客を運ぶことに専念する。また、上層行グループのかごは上層の降り客を順次乗せながら下降し、下層を通過し下方出発階まで走行する。下方出発階では降ろし終わると直ちに昇り方向に出発し、上層の降り客を運ぶことに専念する。

分割降り ピークパタン においては、ダウンデマンド カウンター が働き、常時上層と下層の交通需要を監視し、上層の降り客が減少すれば上層行グループの余力のあるかごが下層を応援し、下層の降り客が減少すれば下層行グループの余力のあるかごが上層を応援する。



A号機: 下方出発階から上層行き客を乗せて昇り方向に出発する。

B号機:かご呼びと乗場昇り呼びに答えながら上昇を続ける。通常は下層の かご呼びには答えないが、下層の乗場昇り呼びで停止すると下層の かご呼びにも答えるようになる。

C号機:上層にて最高呼び自動反転する。

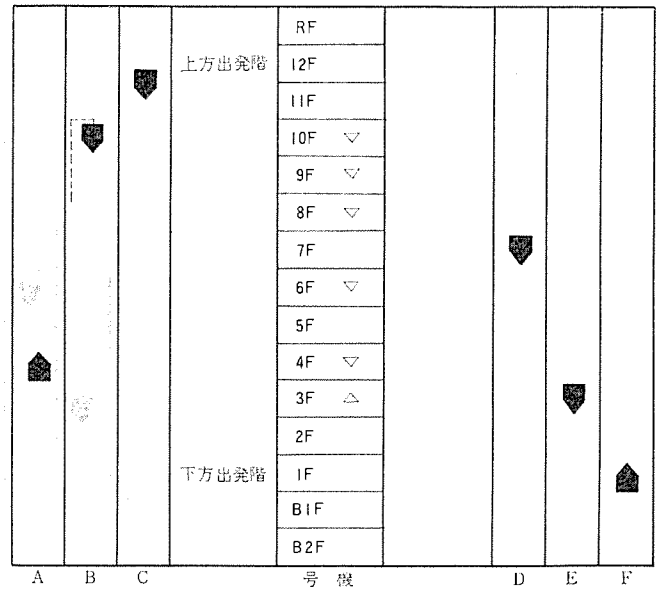
D号機: 下方出発階から下層行き客を乗せて昇り方向に出発する。

E号機: 下層のかご呼びに答えながら上昇を続ける。乗場昇り呼びには答え

ない。

F号機:下層にて最高呼び自動反転する。

図 3.8 分割昇り ピークパタン における運転 Operation of intense up-peak pattern.



A号機 : かご呼びと乗場昇り呼びに答えながら上昇する。

B号機:降り方向の需要が多くなったので最高呼び自動反転する。

C号機:上方出発階を出発し、かど呼びと乗場降り呼びに答えながら下方出

発階まで走行する。

D・E号機: かご呼びと乗場降り呼びに答えながら下方出発階まで走行する。 F号機: 下方出発階で乗客の出入りが終わると直ちに昇り方向に出発する。

図 3.9 降りピークパタン における運転 Operation of down-peak pattern.

このように、分割運転を行なうことにより、かごの1周時間が短縮され大きな輸送能力をあげると同時に、上層行 グループ、下層行 グループが相互に援助し合うので、全階の降り客に対し平等にサービスすることができる。

交通量が極端に多くなり、かごを上層行 グループ、下層行 グループに分割しても、上層の上部または下層の上部でかごが満員となり、各層の下部を通過することが予想されると長時間呼動作が有効となる。すなわち、上層行かごの1部は上層の下半分で最高呼び自動反転し、また下層行かごの1部は下層の下半分で最高呼び自動反転して、各層の下半分で長く待たされた客や待たされそうな客を救い、全階を通じて公平な サービスを提供する。

図 3.10 は分割降り ピークパタン におけるかごの動きを示す。

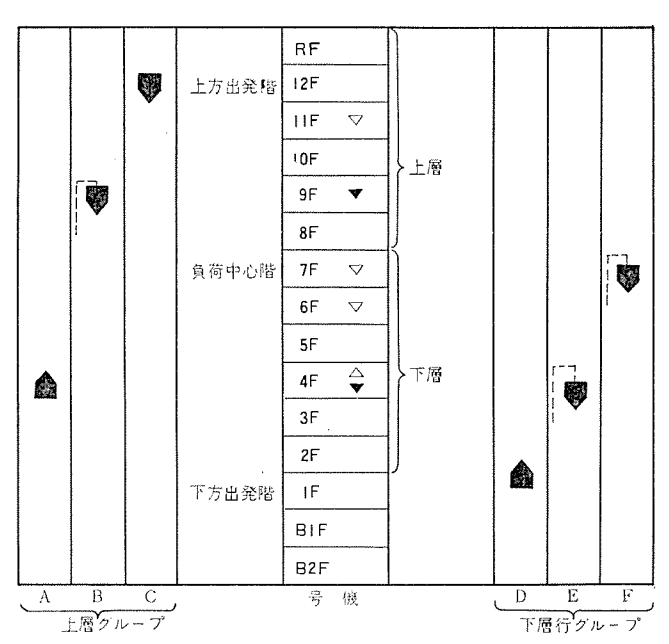
## (9) ダウンデマンドゾーニング (特許出願中)

昼食時にみられるように、昇り方向、降り方向の交通量が共に多い場合に適用される。 出退勤時の ピーク は一方向であるのに対し、この場合には上下両方向のピークとなるので混雑が激しく、 むしろ 出退勤時よりも交通量が多く解決が切望されている。

このように両方向に混雑する交通状態においては、昇り方向の乗客は比較的容易に処理できても、一般に降り方向ではかごが上方階ですでに満員となり下方階を通過するので、下方乗場の待客ほどサービスが悪くなり、すべての階床にわたっていかに能率的にかつ公平にサービスできるかが問題となる。

MARK II 方式では、ダウンデマンドゾーニングが選択されると、エレベータのサービス階を数個のゾーンに分割し、各ゾーンにおける降りの需要とその強さを常時監視して、かごが降り方向に反転するごとに需要の強いゾーンへ次々とかごを割り当てて、途中の呼びを通過させ、そのゾーンまで直行させる方法をとっているので、全階にわたり平等なサービスを提供し、また混雑する交通需要を能率よく処理することができる。

図 3. 11 は従来の ASP-A 方式の ヘピィアップ ダウン と MARK II 方



A号機: 上昇中は乗場昇り呼びに答える。(特定のかごのみ)

B号機: 9階に長時間待呼びがあったので、上層の下部で最高呼び自動反転 する。

C号機: 上層の乗場降り呼びに答え,下層を通過して下方出発階まで走行する。(上層の需要が減少すれば下層の乗場降り呼びにも答える。)

D号機 : 乗客が降り終わると直ちに昇り方向に出発する。

E号機: 4 階に長時間待ち呼びがあったので、下層の下部で最高呼び自動反 転する。

F号機: 下層で最高呼び自勁反転する。(下層の需要が減少すれば上層 まで 走行する。)

図 3.10 分割降り ピークパタン における運転 Operation of intense down peak pattern.

式の ダウンデマンド ゾーニング について、電子計算機による シミュレーション を行ない、その結果を乗場待時間の累積度数分布で示したものである。従来の ヘビィアップ ダウン に比較して、平均待時間が 29% 短縮し、60 秒以上待たされる呼びが従来方式では 11% あるのに対し 3 %に減少した。この結果からも、ダウンデマンド ゾーニング がいかにすぐれているかが理解できよう。図 3.11 は ダウンデマンド ゾーニング におけるか ごの動きを示したものである。

#### (10) 昼食時 サービス (ランチタイムサービス)

地下や屋上に社員食堂などがあり、昼食時に地下や屋上が混雑する ビル に適用される。

たとえば、地下に食堂がある場合に昼食時の交通を平常パタンで 解決しようとしても、通常の運転方法だと地下乗場呼びにより地下

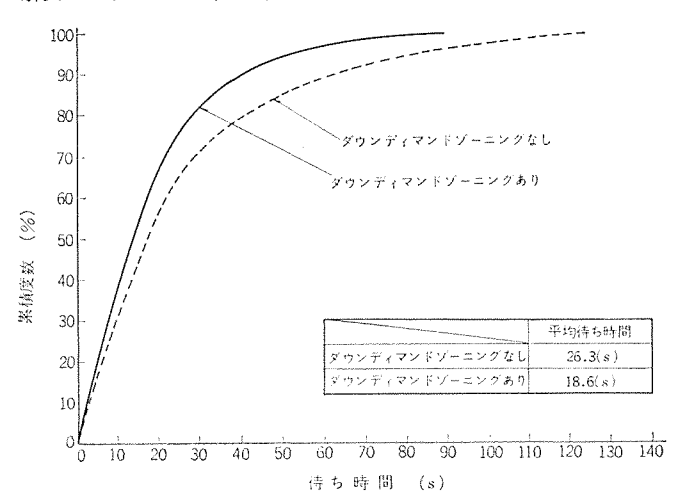
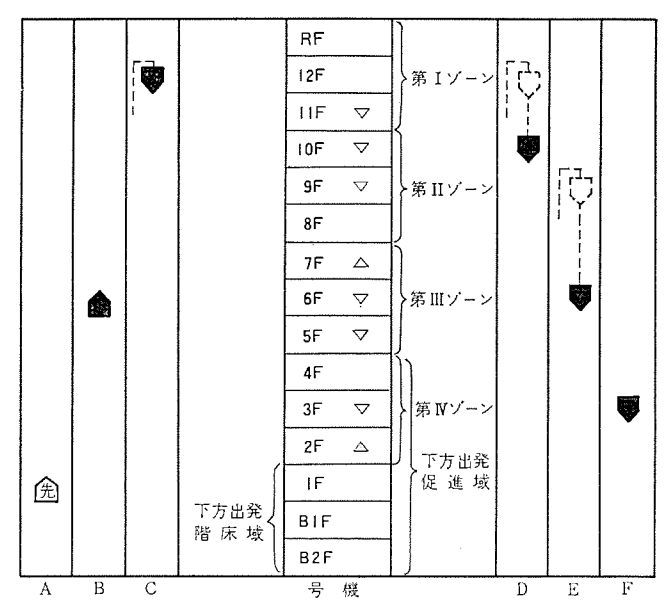


図 3. 11 ダウンディマンドゾーニング における 運転 Operation of down demand zoning feature.



A 号機: 下方出発階床域で先発に指定され出発を待つ。出発時間は先発かご の位置, かご内の負荷, 下方出発促進域内のかごの台数, その他に より自動的に調整される。

B号機:かど呼びと乗場昇り呼びに答えながら上昇する。

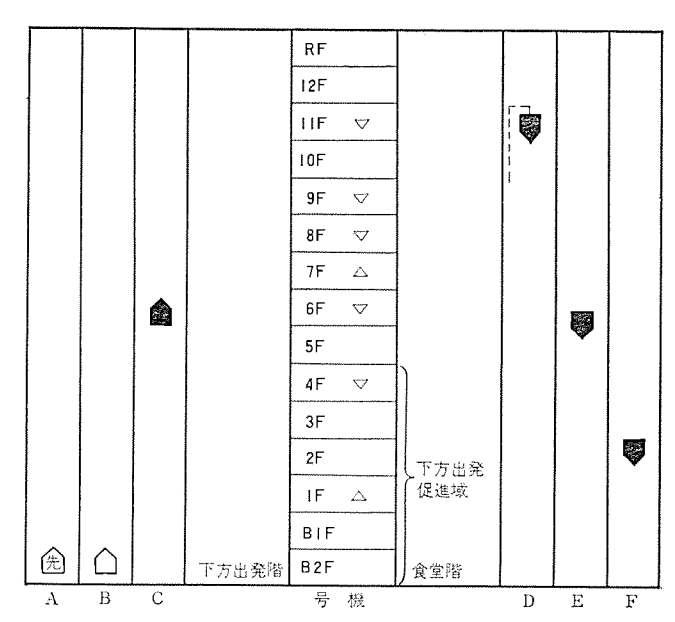
C号機:最高呼び自動反転する。

D号機:第Ⅱゾーンの降り需要が強いので反転すると第Ⅲゾーンまで直行し 第Ⅲゾーンより下方をサービスする。

E号機 : 第Ⅲゾーンの降り需要が強いので,反転すると第Ⅲゾーンまで直行 し第Ⅲゾーンより下方をサービスする。

F号機:かご呼びと乗場降り呼びに答えながら下降する。

図 3. 12 ダウンディマンドゾーニング の効果 Effect of down demand zoning feature.



A号機: 下方出発階(食堂階)で失発かごに指定され出発を待つ。出発時間 はかご内の負荷、下方出発促進域内のかごの台数、その他により自 動的に調整される。

B号機: A号機が先発かどに指定されているので次に先発に選ばれるのを待

C号機: かご呼びと乗場昇り呼びに答えながら上昇する。 D号機: 呼びがなくなったので最高呼び自動反転する。

E・F号機: かご呼びと乗場降り呼びに答えながら下方出発階(食堂階)へ戻る。

図 3.13 昼食時 サービス における運転 Operation of lunch time service feature.

選択されるかどは バンク内の1台に限定されるので、食事を終えて 自席に戻る大量の客をさばくことができず、 食堂階の エレベータホール は待客で混乱がおこる。

昼食時 サービスが付加された場合には、食堂階の混雑を予想すると 出発階が自動的に食堂階に移り、下降中のかごは強制的に食堂階ま で呼びよせられて, 食堂階より先発順に自動的に調整された出発時 間で出発するようになる。したがって、食堂階の混乱を能率良く処 理することができる。 図 3.13 は昼食時 サービス におけるかどの動 きを示したものである。

### 3.2.2 特殊動作概要

エレベータの特殊動作について、一部は3.1.1項で説明したが、 その他おもな動作として次のものが準備されている。

#### (1) 強制戸閉め動作

強制戸閉め動作は、乗客による戸閉めの妨害や、無理な乗り込み を防ぎ輸送効率の向上をはかるものである。

出発階のかごに出発指令が与えられて戸が閉まり始めてから、あ るい は出発階以外でかどの戸が閉まりはじめてから約20秒以上を んらかの理由で戸閉めが妨害されると、輸送効率の低下を防ぐため に強制戸閉めとなる。

また、かごが満員になった場合には約5秒で強制戸閉めが有効と なり、乗客の無理な乗り込みを防ぐ。(特許)

強制戸閉めになると戸は強制的に閉まり始め、とびら安全装置に 触れても ブザー が鳴るだけで戸は反転せずその位置で停止する。 乗 客がとびら安全装置から離れると、戸はふたたび閉まりはじめるが, もし何かが戸にはさまれたような場合には、しばらくすると人や物 が抜ける範囲まで戸を開くような配慮がなされている。(特許)

## (2) いたずら呼び キャンセル (特許)

乗客の少ないかごにいたづらで多数のかご呼びが登録されると, かごが次々にそれら不必要なかご呼びに停止する。このようないた ずら呼びが登録されたかどに乗り込んで、不愉快な感じを抱くこと は誰しもがしばしば経験することであり、最近では ビルの管理者側 からもいたずら呼び対策が要望されている。

いたずら呼びが登録されると、そのかごはむだな走行停止をくり 返し、かごに乗り込んだ乗客に対して迷惑をおよぼすばかりでなく、 かごの1周時間が伸びるために運転能率を低下させ,乗場の待客に 対する サービスを極度に低下させる。

この対策として, むだに多数のいたずら呼びが登録された場合に, 自動的にそのいたずら呼びを検出し打ち消しを行なって、かごを能 率よく運転させる装置がいたずら呼びキャンセルである。

## (3) 貴賓用 サービス

エレベータの バンク内で、必要に応じて特定のかごを特別の外来者な ど貴賓用として バックから切り離して専用に使用したい場合に付加 されるものである。

貴賓用 サービス が付加される場合、 貴賓用 サービス かごを呼ぶため の専用の乗場 ボタンが サービス 階全階にわたって必要となるが、この 乗場ボタンは, なるべく一般の利用者には目立たないものとするこ とが望ましい。

係員室または乗場に設けられた貴賓用 サービス 選択 スイッチ が投入 されると、特定のかごはバンクから切り離されて、 かご呼びと専用 に設けられた乗場呼びのみに応答する乗合式運転を行なうので、一 般の利用者には サービス せず, 貴賓用専用として使用することができ

しかし、貴賓用サービス中はバンク運転を行なうエレベータは1台減 ることになり、 バンク内の サービスを低下させるので、ピーク 時以外の 半日とか1日とか長時間貴賓用サービスを続けるのは好ましくない。 このような使い方を常時する必要がある ビルでは、バンク内のエレベー タを使用せずに、はじめから貴賓用として エレベータを1台単独に設 けるように計画することを推奨する。

## (4) 出発階切換動作

建物への入館口が季節によりまたは1日のうちでも時間帯により 変化する場合に、エレベータの出発階を入館口の変化に応じて変更す るものである。

たとえば、出勤時には大部分が地下鉄を利用するため地下からの 入館者が多く, 出勤時以外は大部分が1階より入館する場合に, エ レベータ の出発階を1階に設定すると出勤時の地下からの交通を処理 できず、また出勤時に備えて地下階にしておくと、出勤時以外には エレベータは需要があまりないのに常時地下階まで走行することに な るのでむだが多く全体のサービスが低下する。これをさけるために, エレベータの出発階を自動的に出勤時は地下階、出勤時以外は1階に 変更する。

また, 冬期は地下階からの入館者が多く, 冬期以外は1階からの 入館者が多いような場合は、出発階切換 スイッチ により出発階の切り 換えが可能となる。

ただし、出発階が切り換えられると、利用者にとっては乗りにく いものとなるばかりでなく、出発階が切り換わっても他階からの入 館者も一般には相当量あり、結局 4.4.2 項で述べるように運行効 率を下げることになるので、このような場合には、エスカレータを併設 して1階と地下階をエスカレータで結ぶことが最も効果的な方法であ る。

## (5) 停雷時運転

主電源が停電すると全 エレベータ は直ちに停止するので、乗客はか

ご内に閉じ込められることになる。このようなかご内に閉じ込められた乗客を救うために、停電時非常電源を利用して エレベータ の運転を行なうもので、 非常電源の容量が パンク 内の全台数を同時に運転するだけの余裕のない場合に設ける。停電時運転には自動式(特許)と手動式とがある。

自動式は、非常電源が確立すると、非常電源の容量内で適当台数ずつ起動し、自動的に指定階に戻す方式である。また、手動式は係員室に設けられた電動発電機起動用スイッチにより適当台数ずつ起動し指定階に戻す方式である。

自動式・手動式ともに指定階に戻るとかごは戸を開いて待機する ので乗客を救出することができる。すべてのかごの乗客の救出がす めば、必要に応じ非常電源で特定のかごを継続させて運転すること も可能である。

#### 3.3 パッセンジャーサービスの充実

一般に、群管理方式は全体の人に対するサービスの向上を主たるねらいとしているため、個人個人を考えた場合、自分の意のままにエレベータを運転できない場合が生じる。たとえば、出発階では、予定された出発時間が経過しないとエレベータは出発しない。エレベータを乗客の意志どおり呼びを登録したら直ちに出発させれば、すでにエレベータに乗り込んでいる特定の乗客に対するサービスは向上するが、その結果、エレベータの運行間隔が乱れ、他の多くの利用者に対するサービスを低下させるので、全体の人に対するサービスを向上させるためには、出発階での出発管理は必要である。

このように人間の意志どおりに エレベータ を運転できないようなことは、群管理の発展につれてますます多くなりがちである。特に最近では、運転手なし エレベータ が大部分を占めているので、このような問題は真剣に検討されねばならない。

MARK II 方式では、このような特に運転手なし エレベータ で失なわれがちな人間味のあるサービスを乗客とかごとの対話という形でとり戻し、運転手がいなくても親切な運転手がいると同様に、乗客に対し人間味のあるサービスができるよう配慮がなされている。

たとえば出発階で待機中の エレベータ に乗り込んだ乗客に対し、自動的に「出発までしばらくお待ち下さい」とかご内の スピーカー を通じて アナウンス する オート アナウンス や、乗場からかごに近づいてくる乗客を自動的に検出して、乗客がかごに乗り込むまで戸を開けたままにしておく アプローチ ディテクター など、乗客に対する サービス の向上をはかるとともに、かごの運行効率を高める パッセンジャー サービス の充実をはかっている。

以下、パッセンジャーサービスの概要について説明する。

#### (1) オートアナウンス

一種の テープレコーダであり、運転手のつかない エレベータ において乗客の サービス の向上をはかるため、かご内の スピーカー を通じて戸閉めや出発の案内、かごの運転に関する適切な アドバイス などを自動的に乗客に伝えるものである。

たとえば、出発階では出発管理が行なわれているため、先発かごは予定の出発時間が経過するまで出発できないが、乗客の焦そう感や不安感を和らげるために「出発までしばらくお待ちください」と案内し、かごが戸を閉めて出発する際には「お待たせしました。上へ参ります。」あるいは「お待たせしました。下へ参ります。」とかごの戸閉めと出発を知らせる。

また、かごが満員になった場合には、かごに乗り込もうとする乗 場の待客に対し「満員ですから次のかごをご利用ください。」と ァド



図 3.14 オートアナウンス 装置 Auto-announce device.

バイスしむりな乗り込みをさける。

その他,万一非常停止が働きかごが急停止した場合,停電でかごが動けなくなった場合には乗客の不安を和らげるような非常時に対する適切な アナウンス が,全部で7種類が準備されそれぞれの条件に応じた内容が自動的に アナウンス される。

図 3.14 は オート アナウンス 装置を示す。

#### (2) アプローチ ディテクター (特許出願中)

到着したかごより比較的離れた所にいる待客や、乗場に遅れて到着した乗客が、かごに乗り込むためにあわてて走ったり、あるいはかごに乗ろうとしたら目の前で戸が閉まりかごが出発してしまうようなことは、往々にして見うけられることである。アプローチディテクターは、かごの出入口上部から乗場側へむけて超音波を発信し、乗客からの反射波を受信することによりかごに近づいてくる乗客を検出し、乗客がかごに乗り込むまで戸を開いたままにしておくもので、乗客が走ってかごに乗り込むだり、かごに乗り遅れるようなことはなく、あわてずにかごに乗り込むことができる。

この装置は、超音波のドップラ効果を利用してかごに近づいてくる 乗客のみを適離に検出するので、乗場に待客がいなければ直ちに戸 を開めて出発でき、従来行なわれているように、乗場に待客がいな いにもかかわらず停止するたびに常時一定時間戸を開いて乗り降り を待つようなむだがなくなり、運転能率の向上を大幅にはかること ができる。

## (3) エレクトロニック ドアマン (特許)

かごの出入口を横切る光線を利用し、乗客の流れすなわち出入りの有無とその間隔を正しく判定し、乗客が出入りを続けている間は戸を全開にしておいて乗り降りしやすくし、最後の乗客の出入りが終わると直ちに戸を閉めはじめる。また、何らかの原因で出入口の乗客によって光線が一定時間以上しゃ断されると戸は強制的に閉まりはじめる。

エレクトロニック ドアマン が設けられていないかごでは、かごが呼びに答えて停止するたびに、出入りする乗客の多か(家)にかかわらず常に一定時間戸を開いておく必要があるが、この時間を短くしすぎると乗場の待客はかごに乗り込むために走ったり、あるいはかごに乗り損なったりすることがあり、またこれを救うために戸が開いている時間を長くしすぎると1周時間が伸び運転効率を低下させる。エレクトロニック ドアマン が設けられた場合には、常に戸が開いている時間を乗客が出入りするための必要最少限に保つことができるので、運

転効率を  $5\sim10\%$  高め,またとびら安全装置として乗客の安全を確保する。

(4) エレクトロニックドアセーフティ (特許出願中)

かごの戸の前縁に アンテナ板が設けられ、戸の先端の約100 mm 以内に乗客が接近したことを検知すると、閉まりつつある戸は乗客に触れずに直ちに停止し再開する。

この装置はアンテナの対地容量の時間に対する変化率を検出するばかりでなく、時間おくれを持たせた負帰還により「リフトを自己補償する当社独自の方式であるので、高い検出感度を有し安定な動作が得られる。

この装置の万一の故障に備えて、 メカニカル な セーフティ 機能を備え 安全性をいっそう高めている。

本装置は無接触で障害物を検知するのでドアの先端からの突出量を小さくでき、 また合成樹指の シュー を使用しているので意匠的にもすぐれたものになっている。

#### 3.4 その他

MARK II 方式では常に乗客に迷惑をかけないよう細心の注意を払っている。代表的なものとして次のものがある。

## 3.4.1 自動応急処置

エレベータ に万一異常があった場合でも、エレベータバンクの機能がなるべく低下しないように、また乗客に迷惑をおよぼさないように、同時に復旧を早めるために自動的に次のような応急処置をとる。

- (1) 出発管理装置が故障すると補助出発装置に切り換わり,支障なく運転を継続する。
- (2) 管理回路の電源に故障がおこると、管理回路は直ちに励磁機電源に切り換えられ運転を継続する。管理盤上に電源の故障を知らせる表示灯がつき、同時にベルがなる。
- (3) 出発すべき状態にあるかごが、何らかの原因で出発が一定時間遅れると、そのかごを群管理運転からはずし、他のかごの運行に影響を与えないようにする。さらに一定時間出発がおくれると、管理盤上の表示灯を点灯させベルが鳴る。出発を妨げていた原因が取り除かれると、かごは直ちに出発し群管理運転下に入る。
- (4) かごの戸が何らかの原因で開かなくなると直ちに次階へ走行し戸開きをくり返す。下方出発階へ戻っても戸が開かなければ、管理盤上の表示灯がつき ベル がなる。下方出発階では戸は外から開けることができる。

## 3.4.2 その他

- (1) 主電源が消失すると エレベータ は停止するが、電源回復時には電動発電機を自動的に半数ずつ起動させるので、電源しゃ断器のトリップを防ぐことができる。
- (2) 一般に出発階における非先発かごは、戸を閉めて待機するので誤まって非先発かごに乗り込んだ乗客はかごに閉じこめられることになる。またこのようなかんずめをさけるために、非先発かごでもかご呼びが登録されたら出発させるような対策をとると群管理が乱れることになる。MARKII方式では、非先発かごに乗客が乗り込み、かご呼びを登録すると戸を開き、乗客が乗り換えられるように細心の注意が払われている(特許)ので、群管理の機能もそこなわれず、また乗客に迷惑をおよぼすこともきわめて少ない。

#### 4. 設備上の注意事項

最近の ビル の大規模化・超高層化に伴って、 ビル の経済性を大きく左右する エレベータ 設備の使命はますます重要になりつつある。 ビ

ル における エレベータ 設備の良否は、これまで述べてきたような群管 理機能の優劣に左右されることはいうまでもないが、さらに、エレベータ 自体の性能を最大限に発揮させるための設備計画すなわち エレベータ の配置、 乗場表示その他の適否に依存するところが大きい。

たとえ、群管理機能が非常に優秀であり、 エレベータ の運転が合理 的に行なわれていても、設備計画に疎漏があり、その配置が悪く乗 りにくい エレベータ であっては、利用者にとって決して満足できる サ ービスとはならない。これらのすべてが適切かつ合理的であって、は じめてすぐれた エレベータ 設備と言えよう。

本節では ASP-A MARK II 方式の性能を最大限に活かし、エレベータ 群にビルの縦の交通機関としてその能力を十分発揮させる ために、その設備計画段階において特に注意しなければならない事項について説明する。

#### 4.1 サービス階の分割の問題

大規模な ビルで複数の エレベータバンクが設備される場合には、一般 に サービス階を低層行と高層行あるいは低層行、中層行および高層行のように分割することが望ましい。複数の エレベータバンク で同一階層 を サービス させると、 各 バンク の負荷に アンバランス を生じ、また各 バンク が近接していれば乗客は両 バンク の乗場 ボタン を押すため、かごのむだ運転・むだ停止がふえ サービス の低下はさけられない。また、サービス 階が多いと個々の エレベータ の実際の停止数のばらつきが増し、1 周時間の変動が激しくなり、 エレベータ の運転間隔の乱れが増大する。

分割により エレベータの サービス 階を少なくした場合には、高速 エレベータを効果的に利用できるため、1 周時間が減少し、輸送能力が著しく向上し、また運転間隔のばらつきも減少する。その他、昇降行程の短縮、乗場数の減少による設備費の低下、低層または中層の機械室の上部が有効に使用できるため貸室面積の増大など分割による利点は大きい。1 バンクの エレベータが受け持つ サービス階は、8~15 階床が適当とされている。

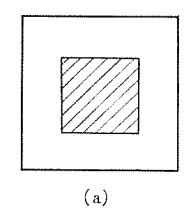
なお、サービス階の分割にあたっては、分割された相互の層間の交 通がないように十分考慮することが必要である。たとえば、同一の 会社が二層にまたがって入居するような計画は不具合であるので、 分割のし方を変更すべきである。

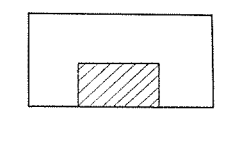
## 4.2 エレベータの位置と配列

エレベータの位置および配列は、非常に重要であるにもかかわらず、従来、外観とか間取りとか建築上の理由で不合理なものとなり、エレベータの機能を十分発揮できない例が案外多い。特にビルが大型化・高層化すればするほどその適否がビルの経済性を大きく左右することになるのでとくに注意を要する。

建物内の エレベータの位置は、主玄関の位置と外部交部機関との関係や、交通動線を考慮して決定しなければならない。なるべく主玄関の近くで、また建物内のどこからでも乗りやすい位置で、しかもエレベータホールの無用の混雑を防ぐため、 主通路と エレベータホール とは分離して設けることが必要である。

建物規模が大きくなり、複数の エレベータバンク が設備される場合には、各エレベータバンクを分散して配置すると負荷の バランスがくずれ、一方のエレベータバンク は余裕があるのに、他方のエレベータバンク は混雑するなど全体の効率を低下させ、特に朝のピーク 時には問題を生じるので、全部のエレベータバンクを1個所に集中して配置するのが望ましい。横長い建物でやむを得ず分散させる場合には、負荷のバランスを慎重に検討する必要がある。





(b)

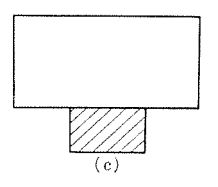


図 4.1 サービスコアの位置 Location of service core.

アメリカの建築家 ジョージ・B・ロジャースによれば建物内のエレベータを含めたサービスコアの位置としては、基本的には図 4.1 の3種類しかないと述べている。このようにすれば、自然にエレベータも集中配置にならざるを得ないであろう。

また、エレベータの配置に関しては、代表的なものとして直線配置・対面配置・アルコブ配置などがあり、それぞれ特長を有している。一般に、エレベータが3台バックまでは直線配置とすべきである。4台バックは直線配置・対面配置・アルコブ配置のいずれでもよいが対面配置かアルコブ配置のほうが望ましい。ただし、対面配置の場合には、エレベータホールが主通路とならないような計画にしなければならない。5台バック以上は対面配置かアルコブ配置にすべきで、直線配置は絶対に避けねばならない。

たとえば、5台 パンク以上で直線配置を採用すると、かごの到着が予報されてから待客がかごの到着までに出入口に近づくことが困難になって、走ってかごに乗り込んだり、乗りそこなったりすることが多くなる。これを救うためには、かごが停止してから戸が開いている時間を延長させるなどの対策が必要となる。また、歩行距離が長いため、待客が違いエレベータには乗らずに近くのエレベータが到着するまで、何度も乗場ボタンを押して待つ場合が多くなり、その結果むだ運転やむだ停止がふえる。このように、台数が多い場合の直線配置は、乗客にとって乗りにくいエレベータとなるばかりでなく、1 周時間がふえ サービスを低下させることになり望ましくない。

エレベータホールの広さ、すなわち エレベータの対面距離については、その最大は歩行距離から決められ 5 mが限度であり、この距離が長すぎると乗りそこないの 5+22 が増し、また エレベータホール にむだなスペース を生じる。その最小距離は エレベータホール に集中する人口から決められる。しかし、対面距離が小さすぎると乗場表示が見にくくなり、さらに乗客は圧迫感を感じることになるので最小 3.5 m は必要である。一般には 3.5 m~4.5 m が推奨される値である。

国電や地下鉄駅に近い場合には、出勤時乗客が波状的に集中し、エレベータホール に混乱がおこる傾向があるが、 これに対処するため エレベータホール を広くすると混雑しない出発階以外のホールまで広 く なり、建物の有効面積が減少するから、このような場合には、出発階や集会室のある階など混乱のお こることが予想される階の エレベータホールの外側に、 図 4・2 に示すようなたまり場を設け混雑を緩和するのが望ましい。図 4・3 は エレベータ の配置例を示している。

## 4.3 乗場表示装置

乗場の表示装置は意匠上たいせつであるばかりでなく,乗場の待客を能率的にかごに誘導するという重要な機能を持っている。無用の表示は待客の注意を散漫にするので,必要最少限の表示にとどめることが望ましい。

MARK II 方式では、乗場表示装置としてホールランタンを標準としている。 インジケータ の場合には台数が多くなると、多数の インジケータ を見比べ、かごの位置と方向から自分の希望する方向で最も早く到

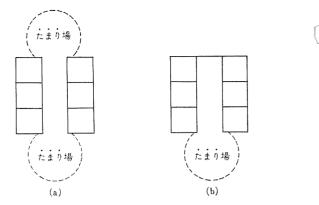
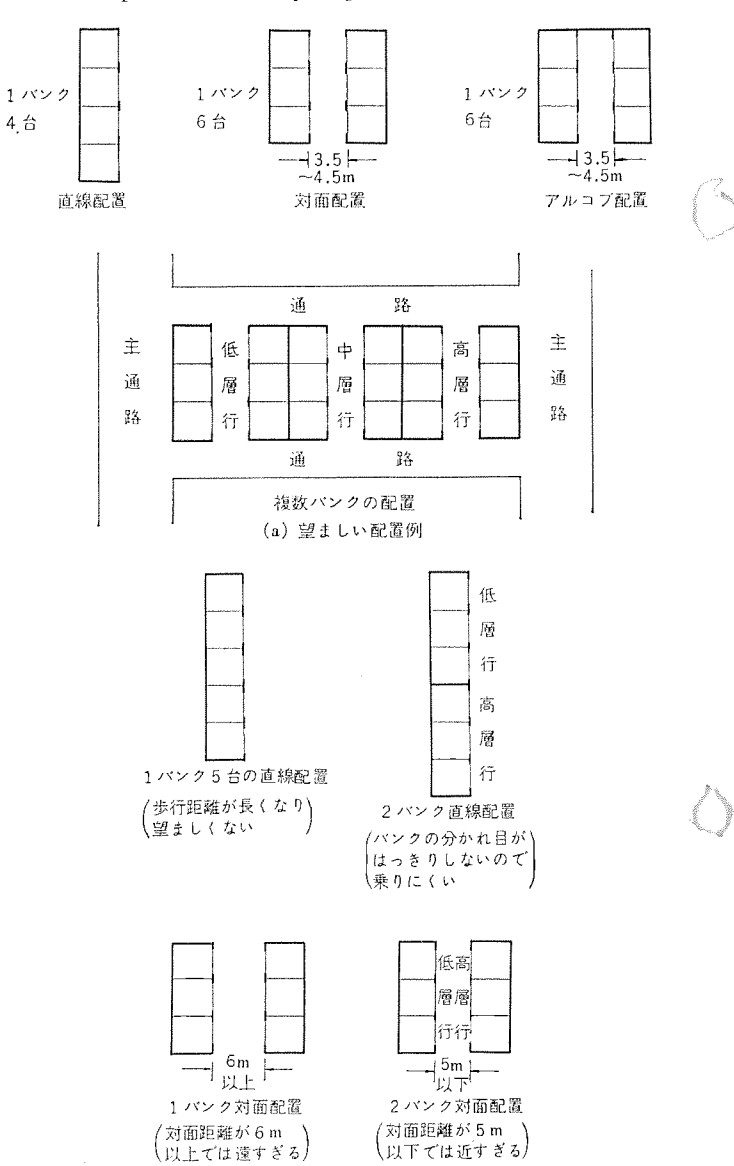


図 4.2 たまり場が設けられた エレベータ 配置例 Example of elevator layout provided for waiting area.



(b) 望ましくない配置例

図 4.3 エレベータの配置例 Example of elevator layout.

着するかごを適確に予測することは困難である。また,予測したかごがその後に他のかごに追い越されたりすることもあり,かごが実際に到着するまで絶えず インジケータ を見比べ, 判断をくり返す必要がある。ホールランタン の場合には, 乗客は自分の希望する方向の ホールランタン の点灯したかごに乗ればよいので, だれにでも利用しやす



い長所がある。 ホールランタン は見やすく, ホール のどの位置からでも 点灯・不点灯の区別がはっきりできるものでないと, その効果は半減するので, ホールランタン の意匠は特に重要である。

このようなホールランタンも,実際にかごが運転しているかどうか不明なため,台数が多く乗場での待時間が短い場合は問題ないとしても,台数が少なく乗場での待時間が長くなると待客の待ち遠しさを増大し,焦そう感を与えることになる。 したがって3台 バンク 以下の場合には インジケータ を併設するのもやむを得ないであろう。 ただし,この場合でも数台分の インジケータをまとめた総合 インジケータを設けるか, あるいは各個の インジケータ の場合には単にかごが運転していることを示す程度の,なるべく目立たないものにすることが望ましい。

#### 4.4 その他

## 4.4.1 サービス階の不そろい

建物内の特定階の利用度が一般階に比べて低いなどの理由から、その特定階を サービス する エレベータ は、 バンク 内の数台に限定するようなことが行なわれがちである。 しかしながら、同一 バンク 内でこのような サービス 階の不そろいがあると、 次の ように全体の サービスを著しく低下させることになるので極力さけるべきである。

たとえば、4台 バンクエレベータ において、地下 2階( $B_2$ 階)を +6 ビス するのは 1 号機のみで、 $2\sim4$  号機は、いずれも地下 1階までしか +6 じるい場合を仮定してみよう。

この場合には、 $B_2$ 階からの乗客は  $B_2$ 階を  $t_-$ ビスできる 1 号機の みを待たねばならず、したがって 1 号機の運転状態によっては長時間待たされることになる。 もともと  $B_2$  階からの待時間の長いことを承知の上で、 $t_-$ ビス 台数を滅らしたのであっても、実際に使用してみると、長く待たされることに対する  $2\nu_-$ ムが相当出ることが予想される。

また、 $B_2$ 階へ行こうとする乗客は1 号機に乗る必要があるが、この乗客により登録された乗場呼びに応答するのは1 号機のみとは限らず、 $2\sim4$  号機が応答して乗場呼びを打ち消せば、乗客はふたたび乗場呼びを登録し直さなければならない。このようにして、目的の 1 レベータ がくるまで相当長時間待たなければならない場合が生じ

る。一方、この乗場呼びに停止した目的以外の ェレベータ は、その階で乗客の出入りがなければむだ停止したことになる。このように、エレベータのむだ停止が多くなると1周時間が長くなるので、他の階の乗客の サービスまでも低下させることになる。

以上,地下に不そろい階がある場合を例にして説明してきたが,地下に限らず中間階における不そろいがある場合も同様である。終端階・中間階を問わずサービス階は極力そろえることを推奨する。

サービス階が13停止で、4台パンクのエレベータが納入されている ビル において、3台が地下1階まで、残り1台が地下3階までサービスしていたものを、サービス階を全号機そろえて4台共地下1階までサービスさせるように変更した場合、平均待時間が平常時で15%、出勤時で25%短縮した実例がある。

## 4.4.2 入館口が2階床にまたがる場合

地下鉄・地下街などの関係で ビルへの入館口が1階および地下の両方にまたがることがあるが、この場合には、エレベータ だけで ビルの交通需要を処理しようとしても、両方の階床からの入館者の比率が絶えず変動するため、各 エレベータ 間の負荷の アンバランス が生じ、むだ運転がおこりやすくなり、能率よい運転を行なうことはできない。一般に1階床より入館する場合に比較して、15~30% 程度の輸送力の低下をきたすことになる。換言すれば、出勤時の所要輸送力を満足するためには、エレベータの台数を15~30% 増設する必要がある。

このような交通に対しては エスカレータを併設し、エスカレータで1階 と地下階とを結び、エレベータの出発階を一方の階に固定するのが、最も効果的な方法である。

#### 5. む す び

以上、新しく開発された三菱 ASP-A MARK II 方式について、その特長・動作・設備上の注意事項の概要を説明してきた。全自動 群管理方式 エレベータ は、最近特に超高層化・大規模化しつつある建物の、縦の交通機関として非常に重要な役割を果たしているが、このような エレベータ を適用する際の選択のご参考になれば幸いである。

## 新形エレペット

山田春夫\*

New Elepet

Inazawa Works

Haruo YAMADA

Of a chain of social policies of the present day, redevelopment of cities and construction of residences have been in the limelight. Along with this situation, a trend has become conspicuous to turn small and medium scale buildings under new projects higher storied. To meet a new phase of the situation, Mitsubishi has expanded greatly the range of the capacity and speed of the old standard Elepet. Simultaneously the Company has set up a new system to divide the installation into two groups : one for residential use and the other for general passenger use. Each group is imparted with features so that they satisfy a variety of designs of the new age. gives brief description on the specification of new Elepet and the principal aim of the development.

#### 1. まえがき

当社の標準形 エレベータ である「エレペット」は、 発表以来 約10年の あいだ中小 ビル向けとして、国の内外を問わず広範囲な需要にこた えてきた。

さて,今日の建築界の動向は,高層化へと急激な変貌の様相を呈 し,従来の エレペット の範囲で充当することが不適当となってきたこ となどの推移から、当社は、 かねてより独自の立場で新規系列 エレ ベータの企画検討を進めてきた。たまたまときを同じくして今回 JIS 改正の機会に、「住宅規格形 エレベータ」と「標準乗用 エレベータ」 に区 分体系づけて、業界に先がけて本年初めに「エレペット R 形」を発表 し、いわゆる都市住宅の髙層化計画に対応した。

引き続いて一般ビル用の「エレペット」について、従来の規格形の殻 を破り容量(定員)と速度の適用範囲を、それぞれ大幅に拡大した ものを発表した。

以下、それぞれの系列について、概略仕様および特長、技術的内 容について説明する。

## 2. エレペット (標準乗用エレベータ)

一般ビルの建築計画は、ますます多様化の一途をたどっており、 一方総合的な合理化がきびしく追求されてきた。この多様化に対応 してそれぞれの適用条件を満足する仕様内容、すなわち広範囲な標 準 デザインの採用, 定員範囲の拡大, 工期短縮ならびに ビルの高層化 に対処する高速化などを行なった。 これにより、従来 オーダメイドの 範囲であった エレベータ をかなり広く規格形化して需要家の便宜を計 ることができた。

## 概略仕様

機種の設定については新 JIS 案によっているが、これには過去の 実績と推移の傾向が十分に は握されており, 生産性および輸送能率 の向上が期待されるものである。表 2.1 を参照されたい。

なお、「輸出用 エレペット」については、実績に基き別途に専用機種 が設定される。

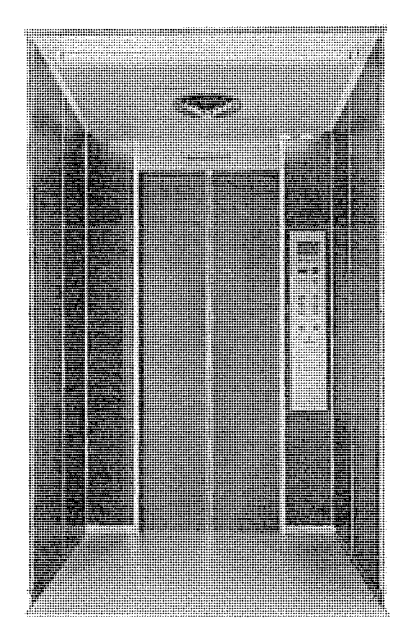


図 2.1 エレペットデラックス かど室 Cage of Elepet de-luxe.

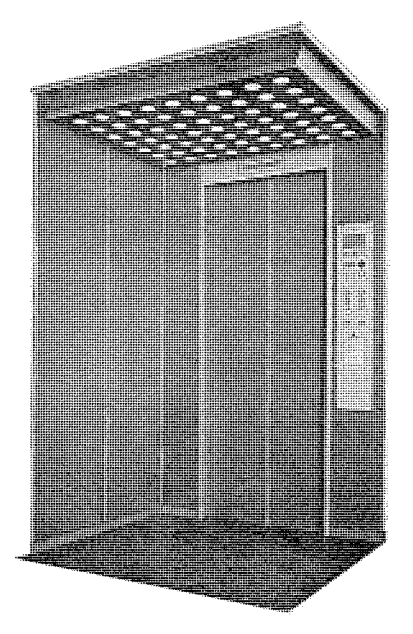


図 2.2 エレペットデラックス Cage of Elepet de-luxe.

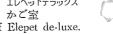


表 2.1 標準乗用 エレベータ の概略仕様一覧表(エレベット 形) List of brief specification of standard passenger elevators.

⊐- F No	定員	量 量 量	速度	駆動方式	操作方式	戸開閉方式	かご室寸法 問口×奥行	出入口寸法 幅 × 高 さ	昇.降路寸法	最大昇降行程	
	名	積載量 kg	m/min		1		mm	mm	mm	m	
			30	AC-1						30	
P~6-2 S 6 4	400	45	AC-2	AC-1	2 S	1,150×900		1,500×1,550	40		
			60	AC-2	2 BC	2 板戸片開				50	
			30	AC-1	2 C-2 BC	BC 電動式				30	
			45	AC-2	AC-2		1,400×1,100		1,750×1,700	40	
P-9-CO	P-9-CO 9 600 60 AC-2 2 BC 90 2 C-2	600 60	60	AC-2	2 BC					50	
		2 C-2 BC	со	800×2,100							
		ALEXA DE LA CALLANTINA DE	105	DC-GD	3 C-2 BC 2 BC(AS)	2 枚戸両開		1,850×1,750	1,850×1,750	60	
	of the state of th		30	AC-1	1	2 C-2 BC(AS) DC-GD 1,400×1,100	電動式			30	
			45				DC-GD 1,400×1,100		1,750×	1,750×1,950	40
P-11-CO	11	750	60	AC-2	i .			,400×1,100		50	
		90	DC-GD 2 C-2 BC								
			105	DC-GD	DC-GD 2 C-2 BC 3 C-2 BC				1,850×2,000	40	
P-13-CO	13	900	90	DC-GD	2 BC(AS)			~~~~~~~~~~~~~~~~~~~~~~~~~~~~~~~~~~~~~~			
1 .0 00		700	105	DC-GD	2 C-2 BC(AS) 3 C-2 BC(AS)	2 C-2 BC(AS)	1,600×1,350	2,100×2,100 900×2,100	2,100×2,100		
P-15-CO	P-15-CO 15	1 000	90	DC-CD			1 (00 )			60	
P-15-CO 15	,5	15 1,000	105	DC-GD			1,600×1,500		2,100×2,250		

## 3. エレペット R 形 (住宅規格形エレベータ)



図 3.1 エレペットR形 プレハブ搬入要領実態 Actual circumstance of carrying in Elepet type R pre-assembly.

「住宅規格形 エレベータ」は、 従来より日本住宅公団向けを中心として各方向に広くご採用願ってきたが、集合住宅の高層化に備えて、特に速度およびかご室寸法について大幅な改良を加え、同時に建築のプレハブ化に足並をそろえて、エレベータ 側も据付作業の全面的な合

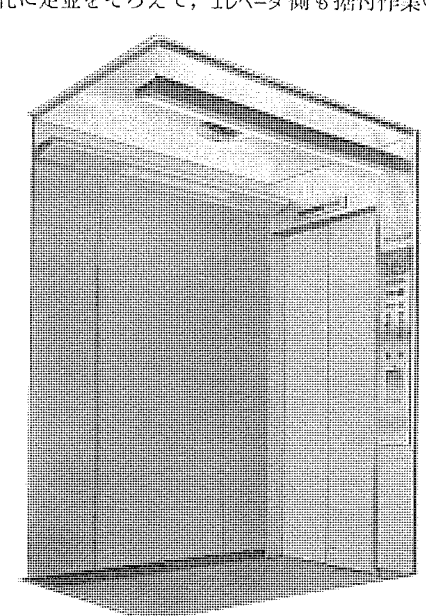


図 3.2 エレペットR形かご室および乗場 Elevator cage and entrance of Elepet type R.

表 3. 1 住宅規格形 エレベータ (エレペット R 形) の概略仕様新旧対照表 Old and new contrast list of brief specification of standard residencial elevators.

⊐- F No	定員名	容 kg	速度 m/min	駆動方式	操作方式	戸開閉方式	か ご 宝 寸 法 間口×奥行 mm	出入口寸法 幅×高さ mm	界降路寸法 mm	最大昇降行程 m
			(30)	(AC-1)						(30)
R-6-2 S (P-6-SS)	6 ( 6)	450 (400)	45 (45) 60	AC-2 (AC-2)	2 BC	2 枚戸片開き	1,050×1,150 (1,200×900)	800×2,000 (700×2,000)	1,500×1,700 (1,700×1,350)	60 (50)
			90	DC-GD	2 C-2 BC	電動式				80
			(30)	(AC-1)	3 C-2 BC (2 BC)	/1 枚戸片\				(30)
R-9-2 S (P-11-SS)	9 (11)	600 (750)	45 (45) 60	AC-2 (AC-2)	(2 C~2 BC)	開き電動	1,050×1,520 (1,200×1,500)	800×2,000 (800×2,000)	1,500×1,900 (1,850×1,750)	60 (50)
			90	DC-GD						80

注:上表中( )内表示は旧形機種の値を示す。

理化すなわち プレハブ 化を図ったことが、このたびの開発における最大の主眼である。

#### 概略仕様

JIS 改訂委員会で慎重討議された結果をその仕様に反映したもので、表3.1の新旧対照表を参照されたい。

## 4. 開発および改良の要点

設置 ビル に対する エレベータ としての不可欠な基本的要素, たとえば全機器の耐用年数, 静粛な運転性能等々については, 特に述べるまでもなく十分配慮されている事柄であるので, 今回特に意をそそいだ点についてのみ下述する。

#### 4.1 高速化

高層化による ビルの価値は、 従来にも増して設置される エレベータの運転効率と信頼性で評価されるといっても過言ではなく、当社は この点に留意して、 最高速度については、「エレペット R 形」に毎分 90 m、「エレペット」は毎分 105 m を適用し、最大昇降行程は 80 m まで適用可能とした。一方、最大定員については、「エレペット」では、この種の エレベータ としては画期的ともいえる 15 名乗りを実現した。なお、安全性については、徹底した確認を行ない経済的で、信頼性の高いものとしている。

## 4.2 基本寸法の統合

製品の コスト 面については、 次の手段を用いて生産性を高めると とにより合理化を計った。

- (1) 機種の整理統合を行なった。
- (2) エレベータ の基本寸法であるかご間口, ドァ 方式, 有効出入口幅の単純化

従来の エレペットでは 5 機種の定員に対し、ドア方式をおのおの 1 ~ 3 種づつ適用して合計 9 種のかご サイズとなっていたが、「エレペット」では定員 5 機種に対しかご床間口寸法は設計値で 3 種、出入口の種類は 3 種に単純化された。すなわち、部品の共通化、量産化による品質の安定性その他製造手配の簡易化など管理諸面にわたって徹底した合理化を実施した。

「エレペット R 形」では、かご床寸法を変更して、従来の特定の家具類の運搬の不便さを解消したことと、さらにご要望によっては、「トラックつき」を標準選択仕様に含めて棺や担架などが支障なく運べる設計を採用している。

#### 4.3 技術面における改善

## (1) 防音, 防振対策の強化

これについては、昭和42年に機械室および昇降路内に設置する機器の全般と、かご室ならびにかごわくなどについて抜本的に改良してから以降解決しているが、今回さらにその効果を高めるために、機械室における防振据付方式の改善と、昇降路内への空気伝達をしゃ断するために開口部を最小限にしたことで、完全なまでに向上した

## (2) 高速化に対する技術

高速と乗りごこちおよび着床誤差の許容範囲の問題は、相反条件として、従来より絶えず技術的研究の対象となっているところである。この種のエレベータが設置される建物では、階床間隔が短い場合が多く、従来高速エレベータの設置は困難とされてきた。これに対して技術的研究の結果、セレクタ、リレーを含めた制御回路について独自の方式を開発し、短い階床間隔のビルに対しても高速エレベータの適用を可能とした。

#### (3) 工期短縮

最近の建築工期の短縮は著しいものがあり、エレベータ についても 全般的に納期の短縮が要求されている。これに対しては受注時から 工場生産および据付まで全般の合理化について、研究を重ねておお すねその目標を達成した。

その具体的な内容は次のとおりである。

- (a) 生産性の向上に重点をおいた標準機種の整理統合により、 顧客との商談引合から生産までの各セクションの省力化が実現された ばかりでなく、計画生産の道が開けたことで納期短縮の可能性が高 まった。
- (b) 据付合理化を計るため、特に配線の合理化、輸送方法、C ん(梱)包の改善などに至るまで多角的に究明して改善した。

ことに「エレペット R 形」については、多くの困難を排除して、乗場ユニット化を完成した。この方式の採用により従来複雑に入り組んでいた エレベータ 乗場機器と建築駆体仕上げとの関連が簡略化され、据付作業の時期短縮、品質面での向上を含めて理想的な効果をあげることができた。また、かご関係についても要求があれば、全部を工場で プレハブ 化して据付現地への一体輸送を行なうこととした。これによれば現地での組立作業は極少となり、工期短縮の効果をあげ得ることは、すでに納入工事で実証済みである。

## 5. 意匠デザインの多様化

従来の「エレペット」の意匠 デザインは、エレベータの本来の機能を満たすとともに、建物施設のいかなる インテリヤデザイン に対しても、 うまく調和をして十分役立ってきたものと確信している。それはこのデザインが、どのような環境の ビル 内装にも、素直に受け入れられていつまでも飽きない、いわば、開放的な軽快さという「ふんい気」を重視してきたからであると考える。

しかし、時代の推移により建物の性格、用途の多様化のすべてに対処するために、「エレペット」に、高速 エレベータ を設けた機会に、かで室・乗場関係とも従来の標準意匠 デザイン に加えて、いわゆる ワイドセレクション 方式を確立した。

なお、防火上の規定に関しては、すべて法規に準拠した標準設計 をしてあるので問題はない。

## (1) かご室関係

「エレペット R 形」については、住宅専用という主旨から落ちついた「ふんい気」となる半間接照明形を採用して、完全な標準形とした。「エレペット」については、 従来は一般用、 高級用の 2 種類のみであったものを、今回はこの他に、重厚さ・優雅さ・格調高さなどの好みに合った新デザインを加えて、4 機種の標準形を設定した。

- (a) かご室壁,かごの戸の内装仕上げは,いろいろな方法があるが従来から最も信頼を得ている メラミン 化粧板ばりとして,色調は単色系および木目模様の 2 種類を標準とした。また エレペット 意匠の特長となっている アルミ 製目地金具,その他 アルミ 部品の色調もこれに マッチするものとした。
- (b) 意匠 テサイーンの良否の基調となる天井照明部分については、アクリグローブを使用しての直接照明方式、アルミナスルーバーによる全面光天井方式、つり天井形の間接照明方式、ダウンライトによる半間接照明方式の4種類が選択できる。また換気装置には、天井の構造に応じて、直接・間接送風の両方式が選択できる。
- (c) かご操作盤は機能品であると同時に, かご室内のポイントと みなされる。 当社独自の技術開発による 10 mm 厚の フェースプレートと

新リセス形行先押しボタンを組み込んだ操作盤は、今までにない豪華 さと重厚さを表現している。

## (2) 乗場関係

従来の シンプル な基本形の三方わくは、すべての建物の各種の インテリヤデザイン に マッチ することは、 現在までの長期にわたり採用されていることで十分実証されているが、 今回「エレペット」について、下記の標準選択仕様ならびに 付加仕様の 範囲を加えて、 エレベータホールの デラックス 化・多様化に対処できるようにした。

- (a) 出入口階に対しては,豪華な幕板付三方わくを高速 ェレベ- g の標準とした。 この意匠では,三方わくの竪わくを д  $\pi$   $\pi$  とし 奥行幅は可変とした。
- (b) 鋼板塗装製基本形三方わくと同形の ステンレス 製わくも要求 によっては採用できるようにした。
- (c) マルチカーの設置の場合に、ホールランタンシステムも採用できるようにした。

次に、「エレペット R 形」については、幕板付式 および 標準形式の A形・B形の2系列を プレハブ 標準化したことで、1台または2~3台の併設のいずれの場合にも、三方わくは中間 パネル を含めて、 工場で完全に組立完成のうえ、据付現地に搬入されるので、 意匠 デザイン および機能面における総体的な品質の向上に寄与できた。

## 6. む す び

当社のこのたびの新形 エレペットは、これまでの規格形 エレベータの概念を一掃して、品質・性能面はもちろん、より速く、より大きく

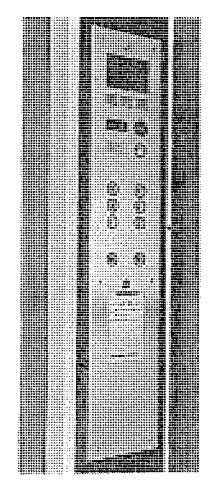


図 6.1 かど操作盤 Car operating panel.

そしてより良い意匠 デザインをという要求に対して、十分に満足いただけるものとなった。これにより今までよりいっそう広い範囲で各種 ビル に採用いただけるようになったと確信している。「エレペット」は今や当社 エレベータ 生産の過半数を占める重点機種でもあることと、これに寄せられる幅広い顧客各位の信頼があることをつねに念頭において今後も既往に満足することなく、技術革新時代にふさわしくよりいっそう積極的に研究を積み重ねてご期待にこたえる所存である。

## 屋外用エレベータ

小林 憲太郎\*・伊 藤 拓 三\*

## Outdoor Elevators

Inazawa Works

Kentarô KOBAYASHI • Takuzô ITO

With the changes of the aspect of cities in Japan where skyscrapers are mushrooming, elevator engineering is making a rapid progress. However, ordinary elevators are installed in shafts with closed surrounding in buildings. Under this environmental condition all the techniques have been developed. On the other hand, a new demand of setting up outdoor elevators exposed to natural conditions has been coming up recently. To meet the requirement, it has come in necessity to have special countermeasures from the conventional techniques suited to the indoor installation. This article describes examples of the outdoor elevators, for instance built along with super high smoke stacks of a thermal power plant, also giving a few comments on the study of this new trend.

## 1. まえがき

とれら ビル に設備される エレベータ についても、必然的に超高速度 サービス が要求され、われわれの技術もこれにこたえてきた。

さて以上に述べた超高層 ビル用 エレベータ の例においては、いずれもその設置条件が屋内昇降路内で普通環境のもとに運転されているものであり、屋外の自然環境に露出して用役に供されるものとは異なっている。

本文では地上  $200 \, \mathrm{m}$  程度までの前記超高層  $E_{ll}$  に匹敵する高さをもち,かつこれが大気に露出した特殊環境において使用される屋外用鉄塔  $E_{ll}$  について,自然環境対策などの概要を中心に  $E_{ll}$  の実施例にふれて説明する。

## 2. 屋外用エレベータの適用

屋外用 エレベータ が計画されるものの事例としては、すでによく知

表 2.1 屋外エレベータ仕様の例 Specifications of outdoor elevators.

	名古屋テレビ塔	東京タワー	初日放送タワー	東電姉崎火力発 電所
用 途	乗用(展望)	同 左	同 左	人尚用 (煙突保守用)
駆動方式	直流可変電圧 歯車式	同左	直流可変電圧 歯車なし式	直流可変電圧 歯車式
操作方式	カースイッチ コントロール	シングルオート マチック	カースイッチ コントロール	シングルオート マチック
定格速度	60 m/min	同左	90 m/min	间左
定格積載量	1,200 kg, 定員 16 名	1,000 kg, 定員11 名	1,800 kg, 定員 27 名	400 kg, 定員 5 名
昇降行程	67 m	85.6 m	94.8 m	176.4 m
かど構造	フレーム付構造 (展望窓付)	同左	同左	フレーム付構造 (展望窓なし)
ドア方式	手動 2枚戸中央開き	手動 2枚戸片開き	手動 2枚戸中央開き	手動 2枚戸片開き
かどへの 給電方式	トロリー方式	ケーブルダクト 方式	トロリー方式	ケーブル方式 (ダクトなし)

られているように、 エレベータの昇降を通じて変化する屋外展望の妙を乗客に サービスする目的のものがある。この目的に対しては、周囲環境とのつり合いに意を用い、かご室の外観や、内装、展望窓の配置や採光などについての細かい配慮が必要となってくる。

わが国では観光 gp- として親しまれているものが多く, 当社納入による,東京 gp-,名古屋 テレビ 塔,大阪朝日放送 gp- などはいずれもとの例にあたるものである。

次に展望そのものが主目的ではなく、たとえば高所に設置した機器や、または高い構造物そのものを保守サービスする用役に向けられるもので、屋外に準じた自然の影響をうける環境下に設置されるエレベータの例もある。超高煙突保守用エレベータがこれに該当するもので、この場合には展望用と異なり、限定された保守要員の使用が主体となるので、かご室意匠などは実用性に重きを置いた小容量エレベータが選択されることになる。

## 3. 屋外エレベータ特殊要目

屋外 エレベータ は、その機器が直接大気に露出した悪条件のもとで用役に供されることから、一般建物の昇降路内における作動とはかなり趣をかえたもので、各機器に対する特殊対策が必要となる。次に屋外用 エレベータ 一般に要求される特殊事項についてその概要を述べる。

## 3.1 風に関するもの

風による機器への影響は甚大である。発生した風の挙動は複雑であり、構造物との干渉による乱れや遅速の現象を誘発し、一元的にはつかみ得ない態様を示すものである。

エレベータ機器で特に風による振動や風圧の影響を対象に扱う必要のあるものは、主ロープ・調速機ロープ・制御ケーブル・かご室や、つり合おもりなどである。構造物本体のみならず設置するエレベータの各機器に対しても、十分に風対策を織り込んだ余裕のある建設計画を特に念願する次第であり、また風速による運転限界の設定に対しても深い理解を望むものである。

## 3.2 雨水に関するもの

降雨による機器への影響も大きい。降雨のある場合,それが流れ

去ってしまうものより内部に浸透して機器内に長時間たまったり、 または高湿の状態を長びかせるような事象のほうがより注意を要す るものである。

昇降路内に設置される電気機器の接点や端子部分に対する特別な防水保護処置や防せい(錆)対策など、水分や湿気に関する慎重な防護策が必要である。そのほかかご室や乗場設置機器類の防水対策なども重要なことがらであり、必要な処置を施すことになるが、いずれにしても建設計画初期段階における配慮により、容易に解決される面も多いので、この点についても風対策同様のあつかいが望ましい。

## 3.3 その他

普通環境に設置されるものと異なり屋外 エレベータ では以上のほかに防じん(魔)の対策, 海岸地帯での塩害策, 有害 ガス の対策, 耐候性(雪・氷・高温・低温)対策, 防せい 上の処置など屋内普通環境 エレベータ とは異なった多くの技術的対策事項をもっており, 初期計画から施工面に至るまで一貫した指針に基づいて慎重に建設が進められている。

以上屋外 エレベータ 全般に関する特殊検討要目について説明したが, 実施具体例を次に述べる。

#### 4. 超高煙突保守用エレベータ

近年に至り産業の発展は急 テンポ に伸長を続けているが、これに伴い多くの産業公害が発生し、社会問題をかもしだしていることは 衆知の事柄である。多くの地域社会がその発展のために誘致した産業が、ある場合にはかえって公害の源となり社会生活をおびやかしている事例の発生が非常に多い。他方生産活動を営む各事業体も真剣に問題と取組み、改善の方策を打ちたてていることも事実であって、速やかに効果をむすび、快適な生活環境が確保されるようにしたい。ここにご紹介するものは大気汚染の防除対策として、高さ200 mにおよぶ超高煙突の設置により排煙処理を実施している東京電力姉崎火力発電所へ設置した煙突保守用ェレベータに関する事例である。かねてより三菱重工業では超高程の鉄塔形煙突を多数製作されているが、その保守用の目的で当社は多くのェレベータを納入して実績をあげており、その個有の問題につき以下に概要を示す。

## 4.1 超高煙突の概要

地上  $200\,\mathrm{m}$  におよぶ煙突は,従来から市街地でなじまれてきたものとはまったく趣をかえており, 超記録的なものである。 表  $4.1\,\mathrm{c}$  にその概要を示す。 なお煙突保守用  $\mathrm{I}\mathrm{L}$   $\mathrm{L}$   $\mathrm{$ 

## 4.2 風圧による超高煙突の振動

筒身およびこれを保持する鉄塔は、風圧・温度変化・地震などの 自然現象に伴って変位を発生する。静的強度とともにこれ等の外力 に対する安全性の確保が必要になってくるが、鉄塔煙突の振動・変 位はそのまま エレベータ 昇降路の現象としてとり扱われる。昇降路内

表 4.1 煙 突 仕 様 Specification of truss type stacks.

简 身 4.2 m×4 本 排 耀 温 度 130°C	型型		方	欽塔形綱製煙突(2 罐分) 200 m
	筒	:	-	4.2 m×4 本
				130°C 30 m/s

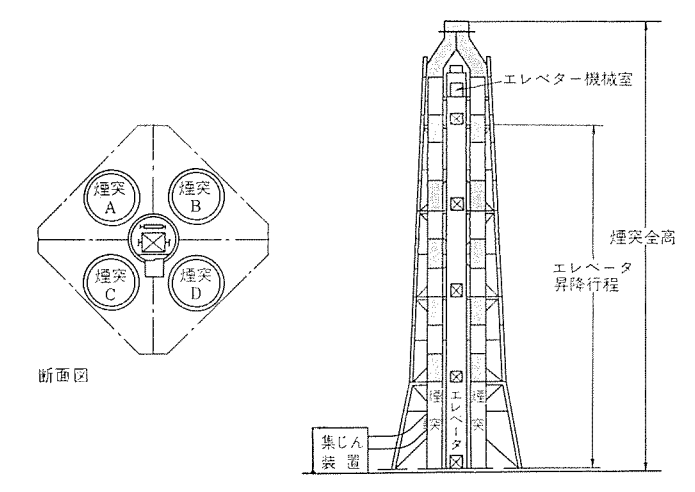


図 4.1 鉄 塔 形 煙 突 の 形 状 外 観 General view of truss type stacks.

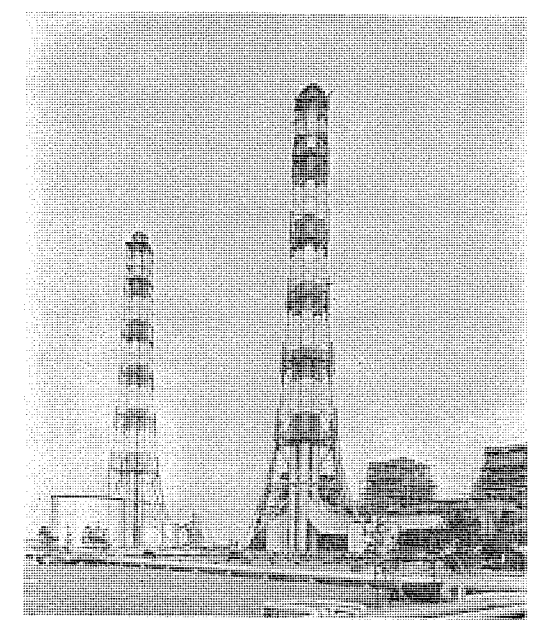


図 4.2 東京電力 姉崎火力発電所 (第1期) 鉄塔形煙突全景 Truss type stacks at the Anegasaki power plant.

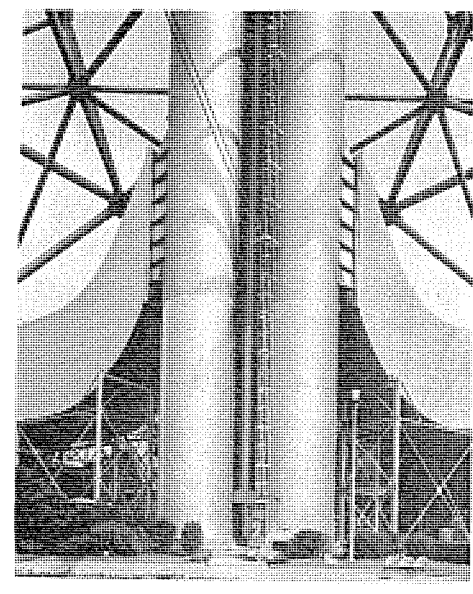


図 4.3 東京電力 姉崎火力発電所鉄塔形煙突下部および 格納 エレベータ

Lower part of the truss type stacks and elevator entrance.

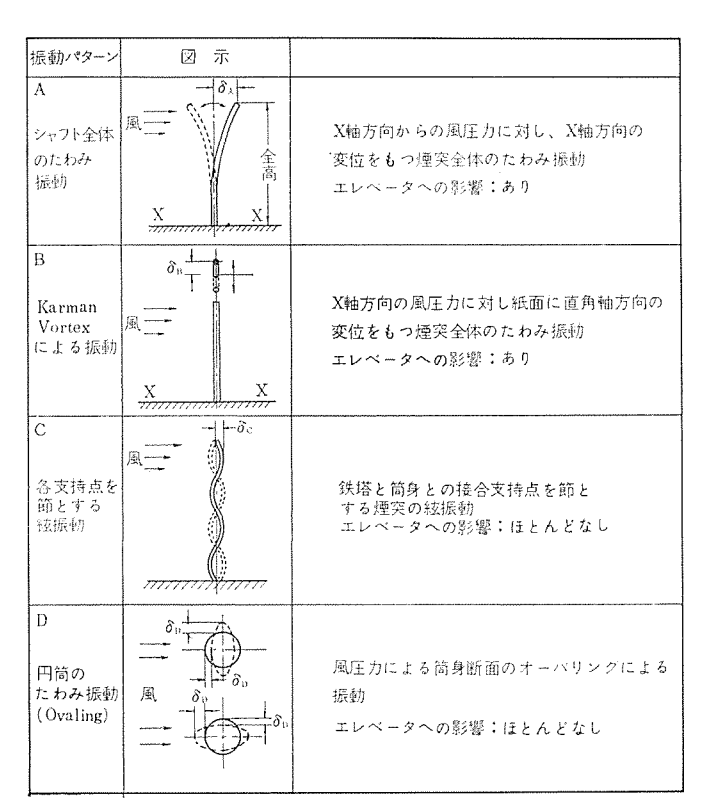


図 4.4 風圧による振動パターン Vibration patterns with wind load.

の設置機器が簡身に追尾して相対変位を生起するところに、技術的 な問題があり対策の重点が存在する。 とこに風圧による 振動  $\mathfrak{t}-\mathfrak{k}$  の一例を示して概要をまとめてみよう。

各パターンの振動数,振幅( $\delta_A$ 、 $\delta_B$ ……)その他関連する諸元について煙突設計側から数値の提示をうけ,これを基に詳細を設定していく段取りとなる。問題を単純化するため類型区分をしているが,実際には多元の振動が合成され複雑な挙動を示すものと考えられる。実施面では  $A \cdot B$  両域の低周波発生パターンの態様が  $I \cup \vec{v} - g$  機器への影響をもつことが判明したので,これら振動に対する共振域をはずすように対策をたて機器の設定を行なった。また実運転後における発生事象の経験や,測定諸元の実績から補正改良の過程を経て,総合的な標準化を整備確立した。

#### 4.3 その他

風圧の影響を中心に機器設定の経過を説明したが、以上のほか本エレベータでは屋外エレベータに準ずる対策の諸項目についても、 もちろん綿密な注意の下に製作し据付工事を実施しているが詳細は省略する。

なお各機器に対する上記諸対策とともに、強風時の措置や運転限 界の徹底など、施設全体に関する管理保全面からの行届いた運用に よってより安全性の高い用役を提供している。

## 5. 万国博エキスポタワーエレベータ

## 5.1 概要

エキスポタワー は、万国博会場の小高い丘(海抜約 60 m)の上に ランドマーク (位置標識)として建設されたものである。塔は菊竹建築設計事務所によって設計されたもので、3基の鋼管 ラチス 柱を主柱とし、これに斜材をボールジョイントで結合したざん(斬)新な構造となっている。 塔全高は 120 m で、この中間 60 m から 80 m の位置に多面体の キャビンが数個取付けられていて、発展する未来の都市空間を象徴

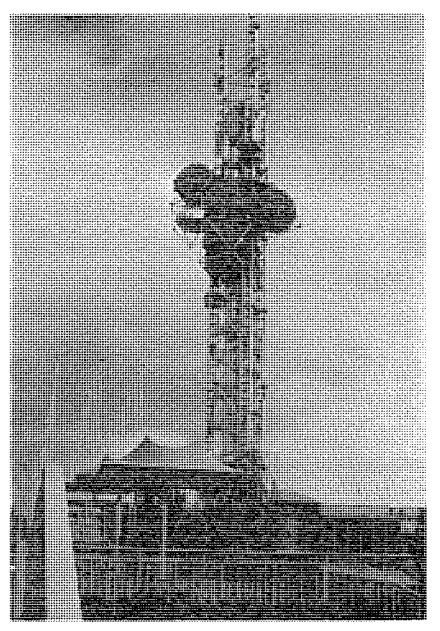


図 5.1 エキスポタワー EXPO tower.

表 5.1 エキスポタワーエレベータ の主要目 Specification of elevator.

設	證	台	数	2 台				
鮲	動	方	弐	直流可変電圧ギヤレス式				
操	作	方	式	カーボタンコントロール				
定	格	速	庭	180 m/min				
容			批	1,950 kg 定員 30 名				
昇	降	ĨΪ	程	74.953 m				
サ	- Ŀ	゛ス	附	G 階, 8 階, 10 階 計 3 個所				
か	ح	檘	造	菱形特殊意匠 セミモノコック構造 展望ガラス窓付 冷房装置付				
F	ア	ガ	式	手勁 2 枚戸中央開き 出入口幅 950 mm 出入口高さ 2,100 mm				
かって	<b>こへの</b>	給電力	įį	ケーブル――ケーブルダクト方式				

している。

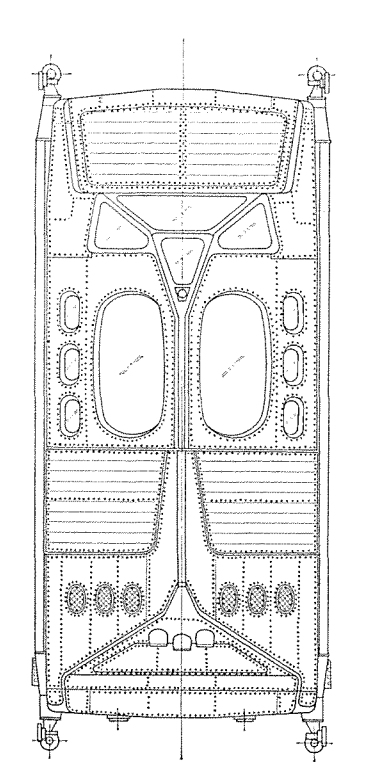
エキスポタワーエレベータ は、 塔基部からこの キャビン までを往復するもので、この塔が会場全体の好個の展望台であることから、開会以来多数の乗客を昇降している。この エレベータ は、屋外露出形としてはわが国最高の分速 180 m という記録品であること、かごの外観 デザイン を重視して セミモノコック 構造を採用したことなど多数の特長をもっている。

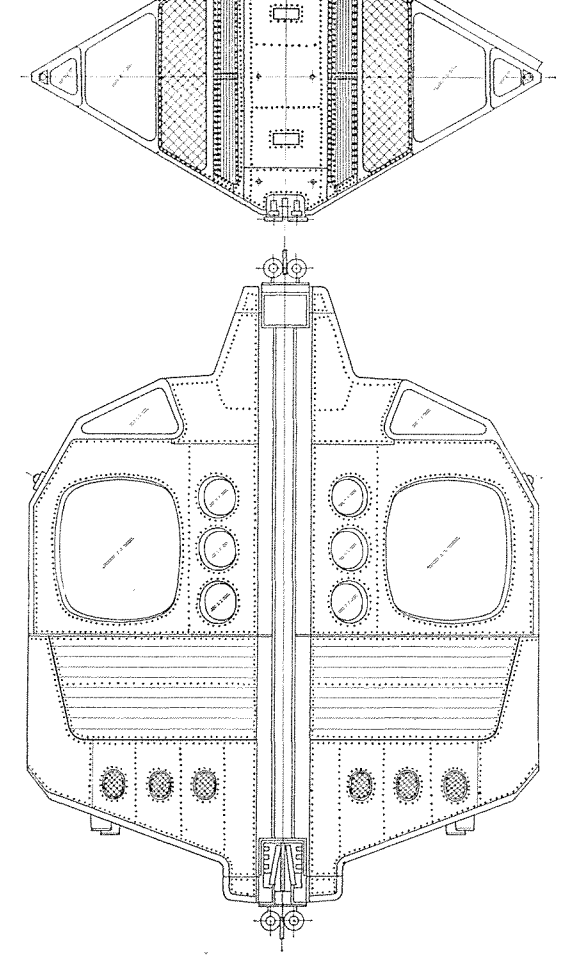
このほか防水・強風対策などの屋外露出形 ェレベータ 特有の問題についても、従来の方法に大幅な改良を加え、各所に細密な技術的配慮を行なっている。

## 5.2 エキスポタワーエレベータの主要目

この塔には、 菱形の床形状をもつ30人乗りのかごで分速180 m の エレベータが2台設置されている。従来、わが国の屋外露出形エレベータの最高速は、朝日放送 タワー の分速90 m であった。このエレベータは、従来の記録をいっきょに2倍にまで引き上げた画期的な高速エレベータである。このエレベータの主要目を表 5.1 に示す。

図 5.2 かご外観 Cage exterior view.





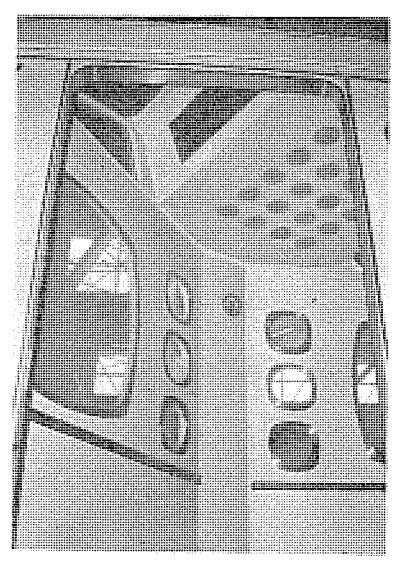


図 5.3 かご内部 Cage interior view.

表 5.2 かご内冷房装置の主要目 Specification of air conditioner.

形式	三菱 MS-22 TB形	2台
冷房能力	2,240×2 kcal/h	
除湿能力	2.0×2 <i>l</i> /h	
且 量	540×2 m³/h	
圧縮機出力	750×2 W	
送風機出力	35×2 W	
	命 房 能 力 除 湿 能 力 風 量 圧縮機出力	<ul> <li>市 房 能 力</li> <li>た 房 能 力</li> <li>2,240×2 kcal/h</li> <li>た 湿 能 力</li> <li>2.0×2 l/h</li> <li>具 量</li> <li>540×2 m³/h</li> <li>圧縮機出力</li> <li>750×2 W</li> </ul>

## 5.3 かごデザインおよびかご構造

通常の エレベータ は、ビルディング 内の エンクローズ された昇降路内に設置されるものであるからかごは人の乗る内面以外はまったく人目にふれることがない。したがってかご外面についての意匠的配応はまったく行なっていない。かご外面には、かご構造の フレーム をはじめドア 装置・着床継電器・電気配線などの付属機器が複雑に 設けられている。 エレベータ はこういった前提条件のうえに発展してきたそのため屋外形 エレベータ として、かご外観意匠を重視しデザインしようとすると、かごの基本構造から付属機器まですべてを根本的に変更した設計が必要になる。従来設置された屋外形 エレベータ は、塔構造のうえからかご外観が比較的人目にふれにくいということもあって、外観デザインをあまり重視しなかったものがほとんどである。外観デザインのために、かごの基本構造まで設計を変更したものはなかった。

エキスポタワーエレベータは、 塔構造が簡潔でかどの外観が人目にふれやすいこと、 塔基部の G 階乗場付近では至近距離でかどが見えることなどから、 付属機器まですべてを デザイン 中心にまとめて新設計を行なった。 かご外観 デザインでは、 建築設計者の イメージを、 エレベータの機構の制約のうえで、 どう生かすかが最も苦心した点である。 建築設計側と十数回にわたって討議を加え、 最終的に決定し実施したのが図 5.2 に示すものである。 諸外国には、 かご外観を デザイン したエレベータ はあるが、 箱形のものがほとんどであるから エキスポタワー のエレベータ の菱形のかごは大いに注目をあびるものと思われる。

この デザイン を実施するため、かごは中央部に クロスヘッド、アップライト、プランク で形成するく (矩) 形 フレーム を組み込み、 これで キャビン

を懸垂する構造とし、かどの キャピン は天がい (蓋) 部・側壁部・床部を一体として応力外皮構造とした。 全体としていわゆる セミモノコック 構造になっている。基本構造を セミモノコック としたことにより骨組が外観デザイン を害することなく、しかも完全な防水構造を実現できた

かご ドア は外観を キャビン 外壁と同一とし、ドア 機構は コンパクト に設計して ハンガーケース 内に納めた。 着床装置は昇降路側に検出部を取り付けて、かごには誘導板 1 枚だけを取り付ける方法とし、かごの外観デザイン をこわさないよう配慮した。電気配線や配管類はすべてキャビン の外装と内装間の スペース に組み込んだ。

かごは内外面ともすべて白色で統一した。昇降する ェレベータ を下から見上げるとき、いちばん人目につく底部外面だけを赤色けい光塗装し、 左右に各3個の集光形 ライトを配置して効果をあげている。

図 5.3 はかごの内部意匠である。 展望用窓を 上面にも設けて頭 上の圧迫感をなくするとともに,昇降路を乗客が見えるよう配慮し ている。

なおこの Iレベータ には万国博の地域冷房の主旨にそって、かど内に冷房装置を装備した。表 5.2 に冷房装置の主要目を示す。

## 5.4 ロープの風による動揺防止策

前述のように屋外 エレベータでは主ロープ・調速機ロープ などが強風時に風圧によって揺れる問題がある。エキスポタワーのエレベータでは塔の立地条件から強風が多いこと、高速エレベータであることなど従来のものと比べて慎重に対処する必要があった。

風による ロープの振れ量を厳密に解析するのは複雑であるので、

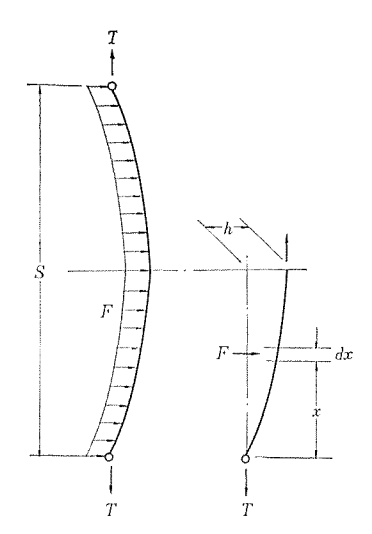


図 5.4 風圧によるロープの静的振れ Static rope deflection with wind load.

表 5.3 式(5.1)による計算ロープ振れ量(m) Rope deflection obtaind from the formula (5.1).

	,	,	II.	速 (m/s)	)
K.	75	10	15	30	60
主ローブ	かご側(無負荷時)	0.3	0.7	2.6	10.5
	つり合おもり側	0.2	0.5	2.2	8.7
調速	機 ロープ	1.3	3.1	12.5	50.5

簡略化して風圧による静的な振れについて考えると次のようになる。 図 5.4 の関係において ロープ の振れ量は ロープ 自由長に 比べて小さいとし、ロープ 自重を無視すると

$$hT = \int_{0}^{S/2} Fx dx = FS^{2}/8$$

$$\therefore h = FS^{2}/8T \dots (5.1)$$

をうる。 ととで F は風圧力, S は  $\Box$ -プ 自由長,h は  $\Box$ -プ の振れ  $\oplus$ 、T は  $\Box$ -プ の張力である。

式 (5.1) によって  $x + 2\pi 890 - x 10^{-1} = 9$  の場合について、0 - j 振れ量を求めたのが表 5.3 である。しかし、名古屋 テレビ塔などにおいて行なった実測例では 式 (5.1) の計算値のほぼ 20 - 30 % 程度の振れ量を示しており、これは実際には、風が塔内を吹き抜けるとき乱流状態となること、および式 (5.1) は一様の風が 0 - j 全長に均一にあたるものとしているが、実際には、風は幅数 m の帯状に吹くものであることなどによるものと考えられる。

このエレベータの運転限界は、地上付近の風速で15 m/s 以下となっており、これ以上の強風時には運転を休止する。まず調速機ロープについて考えると、運転限界風速以下でも振れ量が0.6~0.9 m 程度に達するものとみられるので、なんらかの保護装置が必要である。つぎに主ロープについてみると、運転限界風速では振れ量は約0.1~0.2 m 程度であり、運転状態での保護装置は必要がない。したがって、強風による運転休止中のロープの振れによる事故を防止する対策を行なえばよい。エキスポタワーのエレベータではこれらについて、つぎのような方法を採用し好結果を得ることができた。

## 5.4.1 調速機ロープ保護装置

図5.5にこの エレベータ に採用した調速機 ロープ 保護装置の概要を示す (実用新案出願中)。調速機 ロープ は,セフティ 作動腕側・帰還側とも昇降路中に露出して風圧を受ける部分の全高にわたって,保護ダクト 中に納めている。セフティ 作動腕側の ダクト は作動腕の昇降のために開口部が必要である。 この開口部から ロープ が吹き戻されるの

を防ぐため、間隔的に特殊 ナイロンブラシ を取り付けている。

従来のものは帰還側 □-プにのみ間隔的に案内 □-ラを設けたものであった。エキスポタワーでは、この装置を開発することによって高速の問題も解決し、安全性を格段に向上できた。

#### 5.4.2 主ロープ保護装置

主ロープは運転風速では振れ量が小さく保護装置は不要であるが、運転休止中のロープの振れによって昇降路の機器を損傷することを防止する必要がある。このため強風による運転休止中はかごを最上部に避難させて、つり合おもり側ロープを間隔的にパイプで囲う方法で保護している。

## 5.5 かごへの給電方式

屋外露出形 エレベータでは、トラベリングケーブル を通常の方式で架設すると、風圧による動揺が大きいので、--般につぎのような方法がとられている。

- (1) トロリー線を架設し、かどに取り付けた集電子を経て給電する方法
- (2) トラベリングケーブル を用い、 これを保護 ダクト 中に入れて風から隔離する方法
- (3) かどに蓄電池を積載し、制御信号は無線で行なう方法 とれらはいずれも一長一短があるが、最近は(2)の方法がとら れることが多い。

との エレベータでも(2)の方法を採用したが、保護 ダクトを特殊樹脂被覆 パイプで構成して好結果を得ることができた。 従来の保護 ダクト は一般に鉄板製であったので、 塔に対する風荷重が大きくなり 塔の軽快感をそこなうなどの問題があった。

## 5.6 かごおよびつり合おもりが受ける風荷重の影響

屋外露出形 エレベータでは、かごおよびつり合おもりは風荷重に対して、十分な構造強度をもたなければならないことはいうまでもないが、このほかに次のような事項を考慮する必要がある。

## 5. 6. 1 ローラガイドシュー荷重

屋外露出形 エレベータでは、風荷重によりローラガイドシュー にかかる荷重が通常の数倍になる。このエレベータでは風圧の受圧面積が特に大きいこと、高速であることなどから特殊ローラガイドシューを開発して使用した。

## 5.6.2 巻上電動機出力,トラクションに対する影響

風荷重による ローラガイドシュー 荷重の増加は、 走行抵抗を増大させ

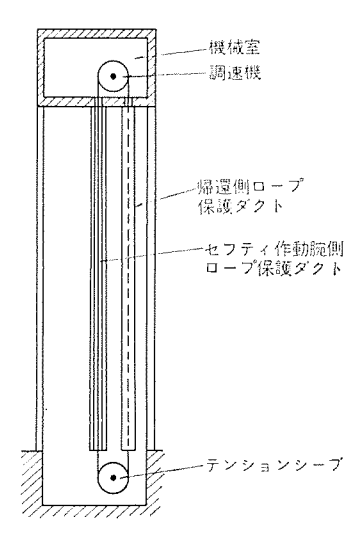


図 5.5 調速機ロープ保護ダクト Protection duct for governor rope.

る。またかご底面を風が吹き上げることなどから巻上電動機出力が 大きくなり、トラクションレシォも大きくなる。これらの点も十分考慮し て計画した。

#### 5.7 防水対策

かどは前述のようにセミモノコック式一体構造としたが、外装板の継目部分、上部 シーブハウス 内の防水対策に特に留意した。 防水 コーキング は主として チオコール 系特殊 コーキング 材を使用して万全を期した。かどの防水施工後、シャワーテスト を行なって確認をした。

屋外形 エレベータでは、かごおよび乗場のドア部分の防水がやっかいな問題である。この エレベータでは、従来のものに大幅な改良を加えた新方式を採用し好結果を得ることができた。

#### 5.8 安全性に対する配慮

昇降路であること、かごが異形であることなどからかごの救出口はかご上に設けることがむしろ危険である。このためかご ドァ にも 1つターロック を設け、昇降路中間では、 キーを用いなければ ドァ を開放することができない構造 とした。 非常救出は、 昇降路中間部に

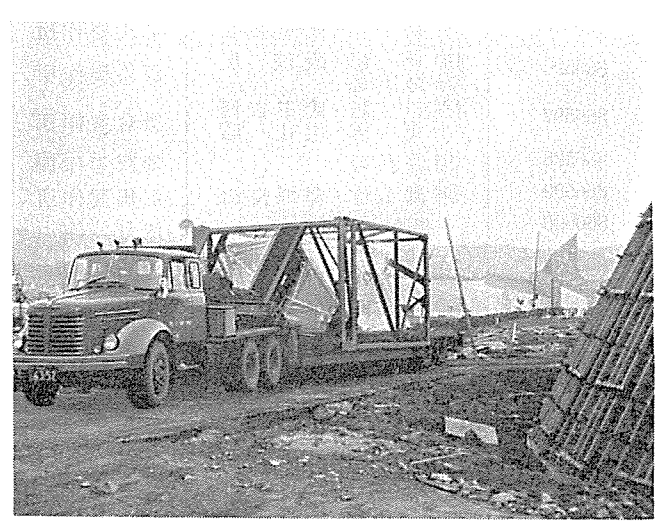


図 5.6 かごの一体輸送 Transportation of elevator cage.

10 m 間隔の救出 = - を設けて,ここでかど = - であけて行 なう方法とした。

乗場ドアの インターロック も万全を期して、非常時の開放は シリンダー錠を キーで解錠する方式を採用している。

### 5.9 加工,組立,輸送

加工上特に問題となったのは、外装板の曲面部分・上部展望窓 サッシ 部分の複雑な形状の製作である。 これらについてはあらかじめ 製作した模型や ゲージ を使用して、 鉄道車両や試作自動車などで行なわれている方法を参考とし、独自の方法を考案して実施した。

かどの キャピン は基本骨組を上部・中央部・下部に分割して 製作 する方法をとった。上部と下部を クロスヘッド, アップライト, プランク で形



図 5.7 <sub>タワー</sub>へのつり上げ搬入 Installation of elevator cage.

成するく形  $7\nu-4$  に固定し、 $4\nu$ じっの中央部を製作していった。基本骨組を完成後、外装板をびょう(鋲)打ちして内装作業へと工程を進めた。

この エレベータ のかごは、デザイン 面からも、据付施工の面からも一体構造としたほうが有利であったので、基本構造を一体形として製作した。これに加えて据付期間が極端に圧縮されたこともあって、かごは、すべての付属機器・配線・配管・内装を工場で組付けて完全 プレハブ 化したものを輸送することとした。

かごの組立、および輸送には、専用台わくを使用した。組立台は、基本骨組の開始時点からすべての加工・組立・試験の工程に共用した。完成出荷時に、組立台上に輸送わくを組み立てかごを固定した。図 5.6 は トレーラ 輸送中のかごである。図 5.7 はかごをつり、塔内へ搬入している状況を示す。

以上に概要を述べたが、現在万国博会場の シンボル として好評裏に 運転され所期の目的を果たしている。

#### 6. む す び

超高煙突保守用 エレベータ および万国博 エキスポタワーエレベータの 実施 例をもとに、屋外用鉄塔 エレベータ に関連する諸問題をご紹介したが、いずれも国際的な記録品あって、高い水準の貴重な経験を積むことができた。超高煙突保守用 エレベータ については、本例に示した第1 期姉崎火力発電所向けに引続き多数のご採用をいただき、それぞれ成果をおさめているが、今後ともますます研究を重ね展開を期したい。

**屋外用 エレベータ・小林・伊藤** 1047

## 

名	登 録 日	登録番号	考 案 者	関係場所
磁気選鉱機の ベルト	44- 3-17	866580	諏 訪 寧・柳下儀兵衛	大船製作所
自動 トースタ	44- 3-17	866581	町原義太郎・新 井 勝 紀	郡馬製作所
自動トースタ	44- 3-17	866582	町原義太郎・新 井 勝 紀	郡馬製作所
電気調理器の温度制御装置	44- 3-17	866853	野畑昭夫・岡上 廉	郡馬製作所
船体磁気測定器検出 コイル 保持装置	44- 3-17	866584	白川善信・岩田 勝	鎌倉製作所
自動トースタのパン供給装置	44- 3-17	866585	高沢正二・古屋芳明	商品研究所
扇風機の羽車着脱装置	44- 3-17	866586	糸魚川佐富	中津川製作所
扇風機の羽根車取付装置	44- 3-17	866587	入沢淳三	中津川製作所
パルス 周波数測定装置	44- 3-17	866588	柳父靖	鎌倉製作所
電気温水器	44- 3-17	866589	祖父江常雄・原 崎 実	郡馬製作所
水銀放電灯	44- 3-17	866590	∫村 井 直 道・土 橋 理 博 岩 林 正 雄	大船製作所
温水器のからだき防止装置	44- 3-17	866591	小原英一・小野健一	商品研究所
膨張式救命いかだの救命標示灯	44- 3-17	866592	山口彰弘	相模製作所
温水器の保護装置	44- 3-17	866593	小原英一·山下紀夫	商品研究所
ガス 煮炊具	44- 3-17	866594	長谷川 清・近藤 政喜	郡馬製作所
温水器	44- 3-17	866595	近藤正司・鶴谷嘉政	郡馬製作所
電気掃除機	44- 3-17	866596	加藤 悟·飯塚 保 角野英雄	郡馬製作所
	44- 3-17	866597	【角野英雄   {喜連川 隆·武市吉博   小野 誠·川上 昭	
複合アンテナ				鎌倉製作所
表示装置	44- 3-17	866598	田井昌輝	神戸製作所
管状発熱体の保持装置	44- 3-17	866599	馬淵公作・慶野長治	郡馬製作所
磁気 モールド 型高周波誘導炉	44- 3-17	866600	安孫子 博	伊丹製作所
メタルコンタクト 型 ロータリージョイント	44- 3-17	866601	大林愛弘·平島和宣 篠原英男·真鍋禎男	通信機製作所
噴霧器の ポップ	44- 3-17	866602	武井久夫・服部信道岩田尚之・森田清司	郡馬製作所
バターナイフ	44- 3-17	866603	町原義太郎・鳥 山 建 夫	郡馬製作所
バターナイフ	44- 3-17	866604	森本飯夫・鳥山建夫	郡馬製作所
バターナイフ	44- 3-17	866605	森本敏夫・鳥山建夫	郡馬製作所
コード 自動巻取装置	44- 3-17	866606	加藤 悟・南日国伸	郡馬製作所
カラーブラウン 管用 シヤドウマスク の支持 バネ	44- 3-17	866607	西野ー男・小磯 寛	京都製作所
電流切換形無安定 マルチバイブレータ	44- 3-17	866608	虚 井 芳 昭・松 原 要	中央研究所
深夜電力利用温水器	44- 3-17	866609	祖父江常雄・根 岸 宣 匡	郡馬製作所
ストリップ 誘導加熱装置	44- 3-17	866610	中村謙三·大崎善彦	伊丹製作所
加熱水槽	44- 3-17	866611	三宅良明·河原隆夫	和歌山製作所
陰極線管	44- 3-17	866612	鷹野 泰·小林弘男	中央研究所
<b>充電表示装置</b>	44- 3-17	866613	平田 毅	佐路製作所
電磁開閉器の固定接触子	44- 3-17	866614	中島治男·太田重明	名古屋製作所
可逆移相器		866615	中原昭次郎・紅林秀都司	鎌倉製作所
周波数切换装置	44- 3-17	866617	片山泰一	
	44- 3-17	866618	民井精三	通信機製作所
マルチバイブレータ	44- 3-17	866619	日野利之	通信機製作所
内燃機関点火装置	44- 3-17	866620		姫路製作所
PNPN 半導装置	44- 3-17	866622	清水潤治・中田伏祐	北伊丹製作所
低騒音変圧器	44- 3-17	866623	自井 満	伊丹製作所
内燃機関点火装置	44- 3-17	866624	三木隆雄	姫路製作所
内燃機関点火装置	44- 3-17		三木隆雄	姫路製作所
電気器具の スイッチ 操作装置	44- 3-17	866625	芹沢伊右衛門・慶野長治	郡馬製作所
ロック 置装付開閉器	44- 3-17	866626	松尾宏之	名古屋製作所
集合制御盤の キャビネット	43- 3-29	867649	{梶田保雄・大矢敏靖 山田忠好	名古屋製作所
自動点滅器	43- 3-29	867657	武田克己·神本明輝	福山製作所
鎖錠装置	44- 4-10	868738	佐藤 一·西迫静隆	名古屋製作所
トランジスタ 点火装置	44- 4-10	868739	三木隆雄	姫路製作所
クラッチ 制御装置	44- 4-10	868740	三木隆雄	姫路製作所
論理演算素子	44- 4-10	868741	<u></u>	中央研究所
無整流子形電動機	44- 4-10	868746	赤松昌彦・大野栄一	中央研究所
**************************************	1 1 10	868770	脇阪吉弘	名古屋製作所



# 特許と新案

時 計 装 置

てとがない。

発 明 者 新 川 成 美

(特許第553884号) (幸島記)

この発明は、常時は電気時計として動作し、停電時にはゼンマイの トルクによって動作するような時計装置の改良に関するものである。

図において, (1) は同期電動機, (13) は クラッチ, (26) は時計の 針, (37) は ぜっマイ, (50) は電磁石, (49) は アックル である。 常時は 電動機(1)の回転によって、歯車(2)(4)(14)、遊星歯車(21)(20) (19) および歯車 (22) を介して針 (26) が回される。 一方, 電動機 (1)の回転は クラッチ (13), ウオーム (7), ウォームホイール (35), ウォーム (36) および ウォームホイール (32) を介して ゼンマイ (37)に伝えられ、こ の ゼンマイ が巻き込まれる。 ゼンマイ の巻込み動作に伴って、 制御子 (38) がねじ軸 (31) 上を矢印 a の方向に移動する。 ゼンマイ が所定量 巻き込まれると,制御子(38)の傾斜部(40)が作動子(41)の爪(43) と係合して押されるので、クラッチ(13)の爪(10)が爪(5)からはず される。したがって、電動機(1)と ゼンマイ(37)の連結は断たれる。 次に、停電すると、電動機(1)が停止し、電磁石(50)は消勢され る。 このため、テンリン (47) と ピン (52) の係合がはずされて、 歯車 (29) の回転が許されるから、ゼンマイ(37)の トルクにより、ねじ軸 (31) が駆動され、その回転は歯車(29)、歯車(17)、軸(16)を経て 太陽歯車(18)に伝えられて、上記と同様に針(26)が回される。一 方, ねじ軸(31)の回転により, 制御子(38)は矢印c方向に復帰移 動し クラッチ (13) の爪 (10) と (5) が再び係合して、停電回復後の 巻き込み動作に備える。この考案によれば、ゼンマイの巻込み量が所 定値になれば、電動機(1)とゼンマイの連結をはずすようにしてい るので、ゼンマイが巻かれたあと、同期電動機が過負荷となるような

## ワイヤボンドレス半導体素子

この考案は、トランジスタやダイオード等の能動素子と、抵抗やコンデンサ等の受動素子とをリード線による結線なしに接続できるようにしたものである。

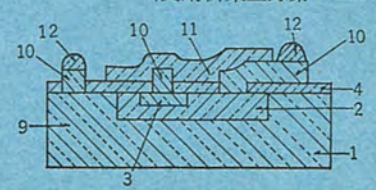
図は トランジスタ の例を示すもので、(1)(2)(3)はそれぞれ コレクタ 層、ベース層、エミッタ層を構成する。 このように構成された素子の全表面を シリコン の酸化膜(4)でおおった後、トランジスタ の各層に対応する部分の酸化膜に穴をあけ、電極材(10)を設ける。

この電極材は、アルミニウムを主体とし、その上面に銅を蒸着して形成されており、いずれもその一部が酸化膜(4)の上面に沿って延長するような形にするとともに、その先端部のみを残して表面がさらに別の シリコン の酸化膜 (11) でおおわれる。

## 考案者 福渡英世·榎本龍弥

その後、酸化膜から露出している先端部にアルミと銅とからなるはんだ電極 (12) を附着して完成される。 このような構造とすれば、従来のこの種素子のように、リード線やリードリボンを使用しないため 断線事故がなくなるし、湿気等の外的環境による悪影響を防止する ことができる。

(実用新案登録第871780号)(八木記)



# 

## ヒューズ筒装着装置

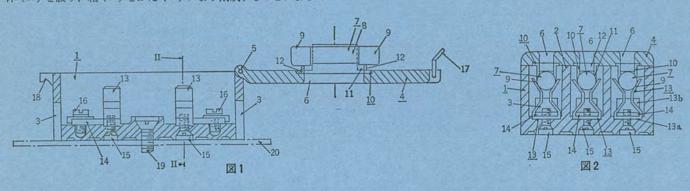
考案者 立石俊夫

この考案は、ヒューズ筒の着脱が容易かつ安全であるとともに、長期使用に際してもヒューズ筒とヒューズ端子との接続が確実で、常に安定した接続状態を維持するヒューズ筒装着装置を提供するものである。その構成は図1、図2に示すように、ヒューズ筒(7)をふた(4)に設けたヒューズ筒保持器(10)に装着し、他方箱(1)に、基部(13a)とこの基部に一端が連続し他端が内方に延出して狭小部を形成する一対の連結部(13b)と、この連結部を介して基部(13a)と連続し外方に広がる接触部(13c)とから成る弾性固定接触体(13)を設け、箱(1)をふた(4)により閉成することによって

 $t_{1}$  七  $t_{2}$  高  $t_{3}$  の金属筒体部  $t_{3}$  を固定接触体  $t_{3}$  の接触部  $t_{3}$  の接触部  $t_{3}$  と  $t_{2}$  が間気的に接続されるよう構成されている。

したがって、tューズ 筒(7)の着脱が安全、容易であるとともに、 従来の クリップ 金具の弾性挟持力によって、tューズ 筒と tューズ 端子 とを電気的に接続するようにしたものにくらべ、より大きな接触圧 力、耐久力を有した tューズ 筒装着装置を得ることができる。

(実用新案登録第879657号)(伊藤記)



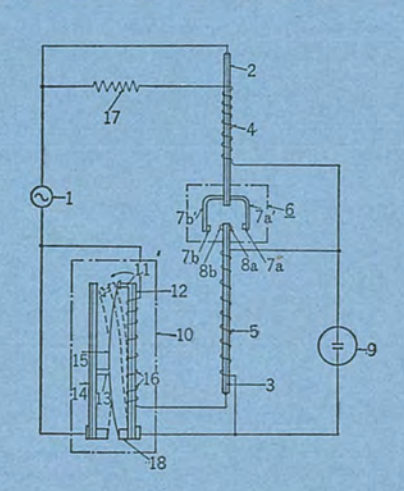
## 電圧変動表示装置

発 明 者 武 田 克 巳·三 好 明 好

この発明は、供給電圧の変動を表示するものである。

図において、電源電圧が規定値より高くなれば、定電圧放電管 (9)の端子電圧はほぼ一定であるので、t-g(5)に流れる電流はほとんど変化しないが、t-g(4)の電流が増加する。 とのため t-g(4)の発熱量が t-g(5)のそれにくらべて増加し、パイメタル (2)が左方にわん曲して、接点 (7a)(8a)が接触する。したがって、t-g(16)が電源に接続されて発熱し、この発熱によってパイメタル (12)が点線で示すようにわん曲するから、可動接触子 (15)が接点 (13)からはなれ、定電圧放電管 (9)の放電が停止する。これによって電源電圧の変動を表示する。また、電源電圧が低下したときにも同様に表示する。

(特許第552796号) (幸島記)



# 22 kV ミニクラッド (固体絶縁開閉装置)

劔 持 宏\*・永田 秀次\*\*・永井 信夫\*\* 桜井 武芳\*\*・信崎 泰秀\*\*・畑 田 稔\*\*\*

## 22 kV Miniclad (Solid Insulation Switchgear)

Tokyo Electric Power Co., Inc. Hiroshi KENMOCHI
Mitsubishi Electric Corp., Itami Works Hidetsugu NAGATA • Nobuo NAGAI
Takeyoshi SAKURAI • Yasuhide SHINOZAKI
Mitsubishi Electric Corp., Kobe Works Minoru HATADA

With the object of improving the power facilities in overcrowded cities, high voltage power transmission lines are led into the heart of urban communities. To secure a large site for such high voltage substations is extremely difficult and power companies are confronted with great difficulty. To cope with the situation advent of super compact substation is keenly hoped for. The Tokyo Electric Power Co. and the Mitsubishi Electric Corp. have worked together closely toward this goal. As the first step to construct super compact installation yet with high reliability and of less labor in building, operating and maintaining, 22kV Miniclad for use on the secondary side of large capacity substations has been manufactured for trial. It was delivered to Mejiro Substation of Tokyo Electric Power Co. in March last year. Thorough inspections were made in last January to prove it quite successful for practical purposes.

## 1. まえがき

都市過密化対策として,都市中心部に高電圧の送電線路の導入が すでにすすめられつつあるが,広大な変電所用地の取得は年々困難 の度を加えており,この対応策として超小形変電所の出現が望まれ ている。

この情勢のもとに、東京電力(株)と当社は共同研究により革新的 技術を駆使して、超小形であるとともに、高信頼度をもち建設・運 転・保守を省力化した超小形変電所の新技術開発を行なうこととな った。

その第一段階として、電力流通設備のかなめである大容量変電所 の二次側に使用する 22 kV 用開閉装置(ミニクラッド)の試作試験を行 ない、実用性能を十分検証できたうえで、東京電力(株)目白変電所

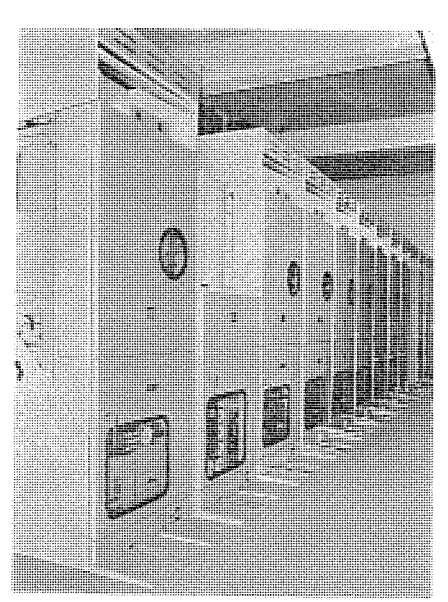


図 1. 1 東京電力(株)目白変電所設置 22 kV ミニクラッド 22 kV Miniclad at Mejiro substation of Tokyo Electric Power Co.

に納入し、昨年3月から運転にはいった。本年1月に完全な現地点 検を行ない、この装置が十分な実用性をもっていることを再確認し た。

以下にその経過および目白変電所納入機器について 述べる。図 1.1 は目白変電所納入後の外観である。

## 2. 開発および試験

この機器の開発は当初から使用者・製造者一体の研究体制を組織 し、構成機器の仕様、規格試験計画に十分の検討を行なったうえ、 実用性能の高い機器を生み出すことに成功した。

基礎的事項の検討は、超小形化・高信頼度・安全性・省力化の原則にもとずき、絶縁方式・設計方針・基礎試験から始まり、構成機器の仕様・定格・試験方法を決定した。22 kV ミニクラッドは、主変二次・母線連絡・送電線・補助の4種類から構成されており、機器の仕様定格は表2.1のとおりである。

超小形化の目標は従来の 22 kV キュービクル の容積の 10 分の 1 においた。このような超小形化を達成するには、従来の開閉装置の絶縁に用いられていた大気圧空気を、より絶縁耐力の高い媒体に置換する必要があり、また使用するしゃ断器も空気しゃ断器に代わって、この新技術の要求に対応できる小形であり、高信頼度をもち、保守の省力ができるものを開発する必要がある。

検討の結果、絶縁方式は固体絶縁とし、しゃ断器には真空しゃ断器を使用することとした。

固体絶縁開閉装置は、海外において30kV 級まで用いられているが、いずれも固体絶縁と空気絶縁とを併用したものであり、徹底した超小形化のためには、固体絶縁のみにたよる充てん(填)絶縁方式をとる必要がある。また、これによって絶縁物の表面が完全に接地されるので安全性はきわめて増大する。このような方式は、従来例を見なかったものであるので、使用する絶縁材料、その製造方法、機器構成方法について多くの基本的検討を行なった。

そのおもなものは接地側導体と絶縁物との結合方法、接地側導体

表 2.1 構成機器定格表 Ratings of 22 kV Miniclad.

							補 助 用
		主変二次用	母 線 連 絡 用	き電線用			
	形式	固体絶縁方式, 引出断路方式	同左	同 左		形名	EV-2X
(1)	定格電圧	24 kV	同 左	同左	(1)	定格 一次電圧	$\frac{22,000}{\sqrt{3}}$ V
(,)	定格 電流	ι,500 A	同左	400 A	計	72 in 17 in 22	
真	定格周波数	50 Hz	同左	同左	111	定格二次電圧	$\frac{110}{\sqrt{3}}V$
	定格しゃ断容量	1,000 MVA	同左	同左	25	定格三次電圧	$\frac{110}{\sqrt{3}}V$
空	定格投入電流	65.5 kA	同左	同 左			
l	定格短時間電流	24.1 kA	同 左	同 左	用	定格二次負担	200 VA
	定格再起電圧	Ⅱ号 9kHz	同左	同左	変	定格三次負担	200 VA
*	定格しゃ断時間	5サイクル	冏 左	同左	2	-	
	投入時間	0.1 秒	同左	同 左	Œ	階級	1.0/5 G
惭	絕 禄 階 級	20 号 B	同 左	同 左		絶 縁 階 級	20 号 B
28 28	動作資務	甲号	同左	同 左	25	- 14 TW NA WA	FOIT
	操作方式	電動機蓄勢ばね投入	同左	同左		定格周波数	50 Hz
	引出方式	電動および手動	同左	同左		形 名	SV-WLA
	形 式	プッシング形 同左	同左	ブッシング形 同 左	(2)	14 253 IT	28 kV
(2)	定格 周 波 数	50 Hz 同 左	同左	50 Hz 同 左	避	定格 電 圧	20 K V
変	変 流 比	1,500/750/5 1,500/750/1	1,500/750/5	400/200/1 400/200/5	雷	公称放電電流	10,000 A
流	定格負担	15 VA 同 左	同左	15 VA 同 左	22	特別動作責務容量	25 μF
	誤差 階級	1.0級 同左	同左	1.0級 同 左		行列即[F12 47 4F18	Σ5 μ1
32	定格過電流定數	10以上 同 左	同 左	10以上 同 左		形 式	固体絶縁方式
	過電流強度	40倍 同左	同左	75 倍 同 左	(3)	定格 電 圧	23 kV
(3)	形 式	固体絶縁方式	同左	同左	扱	是 ff 电 压	20 K V
母	定格 電圧	23 kV	同左	同 宏		定格電流	1,500 A
	定格 電流	1,500 A	同 左	同 左	線	ter min titl min sin	04114
線	短時間電流	24.1 kA	同 左	同 左		短時間電流	24.1 kA

の抵抗値と発熱,機器組立上生ずる固体絶縁物結合部の絶縁耐力, 内部導体の放熱,温度変化に伴う寸法変化である。

この結果、絶縁材料は エポキシ 樹脂と EPT ゴム を用いることとなった。この選択は多数の材料についての試験から決定され、比較的複雑な大形注形部品をつくるのに適する、熱衝撃性が強く、耐熱性が高く、耐トラッキング性のある エポキシ 樹脂と特殊な充てん剤の配合が使われた。 EPT ゴムは ゴムモールド CT、PT に使用された経験のある、耐候性・耐コロナ性に富んだ材料で、 その弾性を利用し、母線の絶縁と、エポキシ 注形体の接合部に使用した。最終的に決定した材料については、モデルによる長期間の高温における加速劣化試験を行ない、50 年間以上の使用に十分な性能を保ちうることを確証した。

真空しゃ断器は、 $22 \,\mathrm{kV}$  系に使用されるのは初めてであったため、真空  $\mathrm{A}$  元ッチ 管の開発を行なったのち、多数の真空  $\mathrm{A}$  元ッチ 管について多くの試験を繰り返し、その性能のばらつきをしらべて、実用できることを確かめた。

とのような基礎試験ののちに試作された機器については、従来の 開閉装置において行なわれた試験のほかに、実用性能検証のため、

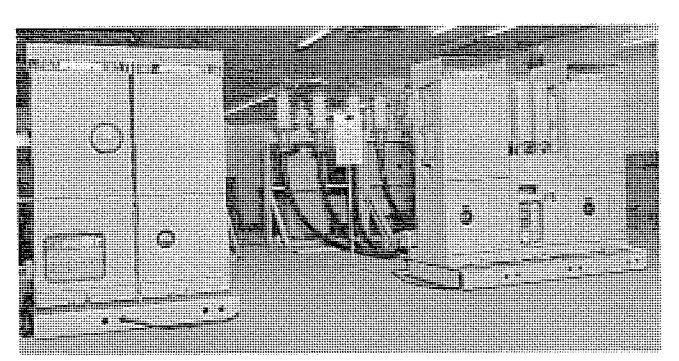


図 2.1 長期課電通電試験中の ミニクラッド Long duration test of Miniclad with voltage and current applied.

つぎのような試験を実施した。

#### (1) 長期課電通電試験

図 2.1 のように、 $f-J_N$  を接続した状態で約1年間にわたり、主変二次・母連回路に 1,500 A、送電回路に 400 A の定格電流を通電し、大地に対し 24 kV を印加した。この間、定期的に  $tan \delta$ ・つの力発生電圧・温度の測定を行なうとともに、商用周波耐電圧試験を実施し、また各機器の開閉特性、避雷器の放電特性、変成器の誤差特性などを試験の前後に実施した。

## (2) 環境試験

図 2.2 のように、恒温恒湿そう(槽)内で、 $-20^{\circ}$ C および  $+40^{\circ}$ C、湿度 100% に保ち、開閉試験・耐電圧試験を実施し、使用している 材料が十分な特性をもつことを検証した。

## (3) 耐震試験

図 2.3 のように、 制御装置を含む全構成機器について大形加振

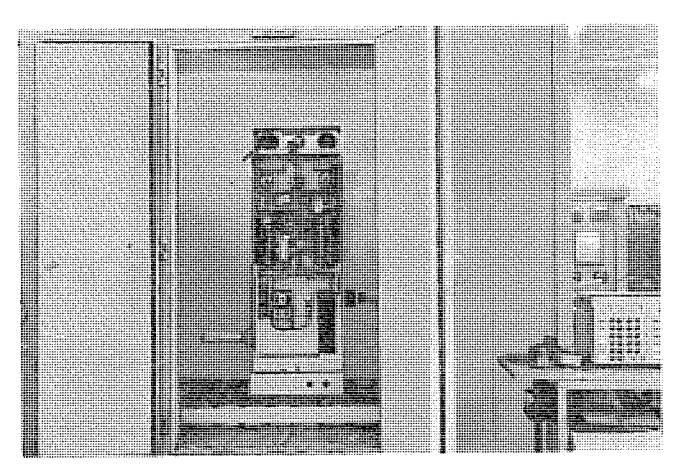


図 2.2 環境試験中の ミニクラッド Miniclad testing under cold and hot atmosphere of high humidity.

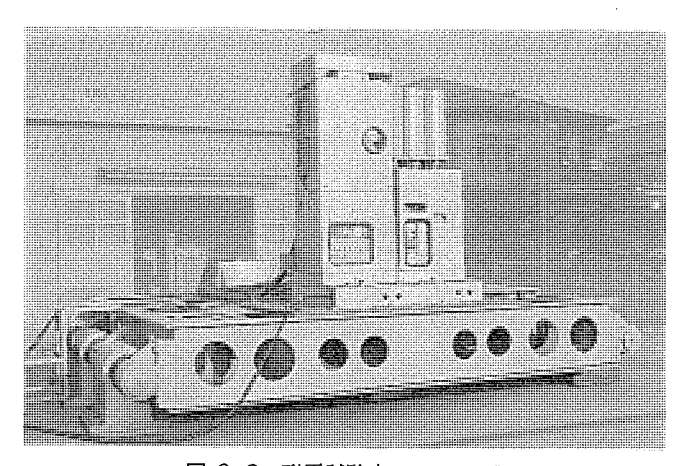


図 2.3 耐震試験中の ミニクラッド Miniclad under vibration test.

機を用い、エルセントロ 地震波および共振点における正弦波加振を行ない、その前後の特性を測定し、耐電圧試験を実施してその性能を検証した。

#### (4) 破壞試験

長期課電通電を行なった装置について、最終的にせん(閃)絡破壊電圧を測定して、劣化のほとんど発生していないことを確認したほか、異常な状態においても安全性のあることを確かめるため、真空しゃ断器のしゃ断不能状態を人工的につくり、断路部で誤って電流しゃ断を行ない、地絡に移行させて装置の破壊状態をつくり、その安全性の高いことを確かめた。

## 3. 目白変電所納入機器

## 3.1 目白変電所の概要(1)

目白変電所は大正初期に新設され、都心西北部への電力供給源としてたびたび設備増強が行なわれてきたが、このほど抜本的設備更新が必要となり、二次側に  $22 \, \text{kV} = 2 \, \text{kV}$  の屋内式の中間変電所である。 $22 \, \text{kV}$  開閉器室は、 $22 \, \text{kV}$  の採用により従来技術の  $22 \, \text{kV}$  の採用により従来技術の  $22 \, \text{kV}$  開閉器室は、 $22 \, \text{kV}$  の採用により従来技術の  $22 \, \text{kV}$  開閉器室は、 $22 \, \text{kV}$  開閉器室は、 $22 \, \text{kV}$  の採用により従来技術の  $22 \, \text{kV}$  に縮小され、建物全体で約  $22 \, \text{kV}$  が削減できた。図  $22 \, \text{kV}$  変電所建物の新旧技術による比較を示す。

開閉装置のみの寸法は、従来形のキュービクルに比べて床面積1/7、

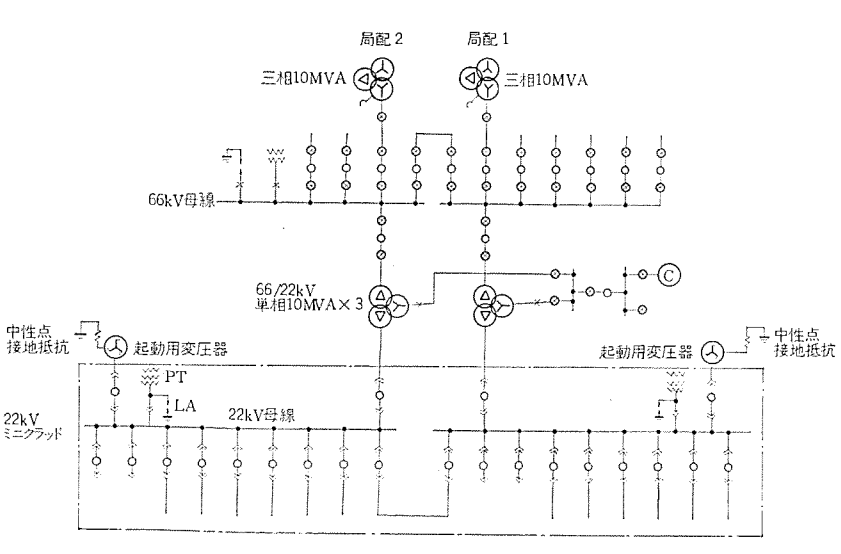


図 3.1 目白変電所結線図 Connection diagram of Mejiro substation.

容積 1/10 である。22 kV ミニクラッドの 1 バンク 分の外形寸法は図 3.3 のようである。

## 3.2 主変二次、母線連絡、送電線用ミニクラッド

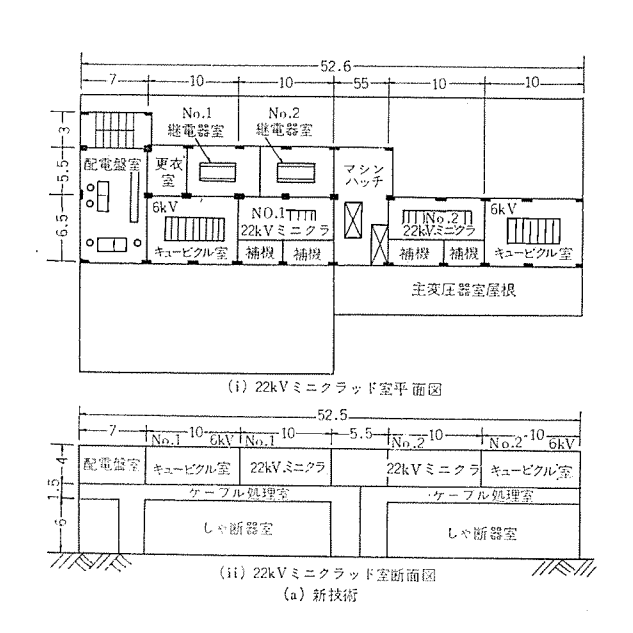
#### 3.2.1 構 造

主変二次・母線連絡・送電線用 =205ッドの外形寸法は同一であり、図 3.4 に示すとおりである。

構造も同様で、しゃ断器と変流器は車台にのせられた フレーム につけられ、その前面は操作機構・しゃ断器引出装置・制御装置(計器 および継電器)を入れた箱となっている。しゃ断器の両端にはそう (挿)入式の断路接触子をつけており、固定接触子と接触する。

母線と ケーブル 継手は、 固定 フレーム につけられ、断路部の固定側接触子をもっている。

電気回路は、ケーブル継手においてケーブルとつながれ、ケーブル側断路部(上部)をへてしゃ断器に至り、その下部の分割形変流器をへて母線側断路部(下部)から母線につながれる。断路部は、電動引



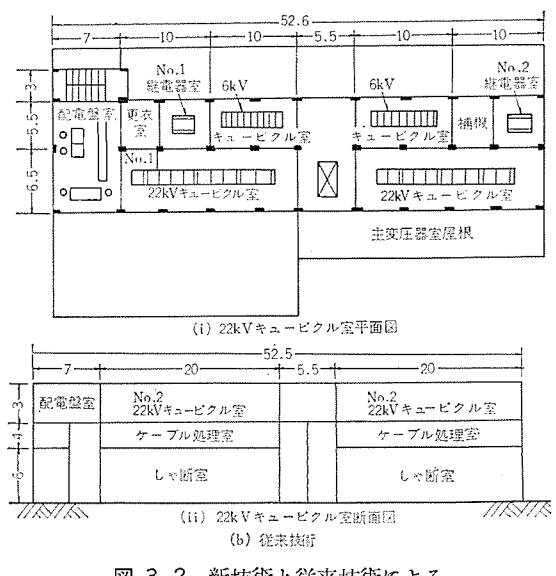


図 3.2 新技術と従来技術による 22 kV 開閉器室の比較 Comparison of 22 kV switchgear house using new and conventional techniques.

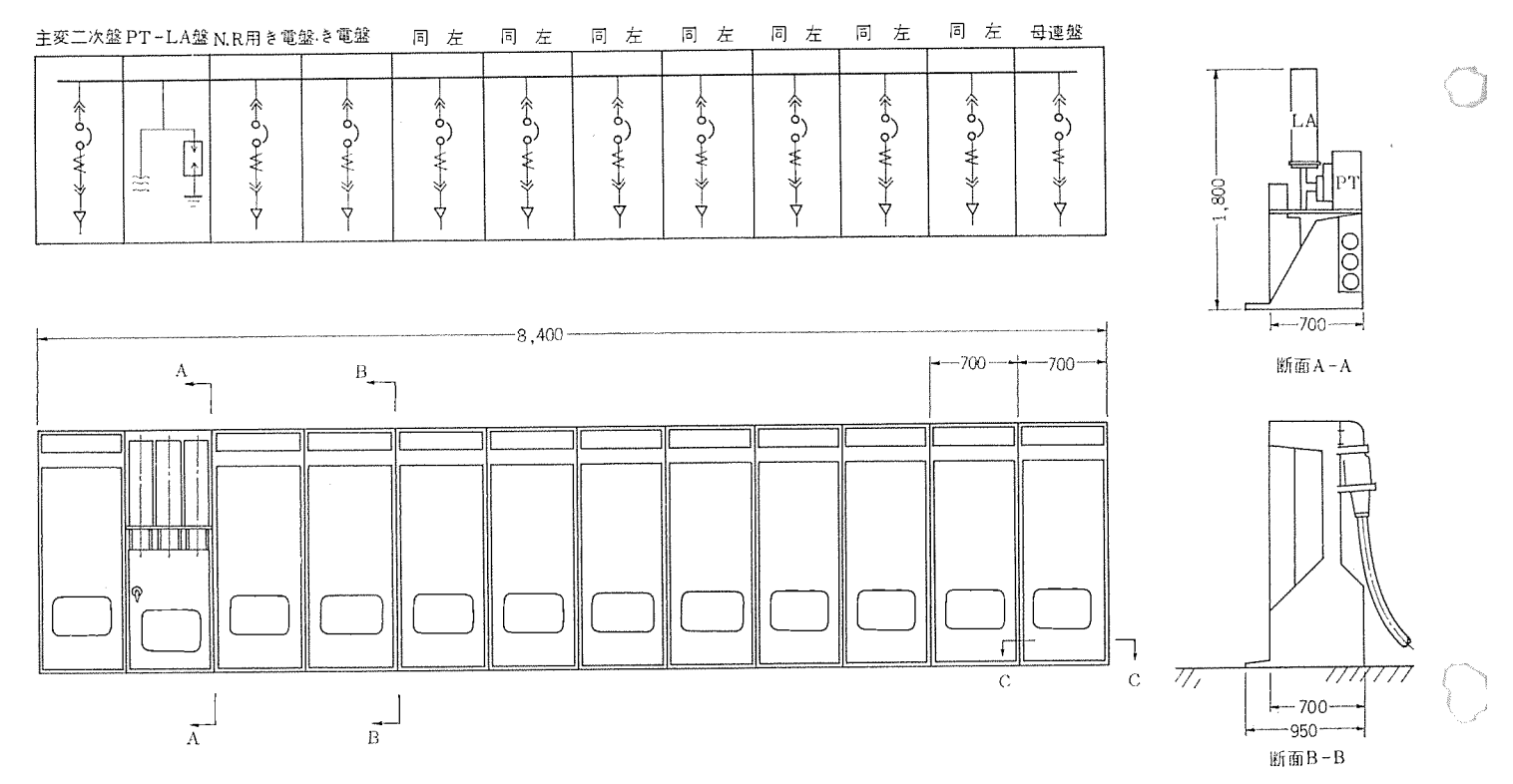


図 3.3 代表的な 22 kV ミニクラッド配列図 Typical arrangement of 22 kV Miniclad.

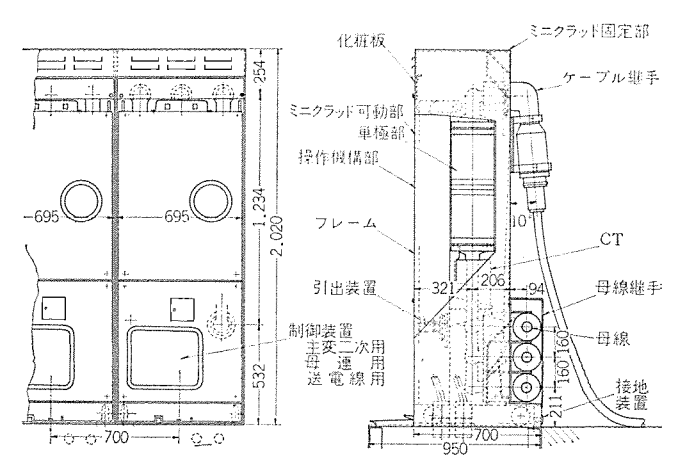


図 3.4 主変二次用,母線連絡用および送電線用 ミニクラッド外形図 Outline dimensions of Miniclad for bank secondary, bus tie and feeder lines.

出装置によってしゃ断器ののった車台全体を動かすことで操作され, しゃ断器が完全に引き出されると自動的に シャッタ が閉じる。

しゃ断器ののった車台全体は、同一 ミニクラッドでは完全に互換性があるような カートリッジシステム を形成しており、短時間で入れ換えを可能としている。ミニクラッドの前面下部に入れられた制御装置も互換性のある カートリッジ を形成している。

主変二次と母連用 ミニクラッド についても互換性があるように なっている。

#### 3.2.2 しゃ断器

しゃ断器の断面は図3.5のようで、真空スイッチ管(図3.6)を エポキシ 樹脂でつくった数個の絶縁体の内に収納している。この絶縁 体の外面は金属溶射によって接地層が形成され、また内部に生じた 空げき(隙)には難燃性の シリコン油を充てんし、電界の集中を防ぎ、 熱伝導を改善している。真空スイッチ管の操作部は、ステンレス 製の ベ

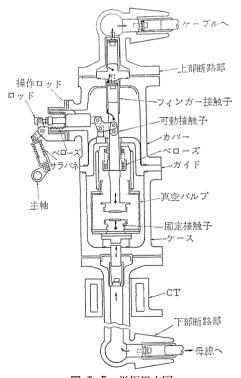


図 3.5 単極組立図 Pole unit assembly.



図 3.6 真空 スイッチ 管 Vacuum switch tube.

1	シ	+	フ	ŀ	7	モ				g	13	投	人	7	1	بار	19	31	きけ	ずし	. F J	ガ	25	か	さ	歯	車	31	投入	レバー	ロック	カム
2	シ	٠	フ	ŀ	8	p	- ;	ラレ	, jt	-	14	中	自	由	ν,	× -	20	ラ		ッ		チ	26	力。	t	歯	ηī	32	ス	イ	ッ	チ
3	投	入	ば	ね	9	投	入	ラ	ッ	チ	15	主	3	J	ν	2	21	か	F,	5	^	そ	27	2			め	33	接	i	St.	榉
4	投	入	カ	4	10	投	入	ŀ	y	Ħ	16	IJ		ン		2	22	31	きは	ずし	. = 1	ハ	28	つ			85	34	E.			· ·
5	つ	à	>	耳	11	ラ		ッ		チ	17	引き	はす	゛しラ	ッラ	カム	23	Æ	- A	蓄勢	レノ	₹	29	31	张	b k	ť h					
6	カ			4	12	か	F,	5	^	そ	18	F1 8	生は	ずし	- ラ	ッチ	24	IJ		ン		1	30	ð	6	H	żα					

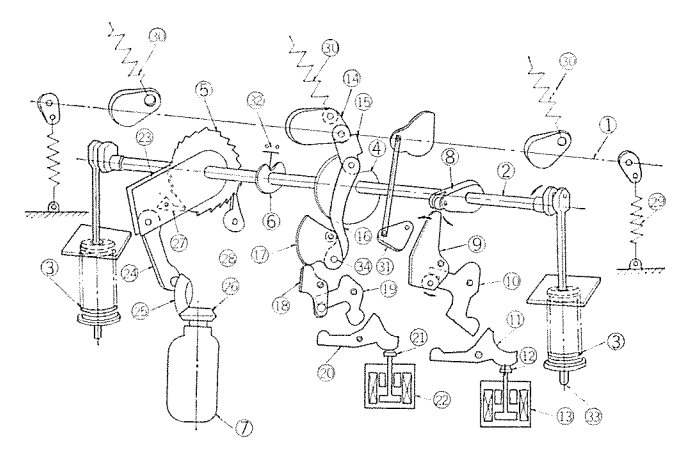


図 3.7 操作機構 (開状態, 投入ばね蓄勢) Operating mechanism (breaker open and spring charged).

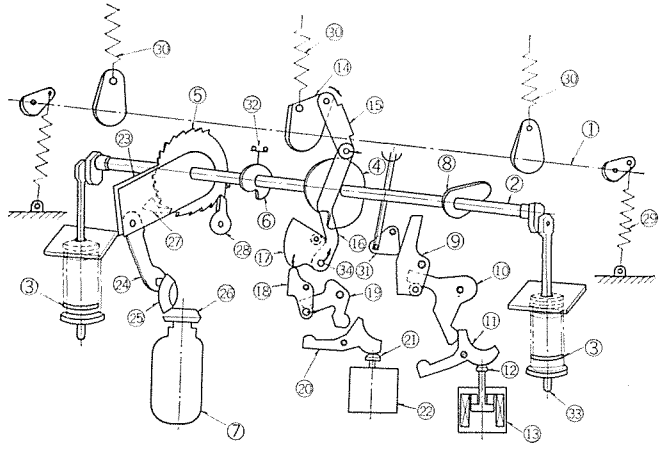


図 3.8 操作機構 (投入完了直前, 投入ばね放勢) Operating mechanism (breaker closing and spring not charged).

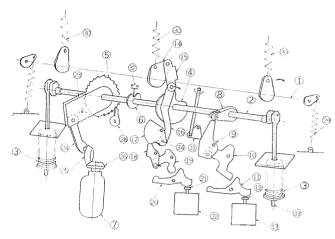


図 3.9 操作機構(投入状態,投入ばね蓄勢) Operating mechanism (breaker closed and spring charged).

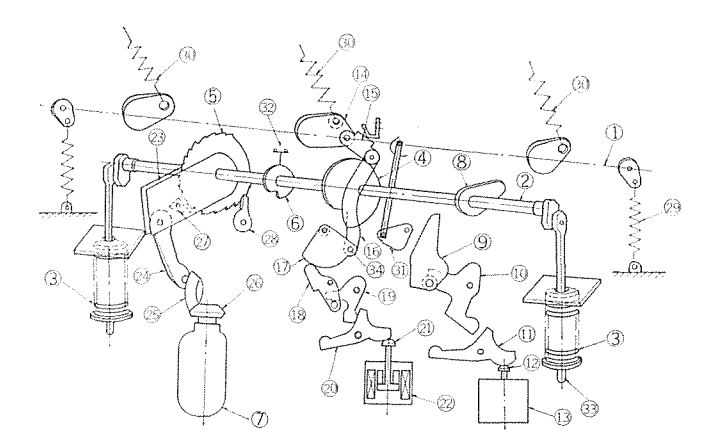


図 3.10 操作機構 (引きはずし自由位置) Operating mechanism (trip free position).

ローズで密封されている。 真空 スイッチ 管は金属そう形で直径が小さく、ミニクラッドの構造にはとくに適している。その特性についてはすでに発表されているのでとこには省略する(2)(3)。

しゃ断器の操作機構は、とくに ミニクラッドの使用条件に適するように新しく開発されたばね操作機構を使用した。この機構は電源のないときに手動でばねを蓄勢すれば、投入容量を保証できる操作が可能であり、制御電源の大きさは小さくてすみ、圧縮空気発生装置のような付属設備を要しないので、とくにこのような装置に適していると考えられる。図 3.7~3.10 はその構造と動作の大要を示す。図 3.7 はしゃ断器の開状態で投入ばね(3)が電動機(7)によって蓄勢された状態を示す。カム 軸(2)は投入ばね(3)により反時計方向の回転力を受け、レバー(8)投入ラッチカム(9)に矢印のような回転力を与え、投入トリガ(10)によって保持されている。投入ソレノイド(13)によって、ラッチ(11)がもち上げられ、投入トリガ(10)が時計方向に回転すると、レバー(8)が自由になり、投入ばね(3)によってカム 軸(2)が反時計方向に約半回転する。これでカム 軸

(2)に固定された投入力ム(4),力ム(6),つめ車(5)も回転する。投入力ム(4)によって主リンク(15)は引きはずしラッチカム(17)につけられたピン(34)を支点としておし上げられ、操作軸(1)を反時計方向に回転させて投入を完了し、図 3.8の位置となる。投入のさい、引きはずしばね(29)が蓄勢され、また力ム(16)でスイッチ(32)が働き、電動機(7)が回転し始める。これによりかさ歯車(25)の回転で、リンク(24)につながるレバー(23)に取りつけられたつめ(27)が送り運動をし、つめ車(5)が反時計方向にまわり、接続棒(33)が投入ばねを蓄勢する。最終位置で接続棒(33)は投入ばねの中心線と一直線になるデッドポイントをわずかにこえる、これまではつめ(28)がつめ車の逆転を防いでいるが、この位置でつめ(27)はつめ車のつめのない部分に乗り上げて送りがかからぬようになり、カムスイッチ(32)によって電動機が切れる(図 3.9参照)。

引きはずしは引きはずし コイル の動作で ラッチ (20) が上がり,引きはずし トリガ (19) が反時計方向に回転すると,主 リンク (15),引

表 3.1 短絡試験結果 Short-circuit interrupting tests.

	試験操作	- > 50 100	しゃ肉		回復	給 与 電 圧 kV	固有	再起	電 圧	投入 電流 kA	開極問	アース	しゃ断 時 間 サイクル	
試験動作資務	試操作 医 %	試験相	対称分 kA	直流分	回 復電火	kV kV	周波数 kHz/s	振幡率	上昇率 kV/MS	kA kA	サイクル	時間サイクル	サイクル	
			2.5	0	100	20.8						0.4	2.7	単 相
O-1 分-O-3 分-O	100	A	2.5	0	100	20.8	2.0	1.6	0.19	_	2.3	0.5	2.8	20.8 kV
			2.5	0	100	20.8						0.65	2.95	(10%)
			7.2	0	100	20.8 ×1.02						0.4	2.7	単 相
O-1 分-O-3 分-O	100	A	7.2	0	100	20.8 ×1.02	2.0	1.6	0.19		2.3	0.5	2.8	20.8 kV
**************************************			7.2	0	100	20.8 ×1.02				_		0.6	2.9	(30%)
			14.5	0	100	20.8 ×1.03				_		0.8	3.1	単 相
O 1分-O-3分-O	100	A	14.5	0	100	20.8 ×1.03	2.2	1.6	0.21		2.3	0.5	2.8	$20.8 \ kV$
			14.5	0	100	20.8 ×1.03				_		0.6	2.9	(60%)
			21.0	0	100	24× 1.04						0.5	2.8	並 相 24 kV
0-1分-0-3分-0	100	A	21.0	0	100	24× 1.04	2.2	1.6	0.21	_	2.3	0.75	3.05	異相地絡
			21.0	0	100	24× 1.04				_		0.6	2.9	अर्थ सा अर्थ
		,	27.5	0	100	20.8 ×1.04				_		0.8	3.1	単 相
O-1分-CO-3分-O	100	A	26.5	50	100	20.8 ×1.04	2.0	1.6	0.19	70	2.3	0.5	2.8	20.8 kV
			26.5	50	100	20.8 ×1.04				72		0.9	3.2	(110%)
			26.5	0	100	20.8						0.65	2.95	単相等価
000	100	A	26.5	0	100	20.8	9.0	1.6	0.85		2.3	0.75	3.05	20.8 kV
			26.5	0	100	20.8						0.90	3.20	(110%)

表 3.2 進み小電流しゃ断試験 Capacitive current switching tests.

		-				_			
武 緊	試験動作	試験操作	試験相	しゃ断電流	給 電 正	回復電圧	再点引	瓜回数	しゃ断 時の過
<b>9</b> 8	貴 務	1 % H	武教(智)	A A	kV	M 11:	再発弧	再点弧	渡電圧 (倍数)
12	0	100	A	9	24	100	0	0	1.0以下
12	0	100	A	45	24	100	0	0	1.0以下
	-								
12	0	100	A	165	24	100	0	0	1.0以下

表 3.3 変圧器励磁電流しゃ断試験 Magnetizing current switching tests.

試験動作 資 務	試験操作 電 圧 %	試験相	しゃ 間 流 A	給与電圧 kV	回復電圧 %	しゃ で 過 選 正 (倍 数)
0	100	A	14	20.8	100	1.4~2.3

きはずし 5ッチ1Δ (17),引きはずし 5ッチ (18) は自由になり,操作軸は引きはずしばねによって時計方向に回転し,しゃ断器がしゃ断する。これは図 3.10 に示す引きはずし自由位置で,投入中であっても支障なく動作する。機構はこの位置から図 3.6 の位置になり,引きつづく投入動作にそなえる。

制御回路には ポッピッグ 防止継電器を備えるとともに、投入ばねの 蓄勢中のばあいに投入 コイル を動作させる ことのないように インターロック を備えている。

しゃ断器は短絡試験・小電流しゃ断試験・短時間電流など従来のしゃ断器として必要な試験を行なったほか、定格しゃ断電流(24.2 kA)20回の連続しゃ断, 真空度低下(10<sup>-3</sup>mmHg)におけるしゃ断, 負荷電流 1,500 A(試験設備の都合上短絡電流で実施)3,000 回連続しゃ断などを実施したうえ,長期間投入状態に放置したしゃ断器を用いる希ひん度開閉試験,長期間放置後の真空しゃ断器極間耐圧,短時間電流,短絡投入後の電極冷却状態において開離したさいの極間の耐電圧などについても調査し、ミニクラッドの使用条件に十分適することを確かめた。

表 3.1 は短絡試験の結果, 表 3.2 は進み小電流, 表 3.3 は励 磁電流しゃ断試験の結果である。

## 3.2.3 変流器

#### 3.2.4 断路部

断路部はカートリッジ システム のために取りはずしを必要とし、この装置の内の唯一の大気圧空気絶縁の必要がある部分である。この寸法の縮小のために多くの基礎実験を重ねた結果、適切なシールド電極によって断路部「閉」「閉」において絶縁性能に差がなく、しかも寸法の最小となる形状を得た。 図 3.11 のごとく断路部はフィンガ接触子をカートリッジ側につけ、万一取換の必要な場合も簡単に実施できるように配慮した。フィンガ接触子の取付部は若干の揺動ができ、カートリッジを交換したさいにも確実な断路部接触が保たれ、また地震のさいにも安全なようにした。フィンガは多くの経験をもつ銅クロム合金を使用した自力接触である。フィンガの部分と絶縁体の内面との

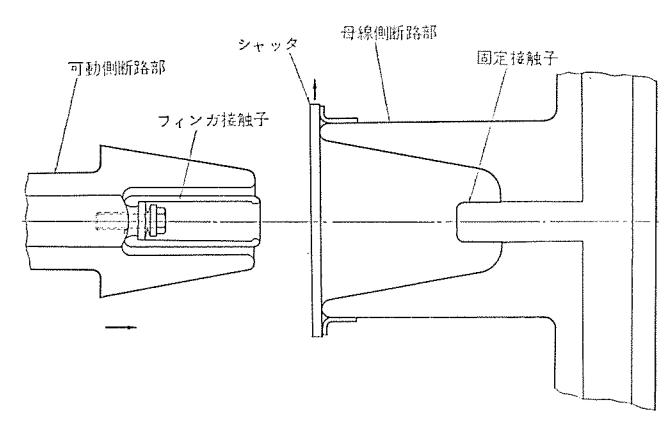


図 3.11 断路部 Disconnecting unit.

間の空げきは コロナ発生のおそれがあるため、 絶縁体内面を導電処理して同電位を保っている。このような特殊の構造とした断路部は、従来形の断路器のような開閉能力は期待できないので、ミニクラッド 適用のさいの限界をしらべる目的で、開閉能力の限界を調査した。その結果、充電々流 280 mA、 励磁電流 430 mA 程度において アークが伸びた結果、地絡する可能性があることが発見された。この試験は装置の都合上、断路部1点のみで行なったものであるが、その後、破壊試験のさい 2点切りでは充電々流1A程度まで地絡に至らないことが発見され、さきに考えていた開閉能力の限界は相当な余裕があることが発見され、ミニクラッドの使用条件では、開閉能力限度による問題は発生しないと考えられる。

#### 3.2.5 ケーブル接続部

ケーブル 製作者との共同研究により、 CV ケーブル と機器とを直結する新方式が開発された。 図 3.12 はこの断面である。ミニクラッド 側の注形絶縁体につくられた テーパ 面に、 EP ゴムなどでつくられた ストレスコーンを圧着するもので、導体の結合にはくさび形接触子が使用された。 短時間に ケーブル の取り換えが可能であり、十分な互換性をもっている。各社で製作された ケーブル を接続したうえで、約1ヶ月間の ヒートサイクル 試験を行なったのち、絶縁破壊試験を実施し、十分な性能をもっていることを確認した。

#### 3.2.6 母 線

母線は温度上昇によって寸法変化があり、また多数の ミニクラッド を接続するさいには、握付寸法の誤差も吸収できなくてはならない。 さらに、万一事故が発生したばあいにその部分だけを取りはずしができる単位母線であることも必要である。多くの研究の結果、母線

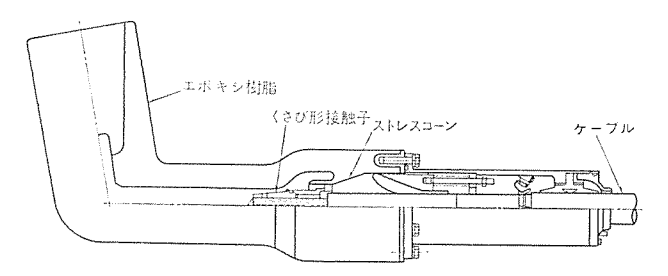


図 3.12 ケーブル接続部 Junction of cable terminal.

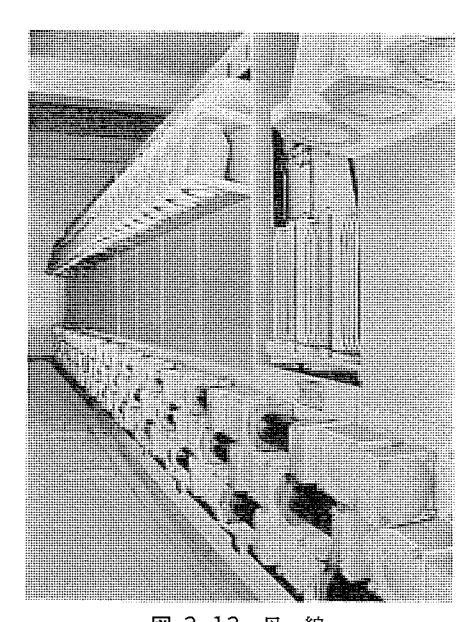


図 3.13 母 線 Bus arrangement.

を分岐回路接続となるT形の部分と直線部に分離し、直線部の絶縁に EPT ゴムを使用することとした。 導体の結合には、 断路部に用いたと同じ フィンガ 接触子で行なっている。ゴム 絶縁母線の端部はT形の エポキシ 樹脂製の絶縁体に ボルトで圧着され、高い絶縁耐力を得ることができる。母線の外面は導電性ゴムを モールドして接地層をつくり、注形体と同様に高い安全性を得た。図3.13 は組立後の母線を示している。この母線はそのまま露出して使用できるが、 ミニクラッド 据付後、ケーブル 接続作業などで破損するおそれもあるので、 この上に保護 カバーを設けている。 母線はある長さに組立てたのち、常温と80°C、湿度100%との熱サイクル125回を実施し、耐電圧試験を繰り返し実施して十分な安全度のあることを確認した。

## 3.3 補助用ミニクラッド

#### 3.3.1 構造

補助用 = 2/9 ッド は図 3. 14 のように避雷器・計器用変圧器を制御装置とともに車台にのせて b-1 ッジ にしたもので、 断路部の母線の構造は送電線用 = 2/9 ッドと同一である。 断路位置にある補助用 = 2/9 ッドの外観は図 3. 15 に示す。

#### 3.3.2 計器用変圧器

計器用変圧器は従来から使用されていた エポキシモールド 形であるが,

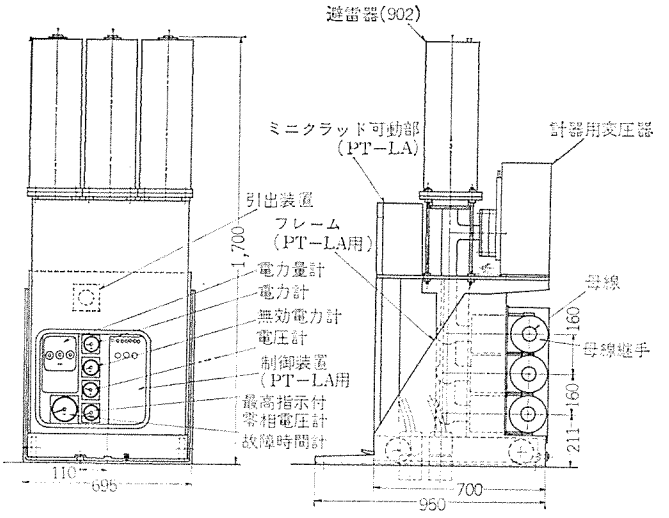


図 3.14 補助用ミニクラッド外形図 Outline dimensions of Miniclad of PT and LA.

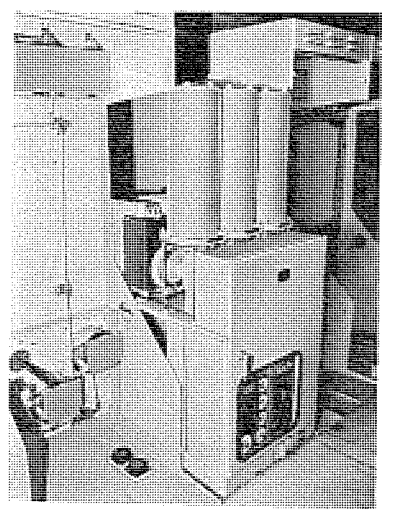


図 3.15 断路位置にある補助用 ミニクラッド Miniclad of PT and LA in disconnecting position.

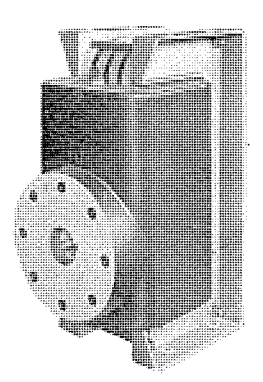


図 3.16 計器用変圧器 Potential transformer

ミニクラッドに適応するように若干の変更を行なった。変圧器の外観は 図 3.16 のとおりである。コイルの外面は ミニクラッドの他の部分と同様,接地電位とするために導電塗装をほどこされており,端子結合部は ブッシング の代わりに直接導体部分と結合できるような形式に変更された。 変流器と同様に 90°C 差の冷熱試験を含む十分な性能検証試験を行なった。

#### 3.3.3 避雷器

ミニクラッド用避雷器は外部を接地容器で完全におおう必要があるので、従来形と異なった新形の避雷器を開発しなければならなかった。通常の避雷器が著しく汚損した場合に、がい管表面の抵抗が低下する結果、とくに耐汚損を考慮していないものでは、放電特性が低下することからわかるように、外部を完全に接地容器でおおわれるミニクラッド用避雷器では、汚損時と同様に放電特性に影響があり、複数個の直列ギャップが、接地容器の背後電極効果を受けないようにすることが必要である。

このため、ギャップ部に特殊配置の固体絶縁物と シールドリング を組合



図 3.17 ミニクラッド用 SV-WLA 形避雷器 定格電圧 28 kV Type 'SV-WLA' lightning arrester for Miniclad at rated voltage of 28 kV.

ロリング 埋込みねじ ールドリング エポキシ樹脂 ギャップ部 9 N.gas 特性要素 絶縁筒 0リンク 絶縁板 底ぶた 絶縁ポルト 破裂板 保護板 接地端子

図 3. 18 SV-WLA 形避雷器構造 Structure of type 'SV-WLA' lightning arrester.

わせて配置して、 この問題を解決し、 図 3.17 に示すように ミニク ラッド用 SV-WLA 形避雷器、 定格電圧 28 kV を 研 究開 発した。 図 3.18 は避雷器の断面図を示す。外側の容器を耐食性 アルミ 合金 としたので、 重量は 30 kg と従来の避雷器の約 50% に軽減されて いる。

金属容器は変電所での使用時に接地をとられるが、避雷器素子の 接地側は絶縁板によって金属容器とは絶縁されて引出され、記録器 等の付属品が取付けられるようになっている。 内部は課電側に ギャ ップ部が、接地側に特性要素部が配置され、ギャップ部の上部は課電 側端子と金属容器を絶縁する エホキも 樹脂がおおい,電圧が上部 ギャ ップに集中するのを防止している。すなわち,複数個の ギャップを使 用するこの避雷器の等価回路は図3.19のように表わされ、ギャップ と金属容器間の静電容量  $C_S$  が全部同一の場合には、図 3.20 の点 線のように上部ギャップに電圧が多く印加される。商用周波数電圧領 域では、分圧抵抗の作用で各ギャップの分担電圧が比較的一定である が、衝撃電圧領域になると分担の不平衡は大きくなる。 そこで、ギ ャップの分担電圧が上部で大きくならないように、 金属容器と ギャッ プ間の Cs を調整するため、前述のように キャップ上部にのみ誘電率 の大きい  $\sharp f$  樹脂を使用して  $C_S$  を大きくしている。  $C_S$  の急激 な変化を避けるために エポキシ 樹脂は段付きの構造となっており、各 ギャップの Cs は スムーズ に変化することになる。 しかも, エポキシ 中に は、その高い耐電圧性を生かしてかさ状のシールドリングが入れられて

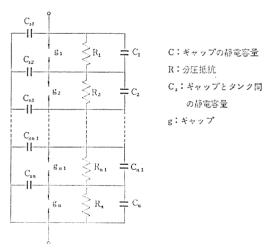
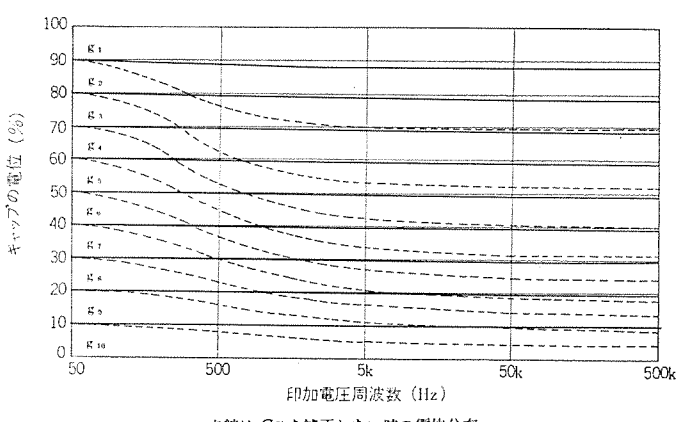


図 3.19 避雷器の等価回路 Equivalent circuit of lightning arrester.



点線は CS を補正しない時の電位分布 実線は CS を補正した時の電位分布

図 3.20 各 ギャップ の分担電圧(ギッャブ 数を 10 個とした場合) Voltage distribution in lightning arrester.

表 3.4 ミニクラッド用 SV-WLA 形避雷器特性表 Characteristics of type 'SV-WLA' lightning arrester.

避雷器公称放電電	流	A	10,000
避雷器特別勁作責	<b>(務静電容量</b>	$\mu \mathbf{F}$	25
避當器定格電圧	(許容端子電圧)	kV	444
······································	衝撃改	100%	83
de ció no trace en	kV crest 以下	0.5 μs	95
放電開始電圧	₩ 緩波頭衝撃波 k	V crest	85
	商用周波 kV rn	ns 以上	42
制限電圧	5 kA		78
kV crest 以下	10 kA		86
放電耐量	街 黎	彼	4×10 μs 100 kA 2 🗓
22 1E NI IK	短 形	波	2 ms 600 A 20 🗉

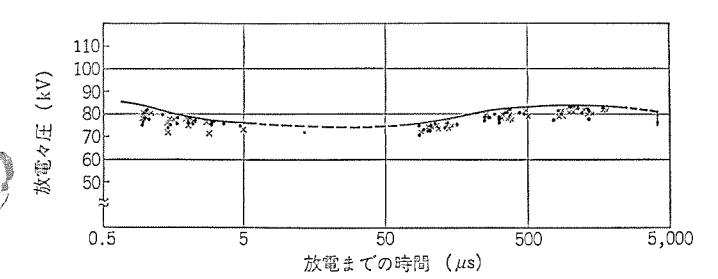
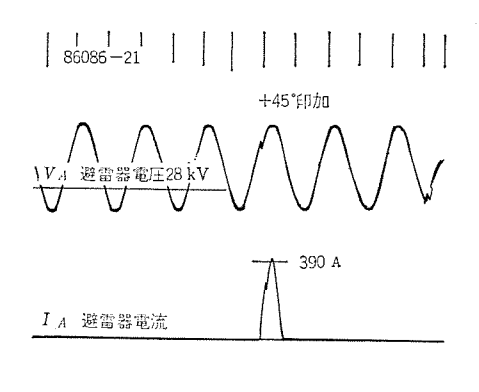


図 3.21 避雷器の放電電圧時間特性 Spark-over voltage-time characteristics of lightning arrester.





| 28 kV | SV-WLA形 | | 遊雷器 | | | |

図 3.22 動作責務試験 オシログラム Typical oscillogram of operating duty test.

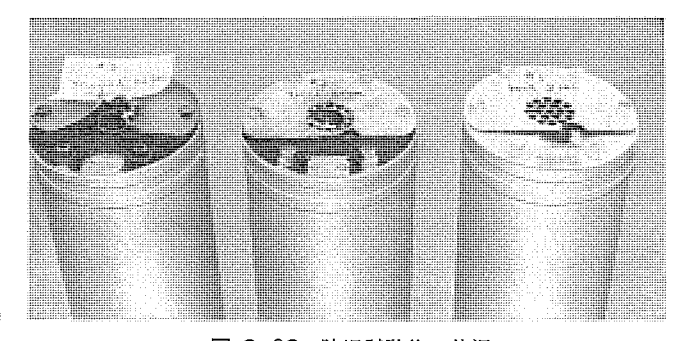


図 3.23 防爆試験後の状況 Tested samples of pressure relief test.

いるので、図 3.20 の実線のように各 ギャップ にはほぼ均等な電圧が印加されるとともに、シールドリング によって電界が緩和されて コロナを生じない。内部には乾燥  $N_2$  ガスを封入して密封しているので、 部品の劣化がなく、長年間の使用に耐えられる。

なお、万一避雷器が規定値以上の責務でしゃ断不能に陥った場合に、短絡電流の通電による内圧上昇に耐えられるように容器が設計されており、約10気圧で破裂板が内圧を放出するので、爆発飛散の危険はなく、使用材料はとくに難燃性のものであるので火災の危険はない。

この避雷器の特性は表 3.4 に示すとおりである。 また, 避雷器 は変電所の機器に密接して取付けられるので,急しゅん(峻)波の場合にも避雷器と被保護裕度は非常に大きくとることが可能となる。 試験は定格 14 kV に分割できないため, 定格電圧 28 kV で実施され,JEC-156 の諸性能を完全に満足することが確かめられた。

とくに、接地容器中にありながら、V-t 特性と動作責務は図3.21、図3.22 に示すように全く正常であり、10t 試験においても定格電圧で有害な 10t が皆無であることを確認した。

冷熱 サイクル 試験は温度差  $60^{\circ}$ C ( $0\sim5^{\circ}$ C の冷水および  $65^{\circ}$ C  $\sim75^{\circ}$ C の温湯) の冷熱 サイクル を 5 回繰り返した後,放電特性と  $10^{\circ}$  特性 を測定したが,なんら変化は認められず,解体点検による結果も良好であった。

防爆試験は 300 A 2 秒, 3,000 A 0.4 秒, 3,000 A 0.2 秒通電の各 ケース について実施したが, いずれの場合も 破裂板が正常に動作し, 図 3.23 に示すように良好な結果を得た。

#### 3.4 制御装置

#### 3.4.1 概要

22 kV ミニクラッドは、 ミニクラッド の縮小・信頼度・安全性・省力化 に マッチ した制御装置を新しく開発して、 しゃ断器操作機構の下部 に収納した。

制御装置は計器と保護継電器からなる。計器類は電力量計と故障時間計を除くすべての計器を、従来の110 角から80 角に変更し、相切換スイッチなども一段と小形化をはかった。継電装置はトランジスタ化により小形化をはかり、カートリッジ化により短時間の交換を可能とするとともに、トランジスタ回路の2系列化、常時監視などの新しい方式を採用して信頼度の向上をはかった。このような制御装置をミニクラッドに収納するため、多くの基本的研究を行なった。そのおもなものは静電・電磁シールド・耐振強度・防熱・防湿などであるが、最終的にはミニクラッドに収納した状態で、前記の長時間課電通電試験・加振試験・短絡試験・短時間電流試験などを実施して、その性能を確認した。

## 3.4.2 構 成

1 バンク分を構成 する 制 御装置は表 3.6 のとおり であり,図 3.24 のような継電装置がそれぞれ図 3.25 のように 3.25 のように

## 3.4.3 継電装置の構造

従来の継電装置が比較的恵まれた環境条件の下にあったのに対し、 この継電装置は ミニクラッド 本体内に収納される関係上、 スペース 面から大きな制約を受けるのはもちろんのこと、22kV 回路・しゃ断器・変流器・電動機などと近接するため、従来にない過酷な条件にさらされることになるので、機構面・回路面から下記に示すような特殊な考慮を払った。

#### (1) 小形化

表 3.5 制御装置 Control device.

	収納場所	構 成 要 楽
維	送電線用 ミニクラッド	OCR×3 DGR×1 DCR×1 制御継電器一式
Œ	補助用ミニクラッド	OVGR×2 UVR×1 OVR×1 制海維電器一式
装	母連用ミニクラッド	OCGR×1 制御維電器一式
置	主変二次用ミニクラッド	補助維電器一式
	送電線用ミニクラッド	最高指針は需要電流計
ät	補助用ミニクラッド	交流電圧計・故障時間計・最高指示交流電 圧計・三相電力計・三相電力量計・三相無 効電力計
223	母連用ミニクラッド	最高指示電流計
	主変二次用ミニクラッド	電流計

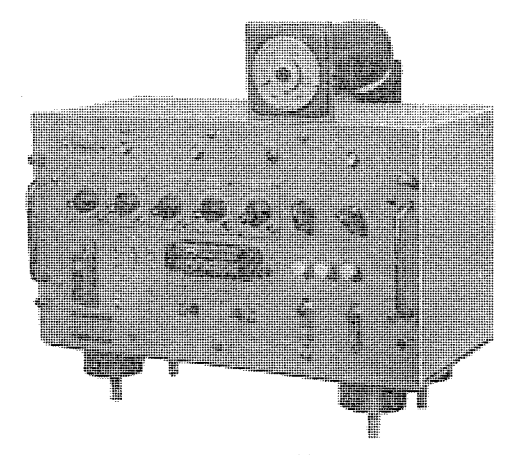


図 3.24 線路継電装置 Feeder relay.

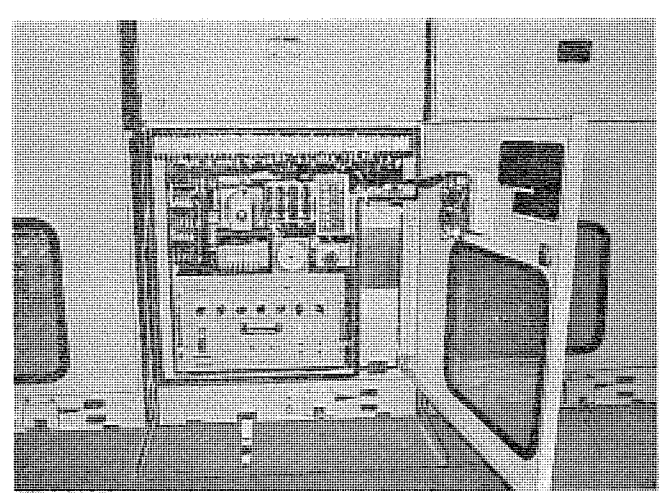


図 3. 25 ミニクラッド 本体 22 kV Miniclad.

トランジスタ継電器を採用し、1 ACT の電流入力を電圧変換した。さらに、トランジスタ専用電源を設置して小形化した。

## (2) 誘導対策

静電・電磁 シールド対策 リレーケース を採用し、誘導性部品の配置を 考慮して解決した。

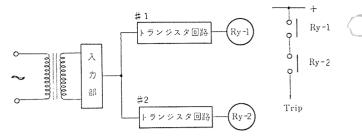


図 3.26 トランジスタ 回路の2系列化 Two line system of transister circuit.

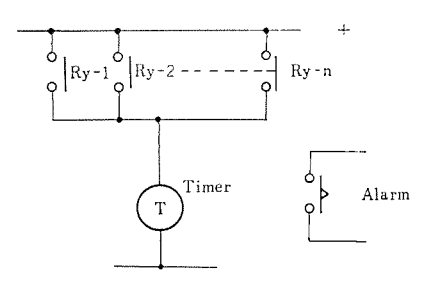


図 3.27 常時監視回路 All time supervision circuit.

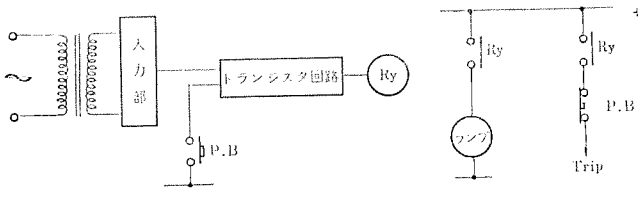


図 3.28 強制点検回路 Input checking circuit.

## (3) 耐振構造

防振 ju によって防振し、しゃ断器の操作はもちろん地震に対しても安全な構造とした。

#### (4) 防熱, 防湿対策

本体の箱による継電装置部分の保護と回路部品の防湿仕上げを行なった。また、 縮小化と同時に ミニクラッド のもう一つの目標である 無保守・無点検による省力化と信頼度向上の見地から下記の対策を 実施した。

## (1) トランジスタ 回路の 2 系列化

図 3. 26 のように 2 系列化を行ない、誤動作による  ${\tt EXFIJ}$  の 防止を行なった。

## (2) 常時監視(誤動作対策)

回路を2系列化したことにより、図3.27のように簡単に リレーの常時監視を行なっている。

## (3) 押しポタンによる強制点検(誤不動作対策)

ときどき、押しボタンにより模擬入力を入れて、判定 ランプで正常動作確認を行なう(図 3.28 参照)。

## (4) 各継電装置の プラグイン 化

常時監視などにより、継電装置の異常が発見されたときは、装置 全体が プラグイン 化されているため、ごく短時間で予備のものと差し 代え可能である。

## 3.4.4 継電装置の試験結果

## (1) 各特性

所定値の ±5% 以内

#### (2) 温度特性

 $0\sim +40^{\circ}$ C で諸特性変化は 常温時の  $\pm 5\%$  以内であった。 また  $-20^{\circ}$ C,  $70^{\circ}$ C でも回路に異常のないことを確かめた。

## (3) 耐振性

1,000 rpm, 4 mm (複振幅) の振動試験(各方向 0.5 時間) 30 G の衝撃試験を行ない異常のないことを確かめた。

#### (4) 耐電圧

商用周波 2,000 V 1 分間, 衝撃波 4,500 V の耐圧試験を実施した。 3.5 据 付

ミニクラッドの据付にあたっても、あらかじめ検討を加えた。 このように装置が縮小化されると、据え付ける場所も小さくなるため、解き荷のため空間も十分ない。また、機器は表面に絶縁体が露出しているので輸送中に傷害をうける恐れがある。

この点を考慮して特殊の コンテーナ 式の荷造りを行なうとともに、荷造りのうえ衝撃試験を行ない、各部の加速度・応力を測定し、さらに工場より東京までのトラックによる往復輸送試験を実施し、各部の特性・耐圧試験によって変化のないことを確認したうえで、現地

工事に着手した。

据付の方法は、 従来形の特高  $+_2$ ービクル と同様で、あらかじめ建屋の床に埋め込まれた  $+_2$ ・ $+_3$ ルベース に  $+_2$ 2つラッド を組立てるもので、現地における工事期間はきわめて短縮された。

## 4. む す び

 $22\,\mathrm{kV}$  ミニクラッド として,目白変電所納入品の大要について述べたが,このほか,同様の構想による  $6.6\,\mathrm{kV}$  用 ミニクラッド についても,本年 6 月に実用化の段階に至っている。

終わりにあたって、種々ご指導ご鞭達をたまわった東京電力(株) 関係各位に深く感謝の意を表わす次第である。

## 参考文献

- (1) 高岡: OHM, 44年8月, P. 26
- (2) 伊藤, 大倉:三菱電機技報 41, No. 11, 1,409 (昭 42)
- (3) 岡田,青木,松山:三菱電機技報 43, No. 10, 1,399(昭 44)

## 正 誤 表

44 巻 7 号の特集論文「配電の自動化 システム」において筆者の所属場所がちがっていましたので、つぎのように訂正いたします。

ぺ	– ਦ	誤	ĪĒ
859	表題	Kobe Works	Head Office
859	左下欄外	* 神戸製作所	* 本 社

# 7,300 kW 4極 かご形回転子 三相誘導電動機

富田 晴彦\*・伊瀬知 孝\*・森永 恭光\*

# 7,300 kW 4 Pole Squirrel Cage 3 phase Induction Motor

Nagasaki Works Haruhiko TOMITA • Takashi ISECHI • Yasumitsu MORINAGA

When induction motors of a large capacity are required, wound rotor type machines have preferred to squirrel cage rotor machines which have high starting kVA. However, the capacity of power supply is on the increase in the field where motor application is needed, and the demand for large power motors of squirrel cage rotor has increased. However, large power machines with high speed pose problems, when connected to loads of large GD<sup>2</sup>, of heat generated at the starting and centrifugal forces working on the rotor bars and the end rings. Mitsubishi built and delivered a 7,300 kW 4 pole squirrel cage rotor type induction motors to the Shin-Nihon Steel Manufacturing Co., Tobata Mill through the Kobe Seiko Co. in Octover, 1969. This is a record product in this conutry to prove the way to the manufacture of large capacity squirrel cage rotor type induction motors.

## 1. まえがき

かご形誘導電動機は、巻線形誘導電動機に比べて保守が簡単、廉価, 寸法重量も小さい等いくつかの利点を持っている。その反面, 始動 kVA が大きいため大容量機では、電源電圧降下の点から巻線 形電動機が採用されてきた。

しかし、使用場所の電源容量は近年とみに増強され、従来、巻線形で製作されてきたような大容量機にかご形機を採用したいと言うユーザーからの要望は最近著しく増えてきつつあるが、大容量高速かご形電動機で負荷の GD² が大きい場合には始動時の発熱、および遠心力による回転子 ハー ならびに エンドリンク の強度が問題となる。当社では、昭和44年10月神戸製鋼経由新日本製鉄(戸畑製鉄所)に7,300kW 4極かご形三相誘導電動機を製作納入した。 これは、わが国で製作されたかご形機の最大容量 (4,800kW 三菱電機製)を大幅に上回る国内の記録品であり、大容量かご形電動機製作の緒となるものである。

以下,主として7,300 kW 電動機について述べるが, さらに大容量のかご形電動機の製作限界についても若干触れる。

## 2. 雷動機のおもな仕様

出 力 7,300 kW

電 圧 11,000 V

周波数 60 Hz

極 数 4極

回転子形式 かご形

通風冷却方式 水冷式空気冷却器付き全閉内冷形

用 途 空気圧縮機駆動用

始動方式 起動補償器による減圧始動

(80 % タップにおいて,始動 kVA を 25,000 kVA に押えている)。

## 3. 構 造

図3.1 にその外観,図3.2 に内部構造を示す。

図3.3 に回転子外観,図3.4 に回転子構造を示す。

回転子の構造以外は、普通の空気冷却器付き全閉内冷形とまった

く同じ構造であるから説明は省略する。 回転子は 図 3.4 に示すよ ェうに、 ッドリングの外周に非磁性鋼の シュリンクリング をかぶせた構造を

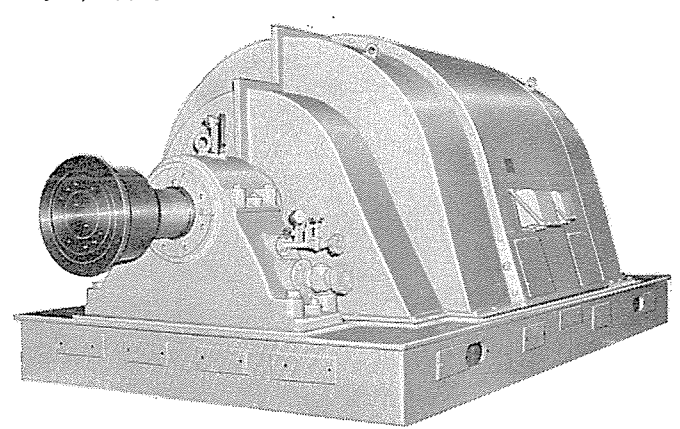


図 3.1 7,300 kW, 4 極かど形誘導電動機7,300 kW 4 pole squirrel cage induction motor.

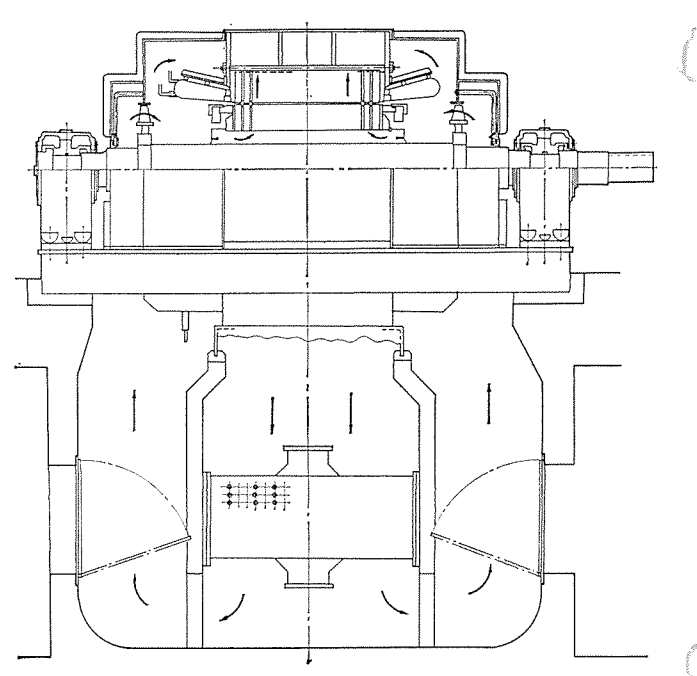


図 3.2 7,300 kW 電 動 機 構 造 断 面 図 Cross section of 7,300 kW induction motor.

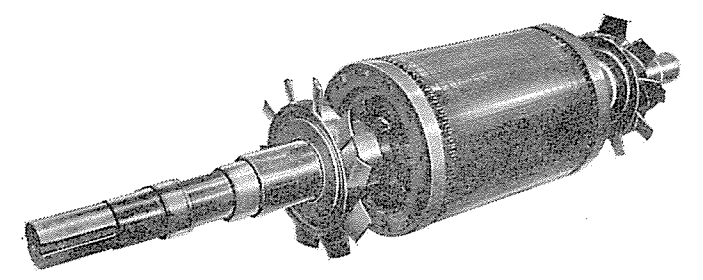


図 3.3 7,300 kW 電動機のかご形回転子 Squirrel cage rotor of 7,300 kW induction motor.

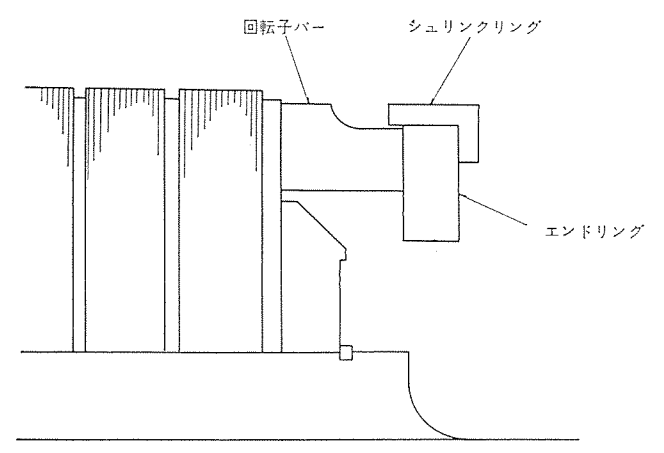


図 3.4 7,300 kW 電 動 機 の 回 転 子 構 造 図 Construction of squirrel cage rotor of 7,300 kW indction motor.

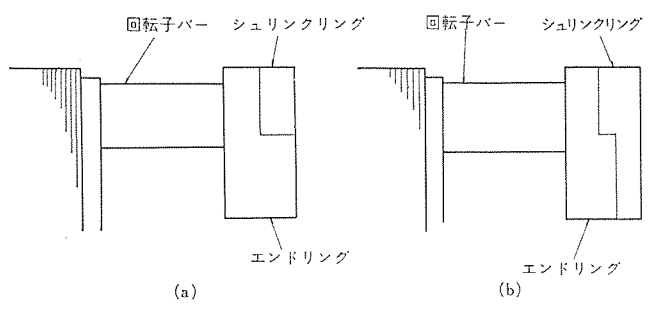


図 3.5 高速かど形電動機の回転子構造 Construction of squirrel cage rotor of high speed induction motor.

採用している。当社が従来製作してきた高速大容量かご形電動機では、図3.5(a),(b)に示すような構造を採用しており、図3.4の構造は今回初めて採用した構造である。

## 4. かご形電動機製作上の問題点

#### 4.1 始動時の温度上昇

かご形電動機を始動する際に、電動機に発生する熱損失は下記の 式で表わされる。

$$Q_2 = \left(\frac{2\pi n_s}{60}\right)^2 \frac{GD^2}{4} \int_0^1 \frac{T_M}{T_A} S \cdot ds \text{ (W-s)}$$

$$Q_1 \cong \frac{r_1}{r_0} Q_2 \text{ (Watt-s)}$$

記号については図4.1を参照されたい。

すなわち熱損失は  $GD^2$  に比例し、 $n_s$  の 2 乗に比例する。

回転子導体,固定子 コイルは, この熱損失により温度が上昇するがその値は,熱損失と熱容量,熱放散の程度により決る。したがって温度上昇が許容温度上昇値以下となるように熱容量を持たせ,冷

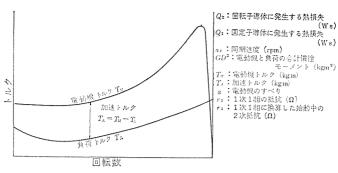


図 4.1 電動機トルクと負荷トルク Motor torque and load torque.

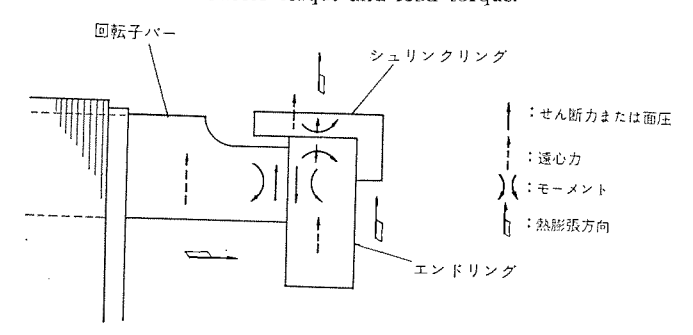


図 4.2 回転子に働く力, モーメント と熱膨張方向 Centrifugal force and moment working on the cage rotor and direction of thermal expansion in it.

却方法を考慮しなければならない。一般にかご形電動機では、 $r_1$ は  $r_2$ よりも小さく,一方回転子導体の熱容量は固定子  $\Box$   $T_1$  の熱容量 に比べて小さいために始動時の温度上昇は回転子のほうが高くなる。

## 4.2 回転子に生ずる応力

回転子の バー, エンドリング、シュリンクリング は、 4.1 節に述べた熱損失により熱膨張をする。また回転による遠心力が作用する。図 4.2に熱膨張の方向、遠心力の作用する方向を示す。

この熱膨張と遠心力によって回転子 バーと エンドリング の間には せん断力と曲げ モーメント、エンドリング と シュリンクリング の間には面圧と摩擦 モーメント が働く。これらの力、モーメント によって回転子 バー、エンドリング、シュリンクリングには、それぞれ応力が働き、この応力を各部の許容応力以下に押えるように各部の形状、寸法、ろう付けの方法を決め、また材料を選定しなければならない。かご形電動機の製作上の問題点は、始動時の温度上昇および温度上昇と遠心力による回転子の強度をいかに解決するかであり、この点が解決できれば、現在巻線形で製作されている高速大容量電動機をかご形機で製作することが可能となる。

## 5. 7,300kW 電動機の設計, 製作

設計, 製作に当たり下記の点を特に検討した。

- (1) 始動時の温度上昇
- (2) 構造, 寸法と各部の応力
- (3) 材料
- (4) ろう付けの方法

以下、これらの点につき簡単に述べる。

## 5.1 始動時の温度上昇

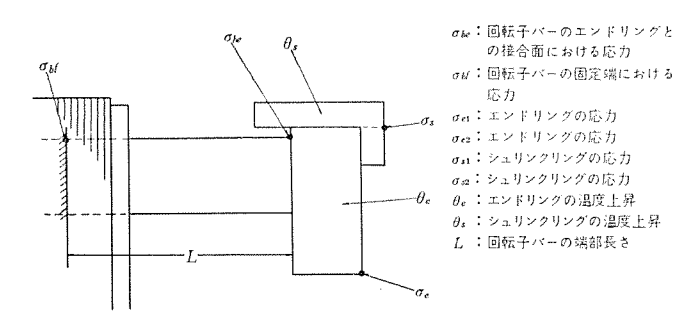


図 5.1 回転子の温度上昇と応力 Temperature rise and stress of squirrel cage rotor.

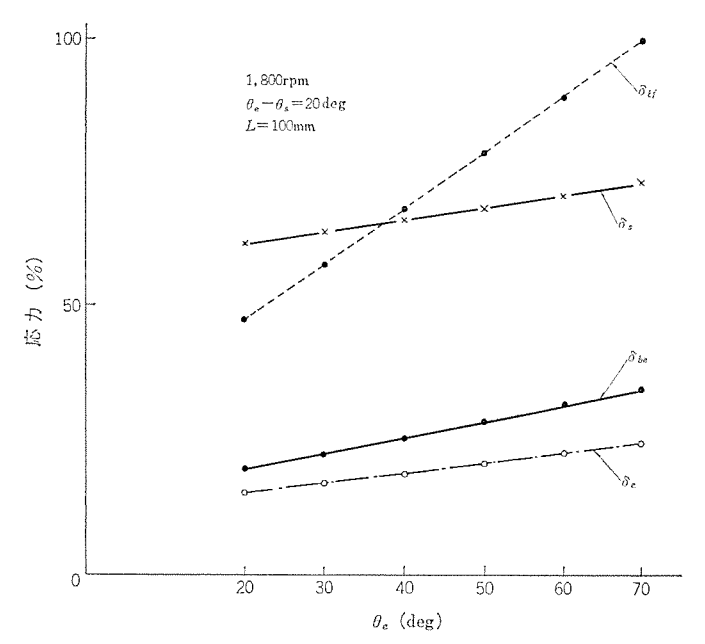


図 5.2 温度上昇と応力の関係 Relation between stress and temperature rise.

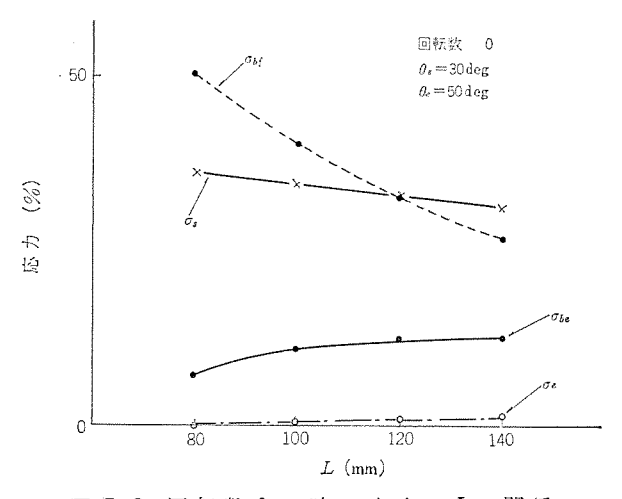


図 5.3 回転数 0 の時の応力とLの関係 Relation between stress and L at standstill.

## 5.2 構造, 寸法と各部の応力

図 3. 4, 3. 5(a)(b)の構造について各部の寸法を種々変えて検討を加えた結果、本機の場合は 図 3. 4 の構造が最も適当であると判断し、これについて詳細な検討を行なった。

検討結果の 1 例として 図 5. 2, 5. 3, 5. 4, 5. 5 に温度上昇,回転子  $\kappa$ - の端部長さ,回転数により各部の応力が変化する傾向を示す。応力は,図 5. 2 の  $\theta_e$ =70 deg における  $\sigma_{bf}$  の値を 100 %として%で表示してある。図 5. 2~図 5. 5 の縦軸の  $\chi_{f-\mu}$  は同一記

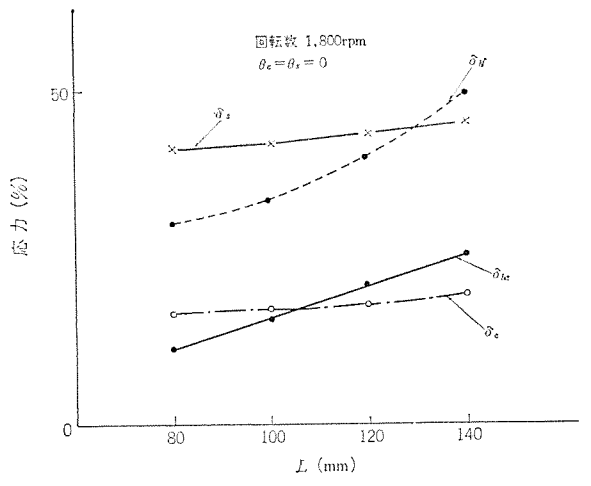


図 5.4 温度上昇 0°C で 1,800 rpm 時の応力と L の関係 Relation between stress and L ( $\theta_e = \theta_s = 0$ ).

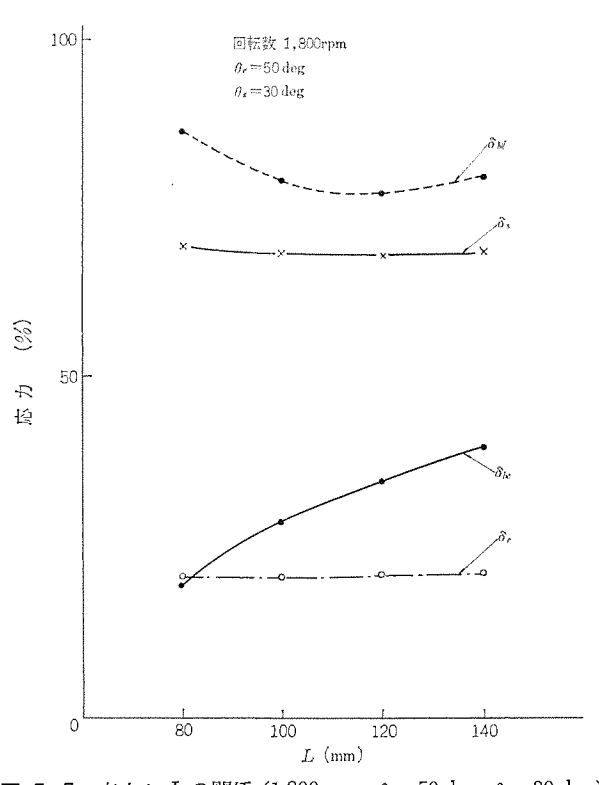


図 5.5 応力と L の関係 (1,800 rpm,  $\theta_e$ =50 deg,  $\theta_s$ =30 deg) Relation between stress and L (1,800 rpm,  $\theta_e$ =50 deg,  $\theta_s$ =30 deg),

号については図 5.1 を参照されたい。

図 5. 2 は L を一定として 1,800 rpm における  $\theta_s$ ,  $\theta_e$  と 応力の関係を示すものであり,応力は温度上昇に対してほぼ直線的に変化することがわかる。図 5. 3 は回転数 0 の時の L と応力(温度上昇による応力)の関係を示し,図 5. 4 は温度上昇 0°C の時の L と応力(遠心力による応力)の関係を示す。

実際の応力は、この「温度上昇による応力」と「遠心力による応力」の合成応力となり、この合成応力と L の関係を図 5.5 に示す。回転子  $\Lambda$  の最大応力は、固定端に生ずる応力( $\sigma_{bf}$  であり、エンドリング、シュリンクリング の最大応力は  $\Box T$  と反対側の内径に生ずる。( $\sigma_{c}$   $\sigma_{s}$  はこの部分の応力を示す)。これらの応力が材料の許容応力以下となるように各部分の寸法を決めた。

#### (3) 材料

回転子 バーの先端と エンドリング はろう付け時の高温にさらされ焼



図 5.6 回転子 バーエンドリングモデル による低 サイクル 疲労試験装置 Low cycle fatigue testing equipment by means of model of rotor bar and endring.

鈍される。さらに、始動時の高温の下で応力が作用する。

各種の銅材について焼鈍後の高温引張試験, 導電率の測定, テスト ピースによるろう付け試験を行ない, これらの結果を総合して最適と思われるものを採用した。回転子 バー, エンドリング とも特殊な熱処理形の銅合金を使用した。シュリンクリングの材料は, 必要な強度と加工性の点から最適のものを選定した。

図 5.6 は 7,300 kW 電動機の回転子 バー と エンドリング を模擬したろう付け テストピース による低 サイクル 疲労試験装置を示す。

材質はいずれも実機と同一, バーは形状, 寸法とも実機と同一である。

## (4) ろう付けの方法

ろう付け部分の強度はろう材、ろう付けの方法、回転子 バーと エンドリングの接合部の形状によって変化する。ろう付け テストピース の試験を行ない、ろう材、接合部の形状を選定した。また、鉄心長以外はすべて実機と同一の モデル 回転子を製作し、 ろう付作業法を検討して最適な方法を採用した。さらにろう付け完了後は超音波探傷により確認を行なった。

以上主要点を簡単に述べたが、本機は記録品であり、新しい回転子構造を採用したため、細心の注意を払って設計、製作にあたった。

## 6. 現地試験の結果

本電動機は昭和44年10月出荷されたが,12月中旬に現地で負荷 (空気圧縮機)と直結し、始動試験、負荷試験を行なって電動機電 流、回転子導体の温度上昇、応力を実測した。実測値は計算値とほ ぼ一致するか、または若干低い値を示し満足な結果であった。

参考のために、温度上昇の記録データを一例として示す。(図 6.1.



図 6. 1 7,300 kW 電動機の始動時温度上昇測定データ Temperature rise at starting of 7,300 kW induction motor.

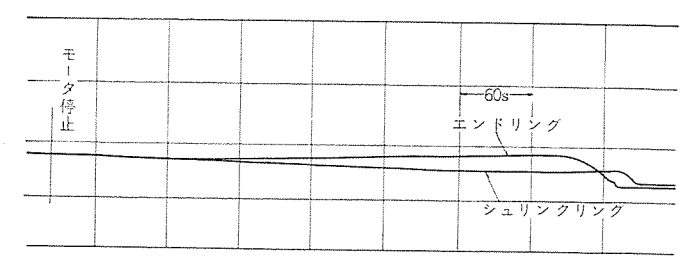


図 6.2 7,300 kW 電動機の始動時温度上昇測定 データ Temperature rise at starting of 7,300 kW induction motor

6. 2) なお起動補償器の タップ80 % において, 電圧降下の実測値は 約6%, 始動時間は約24 秒であった。

## 7. かご形電動機の製作限界について

7,300 kW 電動機は現在好調に運転されているが, さらに大容量のかご形電動機の製作限界について以下に若干触れてみる。かご形電動機の始動時における熱損失が  $GD^2$  に比例し, 回転数の 2 乗に比例すること,およびこの熱損失による回転子の熱膨張が回転子の強度に大きく影響することはすでに述べたが,  $GD^2$  の大きさを表わす一つの目安に,H constant (以下 H と略記) と言うのがある。

H constant は次の式で定義される。

$$H = \frac{GD^2 \cdot n_s^2}{730 \cdot P \times 10^3} (s)$$

ただし  $GD^2$ : 系の  $GD^2$  (kg-m<sup>2</sup>)

*n*<sub>s</sub>: 同期速度 (rpm)

P: 電動機の出力 (kW)

先に述べた,始動時に回転子導体に発生する熱損失 $Q_2$ とHとの関係は下式のとおりとなる。

$$Q_2 = 2H \cdot P \cdot 10^3 \cdot \int_0^1 \frac{T_M}{T_A} S \cdot ds \text{ (W-s)}$$

ただし Q2: 回転子導体に発生する熱損失 (W-s)

 $T_M$ : 電動機 トルク (kg-m)

 $T_A$ : 加速 トルク (kg-m)

S: すべり

すなわち、 $Q_2$ はHとPの積に比例する。

普通かど形電動機で始動し得る負荷の  $GD^2$  の範囲は JEM 1224, NEMA 規格 (NEMA. MG 1-1401. 01) に示されている。 JEM 1224 は NEMA 規格を参考にして作られたもので,内容はほとんど同一であるが,規格に含まれる出力の範囲は NEMA 規格のほうがより大きいので,NEMA 規格を示すと図 7.1 のとおりである。ただし  $GD^2$  の値そのものではなく H に換算して示す。

規格に含まれる出力の上限は 10,000 HP であり、この時の H は 60 Hz の 2 極機では約 0.4、4 極、6 極ではそれぞれ約 1.3、約 2.2 である。 10,000 HP を越える大容量機は大体 4 極以上の極数で製作されることが多いと思われるので、以下、4 極の場合について述べる。

 $7,300 \,\mathrm{kW}$  電動機製作の実績をもとにして検討した結果, 4 極,  $10,000 \sim 15,000 \,\mathrm{kW}$  の範囲では,負荷の H が 2.5 程度までは特に 2 シンサイズを大きくしなくとも製作が可能と考える。 H がさらに大きくなると, 熱容量を増す必要から 2 シンサイズをかなり大きくしなければならず,回転子けい素鋼板の強度等他の要素からも制約を受けることになるが,  $10,000 \,\mathrm{kW}$  で H が 5 程度では特殊な考慮を 払えば製作上問題はないと考える。

なお、負荷の  $GD^2$  が非常に大きい場合に発生する熱損失を減ら す比較的簡単な方法として、電動機を極数変換形として順序始動す る方法がある。始動時の回転子導体発生損失は前に述べたように下 式で表わされる。

$$Q_2 = \left(\frac{2\pi n_s}{60}\right)^2 \frac{GD^2}{4} \int_0^1 \frac{T_M}{T_A} S \cdot ds \text{ (W)}$$

簡単のために  $T_A = T_M$  (すなわち  $T_L = 0$ ) とすれば

$$Q_2 = \frac{GD^2}{730} n_s^2$$

今,電動機を極数変換形とし,低速側の同期速度を, $\frac{1}{2}n_s$ ,高速側の同期速度を  $n_s$ (たとえば,4極と8極の極数変換では, $n_s$ = 1,800 rpm, $\frac{1}{2}n_s$ =900 rpm)とすれば,

$$Q_{2}' = \left(\frac{2\pi \cdot \frac{n_{s}}{2}}{60}\right)^{2} \cdot \frac{GD^{2}}{4} \int_{0}^{1} \frac{T_{M}}{T_{A}} S \cdot ds + \left(\frac{2\pi n_{s}}{60}\right)^{2} \cdot \frac{GD^{2}}{4} \int_{0}^{\frac{1}{2}} \frac{T_{M}}{T_{A}} S \cdot ds \text{ (W-s)}$$

仮定により

 $T_A = T_M$  であるから,

$$Q_{2}' = \frac{1}{2} \cdot \frac{GD^{2}}{730} \cdot n_{s^{2}} \text{ (W-s)}$$

となり、発生損失は、一段速度の場合の $\frac{1}{2}$ となる。したがって、 $GD^2$  が非常に大きく一段速度では、製作困難な場合でも 2 段速度にすれば製作が容易となることがある。

普通 2 段速度形電動機は,一段速度形電動機に比べて 2 シンサイズが大きくなり,また特性も悪くなるが,始動のためだけに 2 段速度にする場合は,低速側の運転特性は問題にする必要がないため,高速側の特性を犠牲にすることなく,また,低速側は短時間定格で良いために 2 シンサイズ もさほど大きくせずに製作できる。したがって,一段速度にして 2 シンサイズ を大幅に大きくするよりはむしろ安くできることがある。先に製作可能な H の大きさを概略述べた が, 2 段速度にすればさらに大きな H の場合でも製作可能となる。

まえがきにも述べたように、使用場所の電源容量は近年とみに増強され、数千kWのかど形電動機を始動できる場所も増えてきた。 とのため、多くのユーザーの間では、たとえば、火力発電所の押込通風機、給水ポップや、鉄鋼プラットの空気圧縮機、ブロワー、および

- (1) 電動機の始動トルクは60%, 温度上昇40degの標準かご形電動機に適用する
- (2)負荷トルクは速度の2乗に比例し、定格速度にて定格トルクに等しいとする (3)冷泳磨からは引続き2回の始動、定格速転時の温度からは1回の始動ができ るものとする

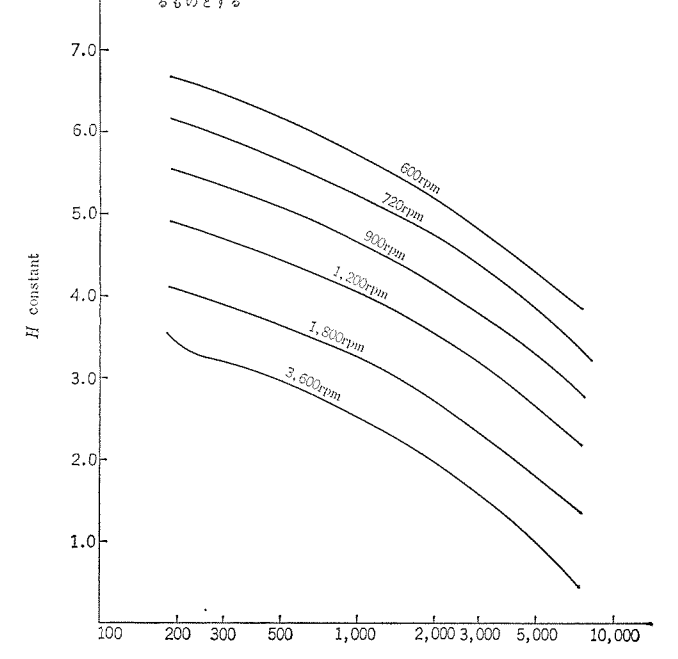


図 7.1 負荷の許容H constant. Allowable H constant of load.

出力 (kW)

化学 ブラントの圧縮機用など、5,000~10,000 kW の大容量電動機として、保守簡単で安価なかご形電動機を採用することが真剣に検討されている。ヨーロッパではすでに10,000 kW を越える大容量かご形電動機が使用されており、わが国においても今後は大容量電動機の多くがかご形電動機で製作されることになると思われる。当社は、7,300 kW 電動機の設計、製作にあたり、回転子バー、エンドリングを模擬したろう付け テストピース による強度試験、実機の回転子と鉄心長のみが異なる モデル回転子による工作法の研究など、数多くの実験と研究を重ねており、大容量かご形電動機の製作について十分な技術的 データと自信を持っているが、今後さらに研究を積み重ね、ユーザーの期待に応えていく所存である。最後に7,300 kW 電動機の設計、製作に当たりご指導、ご協力いただいた多くの方々、並びに現地測定を快諾され、多くの便宜を計って下さった新日本製鉄、神戸製鋼に対し謝意を表したい。

## 回転曲面に分布する電流による磁界の計算法

野村達衛\*

## Method of Calculation of Magnetic Field Due to Current Distribution on Revolving Surfaces

Central Research Laboratory

Tatsuei NOMURA

In the magnetic field at a generator end, a saddle shaped magent, the deflection coil of a picture tube and the like, the iron boundary is axi-symmetric, and the coil current is distributed on revolving surfaces. The current flow is three dimentional such as peripheral, axial and radial, making it hard to analyze the problems. The numerical calculation by the finite difference method can be applied to the field calculation involving the complex iron boundries. This paper describes a particular finite-difference method by the use of magnetic scalar potential and its application to the deffection yoke for the TV picture tube. The problems on the magnetic field with too complicated boundries to take them into account through the usual method are now exactly solvable by this method.

## 1. まえがき

発電機端部やテレビジョン 用偏向コイル あるいは円筒くら形マグネットの磁界問題は、鉄心境界が軸対称で電流も軸対称の回転曲面注1)に分布し、電流は円周方向成分のみならず、軸方向成分と半径方向成分も存在する三次元の磁界問題で、その解析はむずかしい。たとえば発電機端部の問題では、今まで Biat-Savart 法則を用いた方法(1)や、Tegopoulos の方法(2)などがよく使われているが、複雑な鉄表面境界は単純な平板で近似しなければならなかった。固定子鉄心押え板や、回転子コイル保持環などの複雑な形状の境界を考慮した解析は、電解そう(槽)などを用いた模擬解析(3)(4)によらねばならなかった。

このような三次元磁界問題に対し、複雑な鉄心境界も考慮できる 磁界計算方法として差分法による数値計算が期待される。差分法において、磁気 ベクトルポテンシャル を用いる方法と、磁気 スカラーポテンシャル (以後 スカラーポテンシャル あるいは単に ポテンシャル と称す)を用いる方法が考えられる。ベクトルポテンシャル を用いる方法(6)についても検討したが、ベクトルの3成分を含む三つの連立微分方程式を解かねばならず、計算機は多くの記憶場所が必要であり、差分方程式の緩和法(6)による計算も収束しむずかしいことが多い。

スカラーポテンシャル を用いた場合には、ポテンシャル を V とすると基礎 微分方程式は  $div\cdot \operatorname{grad} V=0$  であり、円筒座標系  $(r, \theta, z)$  に対し

となり、基礎式はベクトルポテンシャルを用いた場合より簡単である。しかしながら、この場合 rot  $H=\operatorname{rot}$ -grad  $V\equiv 0$  であり、電流の分布するところには式 (1.1) は適用できないので、電流の取り扱いはむずかしくなる。筆者は電流を Current Sheet で表わし、この Sheet 近傍における スカラーポテンシャル の取り扱い方を 検討 した。ここに Current Sheet とは巻線を無限に薄い Sheet にて表現し、電流はその Sheet に集中しているとみなしたもので、巻線は 1 枚の Sheet で表わすとは限らず多数の Sheet によって表現することもできる。

そして、差分法に対するこの方法の適用方法について検討し、実際の計算における スカラーポテンシャル を用いた場合の電流の取り 扱いに対する困難性を解決した<sup>(13)</sup>。実例として鉄心付くら形 コイル 構造を有する ブラウン 管電磁偏向 コイル の解析例を示し、この種の問題に対する適用性を示す。

## 2. 解析方法

#### 2.1 電流分布の展開式

Current Sheet の電流分布は,円周方向成分を  $i_{\theta}$  とし, $\theta$  面 $\dot{u}^{2}$ )に 平行な電流成分を  $i_{7z}$  とする。( $i_{7z}$  は電流の半径方向成分 と 軸方向成分の  $\sqrt{0}$  トル 和である)。 電流成分  $i_{\theta}$  と  $i_{7z}$  の分布は連続の 関係 (div i=0) によってその表式間に関連がある。まず電流成分  $i_{7z}$  は,円周の単位角度当たりの電流密度(A/rad)として次のように 表現できる。

$$i_{rz}(r, \theta, z) = i_0(r, z) + \sum_{n=1}^{\infty} \{i_{sn}(r, z) \sin n\theta + i_{cn}(r, z) \cos n\theta\} \dots (2.1)$$

ててに $i_0$ の項は全円周で均一に分布する電流, $i_{sn}i_{cn}$ の項は $\theta$ =0, $\pm\pi/2n$ ,……の $\theta$ 面に対して対称な正弦波分布の成分を表わしている。たとえば、2極 g-ビッ 発電機端部巻線では式(2.1)のn=1の項だけで十分正確に表わされ, $i_{s1}(r,z)\sin\theta+i_{c1}(r,z)\cos\theta$ と表わされる(7)。

電流の連続の関係式を Sheet 内の電流分布に適用すると次式をうる。

$$\frac{\partial i_{\theta}}{\partial \theta} + \frac{\partial i_{7z}}{\partial s} = 0 \qquad (2.2)$$

ここにsは、図 2. 1 に示すようにその点の $\theta$ 面に沿った Sheet の

注 1) 回転曲面とは一つの平面がその上の定直線(本文では≈座標軸)を軸として回転 するとき。 その平面上の定曲線 C の運動によってできる面と定義され、 C を母線 という。

注 2) 立体の形状を示すとき用いる前面の呼称を、本文では、座標  $\theta$  が一定である面を  $\theta$  面(あるいは  $\theta$  前面)座標 z が一定である面を z 面(あるいは z 前面)と称する ことにする。

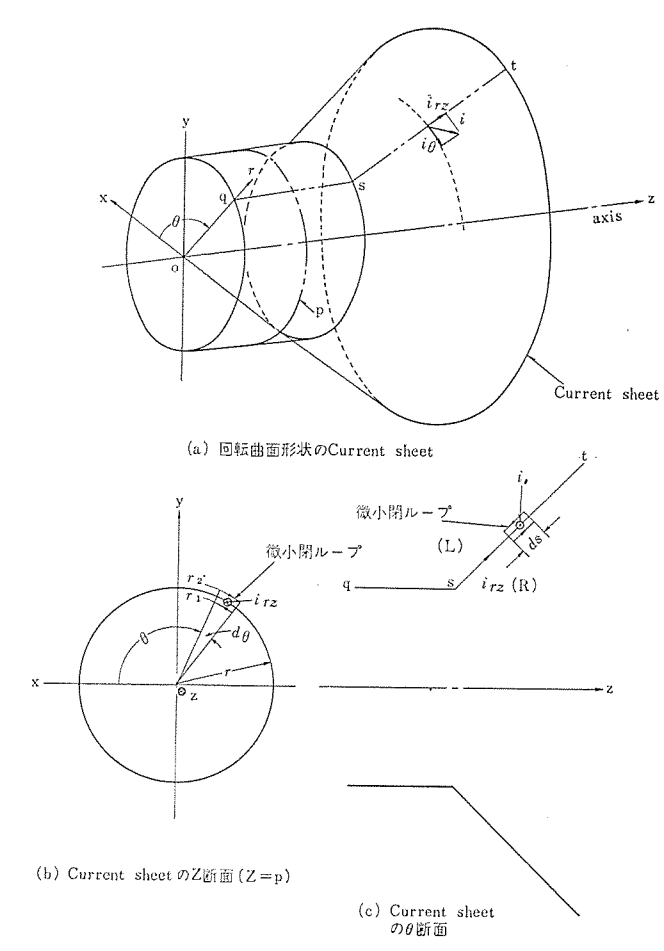


図 2.1 回転曲面形状の Current Sheet Current sheet with the shape of a revolutionary surface.

接線方向の長さを表わし、また  $i_{\theta}$  は s の単位長さ当たりの電流密度 とする。式 (2.2) を  $\theta$  に関し積分すれば次式をうる。

$$i_{\theta}(r, \theta, z) = i_{a}(r, z) - \sum_{n=1}^{\infty} \frac{1}{n} \left( \frac{di_{sn}}{ds} \cos n\theta - \frac{di_{cn}}{ds} \sin n\theta \right) \cdots (2.3)$$

ことに  $i_a$  は、 $\theta$  には無関係な電流分布で軸対称電流分布を表わしている。また  $i_{sn}$  と  $i_{cn}$  は、式 (2. 1) で用いた電流分布を表わす係数である。

軸対称電流成分以外の周辺方向電流分布は、式 (2.1) で使われた電流分布の係数  $i_{sn}$  と  $i_{on}$  の s 方向への微係数を係数とする 級数 で表示されている。

#### 2.2 電流分布とスカラーポテンシャルの関係

前章に述べたように、スカラーポテンシャル を用いる場合には無限に薄い Current Sheet を考え、磁界を計算する全領域に対し、基礎式 (1.1) を用いる。 Current Sheet のところは、rot H=i の関係に基づき Sheet の両面の スカラーポテンシャル に差(ポテンシャルギャップ)を考える。 スカラーポテンシャル は磁位であり、ポテンシャル の差は起磁力 を 意味する。

図 2. 1 に示す例において、Current Sheet 近傍における ポテッシャル の関係を求める。 同図 (b) は z=p における z 断面 e 示し、Current Sheet の一部を囲む微小閉  $\mu$ -ブを考えて Amper の 法則を適用すると次式が得られる。

 $i_{rz}d\theta = (\lim_{r_z \to r} H_2 r_2)d\theta - (\lim_{r_1 \to r} H_1 r_1)d\theta \cdots (2.4)$ ここに添字  $1 \ge 2$  は、おのおの Current Sheet の内径側と外径側の 値であることを示し、H は  $\theta$  方向の磁界の強さである。H= grad V の関係から、上の式は

$$i_{rz} = \frac{\partial V_L}{\partial \theta} - \frac{\partial V_R}{\partial \theta}$$
 .....(2.5)

 $\subset\subset\subset V_R=\lim_{\longrightarrow}V,\ V_L=\lim_{\longrightarrow}V$ 

となる。 ${\it CC}^{r_1 \rightarrow r}$  となる。 ${\it CC}^{r_2 \rightarrow r}$  般的に添字  $\it R$  と  $\it L$  は,電流の流れる方向に対しおのおの Sheet のちょうど右側と左側の値であることを示すことにきめる。

次に、図 2.1(c)に示すθ平面内において、Sheet を含む閉ループを考えるとまったく同様に次の関係式

$$i_{\theta} = \frac{\partial V_R}{\partial s} - \frac{\partial V_L}{\partial s} \dots (2.6)$$

が得られる。

一方微分方程式(2.4)の解の形を次式で表わす。

$$V = \phi_0 + \psi_0 \theta + \sum_{n=1}^{\infty} \{\phi_n \sin n\theta + \psi_n \cos n\theta\} \cdots (2.7)$$

ただしゅと ψ は座標 r, z の関係で, 本文では二次元 ポテンシャル あるいは単に ポテンシャル ということにする。 電流分布の表式と, スカラーポテンシャル 分布の表式の間の関係は次のように導くことができる。 式 (2.5) の右辺に式 (2.7) を入れると

$$i_{rz} = (\psi_{0L} - \psi_{0R}) + \sum_{n=1}^{\infty} n \{\phi_{nL} - \phi_{nR}\} \cos n\theta$$
$$- (\psi_{nL} - \psi_{nR}) \sin n\theta \} \qquad (2.8)$$

ただし添字 R と L は、それぞれの関数の Current Sheet の右側 と左側に近接した極限値とする。

となる。式 (2.1) の左辺と比較して、次のように ポテンシャルの Sheet 近傍における関係式が導かれる。

$$\psi_{0L} - \psi_{0R} = i_{0} \qquad (a) 
\phi_{nL} - \phi_{nR} = i_{cn}/n \qquad (b) 
\psi_{nL} - \psi_{nR} = -i_{sn}/n \qquad (c)$$
(2.9)

また式 (2.6) の右辺に式 (2.7) を入れると次式が得られる。

$$i_{\theta} = \left(\frac{d\phi_{0R}}{ds} - \frac{d\phi_{0L}}{ds}\right) + \left(\frac{d\psi_{0R}}{ds} - \frac{d\psi_{0L}}{ds}\right)\theta$$

$$+ \sum_{n=1}^{\infty} \left\{ \left(\frac{d\phi_{nR}}{ds} - \frac{d\phi_{nL}}{ds}\right) \sin n\theta + \left(\frac{d\psi_{nR}}{ds} - \frac{d\psi_{nL}}{ds}\right) \cos n\theta \right\}$$
.....(2. 10)

これを式(2.3)と比較すると第一項から

$$\phi_{0R} - \phi_{0L} = \int i_a ds \quad \cdots \qquad (2.11)$$

が得られる。 $i_a$  は式 (2.3) で定義した軸対称電流成分で,この式の右辺の積分値は起磁力に相当し,電流  $i_a$  の存在しないところ に おいても,積分値に等しい Current Sheet が続いていると考え ね ば ならない。式 (2.10) の第 2 項からは

$$\frac{d\psi_{0R}}{ds} - \frac{d\psi_{0L}}{ds} = 0$$

の関係が得られるが、S に関し積分すれば式 (2.9)(a) の関係で十分であるととがわかる。

式 (2.10) の最後の項に関しては、式 (2.9) (b), (c) の関係で十分であることがわかる。

以上の計算により、Current Sheet における ポテンシャルの 差は、式 (2.9) と式 (2.11) で表わされることがわかる。表 2.1 に電流分布の形と ポテンシャル 分布の形式,および Current Sheet における ポテンシャル の差の間の関係をまとめた。

表 2.1 電流分布式と スカラーポテンシヤル 分布形式の関係 Relations of scalar potential with current distribution on the form.

	電音	充分布の	形式	スカラーボテン	Current Sheet 面 におけるボテンシャ
No.	分 類	$i_{rz}\left(r,z, heta ight)$	$i_{\theta}(r,z,\theta)$	シャル分布形式	
i	全円周で均 一に分布する ・ ・ ・ ・ ・ ・ ・ ・ ・ ・ ・ ・ ・ ・ ・ ・ ・ ・ ・	$i_0(r,z)$		$\psi_0(r,z)\cdot  heta$	$i_0 = (\psi_{0L} - \psi_{0R})$
ii	軸対称電流 (円電流)		$i_a(r,z)$	$\phi_0(r,z)$	$\phi_{0R} - \phi_{0L} = \int i_a ds$
iii	正弦波分布	$i_n \sin n \theta$	$-\frac{1}{n}\frac{di_n}{ds}\cos n\theta$	$\psi_n(r,z)\cdot\cos n\theta$	$i_n = -n(\psi_{nL} - \psi n_R)$
iV	11.22.6577 11	$i_n\cos n\theta$	$\frac{1}{n}\frac{di_n}{ds}\sin n\theta$	$\phi_n(r,z)\sin n\theta$	$i_n = n(\phi_{nL} - \phi_{nR})$

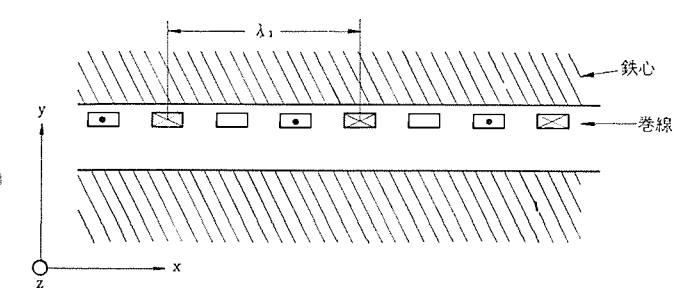


図 2.2 巻線が x 方向に周期的に分布する直交座標系 三次元問題例

Three dimensional problem with windings distributed periodically on the x-direction in the cartecian coordinates system.

## 2.3 基礎微分方程式と境界条件

三次元の基礎微分方程式 (1.1) は, $_{\lambda h \to - n}$  ポテンシャル を 表 2.1 に示す表式とすれば,次のような二次元の微分方程式となる。全円周で均一に分布する軸方向・半径方向電流  $i_0$  の場合と軸対称電流 (円電流)  $i_a$  の場合,(表 2.1 case  $i_n$  ii) には,二次元 ポテンシャル  $\psi_0$  あるいは  $\phi_0$  を u で表わすと,基礎式は

$$\frac{\partial^2 u}{\partial r^2} + \frac{1}{r} \frac{\partial u}{\partial r} + \frac{\partial^2 u}{\partial z^2} = 0 \qquad (2.12)$$

となる。正弦波分布電流の場合(第1表 case iii, iv) には、 $\psi_n$  または  $\phi_n$  を u とおくと、

$$\frac{\partial^2 u}{\partial r^2} + \frac{1}{r} \frac{\partial u}{\partial r} - \frac{n^2 u}{r^2} + \frac{\partial^2 u}{\partial z^2} = 0 \dots (2.13)$$

となり、r、 $\theta$ 、z で記述された基礎微分方程式は、r、z のみの 二 次元の微分方程式となる。

スカラーポテンシャル を用いた場合の境界条件は,透磁率が大きくて無限大とみなせる鉄心表面が V=0,すなわち u=0 の境界 と な る。また回転軸の z 軸上は V=0 (u=0) となる。(しかるに,もし  $V \!\!\!\!\!= 0$  であるとすれば  $\frac{1}{r} \frac{\partial V}{\partial \theta}$  と表わされる  $\theta$  方向の磁界の強さが,  $r \!\!\!\!\to \!\!\!0$  のとき無限大になるから V=0 でなければならない)。

これらの条件のほかに、Current Sheet に対する法線方向磁束密度の Sheet 両面における値が、等しい条件が必要である。

## 2.4 直交座標系三次元問題への拡張

リニヤモータ は,誘導電動機の固定子と回転子の表面の曲率半径を無限大に変形した構造である。このような直交座標系三次元問題の解析に適用することもできる。図 2.2 の例で直交座標を (x, y, z) としx 方向に周期的に巻線が分布しているものとすれば, 表 2.1 の (iii) と (iv) の欄の表式の  $\theta$  と r/n を

$$\theta \rightarrow \frac{x}{\lambda_n}, \frac{1}{n} \rightarrow \frac{\lambda_n}{2\pi}$$

と変えればこの問題の関係式が得られる。 ここで  $\lambda_n$  は 巻線分布の  $\alpha$  方向繰り返し間隔の 1/n の長さで、基礎微分方程式は次式となる。

$$\frac{\partial^2 u}{\partial y^2} + \frac{\partial^2 u}{\partial x^2} = \left(\frac{2\pi}{\lambda_n}\right)^2 u$$
 (2. 14)

したがってこのような直交座標系の三次元問題は,本文の方法で二次元問題として解析できる。

#### 3. 差分法における Current Sheet の表現

前章にて二次元問題に環元した微分方程式を直接解析的に解くことも,場合によっては可能であるが,多くはごく限られた単純な境界条件の場合についてである $^{(9)}$ 。ここでは複雑な境界条件でも,比較的に容易に解くことができる差分法を適用して,二次元 ポテンシャルの微分方程式 (2.12), (2.13), (2,14), を解く方法について検討した。差分法の適用に当たり問題となるのは,Current Sheet の差分式による表現方法であり,その他は,一般の二次元磁界計算などに用いられる方法と異なるところはない。

本章では、円筒座標系の問題におけるこの手法について検討する。

## 3.1 Current Sheet のないところにおける差分近似式

Current Sheet がないところでは、式 (2.12) あるいは式 (2.13) の微分方程式を次のように差分近似できる。 図 3.1 に 示す代表的網目格子点 0 において微分方程式の各項は、

$$\frac{\partial^2 u}{\partial r^2} = (u_2 + u_4 - 2u_0) \frac{1}{h^2}$$

$$\frac{1}{r} \frac{\partial u}{\partial r} = (u_2 - u_4) \frac{1}{2rh}$$

$$\frac{\partial^2 u}{\partial z^2} = (u_1 + u_3 - 2u_0) \frac{1}{h^2}$$

と表わすことができる(10)。 ここに添字は格子点の値であること を示す。したがってたとえば式 (2.13) は、

$$\begin{split} &\frac{1}{k^2}u_1 + \left(\frac{1}{h^2} + \frac{1}{2rh}\right)u_2 + \frac{1}{k^2}u_3 + \left(\frac{1}{h^2} - \frac{1}{2hr}\right)u_4 \\ &= \left(\frac{2}{h^2} + \frac{2}{k^2} + \frac{n^2}{r^2}\right)u_0 \cdot \dots (3.1) \end{split}$$

となる。差分式 (3.1) は,一般的に次のように表わされる。

ここに B は式 (3.1) の各項の係数に対応する定数である。

## 3.2 Current Sheet 近傍における差分近似式

ポテンシャル は、Current Sheet を境にして表 2. 1 に示す ffャップ があり、これを差分式で考慮する。

表 2.1の case (iii) を例にとると、ポテンシャルの ギャップは、

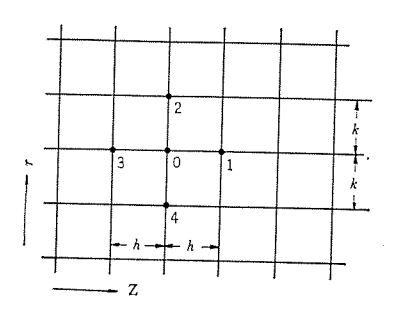


図 3.1 部分的に示した網目格子 Mesh shown partially.

$$u_R-u_L=\frac{i_n}{n}$$
 .....(3.3)

であり、ことでは、表 2.1 の二次元  $ポテンシャル ψ_n$  である。 一方 Sheet の法線方向磁界の連続の条件は次式となる。

ここにwは図2.1に示すように、Sheetに対し法線方向の隔たりである。

式 (3.3) から Sheet の接線方向の微係数に関する関係式を求めると、次式となる。

$$\left(\frac{\partial U}{\partial s}\right)_{R} - \left(\frac{\partial U}{\partial s}\right)_{R} = \frac{1}{n} \frac{\partial i_{n}}{\partial s}$$
 (3.5)

式 (3.4) と式 (3.5) から図 3.2 に示した Sheet の交差する網目線  $\overline{03}$  上について,ポテンシャル のこう配について考えると, z 方向の 偏微係数は,

$$\frac{\partial U}{\partial z} = \frac{\partial U}{\partial s} \cos \alpha + \frac{\partial U}{\partial w} \sin \alpha$$

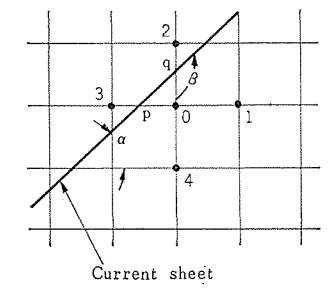
であるから、網目線 03上の ポテンシャル に対して

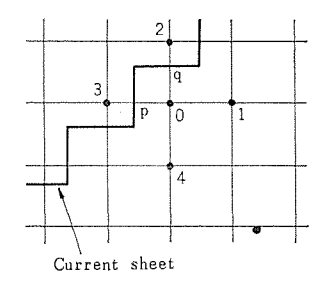
$$\left(\frac{\partial U}{\partial x}\right)_{R} - \left(\frac{\partial U}{\partial z}\right)_{L} = \frac{1}{n} \frac{\partial i_{n}}{\partial s} \cos \alpha$$
 ....(3.6)

の関係を得る。とれより網目線  $\overline{03}$  上の ポテンシャル 分布 は, 図 3.3 に示すように考えることができる。 点 p に おいて  $i_n r/n$  が あ り, Sheet の右側と左側の ポテンシャル こう配には,式 (3.6) の 差が 生じている。ここで次のように近似する。

$$\left(\frac{\partial U}{\partial z}\right)_{R} = \frac{U_{0} - U_{R}}{0p},$$

$$\left(\frac{\partial U}{\partial z}\right)_{L} = \frac{U_{L} - U_{3}}{p3}$$





(a)

(b) Current sheetの折線近似

図 3.2 Current sheet 近傍の網目格子 Mesh lattice near the current sheet.

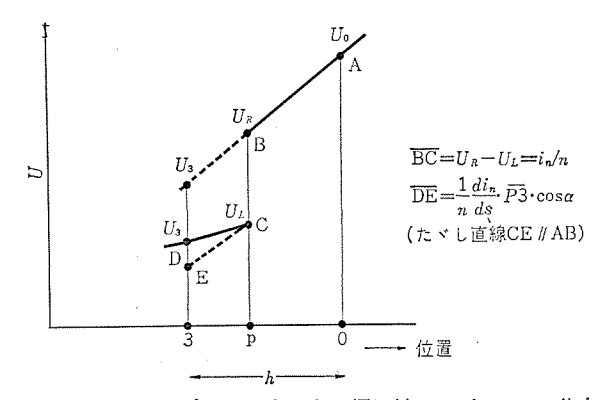


図 3.3 Current sheet が交さする網目線上の ポテンシャル 分布 Potential distribution on the mesh line crossed by a current sheet.

とこに $\overline{0p}$  および $\overline{p3}$ は、点0とpおよび点pと3の間の長さである。点0側のこう配 $(aU/az)_{op}$ を求めると、

$$\left(\frac{\partial U}{\partial z}\right)_{0n} = \left(U_0 - U_3 - \frac{1}{n}i_n + \frac{1}{n}\frac{di_n}{ds} \cdot \overline{p3} \cdot \cos\alpha\right) \cdot \frac{1}{h} \quad \dots (3.7)$$

となる。これが、点0から見た網目線03間のポテンシャルの見かけのこう配である。同様にして、点0から見た網目線02間のポテンシャルの見かけのこう配 $(\partial U/\partial r)_{0q}$ は、

$$\left(\frac{\partial U}{\partial r}\right)_{0q} = \left(U_2 - U_0 + \frac{1}{n}i_n - \frac{1}{n}\frac{di_n}{ds} \cdot \overline{q^2} \cdot \cos\beta\right) \frac{1}{k} \quad \dots (3.8)$$

となる。式 (3.7) と式 (3.8) は別の見方をすれば,点0から見た点 3 の見かけの ポテンシャル が,  $\left(U_3+\frac{1}{n}i_n-\frac{1}{n}\frac{di_n}{ds}\cdot \overline{p^3}\cdot\cos\alpha\right)$  となり,点 2 の見かけの ポテンシャル が,  $\left(U_2+\frac{1}{n}i_n-\frac{1}{n}\frac{di_n}{ds}\cdot\overline{q^2}\cdot\cos\beta\right)$  となる。したがって Current Sheet を考慮した差分近似式は,網目交点 0 に対し,次のように考えることができる。

$$B_{1}U_{1}+B_{2}\left\{U_{2}+(i_{n}/n)_{q}-\left(\frac{1}{n}\frac{di_{n}}{ds}\cdot\overline{qz}\cdot\cos\beta\right)_{q}\right\}$$

$$+B_{3}\left\{U_{3}+(i_{n}/n)_{p}-\left(\frac{1}{n}\frac{di_{n}}{ds}\cdot\overline{p3}\cdot\cos\alpha\right)_{p}\right\}$$

$$+B_{4}U_{4}=B_{0}U_{0} \qquad (3.9)$$

ここに添字pとqは、点pとqの値であることを表わす。

また Current Sheet の形状を,図3.2(b)に示すように折線で近似すれば,式(3.6)の右辺は零であり,式(3.9)は次のような簡単な形の差分近似式となる。

$$B_1U_1 + B_2(U_2 + i_n/n)$$
  
  $+ B_3(U_3 + i_n/n) + B_4U_4 = B_0U_0$  .....(3.10)

Current Sheet 近傍について問題にしなければ、この差分近似式のほうが簡単でよい。

著者は、このような差分方程式の設定を電子計算機にて行なわせる プログラムを作成した。この際、Current Sheet に沿ってその座標と電流値を適当な間隔で与え、その降りあう座標間の Sheet は直線で近似し、また電流分布も一次内そう(挿)で与える方法を用いた。この方法で、形状の異なる種々の問題にはん用できる計算 プログラム が完成された。このようなはん用性のある プログラム によれば、Current Sheet が何枚でも考慮できるので、かなり厚みのある コイルの中に流れる電流分布も、多数の Sheet によって表現できた。

## 3.3 差分方程式の計算

一般の境界値問題に使われる過大緩和法 (S. O. R) $^{(6)}$ が,適用できる。式(3.9)あるいは式(3.10)の例で表現された,Current Sheet 近傍の差分式は,

$$B_1U_1+B_2U_2+B_3U_3+B_4U_4+C=B_0U_0$$
 .....(3.11)

ここに C は Current Sheet の電流値などによって定まる定数で、 考えている格子点に固有のものである。

と表わされ、Current Sheet のないところにおける差分式 (3.2) に比べ、定数 C が加わっているにすぎなく、二次元の Poisson 方程式の差分近似式と同じ形となっているので、特に変った取り扱いは必要ない。

過大緩和法による差分方程式の計算は、スカラーポテンシャル を用いた 場合には、鉄心の境界を ポテンシャル が既知の境界、 すなわち第1種 境界条件注3) にとることができるので収束性がよい。 著者 は 文献

注 3) との表現は文献(10)によった。

(11)の加速定数の設定方法を用い、発電機端部の磁界計算や、鉄心付くら形構造 コイルの ブラウン 管電磁偏向 コイル などに適用したが、完全に収束した解を容易に得られた。

## 4. 解 析 例

鉄心付くら形構造 コイルの問題はきわめて解析が困難な問題の一 つである。 との鉄心付くら形 コイル の問題の適用例を示し、本方法 の実際問題への適用性を検討する。 鉄心付くら形 コイル の例として 図4.1 に示すような構造のものを考える。 これは テレビジョンブラウン 管電磁偏向 コイルで、円すい(錐)形状のくら形巻線と円すい形の鉄 心からなっている。巻線はz方向で大幅に変化するが、一般的に図 4.1の(b)に示す切断面のように円すい形状の薄い層内に エナメル 線が巻かれている。鉄心は、巻線の円すい部を囲むように配置され、 偏向 コイル の内部の磁束密度を高める。 図 4.2 は偏向 コイルの θ 断 面を示し、斜線で示す巻線層に流れる電流を、太い実線で示す Current Sheet によって表現する。円すい部の巻線は、大体 6 平面 に平行な方向に向いており、図4.1(b)に示すz断面から巻線密 度の分布を座標 θ に対して求めれば, Sheet に沿う方向の電流成分  $i_{rz}$  の分布が求められ、たとえば、図 4.3 のように座標  $\theta$  に対する 分布が求められる。 磁界計算は、実際に使われている偏向 コイル に 対して行ない、磁界分布の測定値との比較を行なうため、計算に用 いた コイル を樹脂によって固めたうえで、 切断することにより巻線 分布を測定した。また図 4.1 に示す巻線両端のつば形状の部分は、 巻線が主として円周方向になっているので、 電流成分は io が 大き い。しかしながら計算には Sheet に沿う方向の電流  $i_{rz}$  の分布が必 要で、つば形状部分では巻線を円筒形状に切断しなければならない が、切断工作はむずかしいので写真撮影により巻線分布を分析した。 電流成分 irz の分布は Fourier 展開により

 $i_{72}=i_1\cos\theta+i_3\cos3\theta+i_5\cos5\theta$  ....................(4.1) と表わされる。計算値と実測値を比較検討するために用いた偏向コイルの巻線分布を,図 4.2 に示す Current Sheet の位置  $a\sim m$  において測定した。図 4.3 に分布例を示す。図 4.4 は Sheet に沿う電流成分  $i_{72}$  の係数  $i_1$ ,  $i_3$ ,  $i_5$  の分布を示す。円周方向電流  $i_\theta$  は式(2.3) で示すように係数の Sheet に沿った変化分である。円すい部  $e\sim l$  では,電流の大部分を占める基本波成分  $i_1$  の変化が小さく,円周方向の電流成分  $i_0$  が小さい。  $a\sim e$  と  $l\sim m$  の部分の 巻線は円周方向になっているので,係数の変化が大きく,円周方向の電流  $i_0$  が大きい。 $i_{72}$  の分布でもって電流成分  $i_0$  の分布も表現でき, 磁界計算では  $i_{72}$  の分布を使えば, $i_0$  も考慮できる。

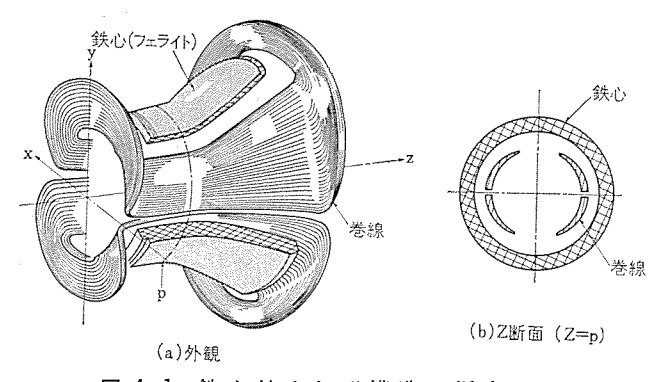


図 4.1 鉄 心付くら形 構造の偏向コイル Deflection yoke for picture tube with saddle shaped windings and an iron core.

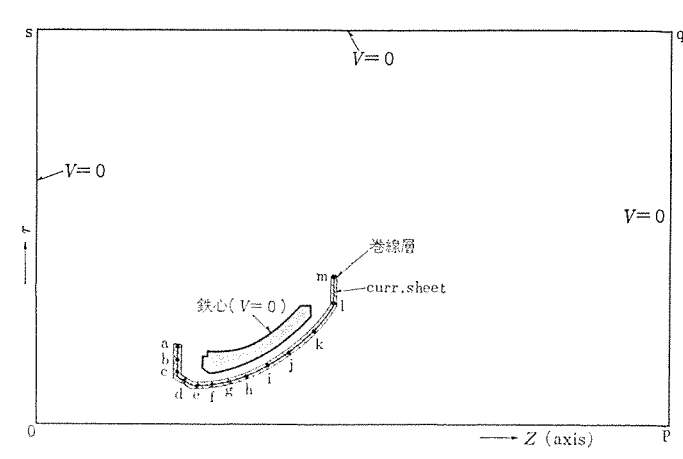


図 4.2 偏向コイル磁界計算領域 Bounds of magnetic field of the deflection coil.

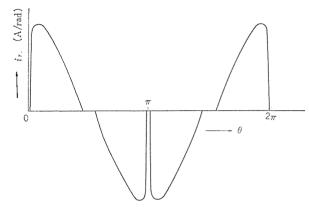


図 4.3 電流成分  $i_{rz}$  の座標  $\theta$  に対する分布例 Example of distribution of the current component  $i_{rz}$  vs. the coordinate  $\theta$ .

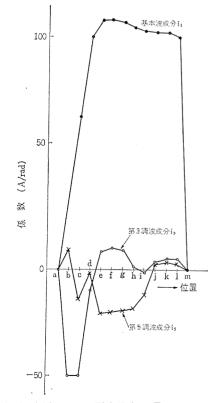
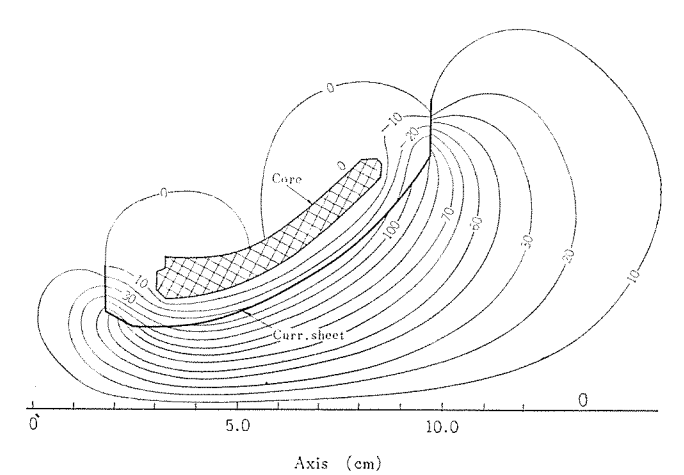


図 4.4 偏向 コイル の電流分布の Fourier 級数展開 Fourier series expansion of the current distribution of the deflection yoke.

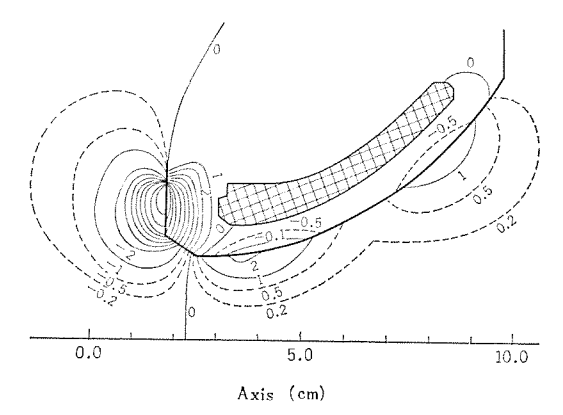
磁界計算は、式 (4.1) の第 1 項の基本波分布 (n=1)、第 2 項の第 3 調波分布 (n=3)、および第 3 項の第 5 調分布 (n=5) の各二次元 ポテンシャル を計算し、その重畳によって求める解が得られる。

差分法による磁界計算は図 4.2 に示す  $\theta$  断面の領域に対して行なう。 周囲境界は p-q-s-o に ポテンシャル 零の境界を設定する。 その位置は、コイル付近の磁界分布に位置による影響が及ばないよう に遠くにとっている。 また z 軸は、 2 章に述べたように ポテンシャル 零である。鉄心は フェライト で比透磁率は大きく、その表面は ポテンシャル 零と考える。

このような条件のもとに、差分方程式を先に述べた緩和法によって計算する。 電流の基本波分布から ポテンシャル φ1, 第3調波分布から ポテンシャル φ5 の各分布を計算す



(a) ポテンシャル φェの分布



(b) ポテンシャル Φ2 の分布

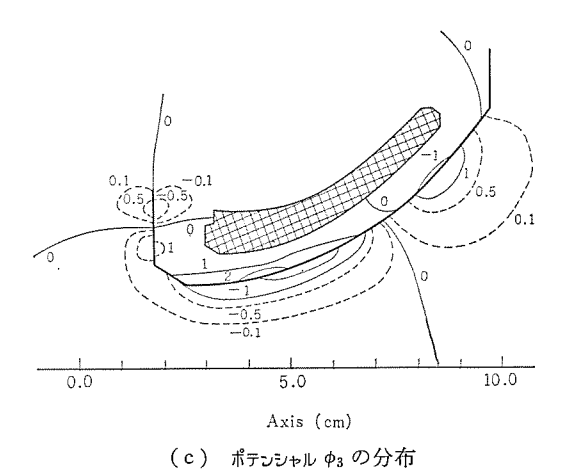


図 4.5 計算した磁界の等ポテンシャル図 Equi-potential graph of calculated magnetic field.

る。これらを総合した スカラーポテンシャル Vは,

$$V(r, z, \theta) = \phi_1(r, z) \sin \theta + \phi_3(r, z) \sin 3\theta + \phi_5(r, z) \sin 5\theta \cdots (4.2)$$

として求められる。この場合磁束密度の分布  $B_r$ ,  $B_\theta$ ,  $B_z$  は,  $B=\mu_0$  grad V から次のように表わされる。

$$B_{r}(r, \theta, z) = \mu_{0} \left[ \frac{\partial \phi_{1}}{\partial r} \sin \theta + \frac{\partial \phi_{3}}{\partial r} \sin 3\theta + \frac{\partial \phi_{5}}{\partial r} \sin 5\theta \right]$$

$$B_{\theta}(r, \theta, z) = \mu_{0} \left[ \frac{\phi_{1}}{r} \cos \theta + \frac{3\phi_{3}}{r} \cos 3\theta + \frac{5\phi_{5}}{r} \cos 5\theta \right]$$

$$B_{z}(r, \theta, z) = \mu_{0} \left[ \frac{\partial \phi_{1}}{\partial z} \sin \theta + \frac{\partial \phi_{3}}{\partial z} \sin 3\theta + \frac{\partial \phi_{5}}{\partial z} \sin 5\theta \right]$$

$$(4.3)$$

図 4.5 は先に巻線分布を求めた実際の コイルの計算結果で、基本 波分布に対する ポテンシャル  $\phi_1$ 、第 3 調波分布に対する ポテンシャル  $\phi_3$ 、および第 5 調波分布に対する ポテンシャル  $\phi_5$  の分布を示している。 この図から高調波分布になると Current Sheet 近傍すなわち巻線近傍 に磁界が集中し、巻線より遠いところでは影響が及ばなくなる度合が強いことがわかる。

図 4.6 は、式 (4.3) によって計算した磁束密度をz軸に 直角な 断面上の分布を示す。この結果を実測値と比較するとかなりよく一 致する。

本文の例では巻線が非常に複雑な構造であって、切断によって巻線分布を調べた結果を用いて磁界計算を行なったが、発電機などの大形の機器においては、巻線形状は偏向 コイル の場合よりもかなり簡単であり、巻線分布は計算のみによって求められるので、磁界解析は容易である。

偏向 コイル の磁界問題は、 巻線近傍における磁界分布の計算は必要がなく、中心付近の空間の磁界について実測と比較し、 適用性を 検討したが、 発電機端部の磁界問題では、 巻線内の磁界分布も問題

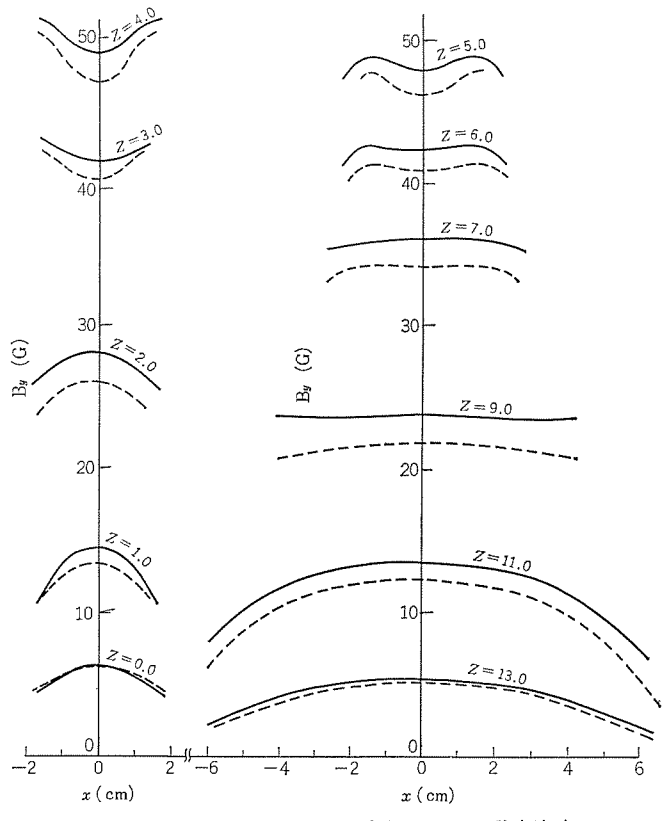


図 4.6 偏向 コイルの軸に直角な断面の磁束密度 Distribution of flux density on the crosssection perpendicular to the axis.

#### 5. む す び

回転曲面に電流が分布するような,三次元磁界問題の磁気 スカラーポテンシャル を用いた差分法による計算方法を述べ,適用例を示した。 この手法による発電機端部の磁界問題への適用例は, 別の 論文(11)に紹介する。

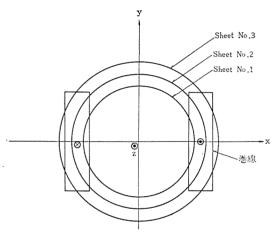
この手法は、回転曲面に電流が分布しているとは一見考えられないような、三次元磁界問題に適用できる(付録の例参照)。したがって本文の方法は、三次元磁界問題の解析に対する有力な手段の一つであるといえよう。

著者は種々の問題への適用を試みており、別の機会に報告したい。 最後に種々で検討をいただいた当所岩本研究員および関係者のか たがたに感謝いたします。

## 参考文献

- (1) P. J. Lawrenson: Proc. IEE, 108, part A, 538 (1961)
- (2) J A. Tegopoulos: IEEE Trans, PAS-82, 562 (1963)
- (3) R. L. Winchester: AIEE Trans., 74, pt. III, 381 (1955)
- (4) 奥田:電学誌 88-6, No. 957 (昭 43)
- (5) 奥田:昭43年電気学会東京支部連大 No. 135
- (6) 正野:緩和法入門(昭38)朝倉書店
- (7) J. A. Tegopoulos: AIEE Trans., 81, pt. III, 695 (1962)
- (8) D. S. Ashworth et al: Proc. IEE, 108, part A, 527 (1961)
- (9) R. T. Smith: AIEE, 77, pt. III, paper 58-1, Aug. (1958)
- (10) 加藤ほか: 微分方程式の近似解法Ⅱ (昭 32) 岩波書店
- (11) P. Rachford: J. Soc. Indust. Appl. Math., 3, 28 (1955)
- (12) 野村:発電機端部の磁界解析(投稿予定)
- (13) 野村ほか: 昭和44年電気四学会連大 No. 579
- (14) 野村ほか: Ibid. No. 578

## 付 録

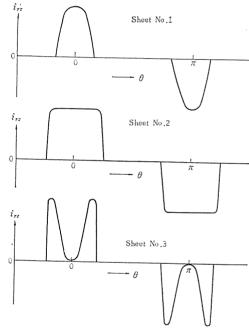


付図 1 回転曲面形状に分布していない巻線の回転曲面 Current Sheet による表現

Expression of the winding not being distributed in a configuration of revolutionary surfaces, by current sheets of revolutionary surfaces.

回転曲面形状に分布していない巻線分布の回転曲面 Current Sheet による表現

巻線分布が回転曲面形状でない問題も、多数の回転曲面の Current Sheet を用いれば、本文の方法が適用できるものが多い。 たとえば付図 1 に示すく(矩)形断面巻線分布は、数枚の Current Sheet で表わすことができる (図は 3 枚の Sheet で表現している)。 この場合の Current Sheet の円周上の電流分布は、 付図 2 に 示すように、巻線の存在する部分のみ電流があり、電流分布の Fourier 級数



付図 2 Current Sheet における円周上の電流分布 Current distribution on the periphery of current sheets.

展開式はかなり高次調波の項を含む。磁界計算が巻線より遠いところの分布のみ知ればよいときには、あまり高次調波まで計算する必要はないが、巻線内部の磁界分布(この可能性については文献(12)に述べる)が必要であれば、相当の高次調波まで計算すればよい。

## ビデオ テープレコーダ VT-900

道家昭彦\*•国井郷志\*

## Video Tape Recorders VT-900

Communication Equipment Works

Akihiko DÔKE · Satoshi KUNII

The video tape recorder using a magnetic type for the recording medium has a character of instantaneous reproduction and also economic advantages of recording and playing back some hundred times.

Now video tape recorders type VT-900 with sufficient performance of high resolution to record X-ray fluoroscopic pictures have been developed. This article describes their outlines.

As an annexed device to them, an automatic retrieval unit VS-9 that enables the operator to search the position of desired recorded picture automatically has been worked out. Also a spot device, to be combined with XTV and capable of reproducing the same picture, has been developed to examine a diseased part quickly.

## 1. まえがき

ビデオテーブレコーダ (Video Tape Recorder: VTR) は、記録媒体に 磁気 テープ を使用しているので即時性があり、 また何度でも(数百回)記録・再生できるという経済性から、最近では放送局のみならず、工業・医学・教育等の諸分野でも使用され、またその地位もますます重要視されるにいたっている。

近年わが国において、医療用に X 線 テレビジョン 装置が本格的に普及しつつあるが、これにつれて、X 線透視像を VTR によって記録したいという要求が強くなってきた。そして VTR が使用されることにより、透視後の診断が迅速・正確・簡便化され、さらに集団討議・教育にも応用されている。

このような情勢にかんがみ、工業用・教育用はもちろんのこと、X 線  $_{\text{FULU}30}$  用として 特に 高解像度の可搬形 VTR を開発したので、その概要を以下に述べる。

## 2. VT-900 の概略仕様および特長

本機は映像信号の方式により、つぎの2機種に分けられる。

- (a) VT-900……EIA 標準映像信号(日米国の テレビジョン 標準方式)
- (b) VT-900 X······フィールド 周波数 60 Hz, 水平走査線数 625 本, インターレース 比2:1 の複合映像信号(三菱X線 テレビジョン 方式)
- 表 2.1 に VT-900 および VT-900 X ([ ]内) の概略仕様を示す。

図 2.1、2.2 は本機の正面および斜視図を示す。

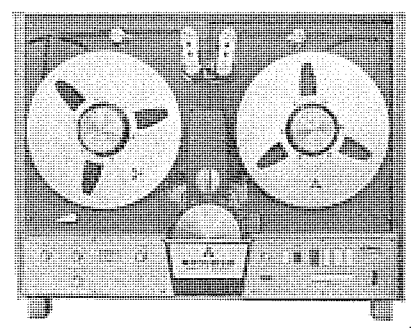


図 2.1 VT-900 Model VT-900.

表 2.1 VT-900 概略 仕様 General specification of model VT-900.

双 ローモーション	項目	仕 摸
音         声         1チャネル (2チャネル可能)           ス チ ー ル 再 生         可能(ただしランダムインターレースの場合を除く)           ス ローモー ション         環境再生速度の 0~1/5 の顧明で連続可変再生可能(ただしアンダムインターレースの場合を除く)           フ フターレーディング         可能           リモートコントロール         可能 (VC-9 形付属品使用の場合)           モ ニ タ	テ - ブ	三菱ビデオテープ VM-1090 形(25.4mm 幅 1,080m 長)
ス チ ー ル 再 生 可能(ただしランダムインターレースの場合は正常な円生ができない) フフターレコーディング 可 能 可能 (VC-9 形付属品使用の場合) キ ニ タ	y - n	三菱テープリール(NAB 規格 1 インチ 10 号リール)
双 ローモーション	音 声	1チャネル (2チャネル可能)
ファクーレコーディング 可能	スチール再生	可能 (ただしランダム インターレースの場合は正常な再生ができない)
リモートコントロール         可能 (VC-9 形付風品使用の場合)           モ ニ タ         音声のみ内蔵           ボー・トサーチ         1~39 番地まで可能 (VS-9 形を使用の場合)           記録 時間         90分 [75分] (最大2時間)           テープ 速度         19.87 cm/s (23.38 cm/s)           ビデオヘッド速度         20.84 m/s           早 遊 時間         5分以内 (1,080 m テープの場合)           プ ウ フ ラ ッタ         0.15 % RMS 以下           ジ ッター         1.5 μs 以下 (60 Hz)           起 動 時間         5s 以内 (ストップモードより)           ア生時可変範囲 士3 μs 以内         再生時可変範囲 士7 ms 以内           動 時間         5s 以内 (ストップモードより)           アナーシャングコントロール         再生時可変範囲 士7 ms 以内           毎 (日) 温度         682 (W)×365(H)×530(D)mm           か (日) 温度         682 (W)×365(H)×530(D)mm           か (マーマもので)         0.5~2 V P-P 同期負 インピーダンス 75 Ω または、HIGH 不平衡 (M 形接せん)           映像 (日) 力         1.4 V P-P 同期負 インピーダンス 75 Ω 不平衡 (M 形接せん)           所 (財 後) 上         40 dB 以上           音 声	スローモーション	標準再生速度の 0~1/5 の範囲で連続可変再生可能(ただ しランダムインターレースの場合を除く)
老       二       夕       音声のみ内蔵         オートサーチ       1~39 番地まで可能(VS-9 形を使用の場合)         記録時間       1~39 番地まで可能(VS-9 形を使用の場合)         デースッド選度       20.84 m/s         ビデオヘッド選度       20.84 m/s         プラック       5分以内(1,080 m テープの場合)         参展し時間       5分以内(1,080 m テープの場合)         プラック       0.15 % RMS 以下         シックーした場別で(60 Hz)       5分以内(1,080 m テープの場合)         プラッキングコントロール       5 以内(ストップモードより)         再生時可変簡団 ±3μs 以内       中生時可変簡団 ±3μs 以内         市生時可変簡団 ±7 ms 以内       58 kg (本体のみ)         682(W)×365(H)×530(D)mm       0°C~40°C         助 像 面 面 度 節 囲 の°C~40°C       0.5~2 V P-P 同期負 インピーダンス 75 Ω または、HIGH 不平衡 (M形接せん)         映像	アフターレコーディング	可能
## 付 本平・垂直可能    1~39 番地まで可能 (VS-9 形を使用の場合)   1~39 番地まで可能 (VS-9 形を使用の場合)   7・	リモートコントロー'ル	可能 (VC-9 形付属品使用の場合)
ボートサーチ 1~39 番地まで可能 (VS-9 形を使用の場合)  デーフ速度 ビデオヘッド速度 20.84 m/s  早 送 時 問 5分以内 (1,080 m テーブの場合)  巻 戻 し 時 問 5分以内 (1,080 m テーブの場合)  ク フ フ ッ タ の1.5% RMS 以下 フ ッ タ ー 1.5μs 以下 (60 Hz)  起 動 時 問 ス キューー 再生時可変範囲 ±3μs 以内  所生時可変範囲 ±7 ms 以内  を経(W)×365(H)×530(D)mm  が 保 用 温 度 範 囲 の°C~40°C  映 像 入 力 HIGH 不平衡 (M形接せん)  映 像 出 力 (M形接せん)  映 像 国 対 並 600 以下 (M形接せん)  映 像 国 対 が (M形接せん)  映 像 国 対 が (M形接せん)  映 像 国 対 が (M形接せん)  対 で (3C-30)  音 声 出 力 の4B 600 Ω 平衡 JIS 単式110 号 ブラグに適合するジャック (3C-30)  音 声 出 力 の4B 600 Ω 平衡 JIS 単式110 号 ブラグに適合するジャック (3C-30)  音 声 出 力 の4B 600 Ω 平衡 JIS 単式110 号 ブラグに適合するジャック (3C-30)  音 声 出 力 の4B 600 Ω 平衡 JIS 単式110 号 ブラグに適合するジャック (3C-30)  音 声 出 力 の4B 600 Ω 平衡 JIS 単式110 号 ブラグに適合するジャック (3C-30)  音 声 出 力 の4B 600 Ω 平衡 JIS 単式110 号 ブラグに適合するジャック (3C-30)  は 返 数 特 性 100~10,000 Hz ± 3 dB  音声信号対 雑音比 (40 dB 以上  記 源 電 圧 100 V±10 %  電 源 電 圧 100 V±10 %	<b>е</b> = 9	音声のみ内蔵
記 録 時 間 90分 [75分] (最大2時間)  テ ー ブ 速 度 19.87 cm/s (23.38 cm/s) ビデオヘッド 速 度 20.84 m/s  早 送 時 間 5分以内 (1,080 m テーブの場合) 巻 戻 し 時 間 5分以内 (1,080 m テーブの場合) フ ウ フ ラック 0.15 % RMS 以下 ジ ッター 1.5 μs 以下 (60 Hz)  起 動 時 間 58 kg (木のみ)  五 キ ュ ー 平生時可変範囲 ±7 ms 以内  平生時可変範囲 ±7 ms 以内  近 量 後 (M ※ 大 の のでへ40°C  映 像 人 力 (M ※ 接せん) 映像 目 力 (M ※ 接せん) 映像 信 另対 難音比 40 dB 以上  音 声 出 力 カ (M で 0 dB とする レータック (3 C・30) ただし INE のdB 10 kΩ 平衡 JIS 単式110号 プラグに適合するジャック (3 C・30) ただし INE のdB 2 とする CLINE のdB 10 kΩ 平衡 JIS 単式110号 プラグに適合するジャック (3 C・30) ただし TV を 0 dB とする CLINE のdB 10 kΩ 平衡 JIS 単式110号 プラグに適合するジャック (3 C・30) ただし TV を 0 dB とする CLINE のdB 10 kΩ 平衡 JIS 単式110号 プラグに適合するジャック (3 C・30) ただし TV を 0 dB とする CLINE のdB 10 kΩ 平衡 JIS 単式110号 プラグに適合するジャック (3 C・30)  音 声 周 波 数 特 性 100~10,000 Hz ± 3 dB 音 声 信 号 対 難音 比 40 dB 以上  電 源 電 圧 100 V±10 % 電 源 電 圧 100 V±10 %	据 付	水平・垂直可能
テープ速度         19.87 cm/s (23.38 cm/s)           ビデオヘッド速度         20.84 m/s           P 送時間         5分以内(1,080 m テープの場合)           港 戻し時間         5分以内(1,080 m テープの場合)           ワウフラッタ         0.15 % RMS 以下           シッター         1.5 µs 以下(60 Hz)           起 駒時間         日本。一年生時可変範囲 士3µs 以内 再生時可変範囲 士7 ms 以内           重	オートサーチ	1~39 番地まで可能(VS-9 形を使用の場合)
ドデオヘッド速度 20.84 m/s  早 送 時 間 5分以内 (1,080 m テーブの場合)  参 戻 し 時 間 5分以内 (1,080 m テーブの場合)  フ ウ フ ラッタ 0.15 % RMS 以下  ジ ッター 1.5 μs 以下 (60 Hz)  起 駒 時 間 58 以内 (ストップモードより)  再生時可変範囲 ±3μs 以内  再生時可変範囲 ±7 ms 以内  五 士 ュー 円生時可変範囲 ±7 ms 以内  58 kg (本体のみ)  使 用 温 度 節 囲 0°C~40°C  映 像 入 力 HGH 不平衡 (M形接せん)  映 像 出 力 (M形接せん)  映 像 出 力 (M形接せん)  映 像 出 力 (M形接せん)  映 像 国 カ (M形接せん)  於 像 信 ラ対 難 音 比 420 本以上 [380 本以上]  MIC -70 dB 600 Ω 平衡 JIS 単式110 号 ブラグに適合するジャック (3C-30) ただし 1 V を 0 dB とする アラグに適合するジャック (3C-30) ただし 1 V を 0 dB とする アラグに適合するジャック (3C-30)  音 声 周 波 数 特 性 100~10,000 Hz ± 3 dB  音 声 信 号対 難 音 比 40 dB 以上  音 声 信 号対 難 音 比 40 dB 以上  ② で 日 対 数 特 性 100~10,000 Hz ± 3 dB  ② 定 圧 100 V±10 %  ② 返 電 圧 100 V±10 %  ③ の 日 次 の Hz た か 専用)	記録時間	90分 [75分] (最大 2時間)
平 送 時 間 5分以内 (1,080 m テーブの場合)  巻 戻 し 時 間 5分以内 (1,080 m テーブの場合)  7 ウ フ ラック	テ ー ブ 速 度	19.87 cm/s (23.38 cm/s)
<ul> <li>巻 戻 し 時 間 5分以内 (1,080 m テーブの場合)</li> <li>ワ ウ フ ラ ッ タ</li></ul>	ビデオヘッド速度	20.84 m/s
ワウフラッタ         0.15% RMS 以下           ジッター         1.5μs 以下 (60 Hz)           起 動 時 問 5s 以内 (ストップモードより)         5s 以内 (ストップモードより)           スキュー 再生時可変範囲 ±3μs 以内         再生時可変範囲 ±7 ms 以内           重 量 度 億 囲 (82(W)×365(H)×530(D)mm         58 kg (本体のみ)           使 用 温 度 億 囲 の°C~40°C         0.5~2 V P-P 同期負 インピーダンス 75 Ω または、HIGH 不平衡 (M 形接せん)           映 像 出 力 (M 形接せん)         1.4 V P-P 同期負 インピーダンス 75 Ω 不平衡 (M 形接せん)           映 像 厚 度         20 本以上 [380 本以上]           所 (M 形容 からの 平衡 JIS 単式110 号 アラグに適合するジャック (3 C-30) ただし IV を 0 dB とする ファック (3 C-30)           1 V を 0 dB とする ファック (3 C-30)           音 声 周 波 数 特 性 100~10,000 Hz ± 3 dB           音 声 信 号 対 雑 音 比 40 dB 以上           治	早 送 時 間	5分以内(1,080 m テーブの場合)
ジ ァ タ ー 1.5 μs 以下 (60 Hz)  起 動 時 間 5s 以内 (ストップモードより)  不 キ ュ ー 再生時可変範囲 ±3 μs 以内  所生時可変範囲 ±7 ms 以内  重 量 の	巻戻し時間	5分以内(1,080 m テープの場合)
記	ワウ フラッタ	0.15% RMS 以下
ス キュー 再生時可変範囲 ±3μs 以内         トラッキングコントロール       再生時可変範囲 ±7 ms 以内         重 量       58 kg (本体のみ)         寸 法       682(W)×365(H)×530(D)mm         使用湿度簡用 0°C~40°C         映像入力 HIGH 不平衡 (M 形接せん)         映像日ラ対雑音比 40 dB 以上         解像度号対雑音比 40 dB 以上 [380 本以上]         所で適合するジャック (3C-30) ただし 1Vを適合するジャック (3C-30) ただし 1Vを適合するジャック (3C-30)         上INE 0 dB 10 kΩ 平衡 JIS 単式110 号 ブラグに適合するジャック (3C-30)         音声周波数特性 100~10,000 Hz±3 dB         音声信号対雑音比 40 dB 以上         電面信号対雑音比 40 dB 以上         電面電圧 100 V±10 %         電源電圧 100 V±10 %         電源 電 圧 100 V±10 %	ÿ , ß -	1.5 µs 以下 (60 Hz)
トラッキングコントロール   再生時可変範囲 士7 ms 以内	起動時間	5s 以内 (ストップモードより)
	スキュー	再生時可変範囲 ±3μs 以内
で用温度簡用         682(W)×365(H)×530(D)mm           使用温度簡用         0°C~40°C           映像入力         0.5~2VP-P 問期負インピーダンス 75 Ω または、HIGH 不平衡 (M 形接せん)           映像日 力 (M 形接せん)         1.4 VP-P 同期負インピーダンス 75 Ω 不平衡 (M 形接せん)           映像信号対離音比         40 dB 以上           管 摩 度         度 420 本以上 [380 本以上]           MIC	トラッキングコントロール	再生時可変範囲 ±7 ms 以内
使用温度簡用 0°C~40°C  吹像入力 HIGH 不平衡 (M 形接せん)  映像 A 力 HIGH 不平衡 (M 形接せん)  映像信号対離音比 40 dB 以上  解 度 度 420 木以上 [380 木以上]  MIC -70 dB 600 Ω 平衡 JIS 単式110号 デラグに適合するジャック (3C-30) ただし 1Vを 20 dB とする LINE 0 dB 10 kΩ 平衡 JIS 単式110号 プラグに適合するジャック (3C-30)  音声周波数特性 100~10,000 Hz±3 dB  音声信号対離音比 40 dB 以上  音声信号対離音比 40 dB 以上  電源電光 100 ×10,000 Hz±3 dB  電源電光 50 dB 以上  電源電光 50 dB 以上  100 ×10,000 Hz±3 dB	重 最	58 kg(本体のみ)
映       像       入       力       0.5~2VP-P 同期負 インピーダンス 75 Ω または、HIGH 不平衡 (M形接せん)         映       像       出       力       1.4 VP-P 同期負 インピーダンス 75 Ω 不平衡 (M形接せん)         映       像       由       力       1.4 VP-P 同期負 インピーダンス 75 Ω 不平衡 (M形接せん)         映       像       度       40 dB 以上         層       像       度       420 本以上 [380 本以上]         MIC       -70 dB 600 Ω 平衡 JIS 単式 110 号 ブラグ (3C-30) ただし 1V を 0dB と する フラグ (3C-30)         上 INE       0 dB 10 kΩ 平衡 JIS 単式 110 号 フラグ (3C-30)         音       声       出       力       0 dB 600 Ω 平衡 JIS 単式 110 号 フラグ (2C-30)         音       声       出       力       100~10,000 Hz ± 3 dB         音       声       国       数       特       40 dB 以上         電       源       電       60 dB 以上         電       源       で       60 dB 以上         は       第2 年 日本	寸 法	682(W)×365(H)×530(D)mm
映像 A カ HIGH 不平衡 (M形接せん)  映像 B カ 1.4 V P. P 同期負 インピーダンス 75 Ω 不平衡 (M形接せん)  映像 信号対 雑音 比 40 dB 以上  解像 度 度 420 本以上 [380 本以上]  MIC -70 dB 600 Ω 平衡 JIS 単式110 号 ブラグに適合するジャック (3 C-30) ただし 1 V を 0 dB とする LINE 0 dB 10 kΩ 平衡 JIS 単式110 号 ブラグに適合するジャック (3 C-30)  音 声 周 波 数 特 性 100~10,000 Hz±3 dB  音 声信号対 雑音 比 40 dB 以上  間 宏 電 圧 100 V±10 %  電 源 周 波 数 50 Hz または 60 Hz (いずれか専用)	使用温度範囲	0°C~40°C
映像	映 像 入 力	
<ul> <li>解 像 皮</li> <li>在 中 人 力</li> <li>在 声 出 力 の B 600 Ω 平海 JIS 単式110 号 ブラグに適合するジャック (3C·30) ただし 1 V を 0 dB とする LINE 0 dB 10 kΩ 平荷 JIS 単式110 号 ブラグに適合するジャック (3C-30)</li> <li>音 声 出 力 の 0 dB 600 Ω 平海 JIS 単式110 号ブラグに適合するジャック (3C-30)</li> <li>音 声 周 波 数 特 性 100~10,000 Hz±3 dB</li> <li>音 声 信 号 対 雑 音 比 40 dB 以上</li> <li>流 率 60 dB 以上</li> <li>電 源 電 圧 100 V±10 %</li> <li>電 源 周 波 数 50 Hz または 60 Hz (いずれか専用)</li> </ul>	映 像 出 力	
部	映像信号対雑音比	40 dB 以上
音 声 入 カ     プラグに適合するジャック (3C-30) ただし 1 V を 0 dB とする LINE 0 dB 10 kΩ 平衡 JIS 単式 110 号 プラグに適合するジャック (3C-30)       音 声 出 カ のdB 600 Ω 平衡 JIS 単式 110 号プラグに適合するジャック (3C-30)       音 声 周 波 数 特 性 100~10,000 Hz±3 dB       音 声 信 号 対 雑 音 比 40 dB 以上       消 去 率 60 dB 以上       電 源 電 圧 100 V±10 %       電 源 周 波 数 50 Hz または 60 Hz (いずれか専用)	解 像 度	420 木以上 [380 本以上]
音 声 出 力     0dB 600 Ω 平衡 JIS 単式110 号ブラグに適合するジャック (3 C-30)       音 声 周 波 数 特 性 100~10,000 Hz±3 dB       音 声信号対 雑音 比 40 dB 以上       潤 去 率 60 dB 以上       電 源 電 圧 100 V±10 %       電 源 周 波 数 50 Hz または 60 Hz (いずれか専用)	音 声 入 カ	プラグに適合するジャック (3 C-30) ただし 1 V を 0 dB とする
音声信号対雑音比     40 dB 以上       間 変 電 圧     60 dB 以上       電 源 電 圧     100 V±10 %       電 源 周 波 数     50 Hz または 60 Hz (いずれか専用)	音 声 出 力	- OdB 600 Ω 平衡 JIS 単式 110 号プラグに適合するジ
音声信号対雑音比     40 dB 以上       消 去     率     60 dB 以上       電 源 電 圧     100 V±10 %       電 源 周 波 数     50 Hz または 60 Hz (いずれか専用)	音声周波数特性	100~10,000 Hz±3 dB
電 源 電 圧 100 V±10 % 電 源 周 波 数 50 Hz または 60 Hz (いずれか専用)	音声信号対 雑 音 比	40 dB 以上
電源     電源     日本     100 V±10 %       電源     周波数     50 Hz または 60 Hz (いずれか専用)		60 dB 以上
電 源 周 波 数 50 Hz または 60 Hz (いずれか専用)		100 V±10 %
当		50 Hz または 60 Hz (いずれか専用)
(f)   Set   PE   //   PF   C   C   C	消費電力	約 370 VA

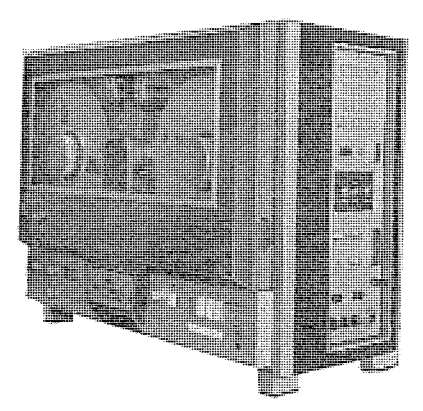


図 2.2 VT-900 Model VT-900.

以下本機の特長について簡単に述べる。

#### (1) 高解像度

回転 1 ヘッド方式を採用し、高感度 フェライトヘッドを使用しているので、解像度は非常に高く、水平解像度 420 本を満足する。(VT-900)

#### (2) 長時間記録

## (3) 取扱いの簡易化

可搬形,水平・垂直とも設置可能であり,機器内部にも簡単に組込むことができる。また可動 ガイド を採用したので、 $1 \land \neg \vdash$  方式であるのにかかわらず、 磁気  $\neg \neg \vdash$  の装着は簡単に行なうことができる。

## (4) 自動検索可能

## (5) リモートコントロール 可能

ブッシュボタンで、すべての操作が可能であり、リモートコントロール 装置を使用すれば、遠隔操作が可能である。

## (6) テープ 自動停止

磁気 テープの両端に透明 テープをつけることにより, 透明 テープ部で自動停止するので, 磁気 テープがはずれることがない。

#### (7) スローモーション、スチル 画像再生可能

正規速度の 1/5~0 (スチル 画像) の範囲の任意速度で, 画像の再生が可能である。

#### (8) テープ 指示計

4けたの  $\neg$ -プ 指示計により、記録  $\neg$ 3-ト 位置を知ることができる。

## (9) 自動 レベル 調整

めんどうな録画・録音 レベル 調整が自動化された。 手動調整も可能。

## (10) アフレコ 可能

再生画像を見ながら, 音声のみを新たに録音することができる。

#### (11) 音声 モニタ 内蔵

オーディオアンプ, スピーカ を内蔵し、簡単に音声 モニタ ができる。

## (12) 互換性

VT-900 で記録した テー-プを, 別の VT-900 で再生するという テ --ブ 互換性は完全である。

#### (13) スポット 記録可能

三菱X線 テレビジョン と組合わせる場合, スポット 装置を使用すれば, フィルム 撮影像と同じ像を VTR で即時に記録再生できるので便利である。

#### (14) 保守が容易

回転 1 ヘッド 方式を採用したので、 ビデオヘッド の交換は非常に簡単に行なうことができる。また各部は ユニット 化されているので、点検・サービス が容易である。

## 3. VT-900 の構成

本機は大別して、機構部ときょう(筐)体より成る。機構部は軽量で堅固なアルミ合金鋳物のベース上に組立てられており、きょう体はレザー張りの合板を用いて軽量化を計り、この内部に電気回路の大部分が収容されており、機構部とは二つのコネクタで接続される。

#### 3.1 機構部

映像信号は直流から数 MHz にわたる周波数成分を含んでおり、 音声信号に比べると、はるかに広い帯域である。

このような 周波数帯域の広い信号を 磁気 デープ に記録するには、 磁気 ヘッドと デープ の相対速度を大きくする必要がある。 しかし磁気 ヘッド を固定し、デープ を高速で走行させるよりは、デープ を比較的低速で走行させ、 磁気 ヘッド を高速で移動させるほうが種々の点で有利である。 現在実用化されている VTR は、すべてこの磁気 ヘッドを移動(回転) させる方式を採用しており、放送局用を除いては、回転1ヘッド式と回転2ヘッド式の2種類が存在する。

## 表 3.1 に両者方式の優劣を列挙した。

それぞれ長所・短所があるが、VT-900 は高解像度、保守の容易 さから、回転 $1_{\text{Nuf}}$ 式を採用した。

ただし回転1~ッド式の欠点は次のようにして解決している。

#### (1) デープが掛けにくい

テープガイドを可動とし、テープを掛けるときのみテープガイドを開き(ガイド間約 10 cm)、この部分に関しては回転  $2 \land \neg \neg$ ド式よりも容易にした。

表 3.1 1 シャド方式と 2 シャド方式の比較 Comparision of the 1 head type and 2 head type.

·		
	回転1ヘッド	回転2ヘッド
概要	VH	VH
	磁気テープは磁気ヘッドが回転 する周に対し、360°巻き付けら れる。	磁気テープは磁気ヘッドが回転 する周に対し、180°強巻き付け られる
構造	2ベッドと同じ径であれば周波 数帯域は2倍とれる。 (ただしテーブの使用も2倍)	周波数帯域を1ヘッド式と同一 とすれば、ヘッドの回転周は2 倍となり構造的に大きくなり、 機械的精度を出すことは困難。
テープの掛け 易さ	ガイド間隔、ガイドとシリンダ 間隔が狭くテープがかけがたい	ガイドとシリンダ間は適当な寸 法を持たせられるので、テープ がかけやすい
保守	ヘッド交換が容易	二つのヘッドの角度差が180°に 対し±10秒以内に押える必要が ありヘッド交換が困難
テープ走行	国党	比較的容易
その他	テープを360° ちょうど巻きつけ ることが困難なため、記録でき ない部分が生じる。 (これを当り抜けという)	当り抜けがない

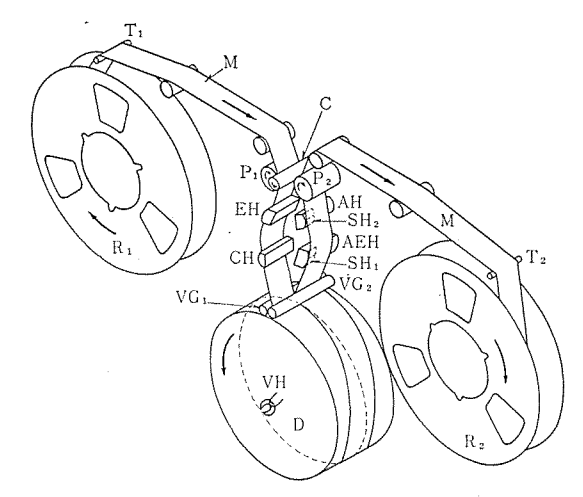


図 3.1 デープ 走行系統 Tape path.

## (2) 当たり抜けが生じる(信号抜け)

本機の場合,500 µs 程度の当たり抜けが生じるが、この部分を垂直 ブランキング 内に入るように設計したので、 画面上にこの部分が現われない。

#### (3) デープ 走行上の問題

通常ピンチローラが一つであるが、本機はダブルピンチローラ機構を採用し、走行の定安化を計っている。

本機のテープ走行系統を図3.1に示す。

#### (a) テープ 供給系

テープ 供給 リール  $(R_1)$  と テンションアーム  $(T_1)$  とは、テンションサーボ を構成しており、記録・再生時には、 テープテンション が常に一定になるよう制御している。

#### (b) テープ 駆動系

本機は、デープ駆動に 1 モータ 式を採用している。モータと巻き取り  $y_{-n}$  ( $R_1$ ,  $R_2$ ) との間には、  $\lambda y_{-n}$  機構を含む動力伝達機構で、 それぞれの  $y_{-n}$  を定  $y_{-n}$  で巻きとっている。

テープ 定速駆動は、ダブルピンチローラ 機構 (P<sub>1</sub>, C, P<sub>2</sub>) による クローズド サーキット 方式を採用し、ループ 内(各 ヘッド 群を含む部分)の テンション を安定化している。 従来との種の機構の欠点とされていた、ループ 内 テンション が安定するまでの時間が長いという問題は、左右 ピンチローラ の押圧に差を持たせるとともに、押圧 タイミング を変えることで解決している。

## (c) 固定 ヘッド 群

ダブルピッチローラ で構成される ループ 内の テープ 入口から, 全幅消去 ヘッド (EH)・コットロールヘッド (CH)・回転 ヘッド 部 (D) を経てから, 複合 ヘッド があり,テープ 一方の端部に音声消去 ヘッド (AEH)・音声 ヘッド (AH), 他端に オートサーチ 用 ヘッド (SH<sub>1</sub>, SH<sub>2</sub>) が配列されている。 これらによる磁気 トラックを図 3.2 に示す。

コントロールヘッド は,再生時に回転 ヘッド (VH) が記録した映像磁化トラック を,正しく トレース させるための サーボ 基準信号を記録再生する磁気 ヘッド である。

## (d) 回転 へッド部

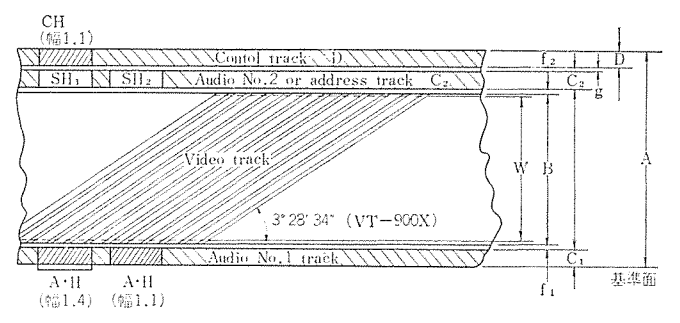




図 3.2 磁気 テープフォーマット Tape format.

可動  $\it{fi}$   $\it{fi}$   $\it{VG}_1$ ,  $\it{VG}_2$  間はほぼ  $\it{1}$   $\it{mm}$ ,  $\it{VG}_1$ ,  $\it{VG}_2$  と  $\it{D}$  間は  $\it{0.2}$   $\it{mm}$  程度の狭い間隔にしているので, 回転  $\it{nor}$  による非記録部は約  $\it{3}$  %となっている。ただこのため  $\it{fi}$   $\it{fi}$ 

#### 3.2 電気部

電気部は、システム・電源・サーボ・映像・音声・消去の6機能に分けられ、それぞれユニット化・カード化されており、 きよう(筐)体内配線は ワイヤ ハーネス 式で行なわれているので性能が安定である。

## (a) システム

システム 部は、操作者が操作 ボタン を押したとき、 各部に電力・信号を供給する役目、まちがった操作を行なったときの機器の保護・フールブルーフ が主目的で、リレー と半導体で構成される。

#### (b) 雷源

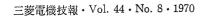
電源部は、動力系統・電子回路系統に電力を供給するためのものである。本機では電源部の軽量化を計るため、トランスにカットコアー鉄心を用いるとともに、動力系のDC電源はトランスを介さず、すべてACラインを直接整流する方式を採用した。本方式は、トランスを介した場合よりも電源インピーダンスが低いので、レギュレーションが良い。

#### (c) サーボ 部

本機の回転 ヘッドサーボは、 当社開発の シンクロナスモータ を トランジスタ で駆動する方式を用い、回転 ヘット゚と モータ間には ゴムカップリング を介して、高い周波数成分の回転むらを除いている。

録画時の サーボ は、 回転 ヘッド により記録される磁化 トラックが図3.2 に示すとおりであるが、 この1本の磁化 トラックが映像信号の1フィールド になるように、しかも垂直同期信号が トラック 端部より3 H (H:1水平走査線分)の位置に規正するためのものである。 こ





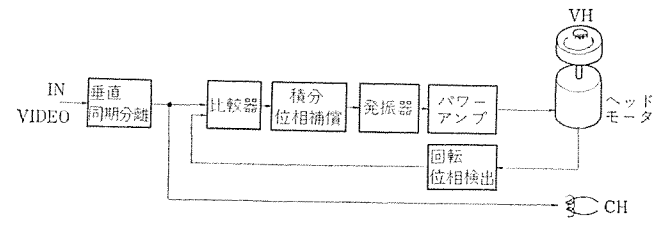


図 3.3 サーボブロック図 (録 画) Block diagram of the servo system (Record).

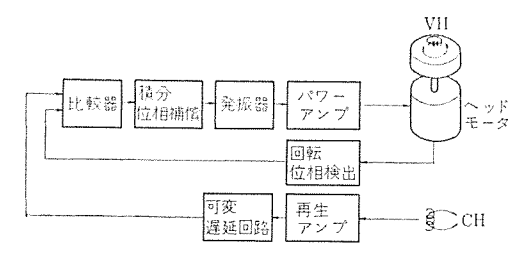


図 3.4 サーボブロック図 (再生) Block diagram of the servo system (Playback).

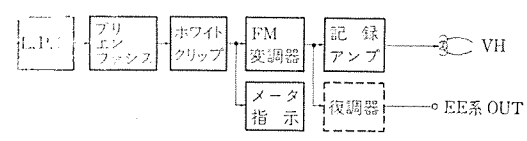


図 3.5 映像系ブロック図(記録) Block diagram of the video system (Record).



図 3.6 映像系ブロック図(再生) Block diagram of the video system (Playback).

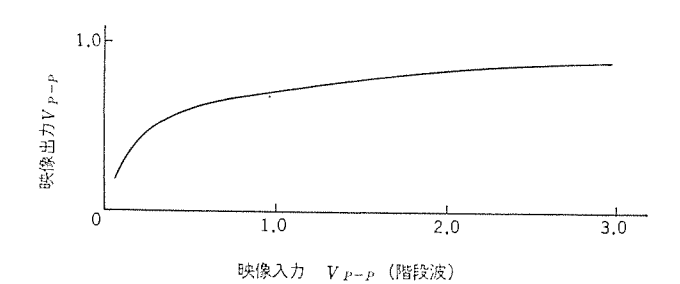


図 3.7 映像 AGC 特性 Video AGC characteristics.

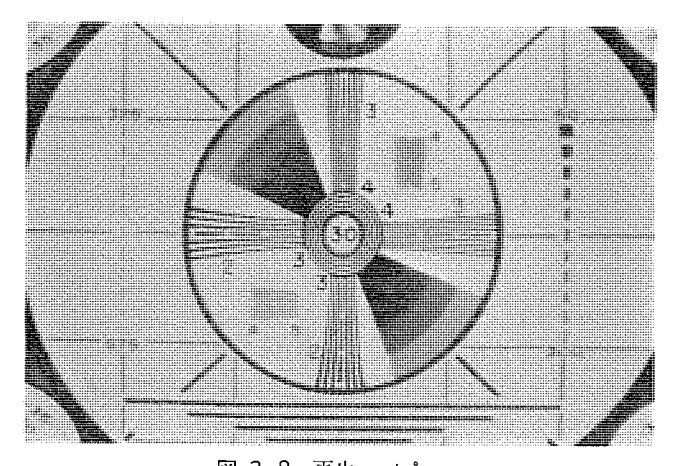


図 3.8 再生 テストパターン Playback test pattern.

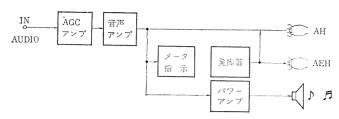


図 3.9 音声ブロック図 (記録) Block diagram of the sound system (Record).

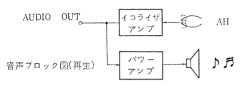


図 3.10 音声ブロック図 (再生) Block diagram of the sound system (Playback).

の録画 サーボの ブロック 系を図3.3 に示す。

ビデオ信号は、同期分離で垂直同期信号のみ分離され、比較器に印加される。一方、回転へッドに同期する信号が回転位相検出(Magnet Wheel)により取り出され、適当なレベル・波形に整形されて比較器に印加され、ここで両者の位相差を電圧に変換する。この両者の位相差に比例する位相誤差電圧は積分回路で位相補償され、発振器に供給され、発振周波数を制御する。この成分はパワーアンプにて増幅し、同期モータを駆動する。以上のサーボループにより、映像垂直信号と回転へッド位相は精密に制御される。

一方同期分離された垂直同期信号は、 再生 サーボのために コットロールヘッドにより、パルス 状に図 3.2 に示すように記録される。

再生 サーボ は、図 3.2 に示す ビデオトラック を正しく トレース するために制御するもので、図 3.4 に再生 サーボの ブロック 図を示す。 再生サーボ は、コントロールヘッドの再生信号 (垂直同期) を基準として、上述と同様の サーボループ で制御している。

#### (d) 映像系

映像信号は,直流から数  $MH^2$  にわたる周波数成分を含み,これを磁気 F-J に直接記録することは困難であるので,通常被 FM 信号として記録される。映像系の  $J_{D-J}$  系を図 3.5, 3.6 に示す。

VTR としては t-yドックス な方式を採用している。ただ従来記録レベル 調整が,使用者にとって非常にめんどうであったので,この部分に新設計の AGC アップをそう入し,映像 レベル の調整を不要とした。 これの 特性を 図 3.7 に示す。 通常 ビデオレベル は  $0.5\sim2$  V  $_{P-P}$  程度であるので,ほとんど レベル が一定化されていることがわかる。ただ特殊効果録画を行なう場合のために,手動調整も切換えにより可能とした。本機による再生  $_{P-P}$  大パターンを図 3.8 に示す。

## (e) 音声系

音声回路の記録 ブロック 系を図 3.9 に, 再生ブロック系を図 3.10 に示す。

本機は, X 線 モニタ TV に音声 モニタ がなく, VTR 音声の再生に不便であったので, 音声 モニタ を内蔵させた。

入力レベル 調整は映像と同様に自動レベル 調整付きとし、スイッチ により手動調整もできるようにしている。 また VTR 独自の機能である、画像を再生しながら音声を新たに記録する アフターレコーディング も可能としている。

## 4. VTR 付属制御装置

VTR と組み合わせて VTR をより効果的に、 また新しい用途を 開拓するものとして、スポット 装置・自動検索装置を開発したので、 以下に説明する。

## 4.1 スポット装置 (X線フィルム撮影像の即時再生)

本装置については参考文献(1)に詳細に説明されているが、ここでもら一度簡単に説明する。 VTR 制御部は基板1枚で構成される。

X線診断において、X線透視像をTV モニタで監視しながら、精密に診断を要する場面を フイルム 撮影するが、この撮影像は現像工程を経なければ見ることができない。しかし食道・胃腸などの激しく動いている画像の場合には、撮影直前の透視像と実際の撮影像が異なる場合があるので、撮影時の状態(フイルム像)を直ちに確認できれば非常に便利であるとの要求が強い。

との要求を満すものが スポット 装置で, とれは VTR において テー ラ 停止状態で1画像を記録し, テーーラ はそのままの状態で, その画像を再生するという現像工程の不要な磁気記録再生機能を フル に生かしたものである。

との動作原理図を図4.1に示す。

手順として,透視を続けている状態(モニタ TV には透視像が出ている)において

- (1) スポット 装置を ON にすると、 VTR のみが 約5s 間記録状 態にて テープ 送りをする。(e)
- (2) フィルム 撮影 スイッチ を ON にする

X 線量は OFF となり, (a)

フィルム 装てん(塡)が始まり,(b)

XTV カメラ の感度が低下する。(c)

(フィルム 撮影時の X 線量は透視時より相当大きくなる ため、 XTV カメラ が飽和することを防止するため感度を下げる。)

(d) のとおり XTV  $_{\text{カメラ}}$  の出力は X 線量がなくなるため同期出力のみとなる。

テープは 0.5 s 送られる。(e)

(g) のとおり モニタ TV の 入力が XTV カメラ 出力から VTR

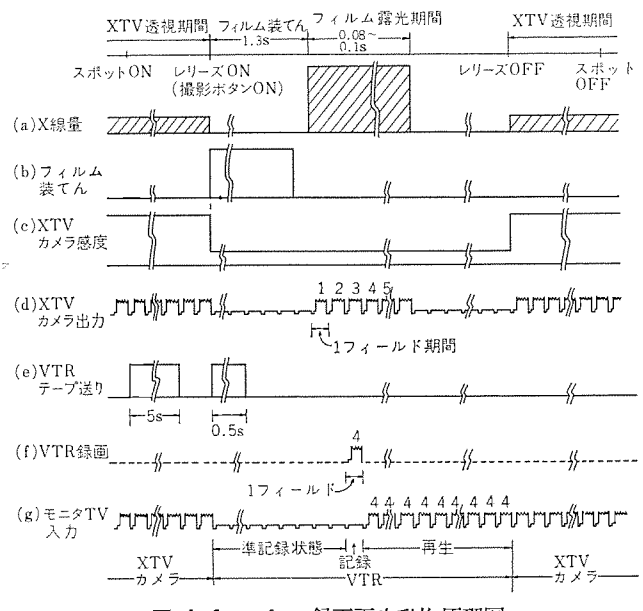


図 4.1 スポット 録画再生動作原理図 Principle of 1 field recording.

出力に切り換わる。(画像は ラスター のみ)

(3) 撮影 スイッチ ON (2)より 1.3s 後

X線照射が始まり、 つィルム への露光が行なわれ、(0.08~0.1s)(a)

フィルム 装てんはこれ以前に終了している。(b)

(d) のとおり XTV  $_{\rm DM5}$  出力端子には、 $0.08\sim0.1\,{\rm s}$  間透 視像が現われる。

(2)項(c)のとおりで XTV カメラ の感度は低下している。

テープ は停止している。(e)

X線照射が始まって約 4フィールド目の映像信号を抜きとり, これを 停止している 磁気  ${\it F}$ ープに回転  ${\it Cont}$ で記録する。(  ${\it f}$  )

- 注1) 抜きとりパルスはX線操作卓より供給される。
- 注2) 説明の都合上抜きとられた 信号を 映像信号の状態 で示したが、実際の回路では被 FM 信号の状態で抜き とられる。
- 注3) VTRのサーボ系は、映像信号の垂直同期信号を基準としており、記録される映像磁化トラックはちょうど 回転 ヘッド1回転に相当し、トラック端部は垂直 プランキングになっている。
- (g) のとおり VTR は(f)にて1フィールド記録し終わると,直ちに再生状態になり,5ープは停止しているので今記録した映像信号(4フィールド)を次の動作(レリーズ OFF)まで再生を続ける。
- (4) レリーズ OFF

すべての状態は元の一般透視の状態にもどる。

以上 スポット 装置の動作 について 説明したが、1 フィールドが 2:1 の インターレース 信号の一部であるため、再生画像の モニタ 上部で少し曲るという欠点があるが、モニタ TV の AFC 時定数を少し小さくすることにより実用上問題ない。

## 4.2 自動検索装置 (オートサーチユニット VS-9)

VTRで一巻のテープに短時間の像を多数記録されているような場合、たとえばX線テレビジョンで、多数患者の症例を一巻のテープに入れられている場合、必要とする個所を再生しようとすると、通常早送り・再生・巻き戻しを繰り返し行なって、必要個所を探す。またカウンタを頼りに必要個所を探す場合もある。しかしこのときには、カウンタが記録のときにも、再生のときにも正しくリセットされていなければ全く頼りにならない。さらにリモートコントロール操作の場合には、このカウンタさえも手元にないため必要個所の再生は非常に不便であった。

こうした不便を解消すべく開発されたのが、 自動的に F-J の必要個所を検索する装置、VS-9 形 J-1+J-1 である。

本機の外観図を図4.2 に示す。

検索の目標となる rドレス 信号の記録は、図 4.3 に示すように、2個の  $^{\text{up}}$ (音声  $^{\text{up}}$ )と同特性)を  $^{\text{up}}$  長手方向に配置し、2個の  $^{\text{up}}$  間隔に等しい間隔で、  $^{\text{nu}}$  を磁気  $^{\text{up}}$  上に記録する。記録する  $^{\text{nu}}$  の数は  $^{\text{up}}$  番目の  $^{\text{up}}$  に対し、 $^{\text{up}}$  個の  $^{\text{nu}}$  を記録する。との理由については再生時の説明で明らかになる。



図 4.2 オートサーチ VS-9 Model VS-9 automatic retrieval unit

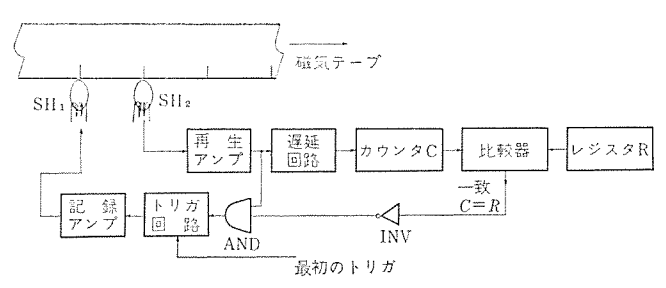


図 4.3 アドレス記録 系 ブロック図 Block diagram of the recording system of the automatic retrieval.

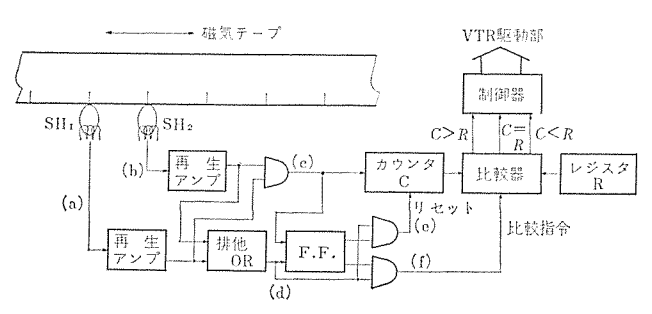


図 4.4 オートサーチ 再 生 系 ブロック 図 Block diagram of the playback system of the automatic retrieval.

まず n 番目に対し、(n+1) の パルス を記録する手順を基本 ブロック 系、図 4.3 により説明する。

- (1) レジスタを n 番に セットする。
- (2) テープを走行させる。
- (3) トリガ回路に最初のトリガを加える。
- (4) 記録増幅器・オートサーチ 用  $\land$ ッド ( $SH_1$ ) により, 磁気  $\digamma$ ープ 上に 1 個の 𝑓ルス が記録される。

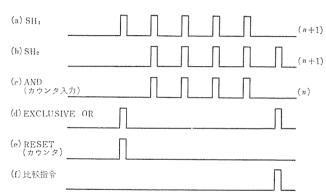


図 4.5 動作原理図 (n=4の場合) Principle of the automatic retrieval (n=4).

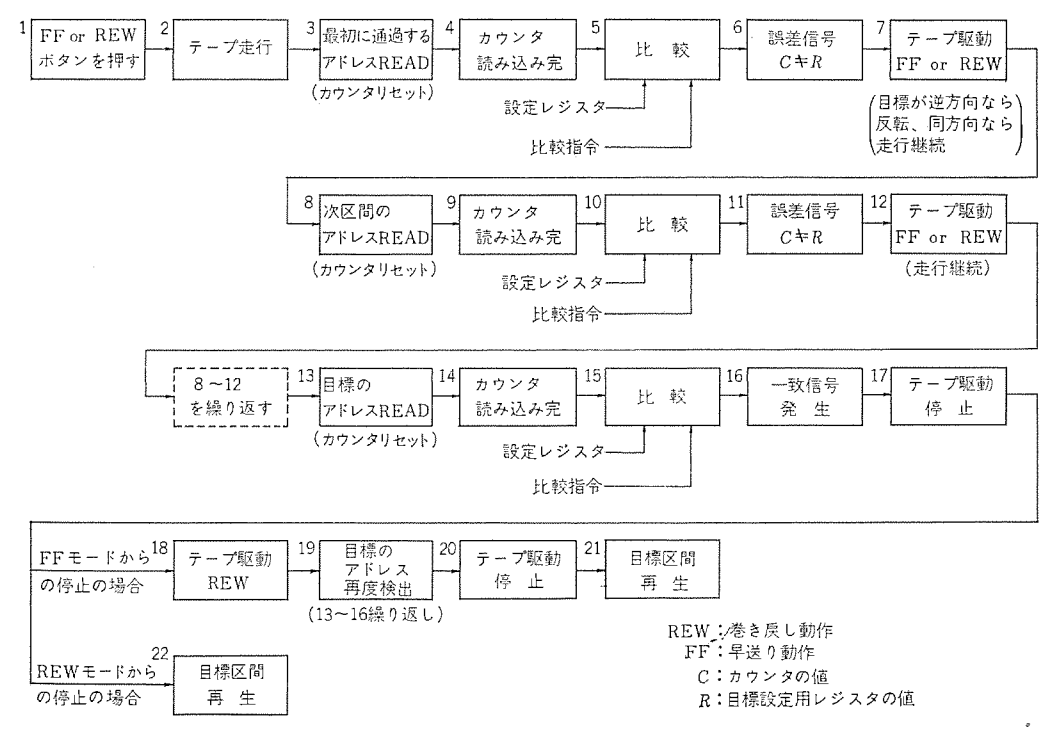


図 4.6 オートサーチ 動作系統図

Sequence of the automatic retrieval.

#### 録される。

再生の場合の基本 ブロック系を図 4.4, 動作原理図を図 4.5 に示す。

まず リセットパルス(e)により カウンタ を空にし、 n 個の パルス(c)が カウンタ に読み込まれ、比較指令 パルス(f)により、 レジスタ の設定値 R と カウンタ の読み C が比較される。 ここで各 アドレス が最初から 順 に記録されているものとすると (記録の原則)、

C < R のとき、制御回路より早送りになるように指令し、

C=R のとき、制御回路より再生になるように指令し、

C>R のとき、制御回路より巻き戻しになるように指令し、

VTR は駆動される。ただし,C=Rのときに $_7$ ドレスを読み出している状態が,早送りのときには,頭出しの位置が $_7$ ドレスを読み終わったときには行き過ぎているので,一度巻き戻しを行ない,再び同 $_7$ ドレスを読み出し,直ちに再生状態にして,頭出しの位置を完全に再生するようにしている。

#### 図 4.6 に動作系統図を示す。

本機は、 テープの最初から順に アドレス No. が増大するように記録するのが原則であるが、順序をまちがえて記録したり、操作をまちがえた場合のために、上述以外の誤操作補正回路が組み込まれている。

また簡単な回路を追加して、設定したァドレス区間を繰り返し再生することのできる自動レピート機能も内蔵しており、教育・訓練・展示等に有効に利用されている。(特許出願中)

表 4.1 に本機の概略仕様を示す。

表 4.1 オートサーチ VS-9 概略仕様 General specification of the model VS-9.

項	E	f.l.:	椒
アド	レス	1~39 番地	
検	索	FF,REW 状態にて可 ただし「Repeat」のときのみ,P ができる	Play にて検索を行なうこと
アフ	レコ	アフレコ可能、ただし「Play」状態	態にて行なう
レピ	- h	可能	
アドレ	ス方式	増大方式 テープの最初より、アドレス NO. アドレス NO. を飛ばしてもよい	を増大するごとく記録する.
接	採	34 P マルチコネクタ	
.d.	法	W 255×D 320×H 166(mm)	
瓜	識	3 kg	
征	源	VTR 本体より供給	
温度	縦 囲	5~40°C	

## 5. む す び

近年, エレクトロニクス 技術の発展とともに, 磁気記録による映像記録技術の進歩も著しく, 各種の ビデオ テープレコーダ が実用化されている。

本機もすでに販売体制に入っており、仕様・特長等について述べたが、関係各位のご参考になれば幸である。

今後,より使いやすい,より有効なものにするための改良を,加 えていきたいと考えている。

最後に、本ビデオテープレコーダの開発にあたって、 種々ご協力ご指導いただいた、郡山製作所・商品研究所・京都製作所の関係各位に、深く感謝する次第である。

## 参考文献

(1) 田部,津田,道家,堀:最近のX線テレビジョン、三菱電機技報,43, No. 9 (昭 44 - 9)

## 高温化学反応の実験的研究―メタンからアセチレンの生成―

小村 宏次\*•伊藤 利朗\*\*

# Experimental Study of Chemical Reactions in High Temperature

Central Research Laboratory

Hirotsugu KOMURA · Toshio ITO

An electric arc heater, having the arc voltage and the arc current about 250 V and 50 A respectively in typical operating conditions, was designed and built. Study was then made on the reaction during the pyrolysis of methane supplied to this arc heater in order to maintain the arc steadily.

Hot gaseous reaction products were quenched and sampled with a water-cooled probe. Under the conditions of the mass flow rate of methane 30 liter/min and the electric input power  $10\sim15\,\mathrm{kW}$ , major products in the quenched gas were acetylene and hydrogen. The concentration of the acetylene in the quenched samples reached  $23\sim35\,\mathrm{mol}\,\%$  on favorable conditions. The experimental results are found consistent with the one calculated on the hypothesis of a chain reaction as to the methane pyrolysis.

## 1. まえがき

1961年に Leutner(1) らが プラズマジェット を熱源に用いた メタン から アセチレン への合成に関する簡単な報告がなされて以来, 高温化学合成の研究が工業的な見地から注目されるようになった。ここでいう高温とは従来の燃焼方法では得ることができないような温度, すなわち 3,000~10,000°K 程度の温度領域をさしている。一般に化学反応において, 温度が高くなると活性化ポテンシャル を越える粒子の数が増え, 反応速度が増大することが知られている(2)。反応速度が増大し, 単位時間当たりの生成能力が増加することは化学工業の高温化への大きな動機となっているようである。

一方,現実にはこのような高温領域でないと存在しないような反応過程がある。たとえば,石炭において代表される固体炭素の昇華温度は非常に高く3,800~4,200°Kであるので,固体炭素と水素の直接反応からアセチレンのような炭化系水素を合成するには,少なくとも昇華温度以上の高温発生源が必要になる。実際にプラズマジェットを高温水素発生源に用い,これに石炭の粉末をシードして,投入石炭の重量当たり約15%のアセチレンを合成した実験が報告されている(3)。アセチレンの合成以外にも他の炭化系水素,シアン化物,一酸化窒素,さらに金属の窒化物など,プラズマジェットを用いた合成実験に関する報告もLeutner以来数多く出されている(表1.1)(4)。しかしながら,これらの実験規模はいずれもベンチスケールないしはセミプラント的なもので,完全な工業化には至っていない。

次に プラズマジェット のような電気的加熱器を用いた高温化学合成の 経済性についてふれる。

現代の化学工業は エチレン中心主義にあることはいなめない。これは raw material (石油, 特に ナフサ) から エチレン のような middle material への変換効率が 20 %前後と非常に劣るにもかかわらず, 安価な ナフサ 供給源が確保できているからである。 しかしながら工業的に アセチレン の価格が安くなれば, 直ちにこれを用いんとする傾向もかなり強く残っているようである。

表 5. 1 に示した実験に用いている プラズマジェット の電気入力 は, いずれも  $20\sim30$  kW 程度のいわば実験室的規模のものである が,  $Lobo^{(5)}$  は種々の  $rtf_{UV}$  の 製造 法の 中で "Improved AC Arc Heater" が最も低価格  $rtf_{UV}$  の製法となることを指摘している。

表 1.1 プラズマジェットによる高温化学合成 High temperature chemical synthesis due to plasma jet.

This temperature enclinear synthesis due to plasma jet.					
生 成 物	作動気体	陽極	2次混合物	収 率	実験者
アセチレン C2H2	アルゴン	黒鉛	メタン	80%(炭素基準)	Leutner
		黒鉛	水素	40%(炭素基準)	Leutner
		銂	水素,石炭 粉	15% (石炭重量あたり)	Graves
シアン化 水 素 HCN	茶 茶	從黒	水 素	HCN 50%, C2H2 13%	Leutner
		黑鉤	アンモニア	HCN 39 %, C <sub>2</sub> H <sub>2</sub> 18 %	Anderson
		瓜鉛	メタン	HCN 23%, C2H2 62%	Anderson
		銅	メタン, ア ンモニア	HCN 50%, C <sub>2</sub> H <sub>2</sub> 20~30%	Anderson
シ ア ン C2N2	堂 素	銅	炭素粉末	C2N2 2% (炭素基準)	Stokes
	アルゴン	黑鉤	室 素	C2N2 15% (炭素基準)	Leutner
一酸化窒素	N <sub>2</sub>	銅	酸 素	NO 2% (酸素基準)	Stokes
<b>金属</b> 窒化物	室 素	斜	チタン粉末	TiN 30 %	Stokes
			マグネシウ ム粉末	Mg <sub>3</sub> N <sub>2</sub> 40 %	Stokes

"Improved AC Arc Heater" がどのようなものであるかは明らかでないが、 たとえば W 社が 開発している 電気入力が〜MW 級の大きなものであることは想像に難くない<sup>(6)</sup>。

われわれは安価な夜間電力の有効利用に着目し、高温化学合成の 実験的研究を始めた。 最初に メタン から アセチレン の生成研究に着手 した。実験の全貌については後に詳述するが、現時点で、メタン から アセチレン の生成効率が 100 % であるような試作装置の完成をみてい る。

われわれの実験結果を用いると、メタンから アセチレン  $1 \, \mathrm{kg}$  を生成するに要する電気入力は約  $11.5 \, \mathrm{kWh/kg}$  であり、 これは有名な Hulsの DC-Arc 法の  $13 \, \mathrm{kWh/kg}$  (そのうち  $2 \, \mathrm{kWh/kg}$  は生成  $7 \, \mathrm{te}$  せんしょの 濃縮用といわれている)に比べて見劣りしないといえる。

## 2. 高温化学反応装置の概要

われわれが実験を行なった装置の主要部断面を 図 2.1 に示す。

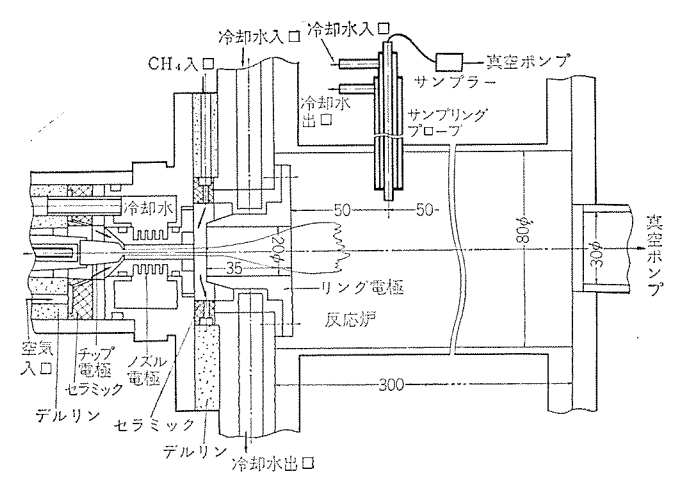


図 2.1 高温化学合成実験装置断面図 Cross section of the equipment of high temperature chemical synthesis.

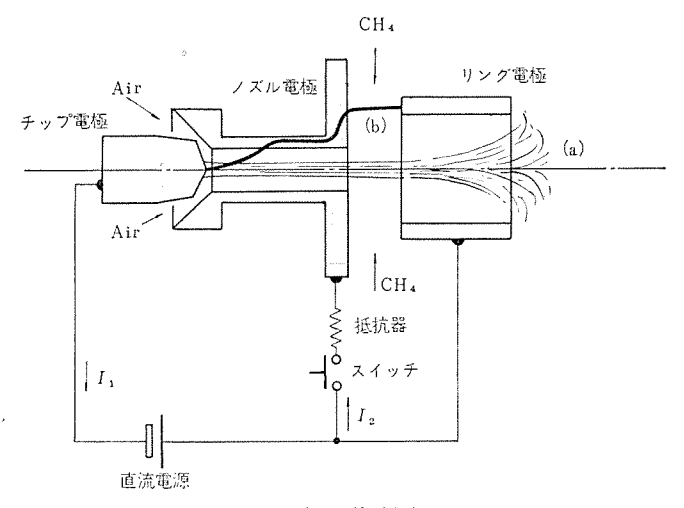


図 2.2 電極構成図 Block diagram of electrodes.

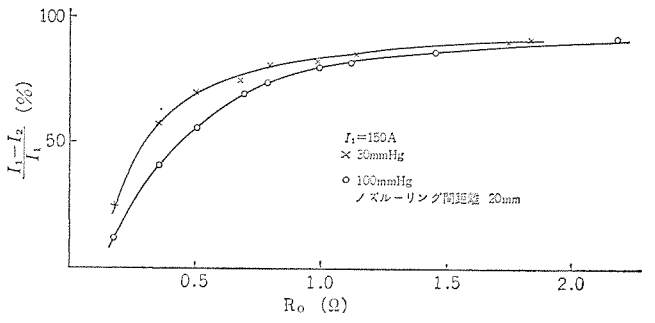


図 2.3 遷移率  $R_0$  特性 Transition rate as a function of  $R_0$ .

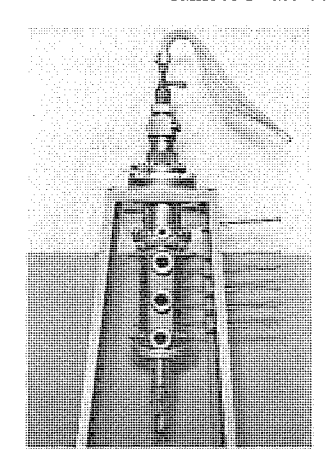


図 2.4 実験装置の写真 Photograph of equipment.

同図で ノズル 電極より左側の部分はわれわれがすでに開発した プラズマジェット(\*\*)を用いている。図 2.1 において、リング電極と称する第 3 電極を設けている点が本実験装置で最も創造性が発揮されている部分である。

ふたたび 図 2.1 にしたがって本装置の機能について説明する。まず、作動気体に用いたアルゴンは、ノズル電極(陽極)とチップ電極(陰極)間で点弧された高温ァークを熱的ピンチ効果により中心部に収束すると同時に、みずから高温電離気体となってノズル電極出口から噴出する。ノズル電極回路は点弧後約2秒で自動的にしゃ断され、アークの陽極点は完全にリング電極へ移る。リング電極はグルファイト製で、間接的に冷却されている。この動作に前後してノズル電極とリング電極の間げきからメタンが供給される。

供給された メタン は アーク の極点移動を押えて安定化すると同時に、みずから部分的に陽光柱の構成電離気体になりかつ熱分解を受ける。メタン の高温熱分解気体は リング 電極から低圧反応炉(その外壁は水冷されている)へ自由噴出され、熱交器、 真空 ポンプ を経て外気へ放出される。 低圧反応炉には、等間隔 6 個所の位置に水冷 サンプリングプローブ と白金一ロジウム 熱電対が設置されている。 熱交換器のあとにもこれらが 1 個所設置されている。生成気体の化学組成は、水冷サンブリングプローブ により サンプラ に採集され、ガスクロマトグラフィによって 定量分析される。

ノズル 電極の プラズマジェット 噴出孔径は  $8\phi$ , リング 電極は内径  $20\phi$ , 長さ  $30\sim35\,\mathrm{mm}$ , そして反応炉の内径は  $80\phi$ , 長さ  $300\,\mathrm{mm}$  である。また水冷 サンプリングプローブ の生成気体の導入管は内径  $1\phi$  の黄銅管を使用し、高温生成気体は サンプラ に採集されるまでに十分冷却される。実験装置の外観を図 2.4 の写真で示す。

## 3. 試作高温化学反応装置の性能および実験結果

本装置は他の高温化学反応装置<sup>(8)</sup>に比べて、その機能の点から次のような特長を有する。

- (1)  $J = \sqrt{1} \sqrt{100}$  電極と  $J = \sqrt{100}$  電極の間から供給された気体は、高温  $J = \sqrt{100}$  を中心に収束かつ安定化させると同時に必ず高温陽光柱の 領域を通過し、すべて熱分解を受ける。
- (2) アーク長が長いので、高温陽光柱の電圧降下が高く、低電流 高電圧の熱効率の高い熱源となる。

本章では試作高温化学反応装置の性能と反応炉内の高温生成気体の温度測定および反応生成物の濃度測定の結果について概論する。

## 3.1 試作高温化学反応装置の性能

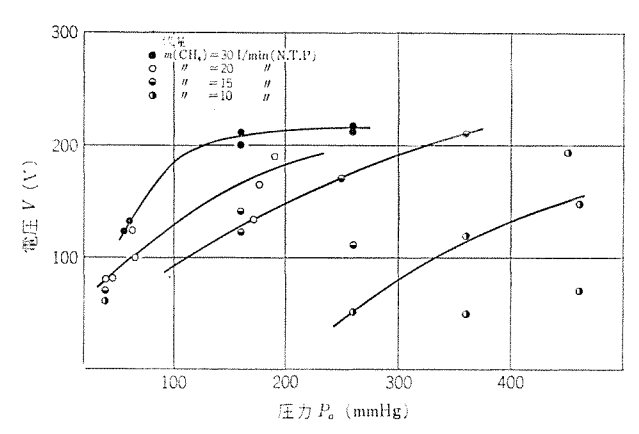


図 3.1 圧力電圧特性 Characteristics of the arc voltage and pressure.

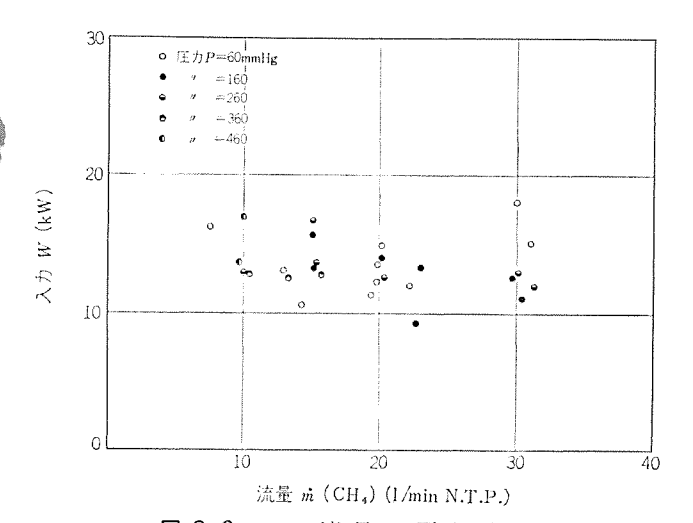


図 3.2 メタン流量と電気入力 Experimental region of input power to arc and flow rate.

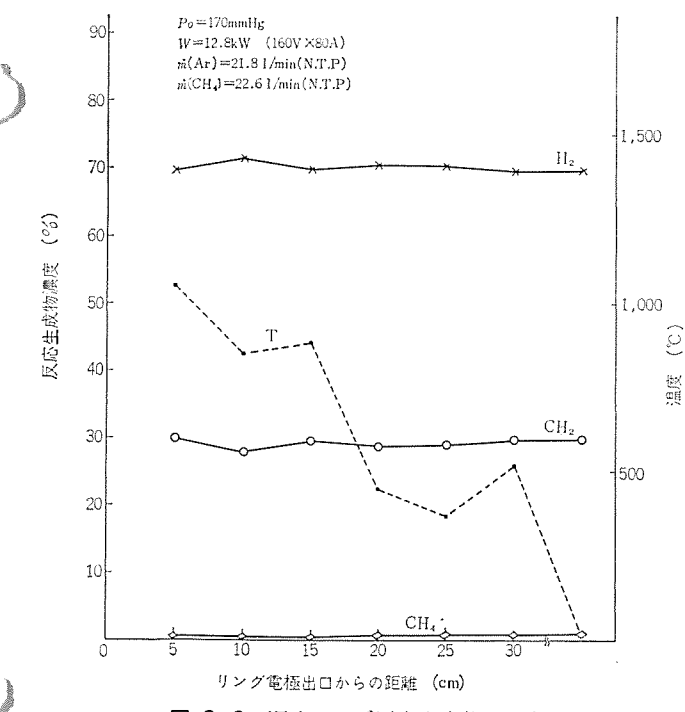


図 3.3 温度および反応生成物の分布 Distribution of temperature and products.

図 3. 2 は電気入力 W と  $y_{92}$  の流量  $\dot{m}$  でわれわれの実験条件の 範囲を示したものである。正常な放電では r-2 電流が  $50\sim80$  A であるが, $50\sim70$  になると  $200\sim300$  A に増加する。 このときの  $10\sim10$  電圧は正常  $10\sim10$   $10\sim10$ 

## 3.2 反応気体の温度

白金一ロラウム熱電対で計った反応炉内の温度分布の一例が図3.3 の点線Tで示されている。横軸はリング電極出口からの距離である。ただし最後の測定値は熱交換器の後の位置で計ったものである。反応炉内の温度は必ずしも一様に降下していないが、これは反応気体流の乱れのためである。リング電極に一番近い熱電対はしばしば溶断することがある。白金一ロラウム熱電対の溶断温度は約2,000°Kである\*。

## 3.3 反応生成物の濃度

反応生成物の濃度の定量測定用の ガスクロマトグラフィ としては、内径  $4\phi$ , 長さ 2m の市販網管 パイプ の カラム、60 メッシュ の活性炭充てん 剤,および内径  $5\phi$ , 内容積約 80 cm³ の サップラ(兼検量管)のものが 最適であった。キャリアガス に アルゴン を用い、キャリアガス 流量が 60 ml/min、カラム 温度  $100^{\circ}$ C の条件で、反応生成物を水素、空気、メタシ、エチレン、アセチレン の各成分に順にきれいに分離した。各成分の濃度比は プラニメータ を用いた面積測定から求められた。 また各成分の感度 特性はあらかじめ濃度が既知の資料で調べておいた。定量分析の精度は 3%以内であった。

図3.3 は各測定点の成分の相対濃度の一例を示したものである。図3.3 では生成 アセチレン の濃度が一様になっているが、各測定位置で大きく変わる場合もある。この不規則性の原因は明らかでないが、アークしたがって反応炉内の高温 フレームの不安定性によるものと思われる。図3.3 の例では、生成 アセチレン の モル 分率が約30%に達しているが、これは リンク 電極から昇華した炭素と遊離水素とが反応して アセチレン を余分に形成しているからである。というのは メタン が炭素基準で100% アセチレン に転換したとしても、 反応生成気体中の アセチレン の モル 分率は25%にすぎないからである。

- (1) 反応炉圧力が高くなると  $\mathsf{PtFuv}$  の  $\mathsf{Eu}$  分率は増加する
- (2)  $_{
  m J90}$  流量が 30  $l/{
  m min}$  では  $_{
  m Ell}$  分率が 25 %を越えるが,10

<sup>\*</sup> われわれはリング電極出口から 5 cm の位置に設けた観測窓(石英ガラス)を通してスペクトル撮影を試みた。 ねらいは CH バンド (band head は 3,900Å) の R 分枝の一連の回転スペクトルの相対強度を測定して分子の回転温度を推定することにあった。 しかしながら観測点の温度が低く CH ラジカルが十分存在しないためスペクトル強度を 精度よく撮影することができなかった。 測定しうる回転温度の下限は 3,500~4,000°K といわれている(0)。

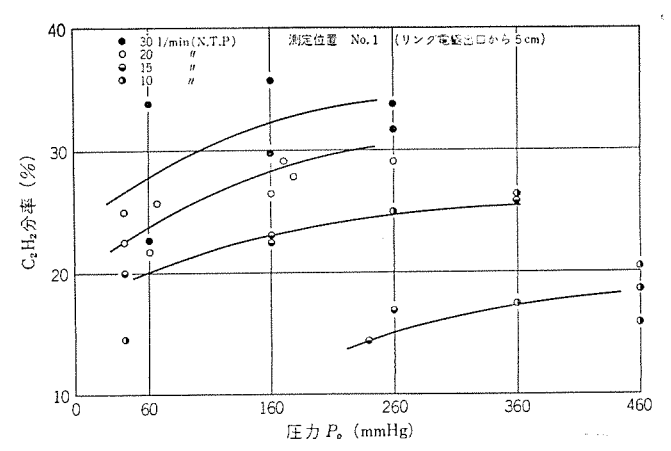


図 3.4 圧力一収率特性 Acetylene mol fraction as a function of pressure.

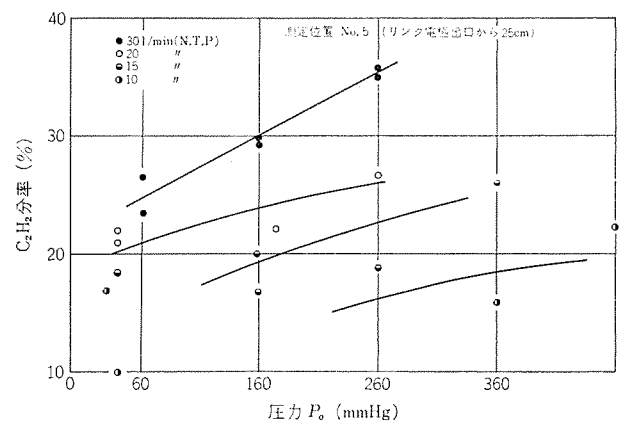


図 3.5 圧力—収率特性 Acetylene mol fraction as a function of pressure.

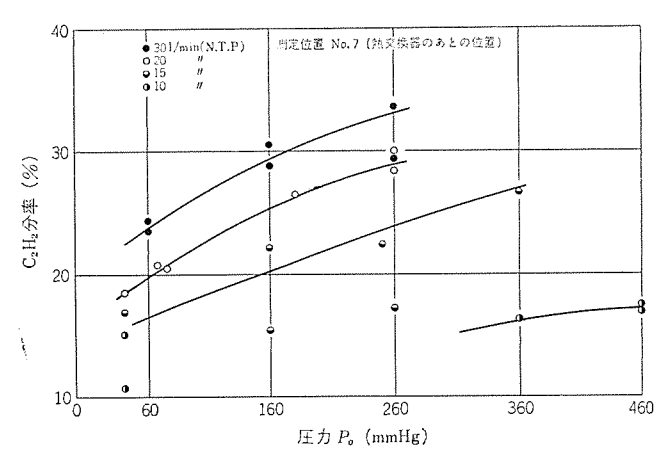


図 3.6 圧力—収率特性 Acetylene mol fraction as a function of pressure.

l/min ではこれが 20 %以下になっている。

圧力をさらに高くすると収率がいかに変わるかは興味ある問題であったが、反応炉内圧力を高めると、 供給 メタン が低流量の場合には前章でのべた シリーズアーク による不安定性が顕著になること、また高流量では原因不明の不安定性が生ずることなどのため、実験することはできなかった。

以上の議論を要約すると次のようである。供給 メタン 流量が アークへの電気入力と リング電極の構造とによって定まるある値以下 に なると, 正常な アーク 放電の維持が不可能になる。 この値は反応炉内 圧力によって幾分変わる。

供給 メタン 流量がこの必要最小限流量の近傍にあれば、供給 メタン は完全に アセチレン へ転換する。 ところが メタン を過剰に供給すると、アーク の安定性は維持されるが、 反応生成物中に未反応 メタン や エチレン が存在することになり、アセチレン の収率が低下する。すなわち、供給 メタン がほぼ完全に アセチレン へ転換するために流量に関して 最適値が存在することがいえる。

本章のまとめとして, メタシから アセチレンへの転換がほぼ完全に進行するときの試作装置の性能を表示すると, これまでに,

アーク 電流

 $50 \sim 70 \text{ A}$ 

アーク 電圧

200~250 V

反応炉圧力

160~260 mmHg

供給 メタン 流量

25~35 *l*/min

生成 アセチレン 濃度

30~35 €ル%

なる低電流高電圧の高温化学反応装置の完成をみている。

## 4. 考 察

本章では リング 電極内の現象に着目し、リング 電極内で行なわれる メタン の熱分解反応が アセチレン の生成とどのように結びついているか について考察する。

まず、供給 メタン の実質部分が図 2.1 に示す円筒状 リング 電極内 で経験する過程に着目する。

われわれは メタン の実質部分の熱分解過程が高温 ァーク 中において, 次の一連の連鎖反応によって進行するものと考える<sup>(10)</sup>,

$$CH_4 \xrightarrow{k_1} C_2H_6 \xrightarrow{k_2} C_2H_4 \xrightarrow{k_3} C_2H_2 \xrightarrow{k_4}, \quad \cdots \cdots (4.1)$$

ことで  $k_i$  は反応速度定数であり、通常、Arrhenius の式 (k=A exp (-E/RT)、E は活性化  $_{1}$   $_{1}$   $_{1}$   $_{2}$   $_{1}$   $_{1}$   $_{2}$   $_{1}$   $_{1}$   $_{2}$   $_{1}$   $_{2}$   $_{1}$   $_{2}$   $_{1}$   $_{2}$   $_{1}$   $_{2}$   $_{1}$   $_{2}$   $_{1}$   $_{2}$   $_{1}$   $_{2}$   $_{1}$   $_{2}$   $_{1}$   $_{2}$   $_{1}$   $_{2}$   $_{1}$   $_{2}$   $_{1}$   $_{2}$   $_{1}$   $_{2}$   $_$ 

われわれの実験では、すでに前章で述べたように(図 3.3)、生成  $_{7}$  たり、が温度降下を伴っているにもかかわらず、かなり 長時間 安定に存在しているので、ここでは  $_{4}$  を考慮に入れない $^{*}$ 。

図 4.1 の実線は、リング電極内を恒温そう(槽)と仮定し、付録に示す理論式を用いて計算した結果を、アセチレン 濃度が炭素基準で 99 %に到達するに要する時間と恒温そうの温度との関数として表わしたものであり、また同図に示した点は、われわれの実験条件で アセチレンの生成割合が炭素基準で 100 %以上に達したものを 恒温 そうの平均温度と滞留時間とによって表わしたものである。ここで恒温 そう内の平均温度は、電気入力の 70 %(この値は 反応装置の熱損失の測定結果から算出した)が メタン の熱分解に使われるものとして、メタン および アルゴンの エンタルピ に関する計算値から推定した。また メタン が リング電極内に滞留する時間は、連続の式と状態式から評価した。

図 4.1 において、実線より右側の部分は反応速度論的にみて、供給  $y_{97}$  がほぼ完全に  $y_{7}$  で転換する領域であるが、 われわれの実験で、  $y_{7}$  でが炭素基準で  $y_{7}$  ではした実験条件はすべてこの領域に点在している。 すなわち、生成  $y_{7}$  でもかっの モル 分率が  $y_{7}$  公 以上というわれわれの実験結果は、 式  $y_{7}$  のような連

<sup>\*</sup> アセチレンの分解過程については、空気中の水蒸気と反応して、二酸化炭素に分解する過程(14)あるいは、ジアセチレン (C4H2)(15)や気相の炭素(10)に分解する過程が考えられる。われわれの実験では、反応生成物中にこれらの成分が観測されていない。この点からも &4 を考慮する必要のないことが推論できる。

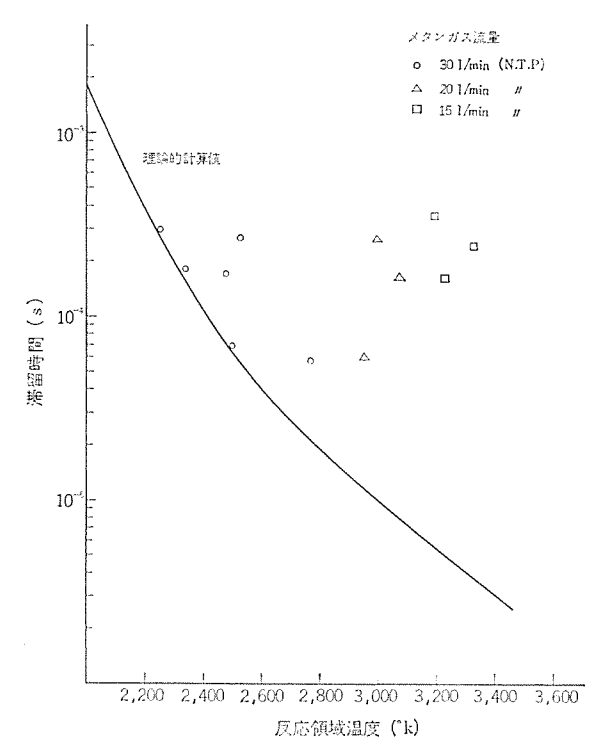


図 4.1 反応速度論的計算結との比較 Comparison with the results calculated by reaction rate theory.

鎖反応にもとづく反応速度論的解析でよく説明することができる。 なお図 4.1 で、供給 メタン の滞留時間が無限大の極限では(すなわち メタン の流量が非常に少流量の条件では)、式(4.1)の逆反応も 考慮に入れた熱平衡理論で現象の解析が行なわれるべきであるが、これに関して Baddour と Blanchet<sup>(17)</sup>が行なった熱平衡仮定にも とづく理論計算をわれわれの実験条件に適用すると、生成 アセチレンの 収率が高々 10 モル %となり、これは実験結果と合わない。 すなわち われわれが試作した低電流高電圧の高温 アーク 炉の リング電極内における メタン の熱分解は、式(4.1)のような反応速度論を用いてはじめて説明できるものといえる。

## 5. む す び

本研究においてわれわれは、種々の興味ある結果を得ることができたが、そのおもなものを列挙すると次のようである。

- (1) これまでの プラズマジェット 反応炉の概念を脱した熱源, すなわち, 低電流高電圧の電気的 アーク加熱器を開発することに成功した。しかも試作装置を用いた実験では従来の プラズマジェット に比べて熱効率が著しく高いものとなっていることがわかった (80~90%)。
  - (2) 試作装置を用いて、メタンからアセチレンの生成実験を行なっ

付

式(4.1)の反応を一次反応と仮定すると、各成分の濃度に対して 次の式が成立する、

$$\begin{split} &\frac{d(\text{CH}_4)}{dt} = -k_1(\text{CH}_4) \\ &\frac{d(\text{C}_2\text{H}_6)}{dt} = \frac{k_1}{2}(\text{CH}_4) - k_2(\text{C}_2\text{H}_6) \\ &\frac{d(\text{C}_2\text{H}_4)}{dt} = k_2(\text{C}_2\text{H}_6) - k_3(\text{C}_2\text{H}_4) \\ &\frac{d(\text{C}_2\text{H}_2)}{dt} = k_3(\text{C}_2\text{H}_4) \end{split}$$

て、実験室的規模ではあるが、供給 メタン 流量が 30 l/min という高流量の条件にもかかわらず、生成 アセチレン 濃度が最大 35 モル %になっているという結果をうることができた。 すなわち電気入力が アセチレン の生成に効率よく使われているということができる。

(3) このように アセチレレン の高収率が可能となったのは, リンク電極内で メタン の熱分解を行なっているからである。 リンク 電極内における熱分解に関して, 反応速度論的取扱いを試み, 理論的計算の結果は実験結果をよく説明することがわかった。また本研究に際しては, 大阪大学 基礎工学部 村崎教授のご指導とご協力をいただきました。ここに深く感謝いたします。

## 参考文献

- H. W. Leutner & C. S. Stokes: Ind. Eng. Chem., 53, 341 (1961)
- (2) Eyling: 絶対反応速度論上
- (3) R. D. Graves, W. Kawa & R. H. Hiteshue : Ind. Eng. Chem., 5, 59 (1961)
- (4) 疋田,寺沢: 化学と工業,昭和41年6月,第19巻,第6号 167頁
- (5) W. E. Lobo : Chem. Eng. Progress, 57, No. 11, 35 (Nov. 1961)
- (6) D. A. Maniero, P. F. Kienast & C. Hirayama: Westinghouse Engineer (May 1966)
- (7) 野村, 小村, 伊藤: 三菱電機技報, 41, No. 3, 494 (昭 42)
- (8) Reference (1), R. F. Baddour & J. M. Iwasyk: I&EC Progress Design and Development, 1, No. 3, 169 (1962)
- (9) G. Herzberg: "Spectra of Diatomic Molecule"
- (10) P. J. Leroux & P. M. Mathieu: Chem., Eng. Progress, 57, No. 11, 54 (1961)
- (11) L. Kramer & J. Happel: Chemistry of Peteroleum Hydrocarbons, 2, 71 (1955)
- (12) G. B. Skinner & W. E. Ball : J. Phys. Chem., 64, 1,025 (1960)
- (13) G. B. Skinner & E. M. Sokoloski : J. Phys. Chem., 64, 1,028 (1960)
- (14) H. S. Glick: 7th Inter. Symp. Cumbusition, p. 98(1959)
- (15) Reference (10)
- (16) J. E. Anderson & L. K. Case: I&EC Progress Design and Development, 1, No. 3, 161 (1962)
- (17) R. F. Baddour & J. L. Blanchet: I&EC Progress Design and Development, 3, No. 3, 258 (1964)

绿

ここで、 $(CH_4)$ 、 $(C_2H_6)$ 、は  $_{2}$   $_{2}$   $_{3}$   $_{2}$   $_{3}$   $_{4}$   $_{5}$   $_{5}$  たいので、これられか実験した温度領域では、 $k_2\gg k_1,k_3$  としてよいので、これらの式から  $_{7}$ 

$$(C_2H_2) \simeq \frac{1}{2} \left\{ 1 - \left( \frac{k_2}{k_2 - k_0} e^{-k_0 t} - \frac{k_0}{k_2 - k_0} e^{-k_2 t} \right) \right\}$$

となる。

# 日本万国博覧会における三菱未来館の照明

穴沢 喜美男\*・森 本 俊 一\*\*

# Lighting in Mitsubishi Pavilion Expo' 70

Anazawa Lighting Laboratory Kimio ANAZAWA
Ofuna Works Shunichi MORIMOTO

In the Expo '70 with a theme of "Progress and Harmony of Mankind", the Mitsubishi group, taking up a topic on the nature in Japan and the dream of the people there, displays the changes of the scenic beauty in this country with the transition of the season, and also the aspect of the sky, sea and land forecast in fifty years hence. Inside of the pavilion there are a variety of ingenious contrivances anticipated for the benefit of the mankind in the most advanced community. Demonstration is made in each of the rooms how the lighting will play a vital part on the performance of the sky, sea and land in the half century from now on. Commentary of it is made in connection with the displayed contents as to the method, effect, the kind of lighting fixtures and dimmers.

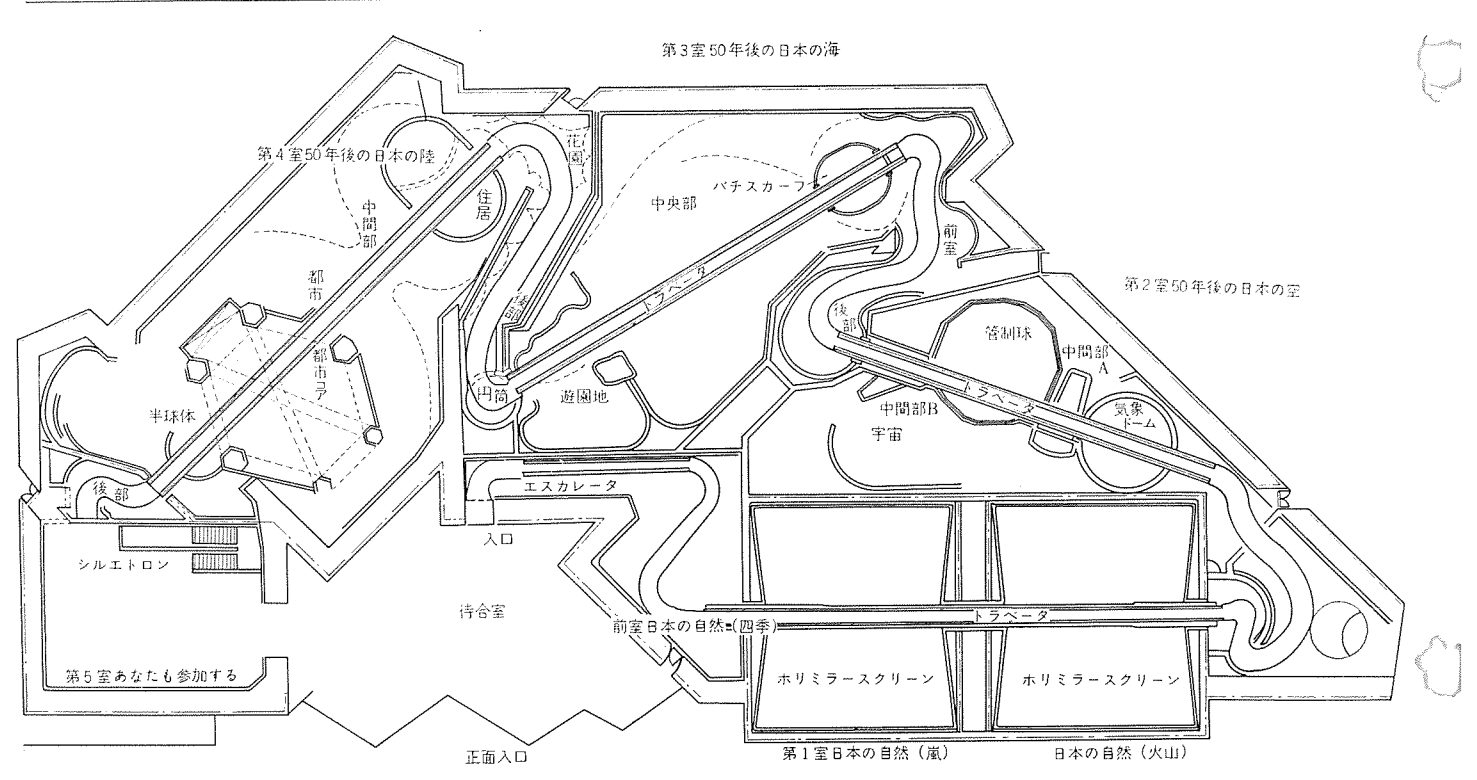


図 1.1 三菱 未来館の内部構成 Interior composition of Mitsubishi Pavilion of Future.

# 1. まえがき

EXPO '70 "人類の進歩と調和」の思想のもとに、"日本の自然と日本人の夢"を $_{7-7}$ にした三菱未来館は、日本の自然と 50 年後の夢を描き出し、見る人を驚嘆させ、興味ある未知の世界に引き入れてくれる。この三菱未来館は、第1室から第5室までに分かれており、第1室では日本の自然を、また第2室から第4室までは、50年後の日本の空・海・陸の姿を見せてくれる。そして第5室は、観覧者が直接参加するコーナーである。

とこでは,第2室から第4室までの"夢"演出に大きな役割を果している照明について,展示品との関係を含めて述べ,第5室の シルエトロン についてはすでに紹介されているので,簡単にふれる程度にする。

# 2. 第2室 "50年後の日本の空"の照明

# 2.1 展示品と照明方法

第2室は50年後の日本の空を現わしており、われわれ日本人が 身近に接触している台風の発生から、それを人工的に防ごうとする 人類の夢が描き出されている。これについて順を追って説明する。

第1室からの通路を抜けると、暗黒の世界に飛び込んでゆく。空にはぼんやりと地球が浮かび、まわりには無数の星が砂を散りばめたように点在している。この暗黒の世界を表現するため、300 Wのヨウ素電球5台を使用している。ヨウ素電球には青色のフィルタを使用し、手すりの下部に取りつけて、オリゾント幕を照らすようにしている。明るさは固定調光装置によって約30%に調光され、暗黒の中に空の青さを加えている。

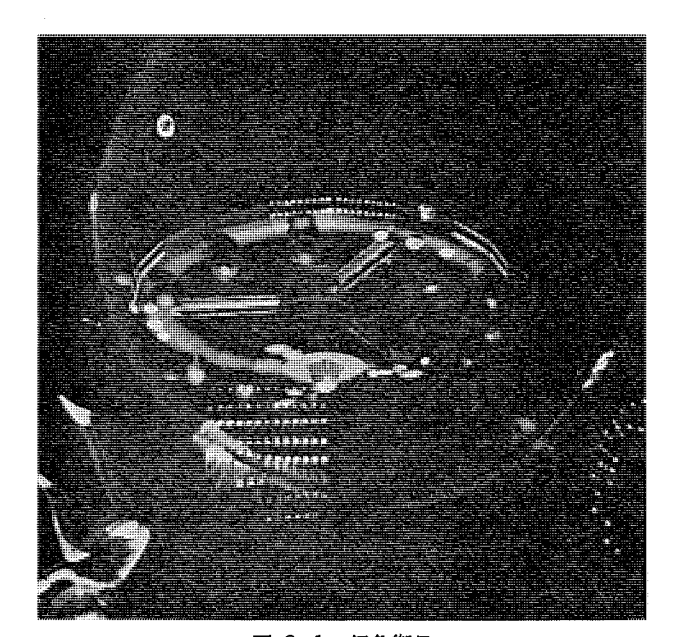


図 2.1 気象衛星 Meteorological satelite.

通路をさらに進むと点滅を繰り返している アクリルの アーチ が迎えてくれる。 アーチ の下部には ボックスライト が埋めてまれており、点滅装置に接続されて順次点滅を繰り返している。アーチ を抜けるとすぐトラベータで、 気象 ドーム・管制球を通って 50 年後の海の入口まで運んでくれる。 気象 ドーム では台風の発生を キャッチ し、刻々と変化する台風情報を正確に報告している。 管制球の内部には コンピュータ が置かれ、気象状況によって シグナルランプ が点滅を繰り返している。 これら気象 ドーム、中間部A、および管制球の内部にはけい光塗料が塗られており、 125 W 水銀灯 ブラックライト・40 W けい光灯 ブラックライトで照明されている。 この照明により、内部に取り付けられた計器・表示灯等がひときわ目だち、いっそう効果を増している。 このようなけい光塗料と ブラックライト の組合わせは、従来から使用されているが、その神秘的な照明効果を得る方法は今後とも広く応用されることであろう。

管制球の窓からは気象衛星が見える。気象衛星が空中に浮かび、 回転している状態をいっそう引き立てるために、ヨウ素電球・スポットライト・幻灯器が使用されている。ヨウ素電球はアッパーホリブントライト、ローホリブントライト として用いられ、ホリブント幕を照らしている。 その取り付け位置は天井およびトラベータの高さ(床面上約7メートル)で、フィルタは青色と緑色を使用している。 回路は固定調光ユニットに接続されており、明るさは約40%である。スポットライトは床面に置くから、直接気象衛星を照らしている。気象衛星の周囲には星雲が動いており、これは、管制球の外側に取り付けられた3台の幻灯器によって作り出されている。

# 2.2 照明器具の種類

50 年後の空を演出するために使用されている 照明器具の 種類は表 2.1 のとおりである。 これらの照明器具のうち,直接演出用に使用されているものについてはすでに述べたが,その他に通路照明用として,60 W ストリップライト・500 W ヨウ素 ピッスポットライト が使用されている。フィルタ はおもに青系統で,無限に続く宇宙の姿を描き出している。

# 2.3 調光装置

調光装置は図2.3 に示すように、固定調光 ラック盤・主幹盤・自

表 2.1 第2室における照明器具の種類 Kinds of lighting fixtures in Room No. 2.

場	所	딦	名	数量	位置	
前	室	60 W ストリップラ	イト(2灯用)	14	J:	注) 位置はトラベ
		60 W ストリップラ	イト (2 灯用)	14	下	ータを基準にしト
		200 W フ ラ ッ	ドライト	2	下	ラベータより上部
		300 W ヨウ素 フラ	シットライト	5	下	に取りつけられて
トン	ネル	100 W ポック	スライト	37	F	いるものを"上"
		500 W ピンスポ	ットライト	4	.l:	また下部に取りつ
1 象段	: - A	125 W 木銀灯 ブラ	ラックライト	10	ፑ	けられているもの
中間	部 A	40 W FL ブラ	ックライト	4	下	を"下"とした
管作	球	125 W 水銀灯 プラ	ラックライト	4	F	
		500 W ピンスポ	ットライト	1	下	
中間	部 B	200 W フラッ	ドライト	1	下	
宇	宙	lkW 平凸レンズ	スポットライト	3	下	
		プロジェクタース:	ポットライト	3	上	
		300W ローホリン	「ントライト	22	F	
		300W アッパーホ	リゾントライト	18	Jr.	
後	部	200 W フラッ	ドライト	11	下	

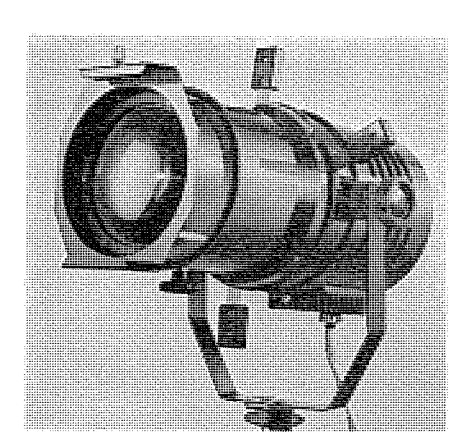


図 2. 2 500 W ピッスポットライト 500 W pin spot light.

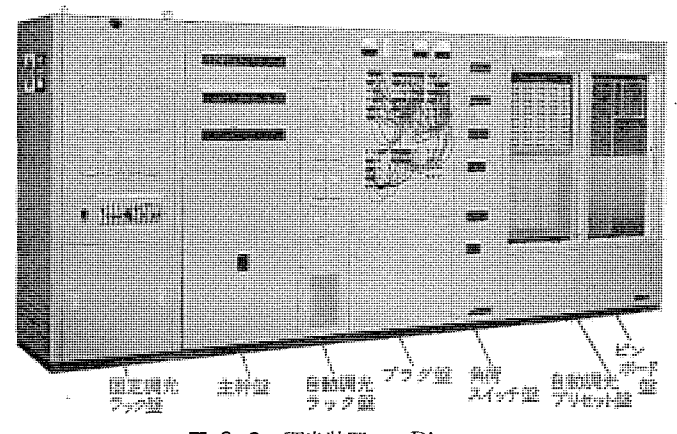
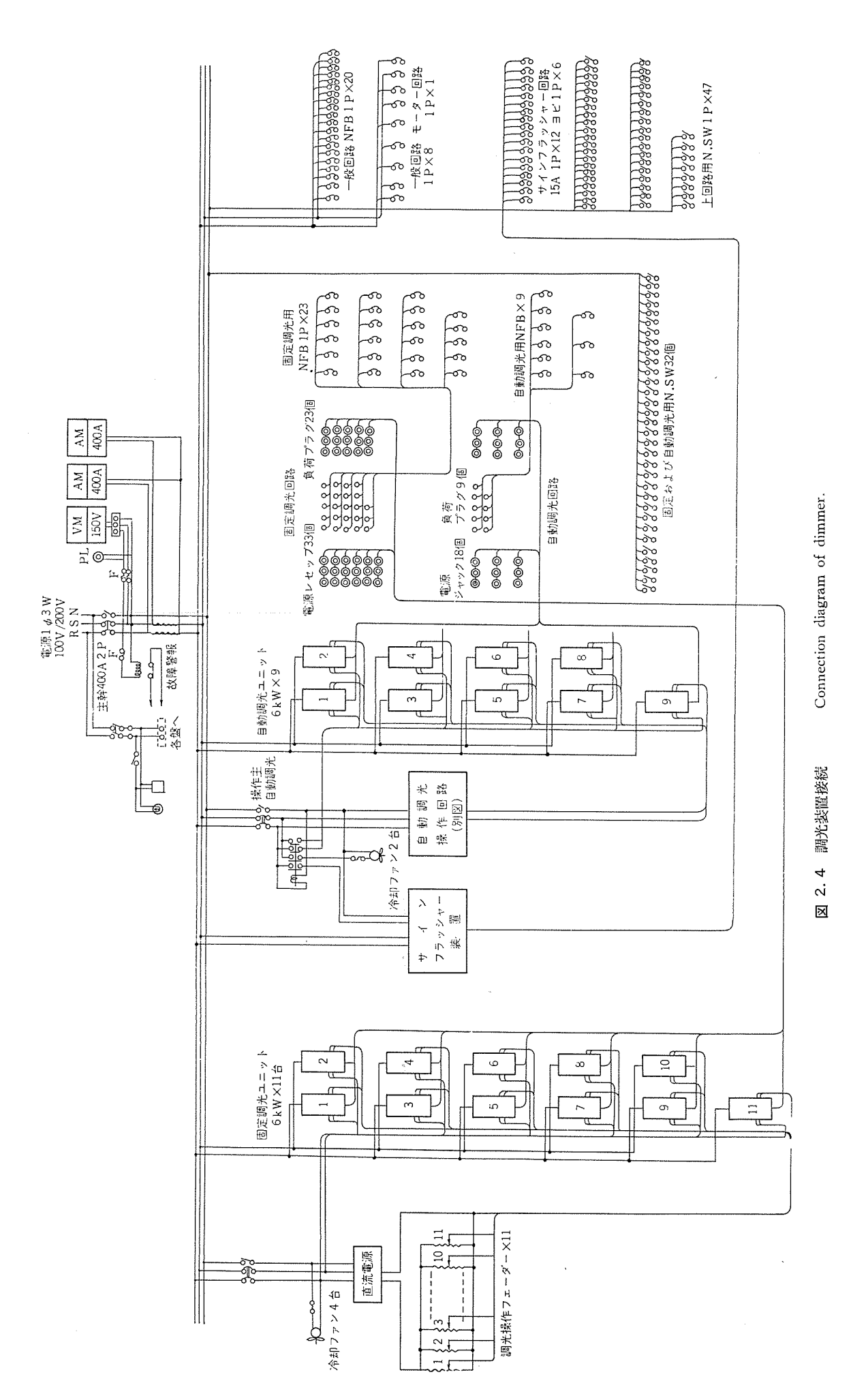


図 2.3 調光装置 Dimmer.

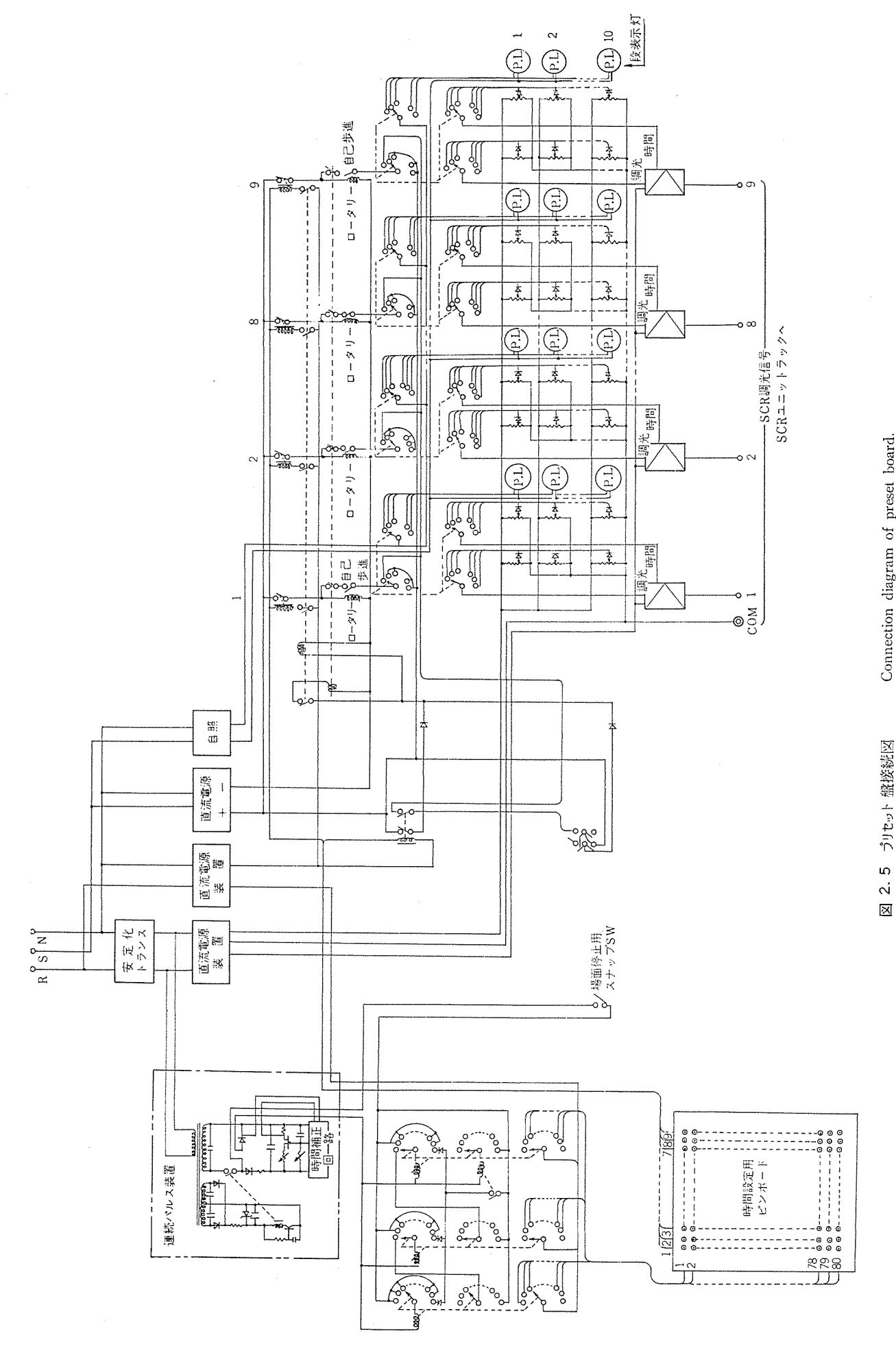
動調光 ラック 盤・プラグ 盤・負荷 スイッチ 盤・自動調光 プリセット盤・自動調光 ピンボード 盤より構成されている。その接続図を図 2.4,2.5 に示す。

# 2.3.1 固定調光ラック盤

固定調光 ラック 盤は, 6 kW 白熱灯調光 ユニット 11 台と, 調光操作用 フェーダ 11 個より成り立っている。調光操作用 フェーダ には 10 分割の目盛がつけられており, 調光特性は 2 乗曲線 (明るさが目盛の 2



三菱電機技報・Vol. 44・No. 8・1970



乗に比例する) ようになっている。

#### 2.3.2 主幹盤

主幹盤の表面には、主幹 ノーヒューズブレーカ、一般回路(調光しない 回路——直回路)の ノーヒューズブレーカ が取りつけられている。

#### 2.3.3 自動調光ラック盤

自動調光 5 = 9 盤には、 6 kW 白熱灯調光 2 = -1 9 台が取りつけられている。 調光制御信号は、自動調光 ヴリセット盤・自動調光 ビッポード盤から供給され、制御信号に応じて白熱球・ヨウ素電球の明るさを自動的に変化させるようになっている。

#### 2.3.4 プラグ盤

プラグ 盤には、調光 ユニット と負荷 ノーヒューズブレーカ を自由に選択、接続できる ジャック (電源側)、プラグ (負荷側) が取りつけられている。 ジャック は 1 ユニット につき 3 個の割合で設けられており、1 ユニットで 3 回路までの調光が可能である。

ブラグ は負荷 ノーヒューズブレーカ に接続されており、数は負荷 ノーヒューズブレーカ と同じになっている。 ジャック と ブラグ の間は パッチコード で接続される。 ブラグ 盤の下部には、アクリルアーチ の ボックスライト を点滅させるための装置が組込まれている。

#### 2.3.5 負荷スイッチ盤

負荷 スイッチ 盤には、 負荷配線を 保護するための ノーヒューズブレーカ が取りつけられ、 その定格電流は白熱球・ヨウ 素電球の容量に応じて決められ、15 A、20 A、30 A、40 A に分けられている。

### 2.3.6 自動調光プリセット盤

自動調光ユニットの制御回路に印加される信号の大きさ、および調光時間を自由に設定できるようにした盤で、表面には調光レベルを決めるボリューム、調光時間を設定するボリューム、および段数を表示するランプが取りつけられている。調光レベル、調光時間設定用のボリュームは、ダイオードを通してロータリスイッチに接続されている。ロータリスイッチはピンボード盤で決められた時間に動作し、調光レベル、調光時間を切換えるようになっている。接点は10個あり、最終の10段目をすぎるとふたたび最初の1段目に復帰するようになっている。

# 2.3.7 ピンボード盤

時間設定するための盤で、 $1\sim80$  秒まで任意に選定できるようになっている。 これにより、調光 ユニット 相互間の時間的なずれをなくするようにしている。

# 3. 第3室 "50年後の日本の海"

#### 3.1 展示品と照明方法

第3室は最近話題になっている海洋開発を取りあげ、地下資源・ 漁業資源の開発・海底 レジャーランド(遊園地)・地熱を利用した発電所 の開発・すでに着手されている海底油田の堀削、そして海底都市・ 海底工場など、海にはせる限りない人類の夢を描き出している。

第2室を過ぎて通路をさがりながら進んでくると、一転して緑色の海に入ってくる。岩はだには波が揺れ、幻想的な海の世界に誘ってくれる。波を作り出すため、通路手すりの下に設置した3台の幻灯器を使用している。幻灯器には500 W ョウ素電球2灯を使用し、前面に取り付けたドラムに抜き穴を設けている。このドラムを回転させることにより波模様を作り出している。 通路を過ぎると バチスカーフの中に入り、ここでトラベータに乗る。バチスカーフを過ぎると急に視界が開け、群をなして泳ぐ無数の魚の中で、開発が着々と進められている様子が手に取るようである。これらの照明としては、幻灯器(波)とストリップライトが主役を演じている。すなわち、幻灯器で波

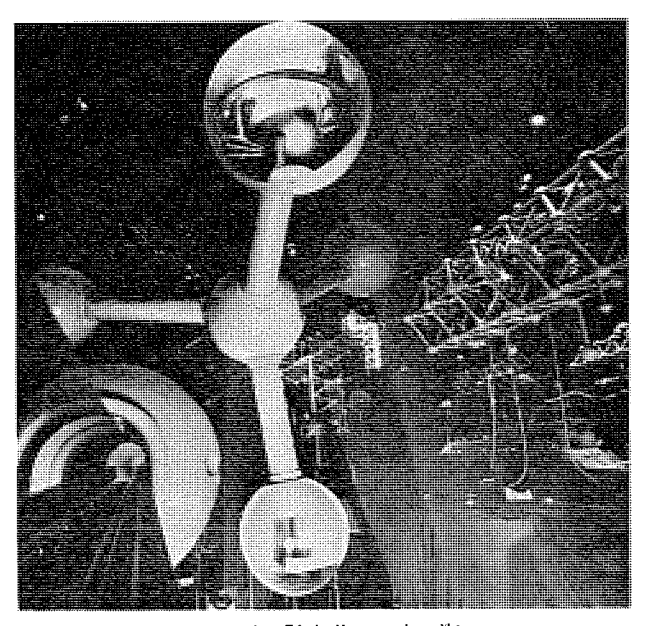


図 3.1 50年後の日本の海 Japanese sea 50 years hence.

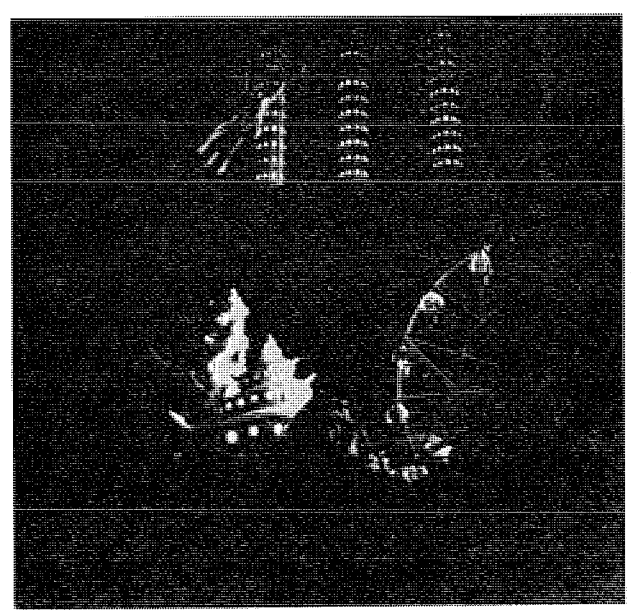


図 3.2 遊園地 Pleasure ground.

の微妙な変化を現わし、海底深くなるにつれて、緑色からだんだんと青色をおび、かつ波の動きもゆるやかになる様子を自動調光装置に接続されたストリップライトで演出している。ストリップライトは大陸だなのくぼんだ部品に取りつけられている。幻灯器、および大陸だなを局部的にクローズアップさせている 500 W ヨウ素ピンスポットライトは、天井に設けられた歩みよりつりさげられている。スモークスクリーンを過ぎると遊園地が見えてくる。ここでは、明るさでは変化を持たせず、直接 300 W ヨウ素 スポットライトで照明している。トラベータをおりると円筒部分に出る。見あげると海の底にいる感じを出すようになっており、上部にゆくにしたがって段々と明るく、かつ白さをおびるようフィルタを使用している。円筒は六段に区切られ、上部にいくに従ってその円は小さくなっている。各段の下部に 300 W ヨウ素電球を取りつけ、上段の周辺を照らしている。

# 3.2 照明器具の種類

50 年後の海を表現するために使用されている照明器具の種類は

表 3.1 第3室における照明器具の種類 Kinds of lighting fixtures in Room No. 3.

	1			ı	1
場 所	ED D	名	数量	位置	
前 室	幻	(波)	2	Ŀ	注) 位置はトラベー
	幻 灯	(波)	7	下	タを基準にし,ト
	200 W フラッ	ドライト	4	ァ	ラベータより上部
バチスカーフ	200 W フラッ	ドライト	5	ド	に取りつけられて
外 遡	200 W フラッ	ドライト	8	Ŀ	いるものを"上"
	300 W ピンスポ	ットライト	3	下	また下部に取りつ
	500 W ピンスポ	ットライト	1	下	けられているもの
	幻 灯	(波)	1	下	を"下"とした
	500 W ピンスポ	ットライト	2	上	
	幻 灯	(波)	1	上	
中 央 部	100W フラッ	ドライト	16	下	
	200 W フラッ	ドライト	27	ᆂ	
	60 W ストリップラ	イト(4灯用)	9	ド	
	100W ストリップラ		16	下	
	60 W ストリップラ	イト(2灯用)	6	下	
	划 灯	(波)	20	ᆂ	
	幻灯	(波)	1	下	
	幻 灯	(水玉)	3	下	
	500 W ピンスポ	ットライト	33	.l:	
	300 W ピンスポ	ットライト	5	Ti-	
遊園地	200 W フラッ	トライト	5	下	
	500 W ピンスポ		3	下	
	300 W ピンスポ		2	下	
	100W ストリップラ		8	下	
ter u	幻 灯	(波)	3	ド	
川 筒	300 W ヨウ素 フラ	1	18	下	
後 部	60 W ストリップラ	イト (4 灯用)	8	下	

表 3.1 のとおりである。 照明器具はほとんど第2室で使用しているものと同じであるが、幻灯器・ストリップライト・500 W ヨウ素 ピッスポットライト を多く使用し、 幻想的で微妙な変化をする海の様子を描き出している。 フィルタ は天井に取りつけられている 幻灯器や スポットライト には緑色を、また海底に設置されている スポットライト には青色を使用している。

#### 3.3 調光装置

調光装置は第2室の調光装置の盤構成と同じである。しかし,第2室では比較的明るさの変化(自動調光)を必要としないのに対し,第3室では波の変化が比較的多い上部と,ほとんど動きのない海底近くの様子を表現するため,固定調光ユニット9台に対し,自動調光ユニット15台と自動調光回路が多くなっている。また時間設定するためのピンボードは、1~100秒まで任意に選定できるようになっている。このため,自動調光プリセット盤・自動調光ピンボード盤がふえ,それぞれ2面となっている。

調光装置設置に際し、各盤を1列に配列するスペースがないため分けて配置し、また高さも第2室の装置より200 ミリメートル低くした。

# 4. 第4室 "50年後の日本の陸"

第4室は、われわれの住んでいるこの地上に着目し、50年後の住宅・都市を描き出している。

第3室からの通路をのぼってくると花園に出る。 ばらの アーチが続き, さわやかな朝に小鳥のさえずりが聞える。花園の照明には フットスポットライト とピンスポットライトを使用している。アーチの下面から フットスポット で, また上部から ピンスポットライト で照明し、朝の日の光を作り出している。花園を過ぎるとトラベータで, ここからは未来住宅・未来都市が続いている。都市には超高層 ビルが林立し、都市間には ハイウェイが走っている。これらの都市の1日を表現するため、スポットライト、ホリゾントライトをおもに用い、日中の日ざしをスポットライトで, また夜をホリゾントライトで現わしている。 観覧者が、朝・昼・夕方・夜の変化が見られるよう、これらスポットライト、ホリゾントライトの

調光時間はトラベータの速度に合わせているため比較的早く、かつ繰り返し時間(ある場面から始まり最初の場面に返ってくるまでの時間)も短くなっている。都市コアの内部にはおもに 200 W・100 Wボックスライト が埋めこまれている。

# 4.1 照明器具の種類

第4室で使用されている照明器具の種類は 表 4.1 のとおりで、第2室、第3室に使用しているものとほとんど同じである。しかし、第4室だけで使用されているものに、 花園の アーチを照明している フットスポットライト、 都市 コア の下部に取りつけられ床面を照明している ベビースポットライト、 都市 コア に埋め込まれている 200 W・100 W ボックスライト、 そして住居に取りつけられている 33 kW ソーラスポットライト などがある。これらの照明器具により、1日の変化をたくみに描き出している。

# 4.2 調光装置

調光装置の盤構成は第2室・第3室と同じである。しかし、日の 光をいっぱいにあびた明るい朝、および都市の1日の変化を表現す

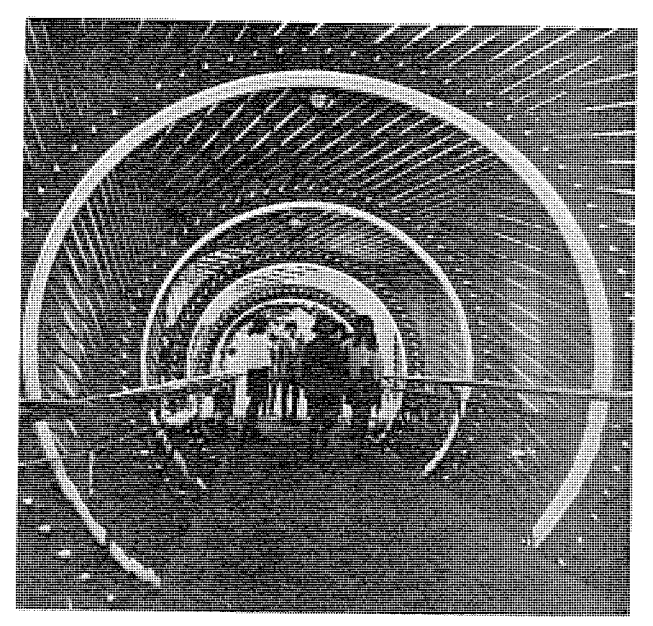


図 4.1 通 路 Passage.

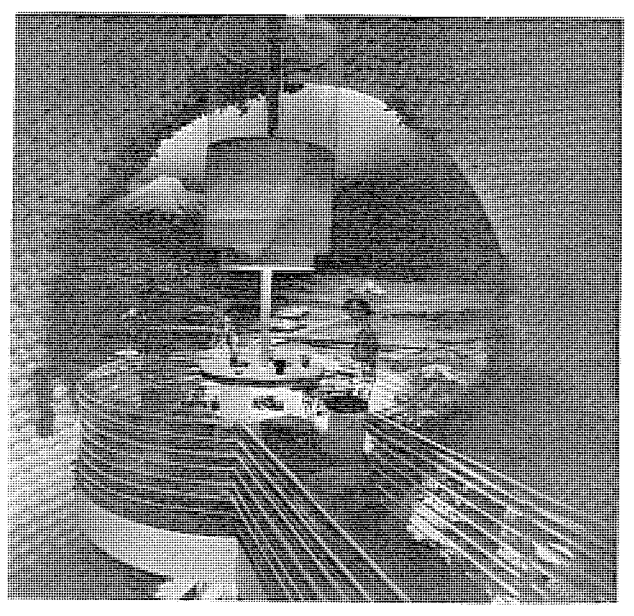


図 4.2 未来の住宅 Future residence.

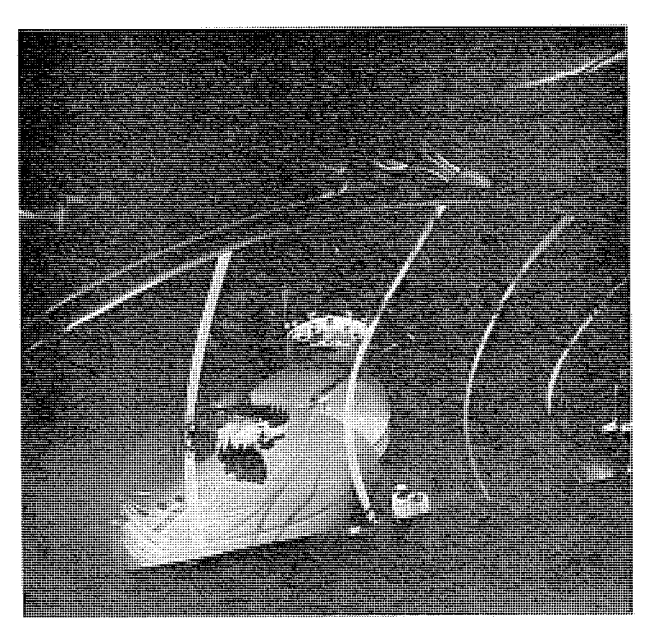


図 4.3 未来の都市 Future city

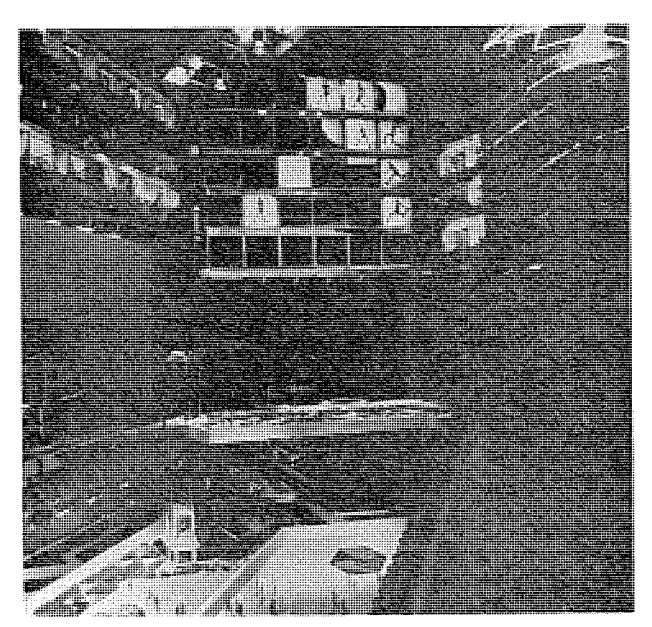


図 4.4 未来の都市 Future city.

るための照明器具が多く,固定調光 ユニット 40 台, 自動調光 ユニット 40 台計 80 台を使用した。固定調光 ユニット 調光操作 フィーダの目盛は すべて 10 (明るさ 100 %) となっており,また自動調光 ユニットの上限の明るさもやはり 100 %となっている。また自動調光回路の時間 設定するための ピンボードは  $1\sim130$  秒まで任意に選定できるように なっている。 自動調光 ユニットが 40 台と多くなったため自動調光 プリセット 20 男 20 引 20 出 20 引 20 と 20 の 20 引 20 の 20 の

表 4.1 第4室における照明器具の種類 Kinds of lighting fixtures in Room No. 4.

場	剪	i	品 名	数量	位置	
花		क्ष	100W ストリップライト(2灯用)	14	下	注) 位置はトラベー
, ,			200 W フットスポットライト	19	下	タを基準にし,ト
			500 W ピンスポットライト	3	上	ラベータより上部
			100W ダウンライト	10	上	に取りつけられて
			500 W ダ ウ ン ラ イ ト	3	上	いるものを"上"
Œ	)	2	3kW ソーラースポットライト	1	上	また下部に取りつ
-			200 W ホリゾントライト	28	下	けられているもの
			300 W ヨウ素 フラットライト	6	下	を"下"とした
			500 W ピンスポットライト	5	下	
			ビームライト	2	下	
			300W アッパーホリゾントライト	24	上	
1/3	[8]	部	300 W ローホ リゾントライト	44	下	
			300W アッパーホリゾントライト	72	上	
			300 Wョウ素 フラットライト	4	下	
			1 kW 平凸レンズスポットライト	8	下	
1			500 W ピンスポットライト	21	Ŀ	
都		īlī	500 W ピンスポットライト	13	下	
			100W ストリップライト(1灯用)	1	下	
			100W ストリップライト(2灯用)	1	下	
			100W ストリップライト(4灯用)	3	下	
			300 W ヨウ素 フラットライト	3	下	
			300 W ローホリゾントライト	10	下	
			200 W フラットライト	12	F	
1			500 W ピンスポットライト	13	上	
			1kW 平凸レンズスポットライト	2	J:	
			300W アッパーホリゾントライト	36	Ŀ	
都	市コ	$\gamma$	300 W ベビースポットライト	17	Ŀ	
			200W ダ ウ ン ラ イ ト	10	Ŀ	
			200 W, 100 W ボックスライト	210	上	
半	球	体	500 W ビンスポットライト	8	下	
			100W ストリップライト(4 灯用)	10	F	
			500 W ピンスポットライト	5	上	
			300W アッパーホリゾントライト	20	上上	
後		部	60 W ダ ウ ン ラ イ ト	4	上	
			100 W ダ ウ ン ラ イ ト	2	J:	

に分けて配置した。

# 5. シルエトロン

下面および後面に アクリル 板のついた一種の照明装置(下面は人が乗ることを考慮し厚くなっている)の内部にけい光 ランプ が収納されている。アクリル 面の前に人が来ると、アクリル 面の明るい部分と、人の立っている影の部分ができるこれを ITV カメラ で映し、約3,000 個の白熱球から構成されている巨大な画面に映し出すようにしたもので、広告照明等の一方法である。今後ともこの方面での応用分野が広がるものと期待される。

#### 6. む す び

三菱未来館の照明について述べたが、一般の劇場などと異なり、 取り付け位置・取り付け方法も思いどおりとならないところもあっ たが、ほぼ初期の目的を達することができた。これも万博三菱未来 館事務局をはじめとする関係各位のご協力によるものと、深く感謝 しております。ここに誌面をかりて厚くお礼申し上げます。

# シルエトロン―万国博覧会 三菱館 設置電光映像装置―

高田 真蔵\*倉橋浩一郎\*\*池端 重樹\*\*

# SILHOUETRON—Display Device for EXPO '70 Mitsubishi Pavilion

Head Office Shinzo TAKADA

Central Research Laboratory

Koichiro KURAHASHI • Sigeki IKEBATA

SILHOUETRON, a projector of a large picture 10 m×8 m in size, has been installed in Room 5 of the Mitsubishi Pavilion in the EXPO '70. There is a picture panel on which 3,000 picture elements are arranged in a matrix style. Each picture element consists of an equilateral triangle with its side 200 mm long and a 15 W incandescent lamps in it. That means there are 3,000 lamps on the screen. By using a raster scanning method, images picked up with an ITV camera are displayed on this screen in real time. The audience in the EXPO '70 led the Room 5 are surprised to watch the motion of individuals displayed in silhouette on the screen, and they are moved to take part in the motion to watch the silhouette by themselves.

# 1. まえがき

万博三菱館第5室は「あなたも参加する」という企画になっており、トラベータで最後の会場第5室に導かれた観客が、へやの中央部に設けられた三角形の「光るステージ」に自然に上りたい衝動に駆りたてられるようなふんい気を作るべく計画された。この装置、シルエトロンは、上述の計画に合わせて開発されたもので、演出上はステージ上の観客をITV カメラでとらえ、巨大なスクリーンに映し出して小さな自分と大きな自分との対比あるいは画面上での他人との遊び、あるいは VTR にあらかじめプログラム され映し出される アニメーション との組合わせ、など観客自身が参加して遊ぶプレイングシステム としてまとめられている。

図 1.1 は第 5 室の 5ルエトロン全景である。映し出す像は白熱電球約 3,000 個からなる中間調なしの影絵または光絵で、5で、として童画的なふんい気を醸成するように設計されている。全画面は

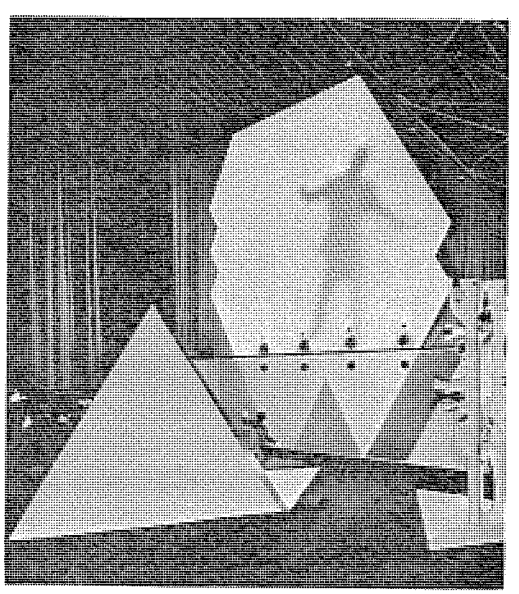


図 1.1 万博三菱館第5室 Interior view of Room No 5 in Expo '70 Mitsubishi pavilion

10 m×8 m の大きさである。

従来、この種の大画面映像表示装置としては電光掲示板あるいは 特殊な広告塔等があるが、いずれもあらかじめ準備された特別のパターンを表示するにとどまり、人物あるいは物の動きを実時間で表示するものとしてまとめられた例は非常に少ない。すなわち従来は、穴あき テープと リレーの組合わせ、あるいは光学的投影(フィルムによる)と光導電素子の組合わせ等の方法が用いられているが、この方法は実時間表示ができないとともに、装置の構造においても次のような問題をもっていた。つまり映像原図から、絵素数に相応する本数のリード線を引き出し、各電球ごとにコントロールラインを接続せねばならず、設置に非常な手間を要した。

この シルエトロン は、 先般試作した EL による壁かけ テレビ の走査 方式(X-Y マトリクス による画面の走査)を 大略そのまま 大画面 の映像 パネル に応用したもので、 実時間の映像を原理的に  $2\sqrt{n}$  (n: 絵素数)の コントロールライン で表示できる点に特長がある。 すなわち ここで用いた映像 パネル は、 絵素数が約 3,000 個であるが、 コントロールライン は縦横方向絵素数に対応してそれぞれ 40 本・83 本 の 計 123 本でまかなうことができた。

以下との装置の基本構成となっているマトリクス選択方式, サイスタを用いた発光記憶回路および装置の性能について概略を紹介する。

# 2. 構 造

この シルエトロン の特長は前述のごとく、映像パネル 自体を X-Y マトリックス 構造とし、これを ラスター 走査することによって 映像パネルの制御回路の構造を単純化し、かつ ITV などによる実時間映像を表示できるようにしたところにある。 装置の構成を 図 2.1 に示す。 図示のごとく、光る ステージ を背景にした観客を ITV カメラ で 撮影すると、この観客像は背景が明るいために影絵像と なって カメラにうつる。この影絵像は、ITV カメラ 出力では通常の テレビジョン 信号と同じく毎秒 60 フィールド、各 フィールドの有効走査線数約 200 本の電

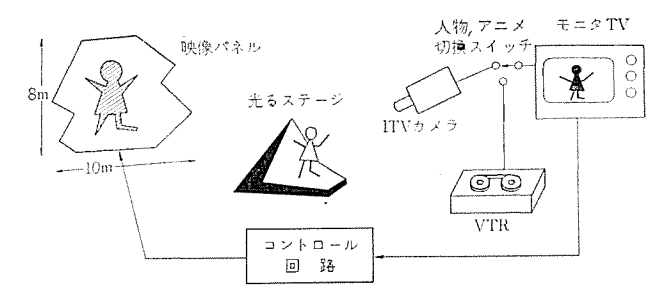


図 2.1 シルエトロンの 構成 Construction of SILHOUETRON.

気信号として与えられる。シルエトロンは、この テレビジョン 信号化された影絵像を、X-Y マトリックス 構造とした映像 パネルを ITV カメラ と同期して ラスター 走査して、パネル 上の各絵素に分配することによって実時間の映像表示を行なっている。 図中の モニター テレビは ITV で撮影されている像の モニタリングを行なうとともに、映像パネルの ラスター走査のための水平および垂直同期パルスの分離抽出のためにも利用されている。

また、映像源としては、ITV カメラで観客自身を映し出すほか、各種の アニメーション 像の表示もできるように VTR を備えている。 との VTR も毎秒 60 フィールド の標準 テレビジョン 信号の形式で、 記録されている。以下各部の概略をのべる。

# 2.1 映像パネル

#### 2.2 白熱電球の制御法

白熱電球をディスプレイ装置として使用する場合、

- (1) 普通の照明と同様、規定の電圧を連続して印加するようにする。
- (2) 規定電圧の数倍の大電圧を パルス 状に加えて、 平均的な明るさを前者と同等にする。

の2方法が考えられる。前者の方法は電球の寿命が長いこと,回路の負荷変動がゆるやかである等の長所があるが,一般に各絵素に回路的な メモリー が必要となる。後者の方法では メモリー がいらない点,有利であるが,パルス状の大電流に耐える回路の設計条件がかなりきびしくなる。

すなわち電球1個に電圧を印加できる時間はわれわれの場合の例では,

$$_{1}$$
 画面時間  $=\frac{17 \text{ ms}}{40}$   $\div 400 \mu\text{s}/1$  フィールド

となり、この短い電圧印加時間で常時電圧印加の場合と同等の明るさを得るためには、かなり高電圧で電球を駆動する必要がある。 われわれの実験では 600~V の高電圧と 400~A 近い 5000 電流に耐える回路が必要であった。

との装置ではこのような高電圧,大電流動作の回路は,安全および信頼性の点で問題があるので,われわれの装置では前者の方法す

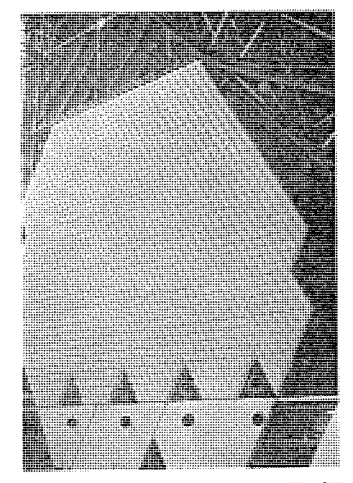


図 2.2 映像パネルの外観 Exterior view of image panel.

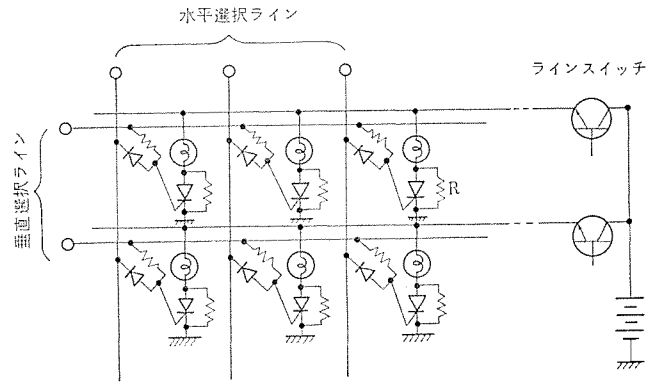


図 2.3 映像パネルの構成 Construction of image panel.

なわち電球ごとに サイリスタ による メモリー 回路をもうける方法を採用した。このようにすれば小形の サイリスタ (CR 05) を電球ごとに設けるだけで 100 V で動作させることができ、 ラッシュ 電流も 20 A 程度に押え得、制御回路は非常に簡略化できた。

# 2.3 画面の走査

まず ITV  $_{1 imes 5}$  あるいは VTR の信号が  $_{1 imes 2 imes 1}$  に入り,ここで水平同期  $_{1 imes 1}$  (H-Sync.),垂直同期  $_{1 imes 1}$  (V-Sync.) および映像信号 (Video) の三とおりの信号に分離する。この H-Sync. および V-Sync. は,時間的直列信号で出てくる映像信号を映像  $_{1 imes 1}$  の平面位置に分配するために必要な信号で, Video は映像  $_{1 imes 1}$  の公素の白黒判別に用いている。 これらの信号の映像  $_{1 imes 1}$  の平面位置への対応は次のようになっている。(図 2.4 参照)

まず テレビジョン 信号の一水平走査時間(実効時間約50 μs)に、映像 パネル の横方向絵素数 (83) に相当する パルス を出す クロックパルス 発生器を備え、この パルス で横方向 シフトレジスタ を駆動する。 横方向 シフトレジスタ は、83 個の出力のうち常に 1 個所のみ出力 パルス を出し、クロックパルス ごとにまず映像 パネル の横位置を順次左から右へ指定する。

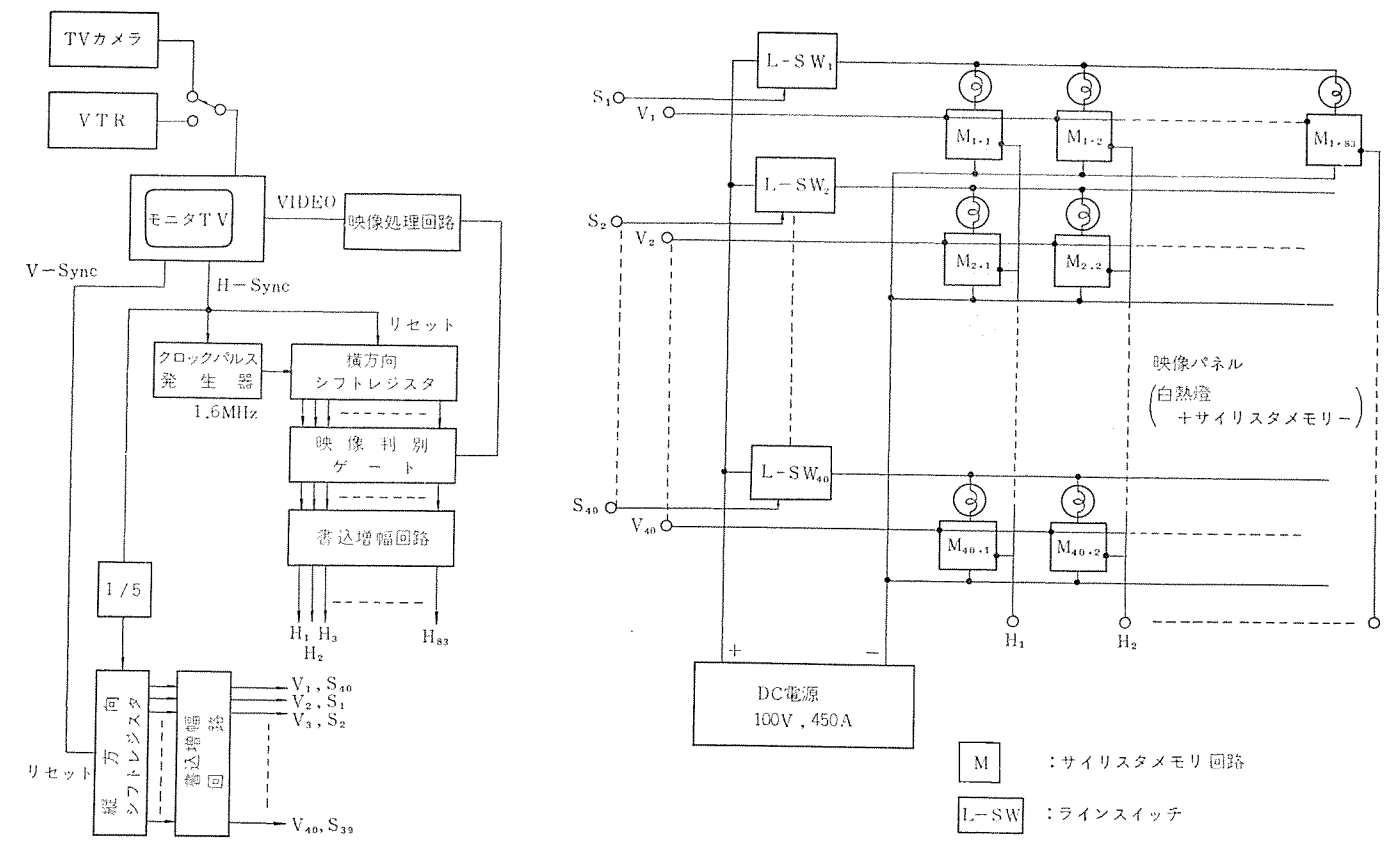


図 2.4 シルエトロン系 統 図 Circuit diagram of SILHOUETRON.

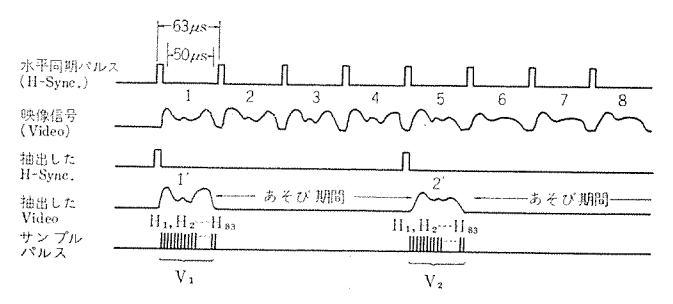


図 2.5 映像信号と抽出信号の関係 Video signal and its sampling periods.

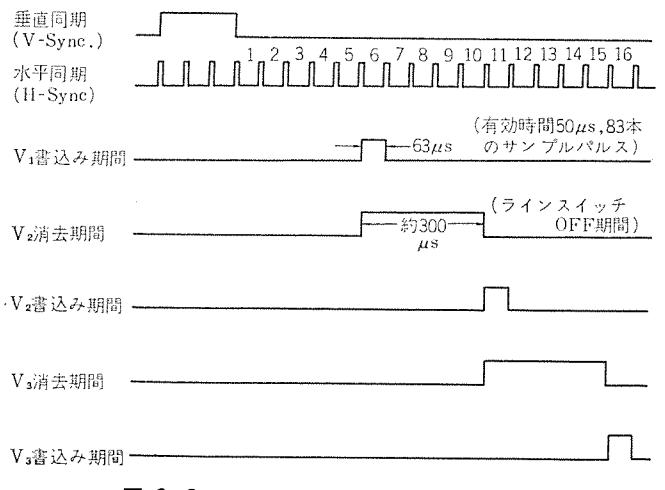


図 2.6 サイリスタメモリ 消去, 書込時間関係 Relation between ON and OFF time of cyristor memory.

抽出信号の関係を図2.5 に示す。

このようにして横・縦位置を指定された交点(いわゆる X-Y マトリクス 選択の選択点)に位置する サイリスタメモリー 回路は、それにつながる電球を点灯すべく駆動され、次に述べる ゲート 回路の働きで映像信号が白を指示すれば サイリスタ をトリガ して点灯する。 ただしこのとき位置が指定されても映像信号が黒を指定すれば サイリスタ はトリガ されず、電球は点灯しない。

図 2.4 の映像判別 ゲートは、この映像信号の白・黒に応じて開閉するもので、白のときは横方向 シフトレジスタ からの出力 パルス を通過させ、黒のときは停止させる働きをもつ。以上の説明のように縦横の各 シフトレジスタ で位置ぎめされた平面上の サイリスタ は、映像信号に応じて トリガ され、電球を順次点灯してゆく。

一画面の点灯を終え再び次の新しい情報を書込む時点では、サイリスタが OFF 状態に戻っている必要がある。 このために導入したのが図中の ラインスイッチで、 これは情報書込みに先立って、 水平方向の 1 ライン につながる サイリスタを同時に OFF 状態とするものである。図 2.6 からわかるように 1 ライン を単位として約300 μs の間、電球一サイリスタ に流れる電流を切って サイリスタ を OFF 状態にして ゆく。すなわち図 2.5 のあそび期間に 次の サイリスタ 回路を 消去してゆく ことになる。 このようにすると、各電球は 1 フィールドの時間を点灯できるので定格値に近い動作ができる。

以上のごとく ライン 状の消去,順次 トリガ で点滅する映像 パネル は全体として映像信号に応じた白黒画面を現出する。 ここで ITV カメラ でとらえるのは,原理的には影絵であるが照明その他の関係で中間調整分も含むので, 映像信号を適当な レベル で切って白・黒の 2 値信号に変換する必要がある。 図 2.4の 映像処理回路はこのための回路である。 また縦・横方向の書込み増幅回路は, 大電流 パルス

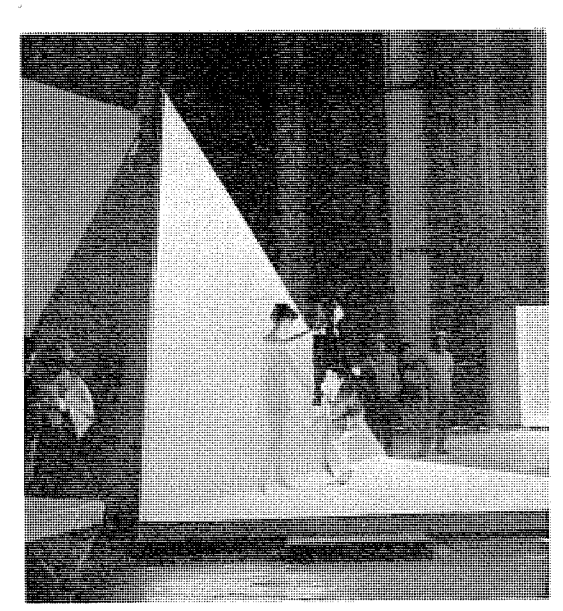


図 2.7 ステージの外観 Exterior view of stage.

に起因する Jイズで サイリスタメモリー 回路その他が誤動作するのを防ぐため,信号電圧を大きくする目的でそう入した増幅器であり,この出力 パルス は約 $60 \, V$  の振幅をもつ。

# 2.4 ステージの構造

図 2.7に ステージの外観を示す。ステージは人物の シルエット を得るべく、白色 アクリル 板による床面と背面壁にけい光灯を埋め込んだ構造とし、昼間の窓外光を横から受けた人物像も ITV カメラ の撮影によって シルエット 像とすることができた。 埋め込みのけい光灯は 20 Wのもの約 100 本である。

# 3. 信頼性の向上

このような装置は、長期間にわたって無保守で使用できねばならないので、信頼性には十分の注意をはらう必要がある。とくに小電圧レベルの信号処理回路で、大電力の映像パネルをマイクロ 秒の高速で制御することに対する回路の動作余裕をどのように確保するかが、装置の信頼性を上げ動作を安定にする要点であった。以下この装置の信頼性向上のための措置について要点をのべる。

# 3.1 ノイズ対策

この装置では大電流を高速で制御し、しかも制御回路から映像パネルへの ライン のあるものは 10 m 以上にもなるため、 大電流 ラインの各点の ポテンシャル は相当変化することになる。そのため信号 レベルを大きくとり、ノイズマージンを増すとともに大電流回路の電流が信号処理回路に流れ込んで微弱信号部を乱さないよう布線方法にも注意を要する。

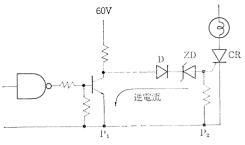


図 3.1 ノイズマージン を大きくした サイリスタ 駆動回路 Cyristor driving circuit allowing high noisemargin.

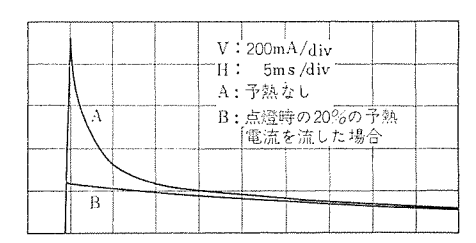


図 3.2 電球点灯時の ラッシュ 電流特性 (100 V, 15 W 白熱灯) Rush current characteristics of switched tungsten lamp.

簡単ではあるが、これらのノイズに対する処置は、制御対称が広面積に散在し、しかも高速・大電流を扱うこの種の装置に絶対必要なもので、調整時に接地箇所を移動したり、パイパスを付加する等の事態を極力避けうる方策である。 またノイズ 阻止 ダイオードを介しての接続は、回路相互間の干渉を大幅に減少することにもなり、この意味からも回路の信頼性を向上させることができた。

# 3.2 白熱灯のラッシュ電流対策

白熱灯は点灯時に瞬時数倍の ラッシュ 電流が流れるので、 とのまま 使用すると

- (1) ラッシュ 電流の繰返しにより電球の寿命が低下する。
- (2) ラッシュ 電流により ノイズ が増大する。
- (3) 回路の容量を大きくせねばならない。

# 等の不都合が生ずる。

この問題を電力損失および回路の コスト等の面から総合的 な 検討を加え、最も妥当な方式として、電球の非点灯時に適当な子熱電流を流しておき ラッシュ 電流を減少させる方法を採用した。図 3.2 に子熱電流を流した 場合と、 子熱なしの 場合の ラッシュ 電流を比較して示す。 具体的には サイリスタ と並列に抵抗をそう入し、サイリスタ のOFF 時においても定常点灯時の約20%の電流を子熱電流として流すことにより、ラッシュ 電流を数分の1に減少させることができた。子熱時の電球発光は目に感じない程度であることは言うまでもない。

# 4. 性 能

この装置の性能を表4.1に示す。

映像表示装置として絵素数が少ないことは一般的には性能が劣ることになるが、今回の構想である薫画的なふんい気を醸成して観客の参加を呼びかける目的からは、大区画の モザイクパターン がかえって面白い映像を現出した。図 4.1 は映像例で、ステージ 上の人物を IT V カメラ でとらえた像と VTR による アニメーション を示す。

なおこの装置の実動時に性能面で気付いた事項を列挙すると次の ごとくである。

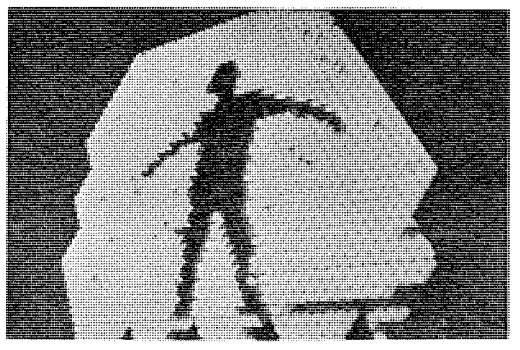
(1) 特に速い動き、たとえば ゴーゴーダンス の映像などに対しては、 モザイクパターン の演出が効果的である。

表 4.1 シルエトロンの 性能 Specification of SILHOUETRON.

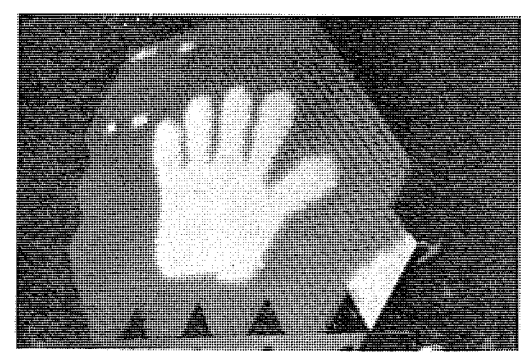
	addit of Cabricon in the cabri
表示面寸法 分解能	10 m× 8 m 83 ×40 (絵素数 3,000)
表 示 画 像	白黒2値の影絵あるいは光絵
走 查 速 度	60 画面/秒
映像パネルの消費電力	全而点灯時 40 kW
制御回路の 消 費 電 力	2 kW
使 用 電 珠	100 V, 15 W 白熱灯
電球印加電圧	100 V, DC
ITVカメラ	三菱 IT-17 (60 Hz, ランダムインタレース)
V T R	芝電 SV-700
主 電 源	100 V, DC 450 A (三相全波整流)
制御用電源	5 V, DC 5 A 12 V, DC 2 A 60 V, DC 3 A
使用周围温度	映像バネル 0°C~60°C 制御回路 0°C~40°C

- (2) 電球の残光時間は数十 ms であるが、人物あるいは アニメーション の最も速い動きに対しても残像は感じない。
- (3) 通常の照明に使用する場合に比べて、電球の寿命低下は認められない。
- (4) 負荷変動による ノイズ,その他の外来 ノイズ に対してまったく安定である。
- (5) 始動・停止等の操作が簡単で、特別の保守技術を必要としない。

以上のごとく、映像による プレイングシステム により、 観客の参加を 呼びかけるという初期の目的を得る装置が実現できた。 なおこの装置は サイリスタメモリー を採用しているため、 瞬時画像をそのまま静止 記憶する機能も有しており、利用の方法次第では電子装置と直結し



ITV カメラ による ステージ 上の人物像



VTR による アニメーション 図 4.1 シルエトロンの 映像 SILHOUETRON's pictures.

た大画面 データ 表示装置とも成りうるものである。

# 5. む す び

以上万国博覧会三菱館の電光映像装置の設計について紹介した。
方式上はマトリクス選択走査を採用したこと、電球にサイリスタメモリーを施したことが、従来にない安定性と寿命を得る結果となった。信頼性の面では回路のノイズ対策、電球のラッシュ電流対策が功を奏し、この装置は万国博覧会開幕以来シルエトロンの名称で好評を得ている。末筆ながらこの装置の設置にあたり、プレイングシステムを企画された近畿電々広告商事の関係各位に敬意を表するとともに、製作に協力くださった久米電気、当社北伊丹製作所のかたがたに深謝します。

(昭和45-6-3受付)

# 日本万国博覧会におけるリコー館のバルーン照明

小川俊也\*・福島善夫\* 狩野 雅夫\*\*·橋本 武雄\*\*·森本 俊一\*\*

# Attractive Lighting for a Balloon of the Ricoh Pavilion in Expo '70

Ricoh Company, Ltd. Toshiya OGAWA · Yoshio FUKUSHIMA Masao KARINO · Takeo HASHIMOTO · Shunichi MORIMOTO

Mitsubishi Elect. Corp., Ofuna Works

A large balloon looking down the site is hoisted high above the roof of the Ricoh pavilion in the Expo '70 that has the theme of "Progress and Harmony of Mankind". At night it gives off a variety of changing colors and depicts a pattern of light blue spots. The lighting of the balloon is made with color fluorescent lamps, colored fluorescent lamps and incandescent lamps. The fluorescent lamps are changed of their intensity by means of dimmers, while the incandescent lamps are flashed. The changes of lighting effect is all made with an electronic computer to conform to the images of the designer.

This article describes the outlines of the lighting method.

# 1. まえがき

"人類の進歩と調利"をテーマにした日本万国博覧会のリコー館で、 直径 25 メートル の バルーン を地上 75 メートル の高さまで浮上させ、その 内部に照明器具を内蔵して、バルーンを ファンタジック に照明することが 計画された。

その照明方式は、パンチテープにより、自動的に、けい光灯の調光、 ならびに自熱灯 スポットライト の点滅をおこなうもので、パターンは、必 要な プログラム を盛込んだ テープ を作成して、 かけ代えることにより 簡単に変更できる。したがって従来の単なる調光と異なり、けい光 灯三原色の混色の上に、白熱灯 スポットライト の点滅を組合わせ、種々 のイメージを与えるもので、いわば音楽の作曲に対する作光ともいう べきことをおこなうことができる。

こうした計画に対し、われわれが最も意を用いたのは、バルーン内 に光源を取付けるための重量制限(光源として1.6 トン), ならびに

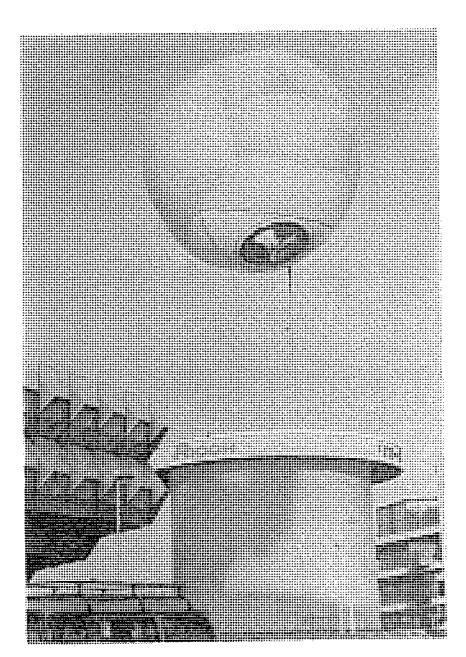


図 1.1 バルーン浮上図 Balloon floating up.

光源の収納室が可燃材 (透明 アクリル 樹脂) であるための, 温度に対 する配慮すなわち安全対策等であった。

以下にその詳細を述べる。

# 2. バルーン

バルーン は半透明の プラスチック の膜で作られた直径 25 メートル の大気 球で、容積は8,000 立方 メートル あり、中には ヘリウム が詰められてお り、その浮力は常圧で8トンある。 気球構造体の重量が約4トンあ るので実質の浮力は4トンとなる。

気球の中心には光源を含む ハウジング があり、 8本の テンションワイヤ で位置決めされている。 バルーン は屋上に設けられた 4 台の ウインチ に よって、4本のロープで操作され、地上75メートルまでの浮上・水平 方向・上下方向の回転ができる。

シャフトカバー は光源の保守点検の際、人が ハウジング まで上る通路で あると同時に、ファンダクトの通り道ともなっており、内部になわはし ごが取付けられている。

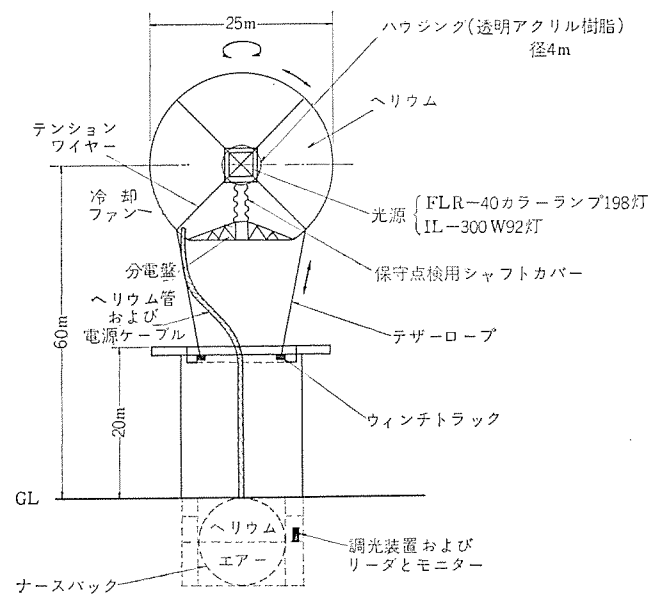


図 2.1 バルーン構造 概略図 Construction of balloon roughly drawn.

バルーンの へりウム 圧の変化に対応させるため、地階に ナースバット が 設置されている。

# 3. 光源装置

下面は保守点検用の開口部があるため、けい光灯18灯(赤9灯,青7灯,緑2灯)、白熱灯スポットライト12灯となっている。

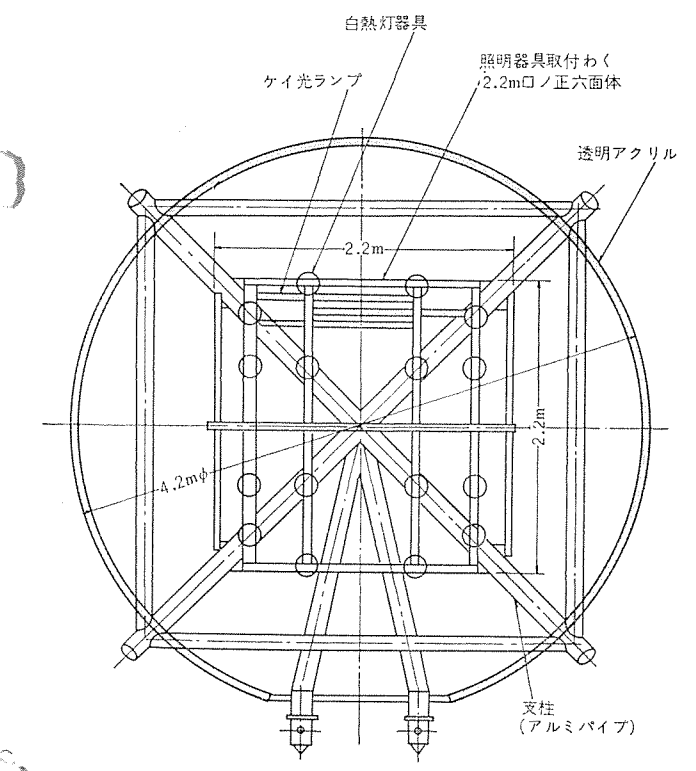


図 3.1 ハウジング詳 細図 Detailed drawing of the housing.

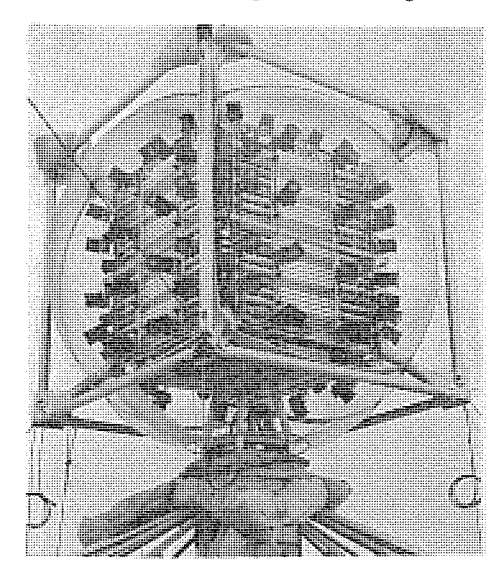


図 3.2 照明器具取付図 Fitting of lighting fixtures.

内部配線は シャフトカバー 内を通過して分電盤へつながり、分電盤からは ケーブル によって地階の コントロール 装置に接続されている。

# 4. コントロール装置

コントロール 装置は、三色のけい光灯 198 灯を調光する装置、白熱灯スポットライト 92 灯を点滅する装置、およびこれらの装置に信号を与え、光源の明るさを時間的に変化させる装置より構成されており、そのブロック 図は図 4.1 のとおりである。

#### 4.1 けい光灯調光装置

けい光灯は六面体の下面を除いた各面に、赤 16 灯、青 14 灯、緑 4 灯が取付けられているが、 これらの 5 2 7 を各面ごとに調光すれば、 18 個の調光器が必要となる。また配電線も制御線だけで 18 本 となるため、重量計算をした結果、制限をこえることがわかった。このため、けい光灯は  $\sqrt{-2}$  7 として使うという条件のもとに、相対する面は同じ色の調光をするとして、これを 1 回路とした。すなわち、相対する面ごとに 3 台の調光器が必要となり、計 9 台の調光器を使用することにした。

# 4.1.1 けい光灯調光ユニット

相対する面の同じ色のけい光灯を同時に調光するとして、1台の調光ユニットに接続されるけい光灯の最大灯数は32灯となる。安定器には、周囲温度が高くなってもあまり問題のない低力率形の調光用安定器を使用したため、調光ユニットに流れる電流は約23Aとな

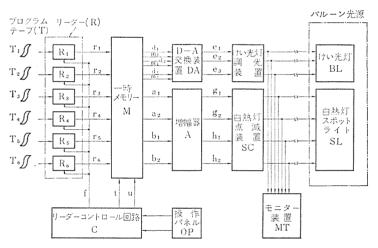


図 4.1 コットロール 装置 ブロック 図 Block diagram of control equipment.

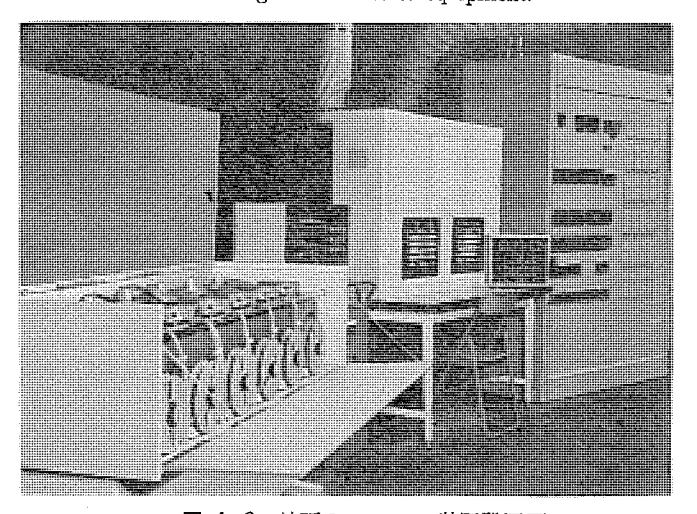


図 4.2 地下の コントロール 装置設置図 Installation of control equipment.

る。この種の調光ユニットとして制御信号発生回路に、磁気増幅器を用いたものがあるが、制御信号を極力少なくし、かつ特性をそろえることが要求されたため、図 4.3 に示すような半導体回路を採用した。この回路は、トランジスタ( $(TR_1)$ の ベース に流れる電流を変化させることにより、ユニジャンクショントランジスタ((UJT))の発振位相を変えるもので、ユニジャンクショントランジスタの発振信号で、小形のサイリスタ( $(SCR_3, SCR_4)$  を導通させ、この信号を主回路のサイリスタ( $(SCR_3, SCR_4)$ )を導通させ、この信号を主回路のサイリスタ( $(SCR_3, SCR_4)$ )を導通させ、 $(SCR_3, SCR_4)$  を導通させ、 $(SCR_3, SCR_4)$  を考慮させ、 $(SCR_3, SCR_4)$  を表慮させ、 $(SCR_3, SCR_4$ 

せれば、 けい光灯の明るさを  $0 \sim 100\,\%$ まで連続的に変えることができる。

# 4.2 白熱灯点滅装置

300 W 白熱灯 スポットライト 92 灯の点滅をおこない,調光されたけい光灯の光のうえに,水玉模様を描かせるもので, 個々の スポットライト および複数個の スポットライト を点滅させることが要求された。 このため 配電線を少なくし, かつ これらの要求を 満足させるため,白熱灯 スポットライト 92 灯を 2 ブロック に分け,各 ブロック 46 灯についてマトリックス 回路を形成し,各 スポットライト に直列に ダイオード を接続し

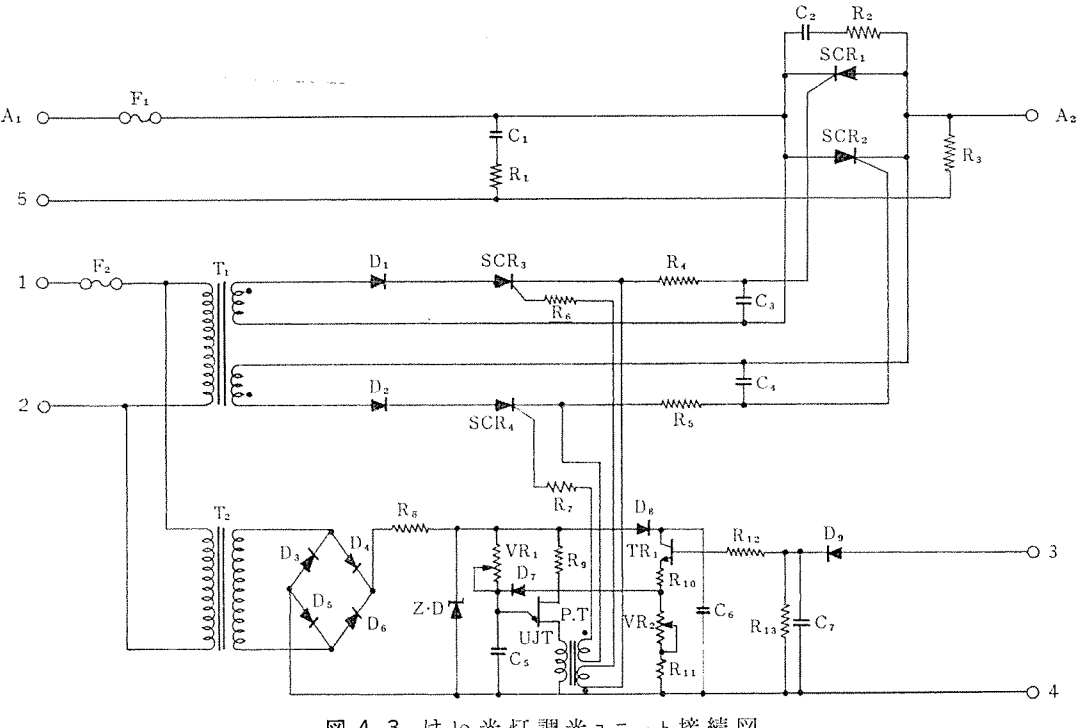


図 4.3 けい光灯調光ュニット接続図 Connection diagram of fluorescent dimmer unit.

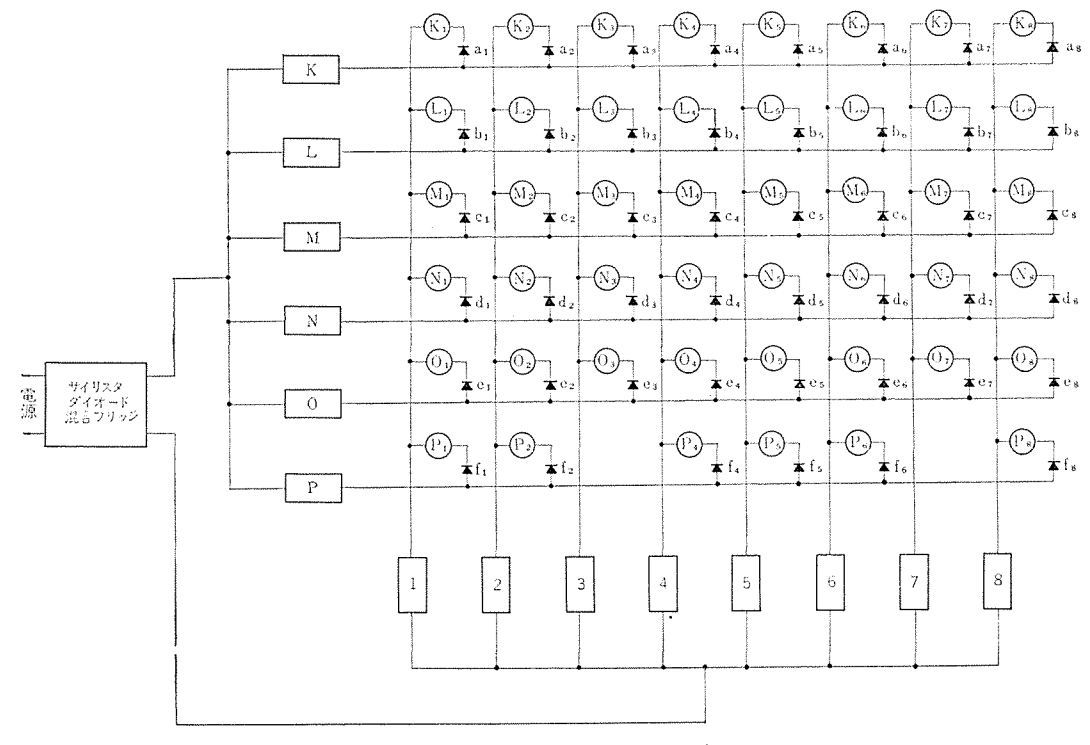


図 4.4 白熱灯点滅装置接続図 Connection diagram of incandescent lamp flashing device

た。またこの方式で、 サイリス タを 用いた点滅 ユニットを 使 用すると、 サイリスタ が導通し 放しになった場合、保護回路 が動作せず, ァクリ 面の温度が 制限をこえることも考えられ るため、電源側に ダイオード, サイリスタ の混合 ブリッジ 回路を 接続した。これにより点滅ュ ニットに印加される電圧は, 位 相制御された波形となる。図 4.4 に示された 自熱灯点滅 装置接続図において、点減コ ニットK および 1 が同時に ON になると電流は点減ユニットK, ダイオード a」, 自熱灯 スポットライ トKgを通して流れ、白熱灯ス ポットライト K1 が点灯する。 同 様に白熱灯 スポットライト K」と K<sub>1</sub> を点灯したければ, 点灯 ユニット K, 1, 2を ON すれ ばよい。 このようにマトリック ス回路を使用すれば、 サイリス タブリッジの陽極側に接続され ている点滅 コニット (K~P), および負極側に接続されてい る点滅 ユニット (1~8) を O Nすることにより, ON され たユニットに接続されている白 熱灯スポットライトを点灯させる ことができる。しかし, この 方式では、白熱灯 スポットライト N<sub>1</sub>, M<sub>3</sub> を点灯しようとして, 点減 ユニット N, 1, M, 3 を O N にすると、希望しない スポ ットライト M<sub>1</sub>, N<sub>3</sub> も点灯 して しまうことになり, おのずか らプログラムも制限を受ける。 この点を考慮してプログラムを 作成すれば、配電線が極端に 少なくなり、今回の場合28 本で済んだ。

#### 4.2.1 点滅ユニット

点滅 ユニットは、けい光灯調光 ユニットとほぼ同じであるが、印加される電圧が脈流であり、 1 ユニット 当たりの サイリスタ は 1 個でよく、かつ点弧回路も簡単になる。今回、白熱灯 スポットライト は点滅だけの要求であったが、信号の加え方によっては、調光も可能なようになっている。調光ユニットの回路図を図 4.5 に示す。

#### 4.3 制御信号発生装置

制御信号発生装置は図 4.1 の ブロック 図で示されるように、電子計算機からはき出された 6 種類の テープは、所定の リーダー に セット され、操作 パネル の スタートスイッチ による スタート 信号が送出されると、リーダーコントロール 回路の クリヤー 信号により 一時 メモリー は クリヤー され、次に セット 信号によって リーダー の読み取っている内容が合計 40 チャネル 並列に記憶される。メモリー に記憶された データ は光源の信号として調光・点滅各 ユニット に印加される。調光・点滅の タイミング は試験

SCR<sub>1</sub> Ļc₁ ≸R₃ ≹Rι SCR2 R. www R. VR<sub>1</sub> **₩**-03 lvr. 2 n'C4 Cs. ≹R10 -0 4

図 4.5 白熱灯点滅ユニット接続図 Connection diagram of flashing unit.

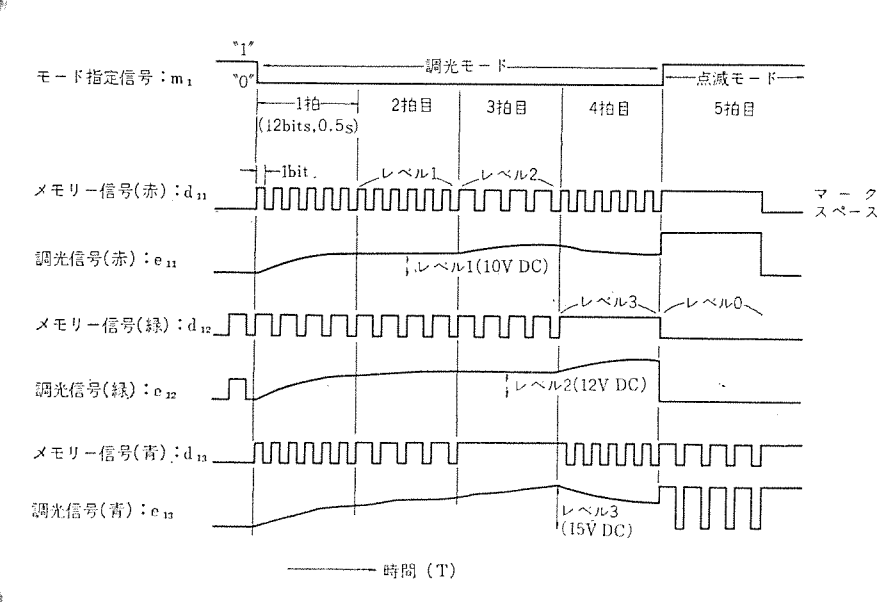


図 4.6 調光,点滅制御信号 Dimmer flashing control signal.

# 4.3.1 けい光灯の制御

# 4.3.2 スポツトライトの制御

図 4.1 に示すように  $y-y-(R_3)$  は 6+y+xルの f-yを読み取る。同時に  $y-y-R_4$  は 8+y+xルの f-yを読み取りそれぞれ y+y-に t-y- される。その f-y は 0 V か 15 V の f-y-y 信号となり増幅されて点滅 y-y-に印加される。

図 4.1 に示されている ==9- 装置は,調光,点滅各 ==- の出力側に %ルーン の光源と並列 に接続されており,%ルーン 内の光源の動作が一目でわかるようになっている。

# 5. 保護装置

先にも述べたように光源収納室が アクリル 樹脂であるため、次のような対策を施した。

- (a) けい光灯安定器には, 異常温度上昇による安定器焼損を防止するため, サーマルプロテクタ(130 °C) を内蔵させた。
- (b) 白熱灯 スポットライト の前面に熱線吸収 ガラス を取付け、アクリル 面に投光される スポット の熱を しゃ断するようにした。
- (c) 内部配線はすべて シリコンゴム 絶縁 ガラス 編 組線を使用した。
- (d) アクリル 樹脂の スポットライト 投光点の中間に サーモスイッチ (60°C) をはり付け, この点の温度が 設定値を越えるとけい光灯, 白熱灯 スポットライト が 消灯するようになっている。
- (e) アクリル 樹脂の局部温度を 85°C 以下とするため、白熱灯 スポットライト と アクリル 樹脂間の距離は予備実験で得られた距離以上とした。
- (f) ハウジング を冷却するため、 $50~\mathrm{m}^3/\mathrm{分}$ の ファ  $\upsilon$ モータ を取付けた。

- (g) けい光灯,白熱灯スポットライトとも,最大点灯数,および点灯時間を制限し,その =-プを電子計算機で試験し,合格したプログラムのみを使用することとした。
- (h) ファンモータ の故障による過電流, または停止, および モータ 回路の停電等に対する保護装置を設けた。

# 6. 重量制限に対する対策

バルーンであるための重量制限対策として、ケーブルが一番大きなウェートを占めていた。このため、前記したようにけい光灯は相対する面を同一の調光とし、白熱灯 スポットライト は マトリックス 回路とすることにより、大幅な減量が可能となりほぼ初期の目的を達することができた。

# 7. 光源の明るさおよび温度上昇

# 7.1 光源の選定と数量

できるかぎり バルーン表面の輝度を上げるため、効率のよいけい光 ランプを使用することにした。 色彩を変化させるため 3 原色の カラーランプを選び各色の ランプ数を平均昼光 C(x=0.310, y=0.316) に なるように計算した結果、赤、青、緑の割合は 6:9:1 となったが、実験の結果、赤については光色の点で カラードランプに、また数量については重量、消費電力の制限を考慮して、前記したように正六面体の一面につき 36 灯(ただし昇降口がある面については 18 灯)合計 198 灯とした。

白熱灯 スポットライト についても種々検討した結果、 $300 \,\mathrm{W}$  スポットライト とし、その数量は一面あたり  $16 \,\mathrm{灯}$  (下面は  $12 \,\mathrm{灯}$ ) 合計  $92 \,\mathrm{ហ}$ とした。

### 7.2 球面輝度

バルーン 表面の輝度は次式により算出し、完成時に測定した値と比較した。その結果を表 7.1 に示す。 なお視感上は満足し得る明るさであるととを確認した。

$$B = \frac{Ft_1t_2}{\pi^2D^2} \left( \eta + \frac{\rho}{1-\rho} \right)$$

B: 輝 度

F: ランプ 光東×光東

ρ: 外球反射率

t1: 内球 (透明 アクリル 球) 透過率 92.0 %

t2: 外球 (バルーン) 透過率 65.9 %

D: 外球直径 25 メートル

η:器具効率 70.0 %

測定値と計算値との相異は次のように考えられる。

(1) 外球が完全な球でないため、相互反射の計算式にあてはま らない。

22.0 %

- (2) 外球が完全拡散面でないため、輝度むらを生じている。
- (3) 器具、ランプ、内外球面がほこりで汚れている。

表 7.1 パルーン 表面の 輝度 比較 Comparison of surface brilliance of the balloon.

2 . P. O. 10 155	光東		数	撒		粒		度			
ランプの種類	76	ж	их	л	計	欽	値	実	測	値	
FLR 40 R-F	2	00 lm	99		1.92 Cd/m²			1.37 Cd/m <sup>2</sup>			
FLR 40 B	8	50		77		6.33		3.19			
FLR 40 G	3,3	30		22	7.07			4.12			

- (4) 全光時の調光 ユニット 出力電圧が定格の 95 % 位なのでその 分だけ光束が低下している。
- (5) 周囲温度が低い (約  $10^{\circ}$ C 低いので光束は5%程度低い)  $2\pi^{\circ}$ 小ライトの輝度は測定したところ,20 Cd/ $m^{\circ}$ となっていた。

### 7.3 温度上昇

アクリル 球内の温度上昇により、ランプ 光束の低下、器具の焼損、アクリル 球の溶損などの現象が発生する可能性があるため、けい光灯、白熱灯 スポットライト の点灯数を算出し、調光、点滅 プログラム 作成上の制限を設けた。

### 温度条件

アクリル 球内平均温度 60℃ 以下

アクリル 球面平均温度 60℃ 以下

アクリル 球面短時間最高温度 85℃ 以下

冷却風量 50 m³/分

冷却空気温度 外気温度とする。

この条件をもとに、熱負荷 13.5 kW として温度上昇を計算すると 14 deg となる。

点灯時の外気温を最悪の場合 35℃ とすると アクリル 球内平均温度 は 49℃ となる。これを スポットライト のふく射熱による アクリル 面の温度上昇を試験 データ から導入して検討したところ, けい光灯と白熱灯スポットライト では後者の点灯条件がきびしくなっているのでそれを緩和するようにした結果,点灯条件を次のように決定した。

 けい光灯
 白熱灯 スポットライト

 平均点灯率
 57 %以下
 9.6 % 以下

 平均消費電力
 7.15 kW 以下
 2.6 kW以下

 短時間最大点灯率
 —
 25 % 以下

 (点滅間隔 1:3)

以上の条件で温度上昇の再計算をした結果,

外気温度 35℃ の場合

アクリル 球最高温度 85°C

アクリル 球平均温度 60°C

アクリル 球内平均温度 45℃

#### となった。

ただし前記の計算は内球(アクリル 球)と外球(バルーン)の間が ヘリウム であるのを考慮せず空気としておこなっている (ヘリウム の熱伝 導は空気の約6倍)。

点灯条件の最大許容限度の プログラム (1 サイクル 15 分) でけい光灯の調光, 白熱灯スポットライトの点滅をおこない温度測定をおこなった。その結果 アクリル 球面平均温度上昇は, 5.5 deg, その飽和時間は 60分であった。また アクリル 球面最高温度はスポットライトの ビーム 中心においても他の部分と同様 5.5 deg 程度の温度上昇しか認められなかった。

計算値との相異としては

- (1) ヘリウムの熱伝導がよいため放熱が大きい。
- (2) 配電線の電圧降下による入力の減少。
- (3) 熱線吸収 フィルタ によるふく射熱の減少。 などが考えられる。

# 8. 調光, 点滅プログラム

ランプの数および変化の種類が多く、しかもその点灯率に制約があるため、さん孔 テープを用いることにした。けい光灯用として、12 チャネル、白熱灯 スポットライト 用に 28 チャネル、合計 40 チャネル を必

要とするので、テープは8チャネル用6本を使うことにした。このように使用テープが多いため、人が直接テープにプログラムしてゆくことはできないので、人はなるべく実際のイメージに近い形で紙の上にプログラムを作り、最終的に必要なテープへの変換を電子計算機にまかせることにした。

# 8.1 プログラム作成手順

## 8.1.1 作 譜

# 8.1.2 コード変換

オペレータは、まず譜面を文字 コードに変換する。けい光灯なら面指定(三線譜の左側外に書いてある  $1 \sim 3$  の数字)、色指定(三線譜の一番左側にある W, B, C, G, Y, R, P の 7 つ。ただし休みのある時はとの指定を省く)、モードおよびレベル指定(点域モードは単一レベルなのでDと書き、調光モードは 3 レベルあるので  $1 \sim 3$  を書く、また休止は 0 で示す)および拍数指定の 4 種の指定をおこなうことによって一つの符が完全に変換できる。

図8.1 についてこの変換をおこなえば次のようになる。

1G33 2R13 3WD2 3YD A0

1B2A 20 2BD 2RD 2GD

白熱灯スポットライトについては、左側のマトリクスを先に変換する。まずアルファベットに関して ON になっているものをすべて書き、次に数字に関して同様に書く。それに続けて右側のマトリクスも同様の変換をおとなる。図8.2 についてこの変換をおとなえば、

SUX 26 NA A 147 MN 45 T 3 LMNO 3456

W 8 LO 27

となる。

# 8.1.3 ソーステープ

コード 変換が終わればとれを テープ に パンチ する。 パンチ された テープ を ソーステープ という。

### 8.1.4 コンパイル

ソーステープから最終的な テープに変換する作業は、モンロボットと呼ばれる電子計算機におとなわせる。

変換に必要な プログラム (コンパイラ) は あらかじめ電子計算機に読み込ませてある。 ソーステープ の読み込みが始まると, テープ の中に ルールのない表記, 脱落等がないかどうかの チェック をしながら読み進み,

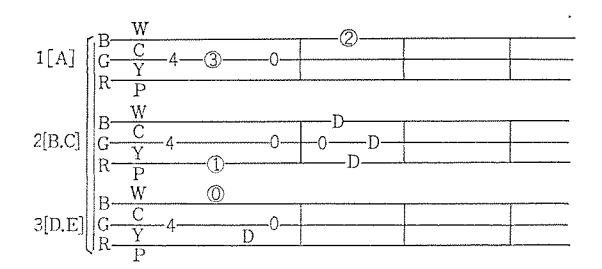


図 8.1 けい光灯用 プログラム Program of fluorescent lights.

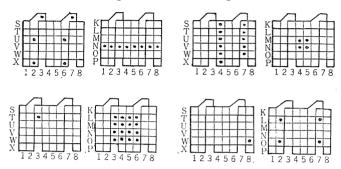


図 8.2 白熱灯 スポットライト 用 プログラム Program of incandescent spot lights.

コードを2進法32ビットのマシンコードに変換して、1拍ごとに内部メモリーに記憶してゆく。ミスがあればその内容をタイプアウトして、一時停止する。オペレータはその理由を判断して全部キャンセルして最初からやり直すか、あるいはミス部分だけを修正して先に進むかをボタン操作だけで決めることができる。すべて読み終わると全拍数をタイプアウトし点灯率を計算し、制限点灯率との比較をする。制限を越えている場合にはけい光灯ならどの色のどの面が多いのか、スポットライトならどのランプがいくつ越えたのかをタイプアウトし一時停止する。

制限を越えていないか、あるいは越えてもよい場合(テストプロクラ ム等)は先へ進んでもう一方の テープの読み込みを始める。 上と同様な チェック をおとなったあと問題がなければ テープパンチ を開始する。 このようにしてできた プロクラムを オプジェクトテープと呼ぶ。

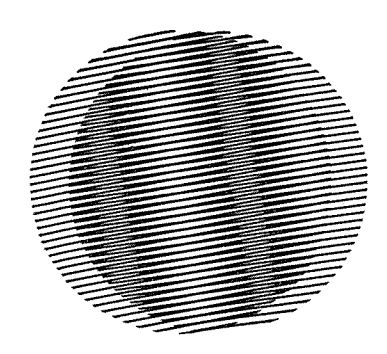
以上のような手順によって最大4分までの任意の長さの プログラム が作成できる。

#### 9. む す び

以上述べたように、バルーン内に照明器具を収納し、それを電子計算機によって調光、点滅の制御をするという試みもほぼ初期に予測したとおりの効果を得ることができた。 日建設計、 GAC (Good year Aerospace Corp) をはじめとする関係各位のご支援を深く感謝している次第です。誌上をかりて厚くお礼申上げます。またこれを契機に、このような照明方法がさらに進展することを期待してやみません。

# 

名	称	登 録 日	登録番号	考案者	関係場所
負 イオン 発生装置		44- 4-10	868742	馬込一男・杉本 賢	商品研究员
イオン 化装置		44- 4-10	868743		
イオン 発生装置		44- 4-10	868744	藤田順三	中津川製作品
負 イオン 発生機		44- 4-10	868745	竹中正恭	中津川製作品
陽子台		44- 4-10	868777	松尾宏之・都築勇吉	名古屋製作店
安栓装置		44- 4-10	868783	吉田元之	通信機製作品
2気清浄機		44 4-10	868747	牛 越 諒	中津川製作
<b>毫</b> 気鍋		44- 4-10	868748	長谷川 清	群馬製作
<b></b>		44- 4-10	868749	長谷川 清	群馬製作
夏気鍋		44- 4-10	868750	長谷川 清	群馬製作
う蔵 ショーケース		44- 4-10	868751	山越明秀・高橋哲弥   高木 昇	日建製作
<b>三</b> 気鍋		44- 4-10	868752	長谷川 清	群馬製作
<b></b>		44- 4-10	868753	長谷川 清	群馬製作
质炊具		44- 4-10	868754	長谷川 清	群馬製作
意炊具		44- 4-10	868755	長谷川 清	群馬製作
宣気鍋		44- 4-10	868756	{長谷川 清・高 橋 正 晨 村 岡 和 典	群馬製作
於具		44- 4-10	868757	長谷川 清	群馬製作
3.55.55 3.55.55.55.55.55.55.55.55.55.55.55.55.55		44 4-10	868758	長谷川清・奥田文一	群馬製作
<b>新</b> 次具		44- 4-10	868759	長谷川 清	群馬製作
axxx 新炊具		44- 4-10	868760	長谷川 清・伊藤 弘道	群馬製作
·····································		44- 4-10	868761	鈴木 洌	群馬製作
<b>星</b> 気鍋		44- 4-10	868762	(高橋正晨・村岡和典 (鶴谷嘉正	群馬製作
<b>三</b> 気鍋		44- 4-10	868763	(高橋正晨・村岡和典 (鶴谷嘉正	群馬製作
<b>三</b> 気鍋		44- 4-10	868764	「高橋正 晨・村 岡 和 典     鶴谷 嘉 正	群馬製作
星気鍋		44- 4-10	868765	(高橋正晨·村岡和典 鶴谷嘉正	群馬製作
星気鍋		44- 4-10	868766	(高橋正晨·村岡和典 鶴谷嘉正	群馬製作
<b></b>		44- 4-10	868767	鈴木 洌	群馬製作
<b>宣</b> 気鍋		44- 4-10	868768	鶴谷嘉正	群馬製作
ô蔵庫扉棚の ガード 保持装置		44- 4-10	868769	中島勇	静岡製作
政命いかだ用 備品格納装置		44- 4-10	868771	山口彰弘	相模製作
<b>包</b> 気鍋用電熱体		44- 4-10	868772	長谷川 清	群馬製作
<b>夏</b> 気鍋用電熱体		44- 4-10	868773	長谷川 清	群馬製作
E 気鍋用電熱体		44 4-10	868774	長谷川清	群馬製作
E		44- 4-10	868775	長谷川清	群馬製作
		44- 4-10	868776	長谷川清	群馬製作
電気鍋用電熱体 電気鍋		44- 4-10	868778	高橋正晨・村岡和典	群馬製作
<del>-</del> :		44- 4-10	868779	字川彰	相模製作
影張形救命具の投下装置 15年4月		44- 4-10	868780	等 川 彰 鶴谷嘉正	群馬製作
<b>E 気鍋</b>		44- 4-10	868781		群馬製作
<b>紫</b> 炊具					
<b>尼動圧縮機</b>		44- 4-10	868782	戸崎保弘	静岡製作
電気毛布の保護装置		44- 4-10	868784	中村富家・高梨靖士 (高橋正景・村岡和典	群馬製作
<b>電気鍋</b>		44- 4-10	868786	[高橋正晨·村岡和典   鶴谷嘉正   「高橋正農・村岡和典	群馬製作
電気鍋		44- 4-10	868787	高橋正農・村岡和典 鶴谷嘉正	群馬製作
電気鍋		44 410	868788	(高橋正晨・村岡和典 鶴谷嘉正	群馬製作
電熱布の温度調節器		44- 4-10	868789	中村富家・大竹 操	群馬製作
電熱煮炊鍋		44- 4-10	868790	野畑昭夫・大沢和夫	群馬製作
電気鍋		44- 4-10	868791	高橋正晨・村岡和典	群馬製作
電熱煮炊鍋		44- 4-10	868792	鶴谷 嘉 正	群馬製作
密閉形電動圧縮機の懸架装置		44- 4-10	868793	新井毅博	静岡製作
密閉形電動圧縮機		44- 4-10	868794	田 中 満	静岡製作



# 新製品紹介

# 380 mm 携帯用電気丸のこ-

木工用電気丸のことして 165 mm・255 mm・305 mm の シリーズ で製作しているが、 さらに切込深さ 145 mm (4寸7分が切断可能) と強力な切断能力をもった 380 mm 電気丸のこを開発した。

携帯用ではあるが、定置用として使用可能な簡易スタンドを付属しているので、卓上用としても使用できる広い用途のものである。さらに専用スタンド・ホゾ取りスタンドを使用すれば、広幅・厚材等の切断はもちろんホゾ取り作業等の特殊作業にも使用できるものである。

# ■用 途

木工材料の切断, その他 プラスチック・合板・軽合金・スレート 等刃物の取換えにより 切断可能

#### ■仕 様

形名	*	let.		電	源		ıtı -	全力量			無 負 荷 回転速度		付 属	H INI		
	īca	nr mn	撒	種	Ħ	電 E V	周波数 Hz	W X	J H	ı. A	m	rpm	m m kg	נין	R24	1111
CS-3	80 A	丸のこ経 切込深さ 傾 斜 角	145	唯相3	交流	100	50/60	700		12		2,500	15	丸のこ スパナ スタン カーボ:		

注) 専用スタンド, ホブ取りスタンドは別途販売品

#### ■特 長

- (1) 切込深さ145 mm (4寸7分) の切断能力をもつ強力形。
- (2) 傾斜ひきが可能で、多用途に使用できる。左右 45° の傾斜ができる。
- (3) 軽量である。
- (4) 作業能率のよい、握りやすい ハンドル 付き。
- (5) 定置用として使用できる簡易 スタンド付き。
- (6) 専用 スタンド・ホブ 取り スタンド を使用し、特殊作業ができる。

#### [福岡製作所]

# 航空機用足温器

この足温器は、航空機とう(搭)乗員席の前部に装備されて、低温時に、任意の温度に、 調節して、急速に足部を暖めるための新製品である。

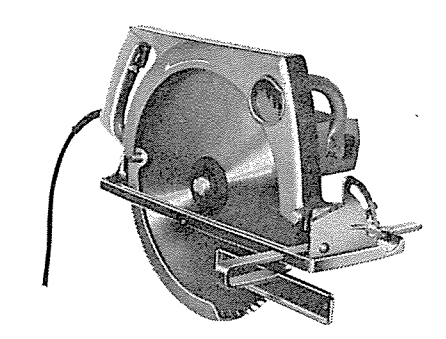
円筒状の本体に、スパイラル に巻いた ヒータ を有し、騒音の少ない ブロワ で温風を送るようになっている。 温度調節は、 風胴出口部分に設けられた サーミスタ で温度を検出し、, ヒータ の ON-OFF を小形 リレー と組合せた半導体応用の制御機構で確実に動作させている。

この足温器は、航空機用として要求される低温・高温・振動・衝撃・湿度等のきびしい 環境試験に合格しており、小形・軽量とともに高い信頼性でユーザの好評を得ている。

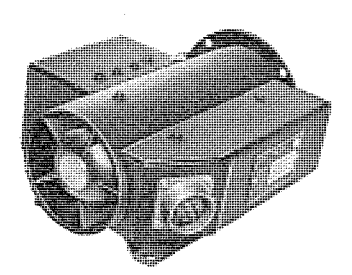
温風機器として、制御機構に新しい電子技術を取り入れたとット製品である。

# ■おもな特長

- (1) アルミカヒータを使用し、油などによる機内発火の危険を防止している。
- (2) ロータが回転翼と一体となっている アウタ ロータ 形式を採用しているため、 騒音が



380 mm 携帯用電気丸のこ



航空機用足温器

少なく, コンパクト である。

- (3) 温度調節は電子 サーモ 式を採用しているので、 任意に適当な温度微調整できる。
- (4) 全体に円筒形であり、小形・軽量で、取付および取扱いがきわめて容易である。

# ■仕様諸元

部品番号: AZ-17 風 量 : 50 ft³/min 温度範囲: 20°C~50°C

入力電源: 単相 115 V 400 Hz (制御用 28 V DC)

t - タ : 1 kW 定格 : 連続 重量:1.2 kg

[名古屋製作所]

# 

三菱電機では、 とのたび姫路製作所において、 操作が簡単で操縦性がすぐれた 4 バッグ 積載用 BAG-01 A 形三菱電動式 ゴルフカート (愛称: グリーンメイド) を開発し、8 月末より発売の予定である。

本品は三菱電機の自動車電装品生産技術による特別設計の $\epsilon-h$  を使用しているので、出力・効率が非常によく 4 バッグで約2 ラウッド 使用できるほか、 下記のような特長を持っており、 最近の  $\pm \epsilon$  不足の対策や プレーヤー に対する  $\pm \epsilon$  向上等に大きな関心が寄せられている折から、大きな需要が期待できる。

本品の概要は次のとおり。

形 名 BAG-01 A 形三菱電動式 ゴルフカート

(愛称:グリーンメイト)

価格 現金正価 89,500 円 (充電器, パッテリー を除く)

発売時期 8月末

#### ■特 長

- (1) 電気制動装置のほかに手動 ブレーキを装置し、安全性に細心の注意を払っている。
- (2) 電動式のため音はきわめて静かで、夜間余剰電力を利用すれば非常に経済的である。
  - (3) 偏平特殊 タイヤ を使用しているので芝生をいためない。
  - (4) 防泥水構造としているので本体は半永久的に使用できる。
  - (5) 充電装置は希望により個別充電式,集中充電式(10個)のいずれかが選べる。
  - (6) 三菱 ビジネスローン が利用できる。

# 强仕 様

積載量 4 バッグ

走行 スピード 3 段切換 3.0~6.0 km/h

登坂力 20

20度

走行距離 1 充電

1 充電 1.5~2.0 ラウンド

バッテリ

形式 N 70 12 V 70 AH

モートル

直流複巻式 400 W

重 量

 $78~\mathrm{kg}$ 

寸 法 車

車輪間隔 680 mm, 軸間隔 650 mm

[姫路製作所]

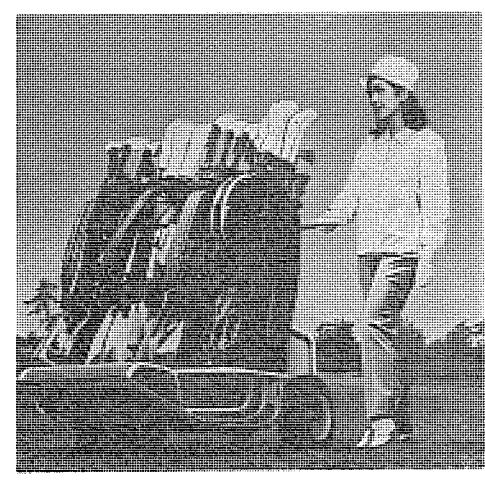
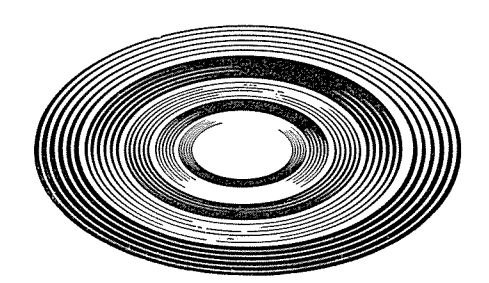


図 1 使用中の電動式 ゴルフカート



図 2 電動式 ゴルフカート



# NEWS FLASH

# 世界記録品 400 kVA 10 kHz 立形高周波発電機完成

このたび神戸製作所において高周波焼入れ用電源として、 単機 モノブロック 形の世界記録品  $400\,\mathrm{kVA}\ 10\,\mathrm{kHz}$  高周波発電機が完成した。これは、これまでの空気冷却式単機限界容量である  $300\,\mathrm{kVA}\ 10\,\mathrm{kHz}$  を大きく越えた画期的なものである。被処理物の大形化に伴って、最大容量  $250\,\mathrm{kVA}$  あるいは  $300\,\mathrm{kVA}$  では、2台並列運転せざるを得なく電源装置として価格面で難点があった。このような要望に答えるべく、従来の基本方式を根本的に再検討し、直列 コンデンサー なしで、  $400\,\mathrm{kVA}\ 10\,\mathrm{kHz}$  を完成させた。 固定子鉄心・誘導子形状・空げき長さ・電機子 コイル 構成・ 冷却方式などについて新規な構成を採用するとともに、これまでに多数製作納入している、  $600\,\mathrm{kVA}\ 3\,\mathrm{kHz}$ 、  $600\,\mathrm{kVA}\ 1\,\mathrm{kHz}$  の技術を発展させたものである。

定格事項

高周波発電機

 $400\,\mathrm{kVA}$   $800\,\mathrm{V}$   $10\,\mathrm{kHz}$  單相  $3,600\,\mathrm{rpm}$ , 日種,全閉內冷空気冷却器鉄心冷却器付,立形,冷却水量  $110\,\mathrm{l/min}$ 

駆動用誘導電動機

450 kW 3,300 V 60 Hz 三相 2 P 3,600 rpm, かご形, 丫-△ 起動

[神戸製作所]

# 日本最大の大出力ガラスレーザ開発

一名大プラズマ研究所に設置―

大阪大学工学部,工業技術院大阪工業技術試験所,三菱電機(株),旭硝子(株),ウシオ電機(株)は,共同で日本最大のガラスレーザ発振装置を開発した。

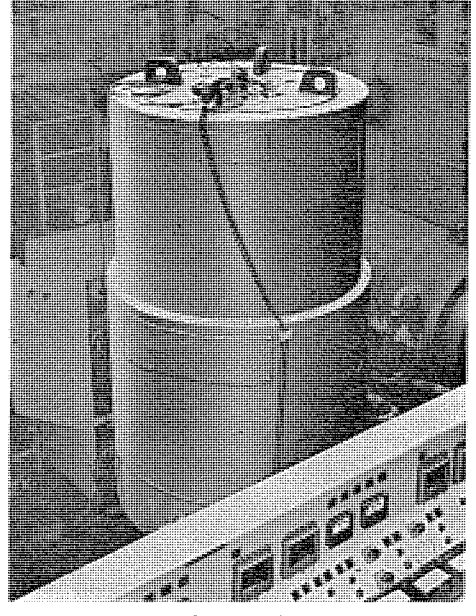
同装置は ガラスレーザ 発振器と 5 段の増幅段により構成され、 増幅段に用いられる ガラスロッド の長さは、全体で 1,800  ${\rm z}$ リメートル におよぶ大形なもので、 増幅段への入力 200  ${\rm +}$ ロジュール で  ${\rm 1,000}$  倍の増幅室を得、 パルス 幅  ${\rm 1}$  ナノ 秒(10 億分の  ${\rm 1}$  秒), 出力  ${\rm 60}$  ずガ  ${\rm 7}$ ット(600 億  ${\rm 7}$ ット)というパルス幅が非常に短く、 しかも ピーク 値の高い光 パルス(ジャイアントパルス と呼ばれる)発生を目標として開発されたものである。

このような大出力  $\nu$ –ザは,真空容器中に設置された g–ゲットに照射することにより,高温高密度 プラズマ の生成を可能にし, 核融合反応の実現が期待されており, 世界的に注目されている新しい研究分野であるが,まず, $\nu$ –ザ の出力を臨界値(60 # $\pi$  g– $\psi$ ) 以上にあげることが必要とされる。

現在,同装置は名古屋大学 プラズマ 研究所に設置されており, さる 5 月 30 日公開されたが,第 3 増幅段までを用いて, 3 ギガ 7 ット の出力を得, 焦点距離 2,500 2 リメートル の レッズ で出力 パルス 光を集光することにより, 3 メートル にわたって大気中に プラズマ を発生させるのに成功した。

この実験では レーザ 発振の スイッチ 素子として, 回転 プリズム を用いたため(レーザ 発振器 の スイッチング は共振器の Q 値を変えて行なうので通常 Q スイッチ と呼ばれる)パルス 幅 が 長く, 現有の ガラスロッド では今回の出力が限度に近いが,今後,レーザ 発振光の立ち上がり時間を 1 ナノ 秒以下に短縮し, 現在製作中の第 5 増幅段をも用いて, 目標値を達成する。 さらに,つぎの段階としては パルス 幅を ピコ 秒(10<sup>-12</sup> 秒)の大きさにし, 出力 パルス 光による ガラスロッド の損傷を防止するため,径を 100 ミリメートル 以上にした層状光増幅器を付与して, 1 テラ ワット(1 兆 ワット)の出力を出すことを計画している。

同装置の開発は純国産技術によって行なわれたものであり、短時間のうちに大きな電気



工場試験中の 400 kVA 10 kHz 高周波発電機

# 

エネルギーを光エネルギーに変換するため、変換効率が装置を製作するうえでの要点となる。 同装置の開発には、大阪・名古屋の両大学の教授である山中千代衛教授の数年にわたって の基礎実験をもとにして、旭硝子が高出力の光の照射に対して安定で、効率の良い ガラスロ ッド, ウシオ 電機が励起 ランプ, 三菱電機が極短 パルス 発生用 レーザ 共振系, 効率の良い増幅 系を開発担当したもので、世界でもこれに匹敵するレーザはソビェト、フランス、アメリカに現有 するだけであり、 今秋京都で 開催される 第6回量子 エレクトロニクス 国際学会に詳細な データ を発表する予定である。 [中央研究所]

# 三菱電機水車発電機に水冷スラスト採用

# 一北海道企業局岩尾内発電所納め 14 500 kVA 水車発電機一

三菱電機では、 かねてから製作中であった北海道企業局岩尾内発電所納め 14,500 kVA 水車発電機がこのほど完成。当社神戸製作所において客先検査官立会のもとに工場試験を 施行し、予想どおりの好成績をあげることができた。

この発電機には、ますます大形化する水力開発に備えて、当社で新しく開発された設計 技術が数多く採用されており、この試験で十分その性能を保証できることが確認された。

これらの新技術のうちのひとつは立軸水車発電機の スラスト 軸受として、 直接水冷 メタル を採用したことである。ここに開発された直接水冷軸受は、 発熱部分である メタル に冷却 水を直接通す方式のもので、従来の間接冷却式 (別置冷却器を軸受油槽内に設ける方式) に比べてはるかに強力な冷却効果をもち、 軸受 ケース はきわめて小形化されるとともに安 定したすぐれた運転性能をもっている。本方式の実用化は、今後ますます大容量化する揚 水発電用発電電動機の製作を可能にするものであり、その重要さについては、業界でかね てから論議されていたものである。

その他との発電機には全く新しい タイプ の制動巻線が設けられている。 この制動巻線は 回転数の広い範囲にわたって、 通常の制動巻線ではとても得られなかった大きな制動 トル クを発生することができる。この技術を適用すれば、従来は不可能とされてきた大容量揚 水発電電動機の自己起動にも、新しい可能性を開くものとして期待されている。

なお、この水車発電機の仕様はつぎのとおりである。

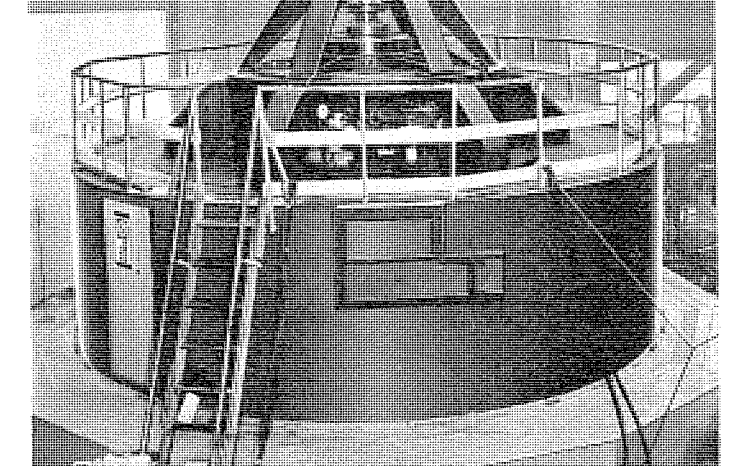
# 発電機仕様

5 HE T	双 LL作来		
形	式	立軸回転界磁全閉管通風形	(二重風道つき)
出	力	14,500 kVA	
電	圧	6,600 V	
電	流	1,270 A	
カ	率	90 %	
周	波 数	50 Hz	
П	転 数	333 rpm	
所	要 GD	$273 \text{ t-m}^2$	
litha	<b>数</b> 方式	サイリスタ 励磁装置	

# 水車仕様

形	定	立軸単輪単流渦巻力 プラン 水車(三菱重工業製)
出	カ	13,500 kW
基準有	可効落差	44 m
流	量	$35 \text{ m}^3/\text{s}$
回転	数	333 rpm

[神戸製作所]



工場試験中の水冷 スラスト を採用した 14,5000 kVA 水車発電機

# 本社・営業所・研究所・製作所・工場所在地

本 社 東京都千代田区丸の内2丁目2番3号(三菱電機ビル)(晒 100)(電)東京(03) 218局2111番

```
(電)
                                                                 (06)
                                                                     343局 1231番
大 阪 営 業 所
            大阪市北区梅田町8番地(西阪神ビル)
                                               (55 530)
                                                            大
                                                               阪
            名古屋市中村区広井町3丁目88番地(大名古屋ビル)
                                                            名古屋 (052)
名古屋営業所
                                               (55 450)
                                                        (電)
                                                                     561局53日番
  岡出張所
            静 岡 市 伝 馬 町 16 の 3 番 地 (明治生命静岡支社)
                                               ( 420)
                                                        (電)
                                                            誻
                                                               畄
                                                                 (0542)
                                                                      54局4681涨
  岡 堂 拳 所
            福岡市天神2丁目12番 1号(天神ビル)
                                               (35 810)
                                                        (電)
                                                            福
                                                               岡(092)
                                                                      75局6231番
 長崎出張所
            長崎市丸尾町6番14号
                                               (@ 850-91)
                                                        (電)
                                                            長
                                                               崎(0958)
                                                                     23局 610 番
            札幌市北2条西4丁目 | 番地(北海道ビル)
札幌営業所
                                                        (電)
                                                               幌(011) 261局9111番
                                               (# n6n-91)
                                                            木
            仙台市大町 | 丁目 | 番 30 号 (新 仙台 ビル)
Δir
  台
    営
      業
        所
                                                        (電)
                                               (am 980)
                                                            1llt
                                                               台 (0222)
                                                                     21局1211悉
              山市桜木町 | 番 29 号
富
 山営
      業所
                                               (## 93D)
                                                        (電)
                                                            實
                                                               ili (0.764)
                                                                     31局8211米
              島 市 中 町 7 番 32 号(日本生命ビル)
広島営業所
                                                                     47局5111番
                                               (徳 730)
                                                        (電)
                                                            広
                                                               島 (0822)
 岡山出張所
            岡山市駅前町 | 丁目 9 番地(明治生命館)
                                               (# 700)
                                                        (電)
                                                            妥
                                                               山(0862) 25局5171番
高松営業所
            高松市鶴屋町2番1号
                                                        (電)
                                                            高
                                                               松 (0878) 51局0001番
                                               (亚 760)
東京商品営業所
            東京都千代田区丸の内2丁目2番3号(三菱電機ビル)
                                                        (電)
                                               (徳 100)
                                                            東
                                                               京(03)
                                                                     218局2111番
 城北家電営業所
                                                        (電)
            東京都文京区大塚3丁目3番 | 号(新 茗 溪 ビル)
                                               (亚 112)
                                                            東
                                                               京(03)
                                                                     944局6311番
 城南家電営業所
            東京都世田谷区池尻3丁目10番3号(三菱電機世田谷ビル)
                                               ( 154)
                                                        (電)
                                                            東
                                                               京(03)
                                                                     411局8181番
 城西家電営業所
            国分寺市南町2丁目16番14号(秀美ビル)
                                                        (電)
                                                            国分寺(0423) 22局1881番
                                               (55 185)
 横浜家電営業所
            横浜市中区富士見町3番地4
                                                        (電)
                                                               浜(045) 251局2226番
                                               (壶 232)
 千葉家電営業所
            千葉市新宿町2丁目49番地(三菱電機千葉ビル)
                                                        (電)
                                                               葉 (0472) 42局5486番
                                               (金 280)
                                                            千
大阪商品営業所
            大阪市北区堂島北町8番地の1
                                               (壶 530)
                                                        (雷)
                                                            大
                                                               阪 (06)
                                                                     344局1231番
            洲本市上物部2丁目6番33号
 洲本出張所
                                               (₹ 656)
                                                        (雷)
                                                            洲
                                                               本 (07992) 2局0631番
            名古屋市中村区広井町 3 丁目88番地 (大名古屋ビル)
名古屋商品営業所
                                               ( 450)
                                                        (電)
                                                            名古屋(052) 561局5311番
 静岡出張所
            静岡市小鹿2丁目1番22号
                                               ( 420)
                                                        (電)
                                                            静
                                                               岡(0542) 85局6141番
            福岡市天神2丁目12番 1号(天神ビル)
福岡商品営業所
                                               (55 810)
                                                        (電)
                                                            福
                                                               岡(092)
                                                                      75局 6231番
札幌商品営業所
            札幌市北2条西4丁目1番地(北海道ビル)
                                               ( 060-91)
                                                        (電)
                                                            朴.
                                                               幌(011) 261局911番
仙台商品営業所
            仙台市大町4丁目175番地(新仙台ビル)
                                               (55 980)
                                                        (電)
                                                            仙
                                                               台(0222) 21局1211番
北陸商品堂業所
            金沢市小坂町西97番地
                                               (am 920)
                                                        (電)
                                                               沢 (0762)
                                                                      52局 | 151番
                                                            4
              島 市 中 町 7 番 32 号(日本生命ビル)
広島商品営業所
                                               ( 730)
                                                        (電)
                                                            広
                                                               島 (0822)
                                                                      47局5111番
            高松市鶴屋町2番1号
                                                        (電)
高松商品営業所
                                               (売 760)
                                                            高
                                                               松(0878)
                                                                      51局0001番
            新潟市東大通 | 丁目 | 12番地(北陸 ビル)
新潟営業所
                                               ( 950)
                                                        (電)
                                                            銮
                                                               潟(0252)
                                                                      45局 2151番
関東商品営業所
            与野市上落合後原842番地
                                                        (電)
                                                            与
                                                               野 (0488) 33局3181番
                                               (亚 338)
東京機器営業所
            東京都千代田区丸の内2丁目2番3号(三菱電機ビル)
                                                        (電)
                                               (⊕ 100)
                                                            東
                                                               京(03)
                                                                     218局2111番
大阪機器営業所
            大阪市北区堂島北町8番地の1
                                               ( 530)
                                                        (電)
                                                            大
                                                               阪(06)
                                                                     344局 | 231番
中
  央 研 究 所
            尼崎市南清水字中野80番地
                                               ( 661)
                                                        (電)
                                                            大
                                                               阪 (06)
                                                                     491局8021番
 品 研 究 所
商
            鎌倉市大船2丁目14番40号
                                               ( 247)
                                                        (電)
                                                            傘
                                                               倉 (0467)
                                                                     46局6111祭
袖
  戸 製
      作所
            神戸市兵庫区和田崎町3丁目10番地の1
                                               (亚 652)
                                                        (電)
                                                               戸
                                                                 (078)
                                                                      67局5041番
伊
 丹製
      作所
            尼崎市南清水字中野80番
                                               (55 661)
                                                        (電)
                                                            大
                                                               阪(06)
                                                                     491局8021番
              田市三
   田工
        場
                     輪
                       凹丁
                          父
                             部
                                85
                                  番
                                               ( 669-13)
                                                        (電)
                                                            =
                                                               田 (07956)局
                                                                        4371番
툰
  崎 製
      作
        所
                       尾
                          町
                                               (亚 852)
                                                        (電)
                                                               崎(0958)
                                                            長
                                                                     23局6211番
稲
 沢 製
      作
        所
                沢
                                 番
                                     抽
                                               (西 492)
                                                        (電)
                                                            稲
                                                               沢 (0587)
                                                                      32局8111番
和歌山製作所
                  山市
                       畄
                          用T
                                  器
                                               (5 640-91)
                                                        (電)
                                                            和歌山(0734) 23局7231番
                                     抽
鎌倉製作所
                市上
                     田丁
                           3
                              2
                                               ( 247)
                                     批
                                                        (雷)
                                                            鎌
                                                               倉(0467) 46局1111番
通信機製作所
            尼崎市南清水字
                                     地
                                               (TB 661)
                                                        (電)
                                                            大
                                                               阪(06)
                                                                     491局8021番
北伊丹製作所
              丹 市 瑞
                     原
                           丁
                        4
                                               (55 664)
                                                        (電)
                                                            伊
                                                               丹(0727) 82局5131番
            熊本市竜田町弓削
                             7
                               2 0 番地
                                                        (電)
                                               ( 862)
                                                            能
                                                              本(0963) 62局7211番
名古屋製作所
            名古屋市東区矢田町 | 8 丁目 | 番地
                                                        (電)
                                               (a 461)
                                                            名古屋(052) 721局2111番
      作
        所
            福岡市今宿青木6
                              9
                                0
                                  番 地
                                                        (電)
                                               (65 819-01)
                                                            福岡今宿(09295) 6局0431番
福
 山製
      作
        所
                     緑
                        町
                  市
                                  8
                                                        (電)
                            1
                                               (55 720)
                                                            福
                                                               山(0849) 21局3211番
            姫路市千代田町 8 4
姫 路 製
      作所
                                0 番 地
                                                        (電)
                                               ( 670)
                                                            姫
                                                               路(0792) 23局1251番
相
 模製作
        所
            相模原市宮下 | 丁目 | 番 5
                                   7 문
                                               (亚 229)
                                                        (電)
                                                            相模原(0427) 72局5131番
 世田谷工場
            東京都世田谷区池尻3丁目|番|5号
                                               (₩
                                                 154)
                                                        (電)
                                                            東
                                                               京(03)
                                                                     414局8111番
 岡製作所
静
              岡市小鹿3丁目18番
                                  1
                                     뮹
                                               (<del>1</del>
                                                 420)
                                                        (電)
                                                            静
                                                               岡 (0542) 85局1111番
中津川製作所
              津川市駒場町!
                                     뮹
                                器
                                  3
                                               (₩
                                                 508)
                                                        (電)
                                                            中津川 (05736) 5局7151番
大
 船製作所
              倉市大船5丁目|番
            鑅
                                  ı
                                     묽
                                               (₹
                                                 247)
                                                        (電)
                                                               倉(0467) 46局6111番
那
 山製
      作所
               山市栄町
                          2
                            番
                               2
                                  5
                                     믉
                                               (<del>च</del>्च
                                                 963)
                                                        (電)
                                                               山(02492) 2局1220番
 馬製
      作
        所
            群馬県新田郡尾島町大字岩松800番地
                                               (<del>....</del>
                                                 370-04)
                                                        (電)
                                                            屋
                                                               島(02765) 2局111番
 藤 岡
      エ
        場
            藤岡市本郷字別所 1 1 7 3 番地
                                               (金 375)
                                                        (電)
                                                            藤
                                                               岡(02742) 2局1185番
京 都 製
      作
        所
            京都府乙訓郡長岡町大字馬場小字図所工番地
                                               (To 617)
                                                        (電)
                                                            京都西山(075) 921局4111番
 長 野 工
        場
            長野市大字南長池字村前
                                               ( 380)
                                                        (電)
                                                            臣
                                                              野(0.262) 27局1101番
 ラジオエ場
            尼崎市南濟水字中野80番地
                                               (5 661)
                                                        (電)
                                                            大
                                                              阪 (06)
                                                                    491局8021番
   営
      業
        所
            札幌市北2条東12丁目98番地
                                               (55 060)
                                                        (電)
                                                            札 幌 (011) 231局5544番
      Т
```

# 次 号 予 定

# 三菱電機技報 Vol. 44 No. 9

# ガス絶縁変電所特集

# 《特集論文》

- 縮小形ガス絶縁変電所 (GIS) の開発と製品化
- 関西電力姫路・新生駒変電所におけるガス 絶 縁 変 三菱-BBC 低周波炉による鋳鉄溶解 電所実用化試験
- ○77/66 kV, 110 kV ガス絶縁開閉装置
- ○ガス絶縁開閉装置用 SF。ガスしや断器
- ○ガス絶縁変電所用避電器
- SF<sub>6</sub> ガスの絶縁特性
- ○SF<sub>6</sub>ガスの化学的特性
- GIS の管理上の諸問題
- ガス絶縁開閉装置 (GIS) の耐震強度
- GIS 用絶縁物の製造技術

# 《善通論文》

- ポリビニルホルマールの分子運動
- H 形鋼切断・穿孔プラント用数値制御装置
- 大阪府立放射線中央研究所納め電子線表面 処理装置 (600 keV 電子線照射装置)
- 試作電子交換機―共通制御方式―
- ―システムと通話路―

# 《技術解説》

○ 固体表面の研究とその応用

# 三菱電機技報編集委員会

委員長	仙	石	廉	常任	委員	凑	Ī	武	雄
副委員長	神	崻	逦		"	武	藤		Œ
常任委員	石	川理			<b>"</b>	依	田		功
"	上	田 重	夫	委	員	北	垣	成	
″	字	佐 見 重	夫		″	南	日	達	郎
″	北	川和	人		″	秦	.1	卓	也
″	古	賀	亨		″	林	5	昇	寿
″	小	堀 富 次	雄		"	松	元	雄	蔵
″	鈴	木 正	材		″	吉	武	正	彦
″	牧	野六	彦		"	和	田	義	朥
							(以	£ 50 1	・ 質)

昭和 45 年 8 月 22 日印刷 昭和 45 年 8 月 25 日発行「禁無断転載」定価 1 部金 100 円(送料別)

# 編集兼発行人

東京都千代田区丸の内2丁目2番3号

仙 石 廉

ΕΠ 刷

> 東京都新宿区市谷加賀町1丁目12番地 (郵便番号 162)

大日本印刷株式会社

刷 東京都新宿区市谷加賀町1丁目12番地

者

髙 櫾 武 夫

発 行

EΠ

東京都千代田区丸の内2丁目2番3号(郵便番号 100)

三菱電機株式会社内

「三菱電機技報社」

(電) (03) 218局2323番

発 売 元

> 東京都千代田区神田錦町3の1 (郵便番号 151) 株式会社 オーム社書店 (電) (03) 291 局 0912 番 振替東京 20018